



วีดีโอเอฟเฟค

VIDEO EFFECT



โดย

นาย กฤษฏา ดีทองอ่อน

นาย สงคราม ทองอนันต์

วัน เดือน ปี - 1 ต.ค 2561

เลขทะเบียน..... 038362

เลขเรียกหนังสือ T.343.8.2.ก.2770

ปริญญานิพนธ์นี้เป็นส่วนหนึ่งของการศึกษาตามหลักสูตรปริญญาอุตสาหกรรมศาสตรบัณฑิต

ภาควิชาเทคนิคอุตสาหกรรม

คณะวิศวกรรมศาสตร์

สถาบันเทคโนโลยีพระจอมเกล้าเจ้าคุณทหารลาดกระบัง

ปีการศึกษา 2560

เอกสารนี้เป็นเอกสารที่สงวนไว้สำหรับการใช้งานเพื่อการศึกษาเท่านั้น ไม่อนุญาตให้นำไปใช้ประโยชน์ด้านการค้า

ไม่ว่ากรณีใดๆ ทั้งสิ้น อีกทั้งห้ามมิให้ดัดแปลงเนื้อหา และต้องอ้างอิงถึงเจ้าของเอกสารทุกครั้ง

038362

# VIDEO EFFECT



**Mr. KISSADA DETHONGOON**

**Mr. SONGKRAM THONGANAN**

**Project Report Submitted in Partial Fulfillment of the Requirements**

**For the Bachelors degree**

**Department of Industrial Technology**

**Faculty of Engineering**

**King Mongkuts Institute of Technology Ladkrablang**

**1996**

เอกสารนี้เป็นเอกสารที่สงวนไว้สำหรับการใช้งานเพื่อการศึกษาเท่านั้น ไม่อนุญาตให้นำไปใช้ประโยชน์ด้านการค้า  
ไม่ว่ากรณีใดๆ ทั้งสิ้น อีกทั้งห้ามมิให้ดัดแปลงเนื้อหา และต้องอ้างอิงถึงเจ้าของเอกสารทุกครั้งที่มีการนำไปใช้

หัวข้อปริญญานิพนธ์

วิดีโอเอฟเฟค  
VIDEO EFFECT

โดย

นาย กฤษณา ดีทองอ่อน  
นาย สงคราม ทองอนันต์

อาจารย์ที่ปรึกษา

ผู้ช่วยศาสตราจารย์ วิชัย สุรพัฒน์

**บทคัดย่อ**

เครื่องทดลองวิดีโอเอฟเฟคที่สร้างขึ้นนี้สามารถนำไปใช้ทดสอบคุณภาพของสัญญาณภาพและสัญญาณเสียงจากเครื่องเล่นวิดีโอหรือจากกล้องถ่ายวิดีโอให้มีคุณภาพดีขึ้น ในบางครั้งสัญญาณภาพและเสียงที่ได้จากเครื่องเล่นวิดีโอหรือ กล้องถ่ายวิดีโอมีคุณภาพที่ไม่ดี และนี่คือจุดมุ่งหมายของปริญญานิพนธ์ฉบับนี้จึงได้ทำเครื่องทดลองวิดีโอเอฟเฟคเพื่อทดลองการปรับปรุงสัญญาณภาพและลดสัญญาณรบกวนในสัญญาณเสียง

**ABSTRACT**

Video Effect Test Equipment of the thesis use to improved video and audio signal from video player or camcorders . Sometimes the video and audio signal output does not qualify to standard specification .The aim of project to make video effect test equipment to improved video signal and reducer noise signal .

เอกสารนี้เป็นเอกสารที่สงวนไว้สำหรับการใช้งานเพื่อการศึกษาเท่านั้น ไม่อนุญาตให้นำไปใช้ประโยชน์ด้านการค้า ไม่ว่าจะกรณีใดๆ ทั้งสิ้น อีกทั้งห้ามมิให้ดัดแปลงเนื้อหา และต้องอ้างอิงถึงเจ้าของเอกสารทุกครั้งที่มีการนำไปใช้

หัวข้อปริญญาบัตร

วิดีโอเอฟเฟค  
VIDEO EFFECT

โดย

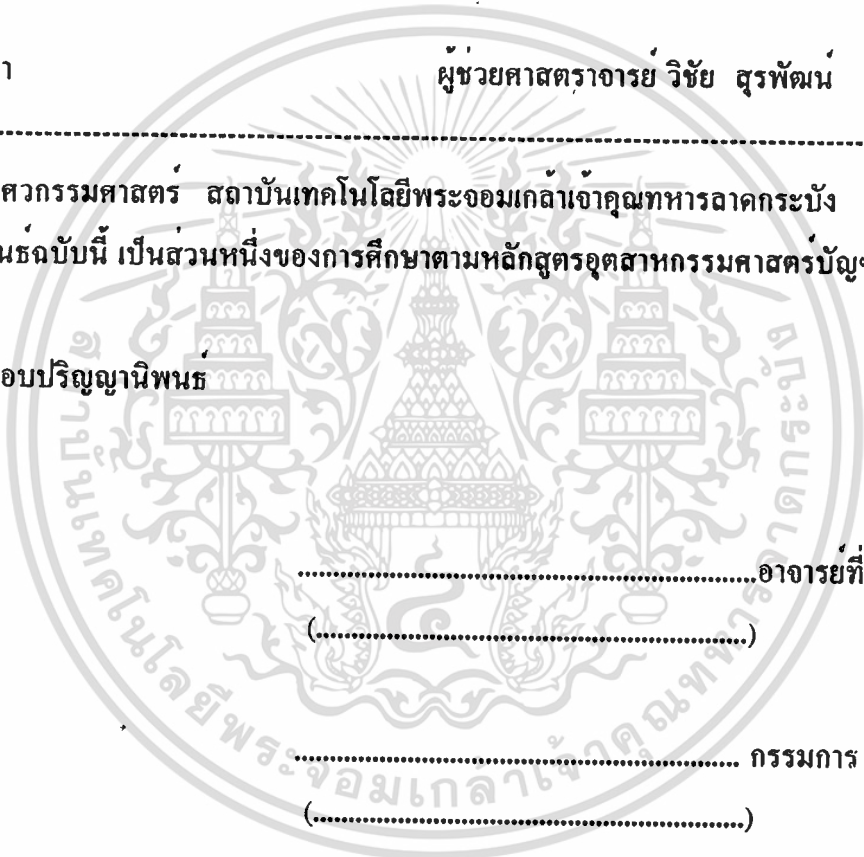
นาย กฤษฎา ดีทองอ่อน  
นาย สงคราม ทองอนันต์

อาจารย์ที่ปรึกษา

ผู้ช่วยศาสตราจารย์ วิชัย สุรพัฒน์

คณะวิศวกรรมศาสตร์ สถาบันเทคโนโลยีพระจอมเกล้าเจ้าคุณทหารลาดกระบัง อนุมัติให้  
นับปริญญาบัตรฉบับนี้ เป็นส่วนหนึ่งของการศึกษาตามหลักสูตรอุตสาหกรรมศาสตรบัณฑิต

คณะกรรมการสอบปริญญาบัตร



.....อาจารย์ที่ปรึกษา  
(.....)

..... กรรมการ  
(.....)

..... กรรมการ  
(.....)

..... กรรมการ  
(.....)

..... กรรมการ

เอกสารนี้เป็นเอกสารที่สงวนไว้สำหรับการใช้งานเพื่อการศึกษาเท่านั้น ไม่อนุญาตให้นำไปใช้ประโยชน์ด้านการค้า  
ไม่ว่ากรณีใดๆ ทั้งสิ้น อีกทั้งห้ามมิให้ตัดแปลงเนื้อหา และต้องอ้างอิงถึงเจ้าของเอกสารทุกครั้งที่มีการนำไปใช้

**Project Report**

**VIDEO EFFECT**

**By**

**Mr. KISSADA DETHONGOON**

**Mr. SONGKRAM THONGANAN**

**Department of**

**Industrial Technology**

**Advisor**

**Mr. VICHAI SURAPAT**

-----  
**Accepted by the Faculty of Engineering, King Mongkuts Institute of Technology ,  
Ladkrabang in partial fulfillment of the requirements for the Bachelors degree.**

**Project Report Committee**

..... **Chairman**  
(.....)

..... **Comittee**  
(.....)

..... **Comittee**  
(.....)

..... **Comittee**  
(.....)

..... **Comittee**  
(.....)

เอกสารนี้เป็นเอกสารที่สงวนไว้สำหรับการใช้งานเพื่อการศึกษาเท่านั้น ไม่อนุญาตให้นำไปใช้ประโยชน์ด้านการค้า  
ไม่ว่ากรณีใดๆ ทั้งสิ้น อีกทั้งห้ามมิให้ดัดแปลงเนื้อหา และต้องอ้างอิงถึงเจ้าของเอกสารทุกครั้งที่มีการนำไปใช้

## กิตติกรรมประกาศ

ปริญญานิพนธ์นี้สำเร็จลุล่วงมาได้ด้วยความร่วมมือและความตั้งใจในการทำงานของเพื่อนร่วมงานในกลุ่ม Project ทั้งได้รับคำแนะนำจากอาจารย์ที่ปรึกษา ทางด้านเทคนิคต่างๆและนอกจากนี้ยังได้รับการช่วยเหลือในการถ่ายภาพของผลการทดลองจากนายสุทธิ สูงเนิน และเพื่อนๆทุกคนที่คอยช่วยเหลือและให้คำแนะนำต่างๆ คณะผู้จัดทำขอกล่าวขอบคุณไว้ ณ. โอกาสนี้

นาย กฤษฎา ดีทองอ่อน

นาย สงคราม ทองอนันต์



เอกสารนี้เป็นเอกสารที่สงวนไว้สำหรับการใช้งานเพื่อการศึกษาเท่านั้น ไม่อนุญาตให้นำไปใช้ประโยชน์ด้านการค้า  
ไม่ว่ากรณีใดๆ ทั้งสิ้น อีกทั้งห้ามมิให้ดัดแปลงเนื้อหา และต้องอ้างอิงถึงเจ้าของเอกสารทุกครั้งที่มีการนำไปใช้

## สารบัญ

	หน้า
บทที่ 1 บทนำ	1
บทที่ 2 ทฤษฎี	3
2.1 โครงสร้างสัญญาณภาพ	3
2.2 สัญญาณเสียง	13
2.3 สัญญาณรบกวน	25
2.4 การส่งสัญญาณโทรทัศน์	30
บทที่ 3 โครงสร้างและผลการทดลอง	38
บทที่ 4 สรุปและวิจารณ์พร้อมข้อเสนอแนะ	62
บรรณานุกรม	63
ภาพผนวก	
ก. รูปวงจรและบล็อกไดอะแกรมรวม	
ข. DATA SHEET	

เอกสารนี้เป็นเอกสารที่สงวนไว้สำหรับการใช้งานเพื่อการศึกษาเท่านั้น ไม่อนุญาตให้นำไปใช้ประโยชน์ด้านการค้า  
ไม่ว่ากรณีใดๆ ทั้งสิ้น อีกทั้งห้ามมิให้ดัดแปลงเนื้อหา และต้องอ้างอิงถึงเจ้าของเอกสารทุกครั้งที่มีการนำไปใช้

## บทที่ 1

### บทนำ

ในปัจจุบันเครื่องใช้ไฟฟ้าและอุปกรณ์อิเล็กทรอนิกส์ได้มีการพัฒนาเทคโนโลยีให้เจริญก้าวหน้ามากยิ่งขึ้น อุปกรณ์ต่างๆ ได้ถูกออกแบบให้มีประสิทธิภาพในการทำงานสูงยิ่งขึ้นเช่น โทรศัพท์มือถือและอื่นๆ อีกมากมาย สิ่งที่อุปกรณ์อิเล็กทรอนิกส์ต้องการให้ลดน้อยลงคือการจางหายของสัญญาณและสัญญาณรบกวน และในที่นี่ขอเสนอคือ video effect test

ในโครงการนี้เสนอชุดทดลองที่จะสามารถปรับปรุงคุณภาพของสัญญาณภาพ และปรับปรุงสัญญาณเสียงโดยการลดสัญญาณรบกวนที่เข้ามาโดยส่วนของสัญญาณภาพจะประกอบไปด้วยภาคการทำงานทั้งหมด 5 ภาค คือ simple fader, improved video fader , video enhancer , horizontal-vertical wiper และในทางการทำงานของสัญญาณเสียงมี 2 ภาคคือ four channel audio mixer, audio dynamic noise limiter

### วัตถุประสงค์

นำการศึกษาวิจัยการปรับปรุงสัญญาณภาพและสัญญาณเสียง และทำการสร้างเครื่อง video effect test ไว้ใช้ในการทดลองตามทฤษฎีของภาพและเสียงซึ่งสามารถประยุกต์นำไปใช้งานได้จริง

## ประโยชน์ที่คาดว่าจะได้รับ

ชุดการทดลองนี้สามารถที่ช่วยยกระดับสัญญาณให้มีความคมชัดมากยิ่งขึ้น จากเดิมของ กล้อง วีดีโอ โดยปกติแล้วต้องมีการพัฒนาในรายละเอียดของภาพให้มีความคมชัดมากยิ่งขึ้นแต่ก็มีขีด จำกัดคือ ถ้ามีการปรับปรุงให้มีความคมชัดมากขึ้นก็จะมีสัญญาณรบกวนอันเนื่องมาจากหัวบันทึกเทป และอุปกรณ์ต่างๆภายใน

การต่อชุดทดลองนี้สามารถเพิ่มความคมชัดของสัญญาณภาพให้มากขึ้นและยังสามารถลด สัญญาณรบกวนในสัญญาณเสียง ซึ่งทำให้เสียงมีความชัดเจนขึ้น



## บทที่ 2

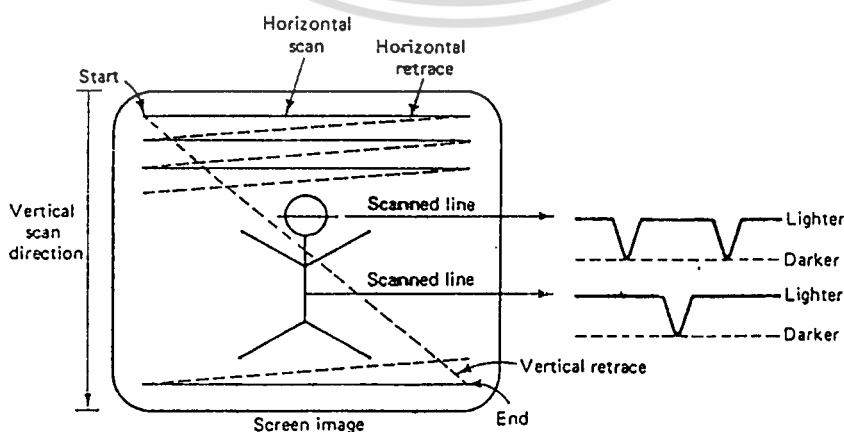
### ทฤษฎี

## 2.1 โครงสร้างสัญญาณภาพ

### 2.1.1 การสแกน (Scanning)

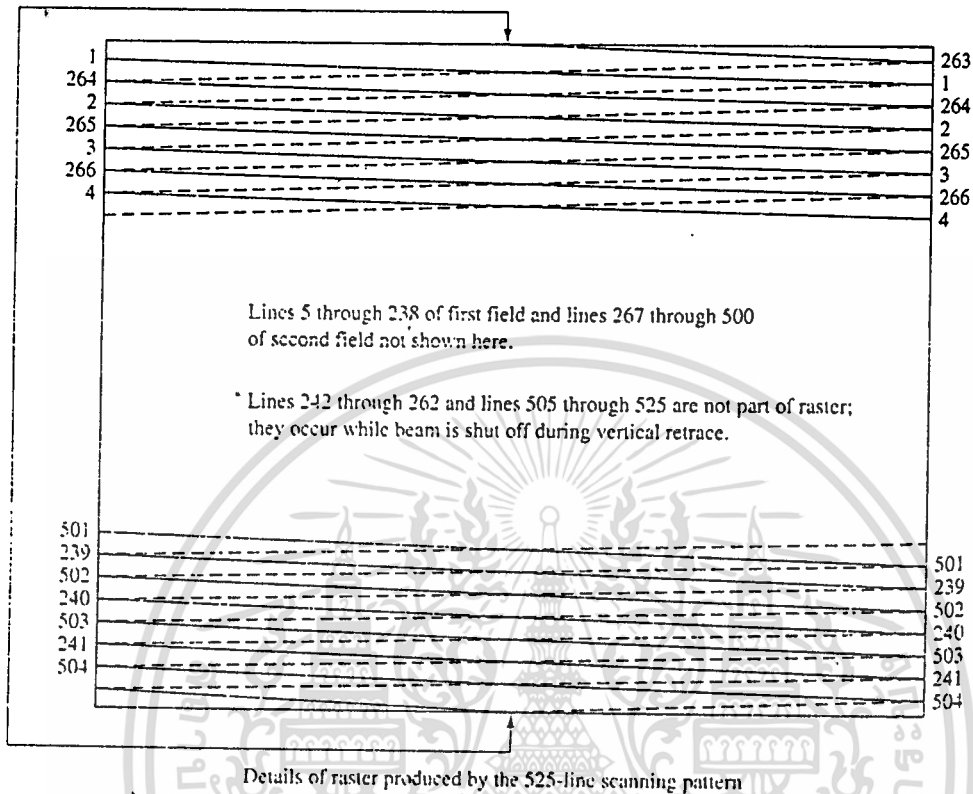
หน้าที่ของการสแกนก็เพื่อที่จะเลือกพิกเจอร์อีเลเมนต์ ของภาพที่ชัดเจนบนฉากเรียงตามลำดับ เพื่อทำการส่งและสร้างขึ้นใหม่ทางด้านรับให้ตรงกับด้านส่งและการสแกนหมายถึงจำนวนเส้นการสแกน ต่อหนึ่งภาพและจำนวนภาพที่ส่งออกไปต่อวินาทีถ้าส่งจำนวนภาพต่อวินาทีมากเท่าไรการกระพริบของ ภาพจะลดลงเท่านั้นการสแกนที่ใช้ในเครื่องรับโทรทัศน์ถ้ามีการเรียงภาพเกิน 16 ภาพสายตาจะเห็นเป็น ภาพต่อเนื่องและถ้าภาพเพิ่มขึ้นเป็น 24 ภาพต่อวินาทีก็ยังไม่มีการกระพริบเพราะการสแกนเริ่มจากบนมาล่าง และเมื่อเส้นสแกนลงมาถึงขอบด้านล่างด้านบนจะรู้สึกว่ามีคดลงมากกว่าด้านล่าง เวลาที่มีการสลับกลับไป ด้านบนด้านล่างจะเป็นเช่นเดียวกันซึ่งมีการแบ่งการสแกนออกเป็น 2 แบบคือ

1. แบบโปรเกรสซีฟ (progressive scanning) จะเป็นการสแกนที่ไม่มีความนิยมนิยมใช้เพราะจะใช้ แบนด์วิดท์กว้างและจะเกิดการกระพริบวิธีการสแกนจะสแกนที่ฟิลดตี้และคู่สลับกันไป
2. แบบอินเตอร์เลซด์ (interlaced scanning) จะเป็นการสแกนที่แก้การกระพริบของภาพและ สามารถเพิ่มจำนวนภาพต่อวินาทีโดยใช้แบนด์วิดท์เท่าเดิมโดยจะมีการสแกนภาพ 2 ครั้งหรือ 2 เฟรมโดย มีการสแกนฟิลดตี้จนหมดก่อนแต่ก็มีข้อเสียคือมักจะเกิด เส้น แพร่งซึ่งทำให้ความชัดเจนลดลงไปและ การสร้างซิงค์ลำบากยุ่งยากมาก



รูปที่ 1 แสดงการสแกน, การสลับกลับและแสดงสัญญาณ Lighter , Derker

เอกสารนี้เป็นเอกสารที่สงวนไว้สำหรับการใช้งานเพื่อการศึกษาเท่านั้น ไม่อนุญาตให้นำไปใช้ประโยชน์ด้านการค้า ไม่ว่าจะกรณีใดๆ ทั้งสิ้น อีกทั้งห้ามมิให้ตัดแปลงเนื้อหา และต้องอ้างอิงถึงเจ้าของเอกสารทุกครั้งที่มีการนำไปใช้



## รูปที่ 2 แสดงการสแกนแบบ Interlaced

เวลาที่ใช้ในการรีเทรซทั้งทางด้านแนวตั้งและแนวนอนจะใช้เวลาสั้นประมาณ 10-16 เปอร์เซ็นต์ของเวลาทั้งหมดในระบบเอพซีซี ใช้เวลาในการสแกนทางแนวนอน  $63.5 \mu\text{s}$  ดังนั้นเวลารีเทรซจึงเท่ากับ  $6.35 \mu\text{s}$  ส่วนระบบซีซีไออาร์ ใช้เวลาในการสแกนเท่ากับ  $64 \mu\text{s}$  ดังนั้นเวลาในการรีเทรซได้ประมาณ  $6.4 \mu\text{s}$  ทางด้านความถี่แนวตั้งใช้เวลารีเทรซไม่เกิน 5-8 เปอร์เซ็นต์

ตามมาตรฐานของ FCC จะมีเส้นในการสแกน 525 ต่อ 1 ภาพและใช้เวลา 30 ภาพต่อวินาที นั่นคือใน 1 ฟิวด์จะมีเส้นสแกน 262.5 เส้น ความถี่ที่ใช้หักเหลำอิเล็กตรอนในแนวนอนจะมีค่าเท่ากับจำนวนเส้นภาพคูณกับจำนวนภาพในแต่ละเฟรม ดังนั้นจึงเท่ากับ  $525 \times 30 = 15,625 \text{ Hz}$  ส่วนความถี่การหักเหทางแนวตั้งใน 1 ฟิวด์ใช้เวลา  $1/60$  วินาที ดังนั้นความถี่จึงเท่ากับ  $60 \text{ Hz}$

ตามมาตรฐานของ CCIR จะมีเส้นในการสแกน 625 เส้นต่อ 1 ภาพและใช้เวลา 25 ภาพต่อวินาที นั่นคือใน 1 ฟิวด์จะมีเส้นสแกน 312.5 เส้น ความถี่ที่ใช้หักเหลำอิเล็กตรอนในแนวนอนจะมีค่าเท่ากับจำนวนเส้นภาพคูณกับจำนวนภาพในแต่ละเฟรม ดังนั้นความถี่เท่ากับ  $625 \times 25 = 15,625 \text{ Hz}$  และความถี่หักเหทางด้านแนวตั้งเท่ากับ  $50 \text{ Hz}$

ไม่ว่ากรณีใดๆ ทั้งสิ้น อีกทั้งห้ามมิให้ดัดแปลงเนื้อหา และต้องอ้างอิงถึงเจ้าของเอกสารทุกครั้งที่มีการนำไปใช้

## 2.1.2 การหักเหลำแสงอิเล็กตรอน (Electron beam deflection)

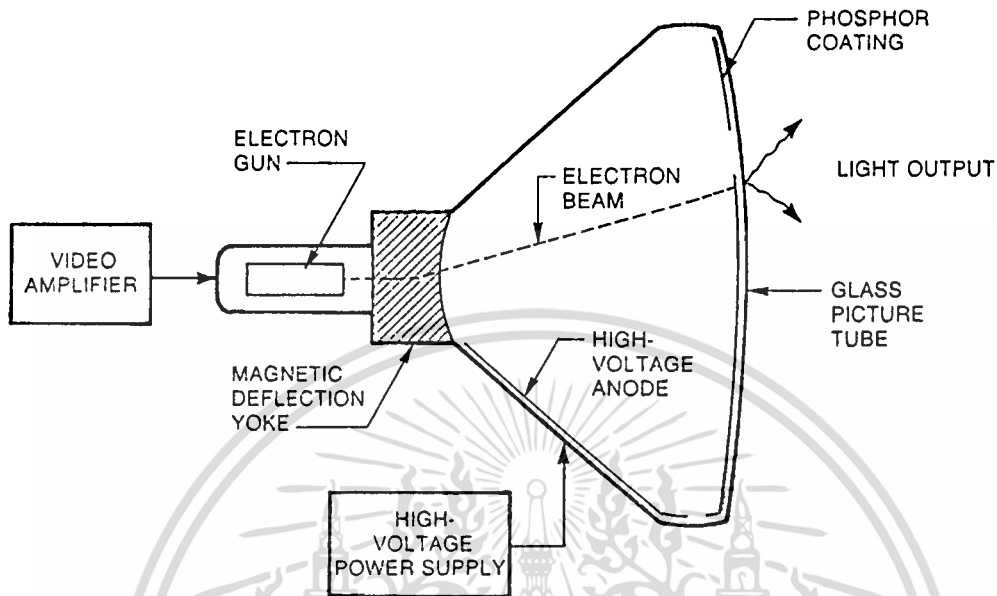
เส้นสแกนที่เห็นบนจอเครื่องรับโทรทัศน์ ซึ่งเรียกว่า รัสเตอร์ ภาคแสดงผลของสัญญาณคือ หลอดภาพซึ่งโครงสร้างของหลอดภาพเบื้องต้นอาศัยการยิงลำอิเล็กตรอนโดยมีไฟแรงสูงเป็นตัวคอยดึงให้ ลำอิเล็กตรอนวิ่งเข้าชนสารเรืองแสงที่หน้าจอ กรณีเช่นนี้จะทำให้เกิดแสงเพียงจุดเดียวกลางจอต่อไปจะทำให้ ได้เส้นภาพโดยการเบี่ยงเบนหรือการหักเหลำอิเล็กตรอนให้เกิดการสแกน จากหลักการของสนามไฟฟ้ากับเรื่องของสนามแม่เหล็กที่มีความแตกต่างกันเป็นตัวบังคับลำอิเล็กตรอนสแกนแนวตั้งและแนวนอน ซึ่งวิธีการทำให้ลำอิเล็กตรอนหักเหกระทำได้ 2 วิธี

1. สเตติก ดีเฟลคชัน (Static deflection) วิธีนี้ใช้แรงดันแบบพินเลี้ยงป้อนเข้าไปยังแผ่นหักเหซึ่งต่ออยู่ในหลอดภาพทำให้เกิดขั้วบวกและขั้วลบบนแผ่นสเตติกซึ่งจะเป็นตัวกำหนดการสแกนทางด้านแนวตั้งและทางด้านแนวนอน
2. แมกเนติก ดีเฟลคชัน (Magnetic deflection) วิธีนี้ใช้กระแสแบบพินเลี้ยงป้อนเข้าไปยังขดลวดหักเหซึ่งต่ออยู่ในหลอดภาพทำให้เกิดขั้วเหนือและขั้วใต้ที่ขดลวดหักเห ซึ่งจะเป็นตัวกำหนดการสแกนทางด้านแนวตั้งและแนวนอน

ในปัจจุบันประเทศไทยใช้ระบบ ซีซีไออาร์ ซึ่งใช้กระแสที่มีความถี่ทางแนวนอน 15625 เฮิทซ์ และความถี่ทางด้านแนวตั้ง 50 เฮิทซ์ ในสมัยนี้หลอดถ่ายภาพในกล้องโทรทัศน์และหลอดจอเครื่องรับโทรทัศน์จะใช้การหักเหแบบแมกเนติก ดีเฟลคชันแทบทั้งนั้น สำหรับมุมหักเหของลำอิเล็กตรอนในจอโทรทัศน์ที่มีมุมหักเหกว้างกว่าจะมีความยาวของหลอดสั้นกว่า แต่จำเป็นต้องใช้ความเข้มของสนามแม่เหล็กมากกว่า

การใช้รูปพินเลี้ยงช่วยในการสแกนแทนรูปคลื่นไซน์เพราะการเปลี่ยนแปลงตามความความสูงของรูปไซน์ตามเวลาไม่เป็นเส้นตรง ส่วนโค้งแต่ละส่วนขึ้นอยู่กับมุมซึ่งจะทำให้จุดสแกนแต่ละจุดที่ผ่านภาพมีความเร็วเปลี่ยนไปไม่เสมอกัน เป็นสาเหตุที่ทำให้ภาพที่ได้ออกมาไม่ตรงกับภาพที่ส่งมา

ส่วนรูปคลื่นพินเลี้ยงจะเปลี่ยนแปลงเป็นเส้นตรงตามเวลาที่เปลี่ยนไปและกลับมาอยู่ที่แกน X อย่างรวดเร็ว ซึ่งเป็นเช่นนี้ซ้ำตัวเองไปเรื่อยๆ ลักษณะรูปคลื่นกระแสแนวนอนและแนวตั้งให้กับโยคของกล้องนี้จะทำให้การสแกนของลำอิเล็กตรอนเคลื่อนที่ด้วยความเร็วคงที่



รูปที่ 3 แสดงการยิงลำอิเล็กตรอนในจอภาพ

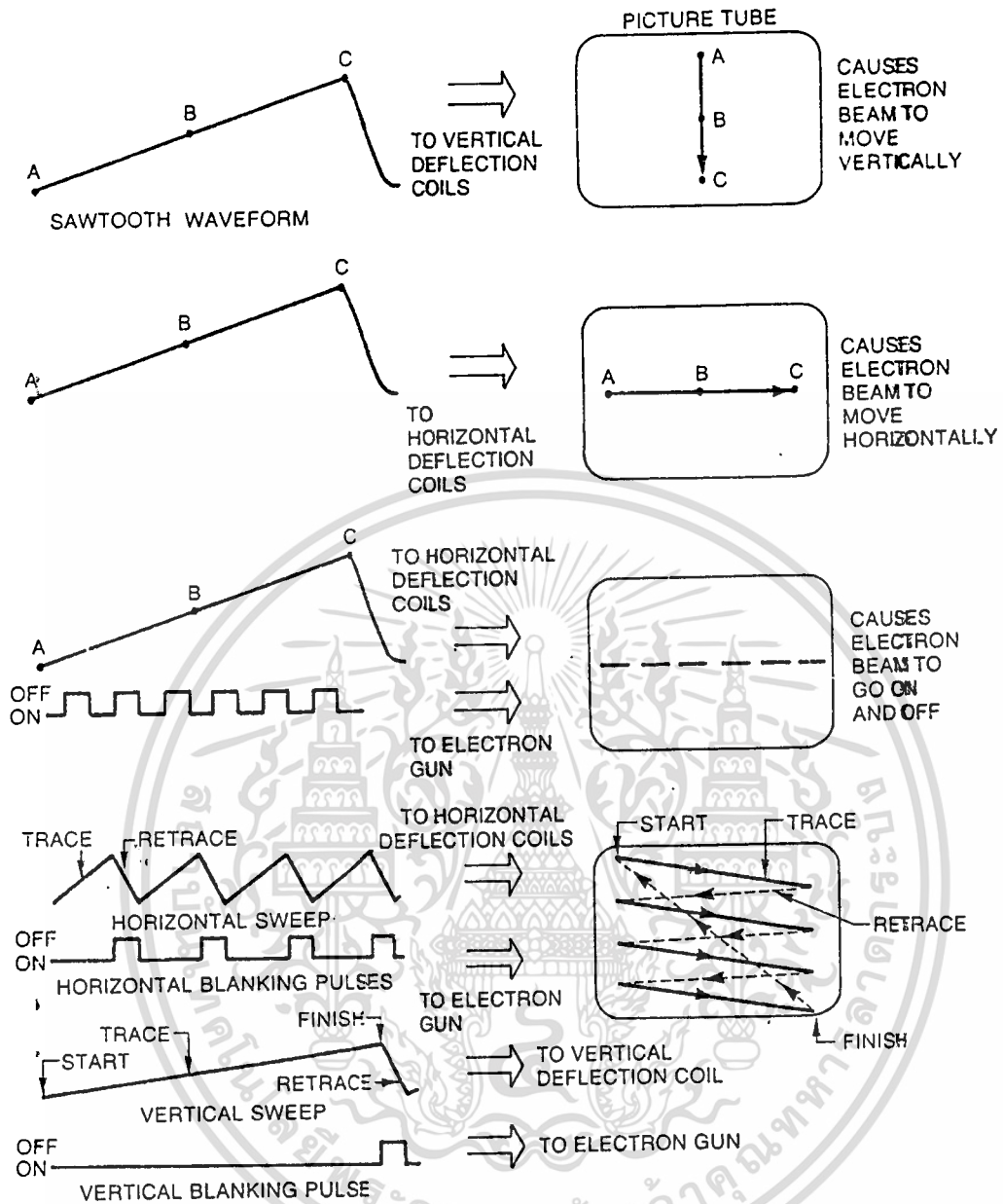
การหักเหยังสามารถแบ่งออกเป็นการหักเหในแนวตั้งและการหักเหในแนวนอนดังนี้  
การหักเหในแนวตั้ง

จะประกอบไปด้วยวงจรออซซิลเลเตอร์ทางแนวตั้ง วงจรเอาต์พุตทางแนวตั้ง และขดลวดของการหักเหทางแนวตั้ง กระแสรูปพื้นเลื่อยที่ไหลผ่านขดลวดนี้มีค่าที่ 60 Hz ตรงกันกับความถี่ที่ใช้งานในโทรทัศน์ตลอดเวลา

การหักเหในแนวนอน

จะมีวงจรที่จ่ายกระแสรูปพื้นเลื่อยที่มีค่าที่ 15,750 Hz ให้กับขดลวดการหักเหทางแนวนอน เพื่อคอยบังคับการหักเหของลำอิเล็กตรอนในแนวนอน ความถี่นี้จะตรงกันกับความถี่ที่ใช้ทางความถี่โทรทัศน์เช่นเดียวกันส่วนประกอบที่สำคัญก็คือ วงจรออซซิลเลเตอร์ทางแนวนอน ซึ่งโดยปกติจะมีวงจรเอเอฟซี อยู่ด้วยวงจรนี้จะคอยเปรียบเทียบเฟสของสัญญาณซิงค์ทางแนวนอนและสัญญาณของ ออซซิลเลเตอร์ทางแนวนอนเพื่อทำให้เกิด คอนโทรลโวลเตจสำหรับนำไปใช้งาน นอกจากนี้ยังมีวงจรเอาต์พุตทางแนวนอนที่จะจ่ายกระแสรูปพื้นเลื่อยให้ขดลวดหักเหทางแนวนอนและจ่ายกำลังไฟฟ้าแรงสูงให้กับแอโนดของหลอดภาพส่วนประกอบอีกอย่างหนึ่งคือวงจรหลอดแคมเพอร์ซึ่งมีไว้เพื่อแก้ไขข้อบกพร่องต่างๆในวงจร

ไม่ว่ากรณีใดๆ ทั้งสิ้น อีกทั้งห้ามมิให้ตัดแปลงเนื้อหา และต้องอ้างอิงถึงเจ้าของเอกสารทุกครั้งที่มีการนำไปใช้



รูปที่ 4 แสดงรูปคลื่นต่างๆที่ใช้ในการสแกน

### 2.1.8 สัญญาณซิงค์โครไนซ์ (Synchronizing signal)

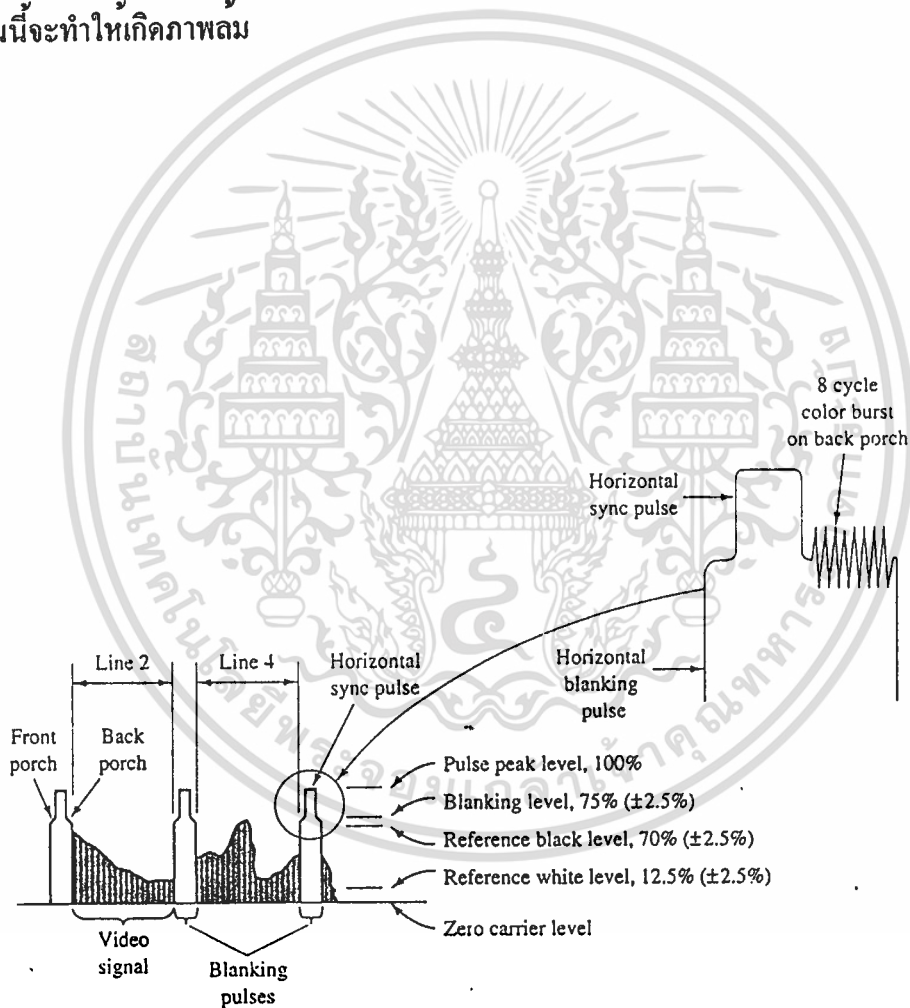
สัญญาณซิงค์โครไนซ์มีความสำคัญมากในการส่งโทรทัศน์สัญญาณนี้จะช่วยในการสแกนเป็นไปอย่างถูกต้องทั้งด้านแนวตั้งและแนวนอนและยังช่วยให้สัญญาณภาพทางด้านรับและด้านส่งทำงานที่ความถี่และเฟสเดียวกันซึ่งสัญญาณซิงค์จะสามารถแบ่งออกได้เป็น 2 แบบคือ

1. ซิงค์ทางด้านแนวตั้ง (Vertical Sync)
2. ซิงค์ทางด้านแนวนอน(Horizontal Sync)

เอกสารนี้เป็นเอกสารที่สงวนไว้สำหรับการใช้งานเพื่อการศึกษาเท่านั้น ไม่อนุญาตให้นำไปใช้ประโยชน์ด้านการค้า ไม่ว่าจะกรณีใดๆ ทั้งสิ้น อีกทั้งห้ามมิให้ตัดแปลงเนื้อหา และต้องอ้างอิงถึงเจ้าของเอกสารทุกครั้งที่มีการนำไปใช้

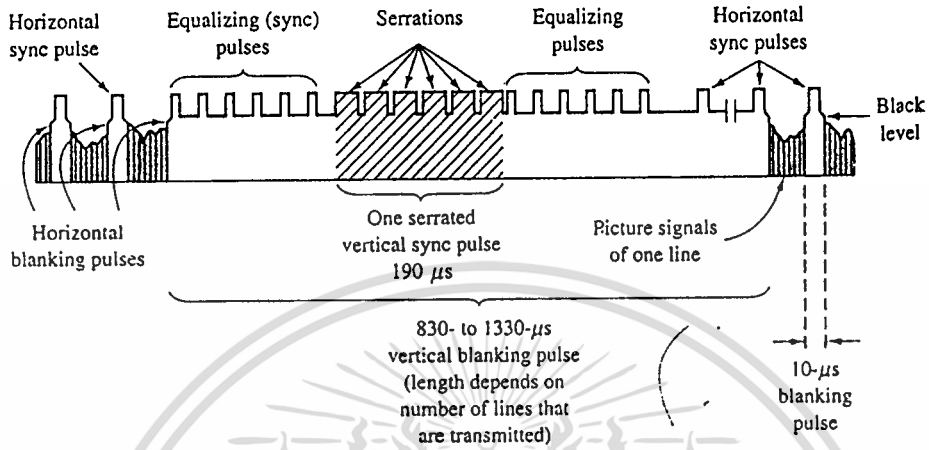
1. ซิงค์ทางค้ำแนวดั่ง(Vertical Sync) จะเป็นสัญญาณที่มีความถี่ 50 Hz ในระบบ CCIR หรือ 60 Hz ในระบบ FCC การแบ่งซิงค์ทางแนวดั่งมีช่วงห่างกัน 20 มิลลิวินาทีที่มีความถี่ 50 Hz ลักษณะของซิงค์ประกอบประกอบไปด้วยพัลส์กว้าง 27.3 ไมโครวินาทีจำนวน 5 พัลส์มีไว้เพื่อให่วงจรอินทิเกรเตอร์ทางเครื่องรับสร้างพัลส์สำหรับกระตุ้นไปควบคุมออสซิลเลเตอร์ำทางแนวดั่งอีกทีหนึ่ง

2. ซิงค์ทางแนวนอน(Horizontal Sync) จะเป็นสัญญาณที่มีความถี่ 15625 Hz ในระบบ CCIR หรือ 15750 Hz ในระบบ FCC ซิงค์ทางค้ำแนวนอนลักษณะเป็นพัลส์กว้าง 4.7 ไมโครวินาทีที่มีช่วงห่างกัน 64 ไมโครวินาทีช่วงระหว่างพัลส์นี้ปกคิจะเป็นส่วนที่บรรจุสัญญาณลายละเอียดต่างๆ ถ้าขาดซิงค์ทางค้ำแนวนอนนี้จะทำให้เกิดภาพล้ม



รูปที่ 5 แสดงสัญญาณซิงค์พัลส์ทางค้ำแนวนอน

เอกสารนี้เป็นเอกสารที่สงวนไว้สำหรับการใช้งานเพื่อการศึกษาเท่านั้น ไม่อนุญาตให้นำไปใช้ประโยชน์ด้านการค้า ไม่ว่ากรณีใดๆ ทั้งสิ้น อีกทั้งห้ามมิให้ดัดแปลงเนื้อหา และต้องอ้างอิงถึงเจ้าของเอกสารทุกครั้งที่มีการนำไปใช้



รูปที่ 6 แสดงสัญญาณซิงค์พัลส์ทางแนวตั้ง

การกำเนิดสัญญาณซิงค์

ความถี่คริสตอล 31250 Hz จะผลิตสัญญาณอิกวิลไลซิงพัลส์ สัญญาณซิงค์แนวนอน ซิงค์แนวตั้งและสัญญาณแบล็กคิงพัลส์ โดยใช้วงจรที่มีความแน่นอน อาจจะใช้ความควบคุมด้วย 50 Hz จากแหล่งจ่ายไฟและ 50 Hz ผ่านวงจร AFC ซึ่งควบคุมด้วยวงจรเฟสดีเทคเตอร์ จากการหาร 31250 ด้วย 625 จะทำให้วงจรมาสเตอร์ออสซิลเลเตอร์จากความถี่ 31250 Hz จากภายนอกก็ได้ ซิงค์พัลส์ทางแนวตั้งได้จากการหาร 31250 ด้วย 625 นำไปป้อนให้กับวงจรเซฟเฟอเรอร์ จะได้ซิงค์พัลส์ทางแนวตั้งความถี่ 50 Hz และความถี่นี้ส่วนหนึ่งนำไปผ่านวงจรทำสัญญาณแบล็กคิง เพื่อส่งไปวงจรแบล็กคิงมิกเซอร์ สำหรับซิงค์พัลส์ทางแนวนอน ทำได้จากการหารความถี่ 31250 Hz ด้วย 2 จะได้ความถี่ 15625 Hz ส่งไปยังวงจรเซฟเฟอเรอร์ เพื่อทำซิงค์พัลส์ทางแนวนอน สัญญาณนี้ส่วนหนึ่งจะนำไปผ่านวงจรเซฟเฟอเรอร์เพื่อส่งไปยังวงจรแบล็กคิงมิกเซอร์ และอีกส่วนหนึ่งนำไปป้อนให้วงจรกำเนิดสัญญาณซิงค์ที่วงจรนี้มีสัญญาณ 50 Hz มาป้อนด้วยสัญญาณขาออกจะเป็นสัญญาณมิกเซอร์ส่งไปผ่านวงจรซิงค์พัลส์ที่ภาคซิงค์พัลส์เซฟเฟอเรอร์ยังประกอบไปด้วยสัญญาณเซอเรเทคพัลส์ซึ่งพัลส์ชนิดนี้จะใส่ไว้ในช่วงสัญญาณซิงค์พัลส์ทางด้านแนวตั้ง เพื่อป้องกันไม่ให้ออสซิลเลเตอร์ทางแนวนอนของเครื่องรับขาดการควบคุมถ้าไม่มีเซอเรเทคพัลส์จะทำให้ภาพส่วนเอกสกรีนเป็นเอกสกรีนที่สั่นไหวสำหรับการใช้งานเพื่อการศึกษาเท่านั้น ไม่อนุญาตให้นำไปใช้ประโยชน์ด้านการค้าบน YouTube ได้

แม้ว่ากรณีใดๆ ทั้งสิ้น อีกทั้งห้ามมิให้ตัดแปลงเนื้อหา และต้องอ้างอิงถึงเจ้าของเอกสารทุกครั้งที่มีการนำไปใช้

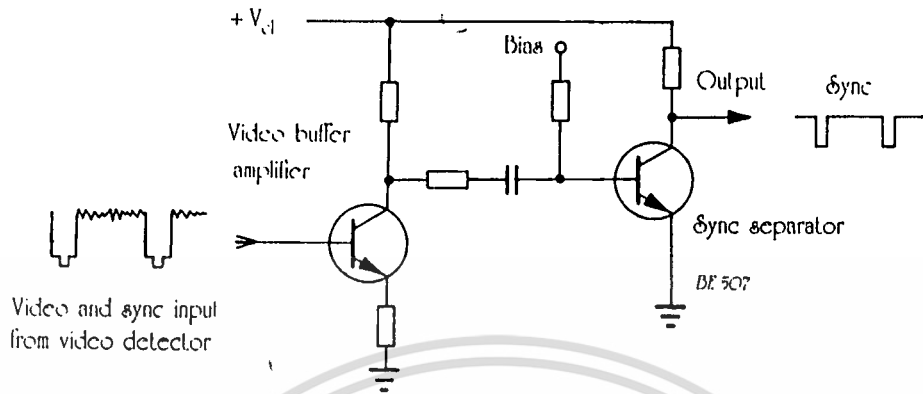
## วงจรแยกสัญญาณซิงค์ (Sync Separator)

ในการส่งสัญญาณโทรทัศน์ที่มีความยุ่งยากก็จะต้องมีการอ้างอิงเวลาและความถี่ระหว่างทางคั่นส่งและคั่นรับเพื่อให้เกิดความสอดคล้องกัน อย่างเช่นในระบบสเตอริโอโมดูลิเฟล็กซ์ เราจะต้องทำให้ระบบสวิตซ์ซึ่งมีการตัดต่อถูกต้องตรงกันกับเครื่องส่งจึงจะมีสัญญาณออกมาได้หากไม่สอดคล้องกันระหว่างเครื่องส่งและเครื่องรับสิ่งที่เกิดขึ้นคือการผิดเพี้ยนในส่วนของเครื่องรับโทรทัศน์ก็เช่นเดียวกันไม่ว่าจะรับสัญญาณเป็นภาพอย่างเดียว แต่นั่นหมายความว่าภาพที่ส่งมาในของการสแกนจะต้องไม่ผิดพลาดมิจนั้ภาพที่เกิดขึ้นอาจจะบิดเบี้ยว โยล์ม หรือพับและทำให้สีที่เข้ามาจะไม่สัมพันธ์กับทางด้านส่ง การควบคุมเพื่อให้เครื่องรับและเครื่องส่งทำงานสัมพันธ์กัน จะสามารถตรวจสอบการทำงานของระบบสแกนในเครื่องรับโดยปกติเครื่องรับสามารถที่จะสร้างสัญญาณเพื่อการสแกนภาพได้ด้วยวงจรภายในของเครื่องรับเองอยู่แล้วแต่การสแกนจะตรงกับเครื่องส่งที่ส่งสัญญาณมาหรือไม่เท่านั้น เนื่องจากวงจรของเครื่องส่งและเครื่องรับนี้มีออสซิลเลเตอร์ที่ทำงานโดยอิสระ สำหรับส่งกระแสรูปพื้นเลื้อย ให้กับวงจรการหักเหทางแนวนอน และวงจรการหักเหทางแนวตั้งอยู่แล้วจึงจำเป็นต้องอาศัยสัญญาณซิงค์มาช่วยเหลือ ทำให้ความถี่ของออสซิลเลเตอร์ เหล่านี้เท่ากันสัญญาณซิงค์ที่สถานีโทรทัศน์ส่งออกมาพร้อมกับสัญญาณภาพและสัญญาณแบล็กกิ้งในรูปของสัญญาณภาพรวมนี้จะมีสัญญาณซิงค์ทางแนวนอนและสัญญาณซิงค์ทางแนวตั้งซึ่งจะแยกออกจากกันทางเครื่องรับโทรทัศน์ การแยกสัญญาณซิงค์ออกจากสัญญาณภาพ ทำได้โดยอาศัยความจริงที่ว่าขนาดคลื่นของสัญญาณซิงค์สูงกว่าขนาดของสัญญาณภาพมากจึงอาจแยกออกจากกันได้โดยตัดส่วนที่อยู่สูงเกินกว่าระดับสัญญาณภาพที่กำหนดไว้ สัญญาณซิงค์ทางแนวนอนมีความถี่ 15750 เฮิทซ์ซึ่งสูงมาก จึงสามารถผ่านฟิลเตอร์ชนิดความถี่สูงผ่านได้ง่าย ส่วนสัญญาณซิงค์ทางแนวตั้งนั้นมีความถี่เพียง 60 เฮิทซ์ ซึ่งเป็นความถี่ต่ำจึงควรผ่านฟิลเตอร์ชนิดที่ความถี่ต่ำผ่านได้ง่าย

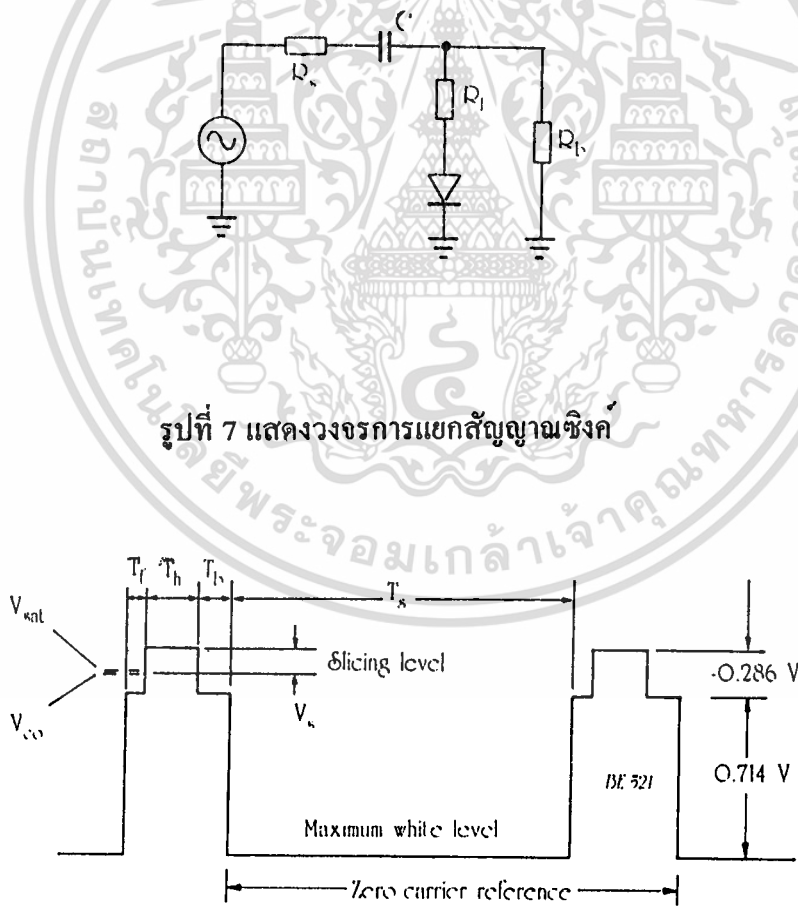
สัญญาณที่ใช้ในการสแกนเส้นภาพนั้นประกอบไปด้วยสัญญาณเวอร์ติคอลลซิงค์พัลซ์และฮอริซอนตอลซิงค์พัลซ์ซึ่งสัญญาณดังกล่าวนี้ถูกส่งมากับสัญญาณภาพรวมและการแยกออกเฉพาะสัญญาณซิงค์โครโมในช่องออกไปใช้งานจะต้องแยกออกจากภาพรวมก่อน วงจรที่เราใช้แยกสัญญาณซิงค์นี้เราเรียกว่าวงจรโอเวอร์ไดร์

วงจรที่ใช้กันส่วนมากจะใช่วงจรแบบเอซิคิปปลิ่ง โดยอาจมีการส่งสัญญาณภาพรวมไปยังวีดีโอบัฟเฟอร์แอมพลิฟาย เพื่อทำการกลับเฟสสัญญาณที่วงจรวีดีโอดีเทคเตอร์ทำการถอดสัญญาณมาเป็นเฟสลบกลับเป็นเฟสบวกก่อนที่จะส่งผ่านวงจรคิปปลิ่งไปยังทรานซิสเตอร์ที่ทำหน้าที่แยกสัญญาณซิงโครโมในซ์อีกทีหนึ่งลักษณะของทรานซิสเตอร์ตัวหลังจะจัดวงจรอยู่ในคลาสการขยายที่อาจเรียกได้ว่าวงจรขยายคลาสซีหรือที่เรียกว่าวงจรขยายแบบโอเวอร์ไดร์นั่นเองเพราะทรานซิสเตอร์นั้นเองเพราะทรานซิสเตอร์นั้นเองเพราะทรานซิสเตอร์ที่ทำหน้าที่เป็นตัวบัฟเฟอร์ สัญญาณซิงค์โครโมในซ์จะอยู่ส่วนยอดของสัญญาณภาพรวม ระดับล่างสุดจะเป็นสีขาวสุด ส่วนตรงบ่าคือระดับต่ำสุดซึ่งเราใส่สัญญาณแบล็กกิ้งเอาไว้

ไม่ว่ากรณีใดๆ ทั้งสิ้น อีกทั้งห้ามมิให้ดัดแปลงเนื้อหา และต้องอ้างอิงถึงเจ้าของเอกสารทุกครั้งที่มีการนำไปใช้



รูปที่ 7 แสดงวงจรการแยกสัญญาณซิงค์



รูปที่ 8 แสดงเวฟฟอร์มของสัญญาณซิงค์โครไนซ์

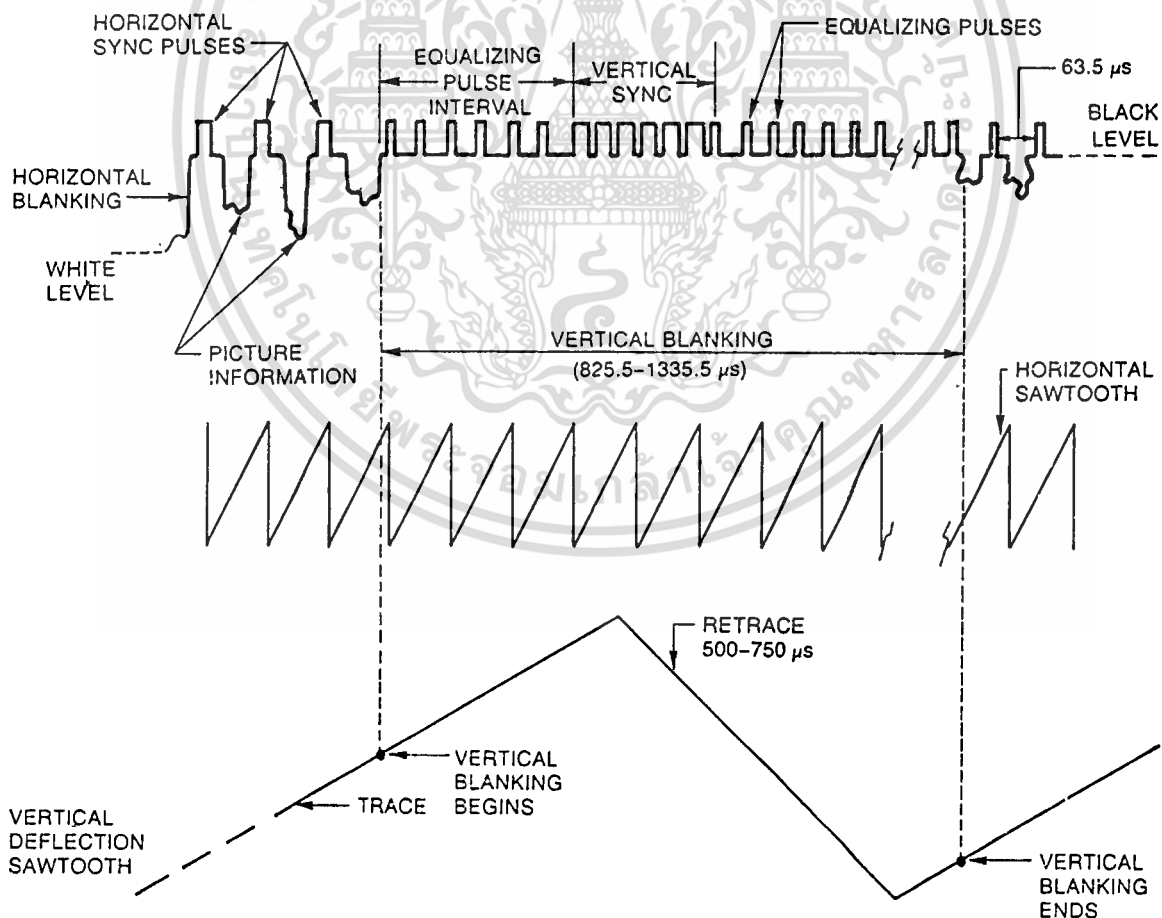
เอกสารนี้เป็นเอกสารที่สงวนไว้สำหรับการใช้งานเพื่อการศึกษาเท่านั้น ไม่อนุญาตให้นำไปใช้ประโยชน์ด้านการค้า ไม่ว่าจะกรณีใดๆ ทั้งสิ้น อีกทั้งห้ามมิให้ตัดแปลงเนื้อหา และต้องอ้างอิงถึงเจ้าของเอกสารทุกครั้งที่มีการนำไปใช้

### 2.1.4 สัญญาณแบลิ่งกิ้ง (Blanking signal)

เมื่อมีการสแกนลำอิเล็กตรอนที่หน้าจอเส้นรีเทรหรือเส้นสับกลับซึ่งเป็นเส้นภาพที่ไม่ต้องการ เรืองส่งจึงต้องส่งสัญญาณแบลิ่งกิ้งเพื่อบังคับให้เครื่องรับลบเส้นสับกลับได้สัญญาณแบลิ่งกิ้งส่วนหนึ่งของเครื่องรับจะต้องสร้างขึ้นเหมือนการสร้างสัญญาณซิงโครไนซ์แต่ละสลับพันซ์กับเครื่องส่งได้อย่างไรจึงต้องมีการส่งสัญญาณแบลิ่งกิ้งมาจากเครื่องส่งเพื่อลบเส้นสับกลับในเครื่องรับสัญญาณแบลิ่งกิ้งมีอยู่ 2 ชนิดคือ

1. เวนด์คอลลแบลิ่งกิ้ง (Vertical Blanking or Field Blanking)
2. ฮอริซอนคอลลแบลิ่งกิ้ง (Horizontal Blanking or Line Blanking)

ช่วงเวลาที่สัญญาณแบลิ่งกิ้งนี้กินเวลาประมาณ 1.28 มิลลิวินาทีและเวลา 12 ไมโครวินาทีตามลำดับในช่วงเวลาเหล่านี้จอโทรทัศน์จะถูกบังคับให้มีคสนิท



รูปที่ 9 แสดงสัญญาณแบลิ่งกิ้งทางแนวตั้ง

เอกสารนี้เป็นเอกสารที่สงวนไว้สำหรับการใช้งานเพื่อการศึกษาเท่านั้น ไม่อนุญาตให้นำไปใช้ประโยชน์ด้านการค้า ไม่ว่าจะกรณีใดๆ ทั้งสิ้น อีกทั้งห้ามมิให้ดัดแปลงเนื้อหา และต้องอ้างอิงถึงเจ้าของเอกสารทุกครั้งที่มีการนำไปใช้

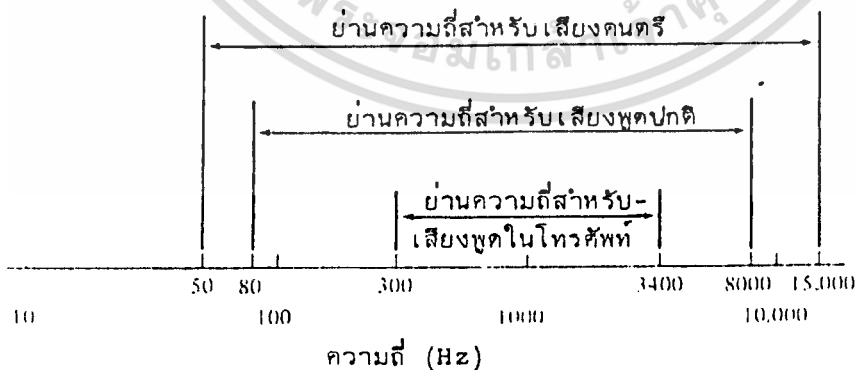
### 2.1.5 สัญญาณอีควอไลซิง (Equalizing pulse)

เป็นสัญญาณบังคับรูปร่างของสัญญาณเชิงโครโมโซมทางแนวตั้ง เพื่อให้สามารถคงรูปถูกต้อง และยังช่วยให้การสแกนแบบสลับเส้นเป็นไปได้อย่างถูกต้อง สามารถขึ้นเส้นคู่เส้นคี่ในตำแหน่งที่ถูกต้องได้ ทั้งยังส่งผลทางอ้อมให้สัญญาณเชิงโครโมโซมทางแนวอนไม่ขาดช่วงหายไปในช่วงการส่งสัญญาณทางแนวตั้งด้วย สัญญาณตัวนี้จะมีขนาดของพัลส์รวมเท่ากับเวอร์ติคอลลิงโครโมโซมพัลส์สัญญาณส่วนนี้ จะถูกแบ่งออกเป็น 6 ลูกเล็กๆในระบบ 525 เส้น และถูกแบ่งออกเป็น 5 ลูกในระบบ 625 เส้นซึ่งจะมีความกว้าง 2.3 ไมโครวินาที

## 2.2 สัญญาณเสียง

### 2.2.1 ย่านความถี่เสียง

ย่านความถี่เสียงที่ยอมรับได้นั้นขึ้นอยู่กับองค์ประกอบสองอย่างคือ ความชัดเจนต่อการกระจายความถี่และพลังงานต่อการกระจายความถี่ได้มีการทดลองเกี่ยวกับการฟังออกซึ่งทำเป็นเปอร์เซ็นต์ในการฟังให้ชัดเจนโดยผู้พยากรณ์ที่จดบันทึกในแต่ละช่วงที่ความถี่เปลี่ยนไปส่วนสัญญาณเสียงดนตรีจะอยู่ในช่วงความถี่ 15 ถึง 20000 Hz ส่วนระบบคุณภาพสูงหรือไฮไฟนั้นจะต้องมีคุณสมบัติต่ำสุดของช่วงกว้างความถี่สูงสุดต่อความถี่ของเสียงและความถี่ต่ำสุด อย่างไรก็ตามระบบสเตอริโอจะมีช่วงกว้างของความถี่จาก 50 ถึง 15000 Hz



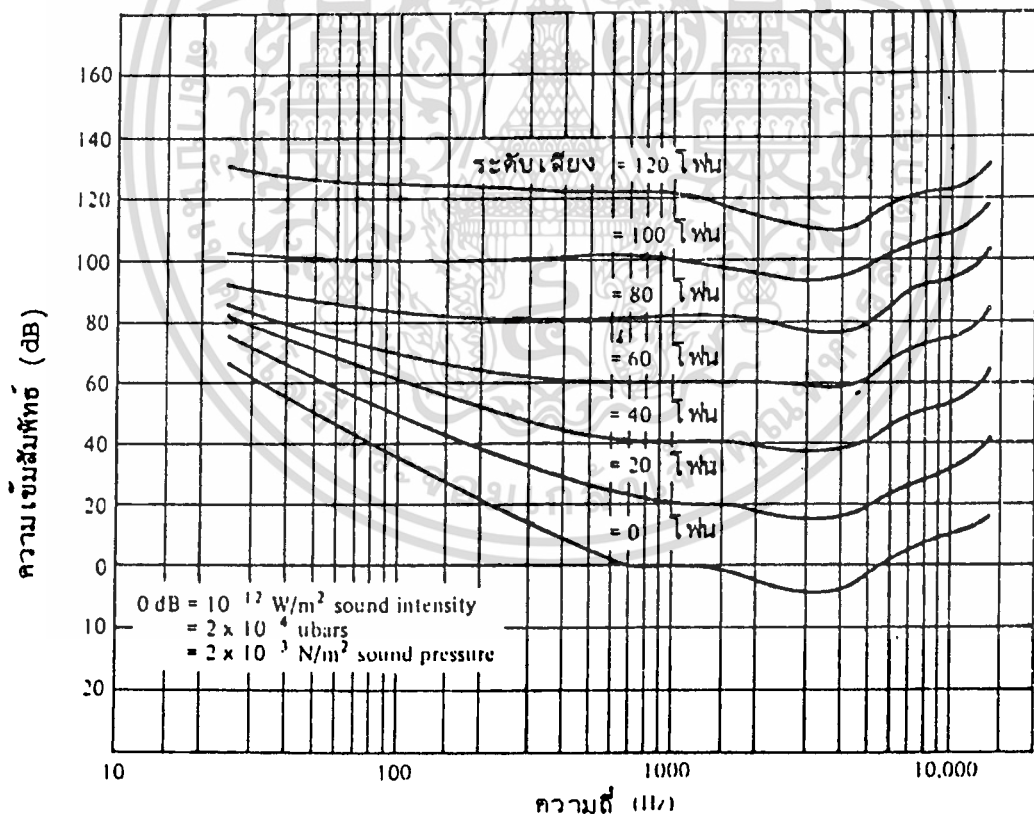
รูปที่ 10 แสดงย่านความถี่ต่างๆที่ใช้ในสัญญาณเสียง

เสียงเกิดจากการเปลี่ยนแปลงแรงดันอากาศ ต่อค่าเฉลี่ยของแรงดันปกติซึ่งเกิดจากการเคลื่อนที่ของวัตถุในอากาศความถี่ในย่านการเปลี่ยนแปลงนี้เริ่มจาก 1Hz ถึงหลายร้อยกิโลเฮิรตซ์ แต่หูของมนุษย์สามารถได้รับเสียงได้ดีจาก 16 Hz ถึง 16 KHz โดยประมาณเท่านั้น

## 2.2.2 ความเข้มเสียง

ความเข้มเสียง(Sound intensity) หมายถึง อัตราเฉลี่ยของการส่งพลังงานเสียงในทิศทางที่กำหนดให้ของพื้นที่ 1 ตารางเมตร และตั้งฉากกับทิศทางที่กำหนดให้ด้วยมีหน่วยเป็นวัตต์ต่อตารางเมตร และแปรตามแรงดันของเสียงกำลังสอง (Newton / Square meter) ความเข้มของเสียงมีหน่วยเป็นวัตต์ต่อตารางเมตร

หูเรามีความไวต่อเสียงมากสามารถรับรู้เสียงที่มีความเข้มเพียง $10^{-13}$  w/m<sup>2</sup> ความไวในการรับเสียงจะไม่เท่ากันทุกความถี่ซึ่งสามารถดูตามรูปที่ 2.1 จะเห็นว่าการรับเสียงของหูเมื่อความถี่เปลี่ยนไป ความเข้มเสียงมีหน่วยเป็นเดซิเบล ซึ่งจะแปลตามความเข้มแบบลอการิทึม



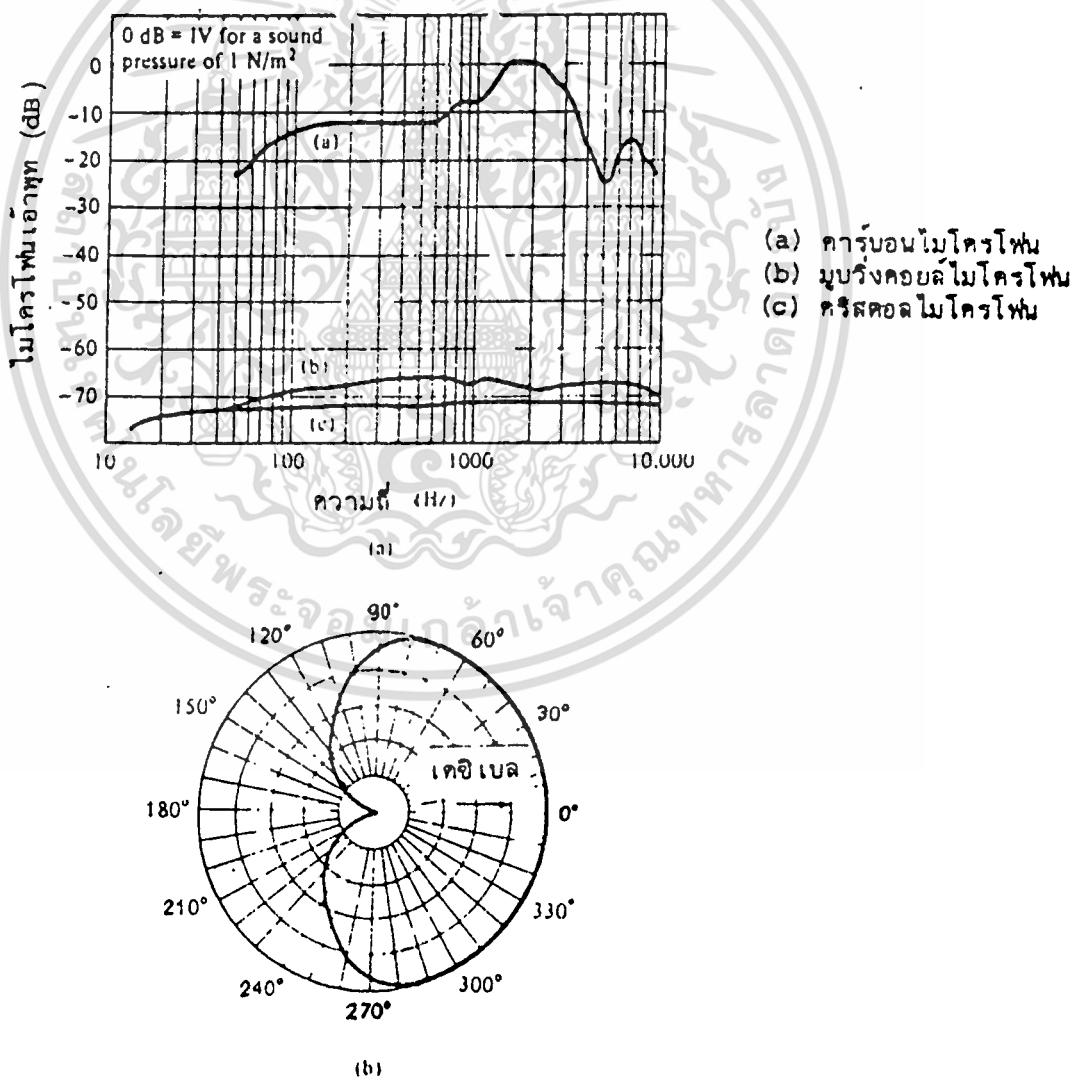
รูปที่ 11 แสดงความสัมพันธ์ระหว่างความดังกับความถี่

เอกสารนี้เป็นเอกสารที่สงวนไว้สำหรับการใช้งานเพื่อการศึกษาเท่านั้น ไม่อนุญาตให้นำไปใช้ประโยชน์ด้านการค้า ไม่ว่าจะกรณีใดๆ ทั้งสิ้น อีกทั้งห้ามมิให้ดัดแปลงเนื้อหา และต้องอ้างอิงถึงเจ้าของเอกสารทุกครั้งที่มีการนำไปใช้

### 2.2.8 ไมโครโฟน

ไมโครโฟนทำหน้าที่เปลี่ยนแรงกดของอากาศให้เป็นสัญญาณไฟฟ้าซึ่งมีหลายชนิดเช่นแบบเปลี่ยนค่าความต้านทานแบบคอสต์เคลื่อนที่แบบเปลี่ยนค่าคาปาซิแตนซ์และแบบปิโซอิเล็กตริกซึ่งคุณภาพของไมโครโฟนจะขึ้นอยู่กับพารามิเตอร์หลายอย่างเช่น ระดับของสัญญาณออกที่มีหน่วยเป็นวัตต์ ซึ่งเปรียบเทียบกับสัญญาณแรงดันอ้างอิงจึงเสียงที่มีความถี่ 1000 Hz ให้กับไมโครโฟนหรือระดับกำลังออกมามาฐานมีหน่วยเป็นเดซิเบล ระดับแรงดันนี้คือค่าความไวของไมโครโฟน

คาร์บอนไมโครโฟนใช้ในเครื่องส่งในหุฟังโทรศัพท์เป็นแบบเปลี่ยนค่าความต้านทานมีคุณสมบัติต่อความถี่จำกัดแต่มีลักษณะที่เน้นหนาทนทานมากจากรูปที่ 2.3 จะเห็นคุณสมบัติของไมโครโฟนทั้ง 3 ชนิด



รูปที่ 12 (a) แสดงคุณสมบัติต่างๆของไมโครโฟน

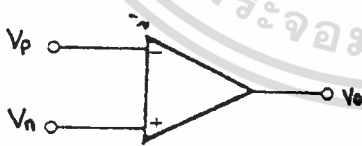
เอกสารนี้เป็นเอกสารที่สงวนไว้สำหรับอาจารย์และบุคลากรในหน่วยงานนั้น ไม่อนุญาตให้นำไปใช้ประโยชน์ด้านการค้า  
 (b) แสดงคุณสมบัติของไมโครโฟนจำกัดทิศทาง  
 ไม่ว่าจะกรณีใดๆ ทั้งสิ้น อีกทั้งห้ามมิให้ตัดแปลงเนื้อหา และต้องอ้างอิงถึงเจ้าของเอกสารทุกครั้งที่มีการนำไปใช้

## 2.2.4 วงจรขยายแรงดันสำหรับวงจรรอไดโ

ในปัจจุบันเราจะใช้ OPAMP ซึ่งมีชื่อเต็มว่า Operational Amplifier ซึ่งเป็นตัวขยายสัญญาณ โดยเฉพาะ ส่วนให้สัญญาณแบบไหนออกเท่าไรจะต้องขึ้นอยู่กับ การต่ออุปกรณ์คือ R C เนื่องจากไอซีออปแอมป์ 1 ตัว สามารถแทนภาคขยายในทรานซิสเตอร์ได้หลายตัว ไอซีออปแอมป์ยังมีข้อดีคือมีความต้านทานอินพุตสูงมาก มีความต้านทานเอาต์พุตต่ำ มีอัตราขยายสูง และมีข้อเสียคือ ส่วนใหญ่จะใช้ไฟบวกลบ กราวด์ซึ่งเพิ่มความยุ่งยากด้านวงจรจ่ายไฟเลี้ยง ขยายสัญญาณความถี่สูงไม่ได้ และมีสัญญาณรบกวนที่ความถี่สูงมากกว่าการใช้ทรานซิสเตอร์ จึงไม่ค่อยพบออปแอมป์ในเครื่องขยายคุณภาพสูง อย่างไรก็ตามปัจจุบันออปแอมป์ได้มีการพัฒนาไปมากซึ่งมีคุณสมบัติการขยายเสียงดีขึ้น

### วงจรรอแอมป์พื้นฐาน

ไอซีออปแอมป์ที่ใช้ในภาคปริแอมป์และภาคต้นของเพาเวอร์แอมป์นั้นส่วนใหญ่จะใช้ไฟเลี้ยง วงจรบวก ลบ กราวด์ (มีบางเบอร์ใช้ไฟบวกกับกราวด์) ไฟเลี้ยงมีแรงดันตั้งแต่ 6 ถึง 18 V กินกระแส ทั้งวงจรรวมทั้งอุปกรณ์ภายนอกด้วยไม่เกิน 10 mA ยกเว้นในภาคขยายเอาต์พุต ดังนั้น ในภาคขยายแรงดันที่ใช้ออปแอมป์หนึ่งตัว เราออกแบบวงจรจ่ายไฟให้มีกระแส 15 mA ก็พอ ถ้ามีออปแอมป์สองตัวออกแบบวงจรจ่ายไฟให้มีกระแสประมาณ 20 mA และถ้ามีออปแอมป์สี่ตัวออกแบบวงจรจ่ายไฟมีกระแสประมาณ 30 mA



$V_o$  = แรงดันเอาต์พุต

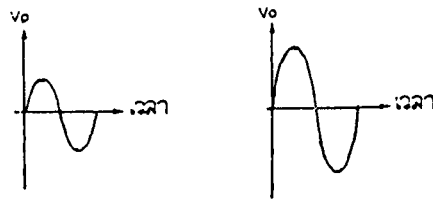
$V_n$  = แรงดันอินพุตกลับเฟส

$V_p$  = แรงดันอินพุตไม่กลับเฟส

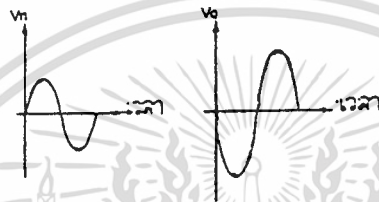
รูปที่ 13 สัญลักษณ์ของ OPAMP

ตามรูปที่ 3.1  $V_p$  แรงดันอินพุตไม่กลับเฟส หมายความว่า ถ้าป้อนสัญญาณไฟสลับเข้าที่  $V_p$  จะได้  $V_o$  มีเฟสเดียวกับ  $V_p$

เอกสารนี้เป็นเอกสารที่สงวนไว้สำหรับการใช้งานเพื่อการศึกษาเท่านั้น ไม่อนุญาตให้นำไปใช้ประโยชน์ด้านการค้า ไม่ว่ากรณีใดๆ ทั้งสิ้น อีกทั้งห้ามมิให้ดัดแปลงเนื้อหา และต้องอ้างอิงถึงเจ้าของเอกสารทุกครั้งที่มีการนำไปใช้



รูปที่ 14 แสดงเฟสของ  $V_p$  และ  $V_o$



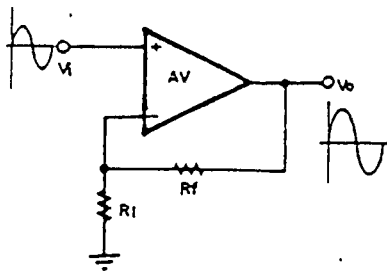
รูปที่ 15 แสดงเฟสของ  $V_n$  และ  $V_o$

ดังนั้นถ้าป้อนกลับทางลบจะป้อนกลับจาก  $V_o$  มายัง  $V_n$  เท่านั้น แต่ถ้าวงจรป้อนกลับเลื่อนเฟสไป 180 องศา ก็ป้อนกลับทางลบไปยังขา  $V_p$  ได้ ส่วนจะป้อนอินพุทเข้าขา  $V_p$  หรือ  $V_n$  ก็ได้

เนื่องจากวงจรเปิด ( Open Loop ) ของออปแอมป์นั้นมีอัตราขยายแรงดันสูงมากที่ความถี่ต่ำ และอัตราขยายลดลงที่ความถี่สูงรวมทั้งมีอัตราขยายที่ไม่เท่ากันแม้ว่าเป็นเบอร์เดียวกันดังนั้นวงจรที่ใช้งานจริงจึงเป็นชนิดลูปปิด ( Closed Loop ) โดยวิธีป้อนกลับทางลบ อัตราขยายชนิด ลูปปิด ( Closed Loop Gain ) จะมีค่าแน่นอนและมีการตอบสนองความถี่กว้างมากขึ้น

### วงจรขยายไม่กลับเฟส ( Noninverting Amplifier )

วงจรไม่กลับเฟสคือวงจรที่ป้อนสัญญาณอินพุทเข้าทางขาบวกหรือ  $V_p$  ตามรูป



$V_o$  = แรงดันเอาต์พุท

$V_i$  = แรงดันอินพุท

$R_f$  = ความต้านทานกลับ

$A_v$  = อัตราขยายแรงดันชนิดลูปปิด

รูปที่ 16 วงจรไม่กลับเฟส

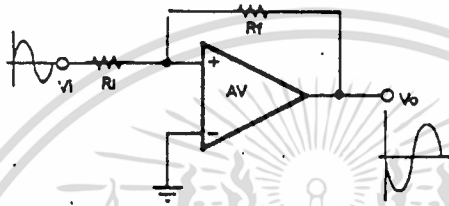
เอกสารนี้เป็นเอกสารที่สงวนไว้สำหรับการใช้งานเพื่อการศึกษาเท่านั้น ไม่อนุญาตให้นำไปใช้ประโยชน์ด้านการค้า ไม่ว่าจะกรณีใดๆ ทั้งสิ้น อีกทั้งห้ามมิให้ตัดแปลงเนื้อหา และต้องอ้างอิงถึงเจ้าของเอกสารทุกครั้งที่มีการนำไปใช้

ตามรูปที่ 16 อัตราการขยายแรงดันจะหาได้จากสมการ

$$A_v = 1 + R_f / R_1$$

วงจรขยายแบบกลับเฟส (Inverting Amplifier)

หมายถึงวงจรที่ป้อนสัญญาณอินพุตเข้าทางขาลบหรือ  $V_n$  ตามรูป

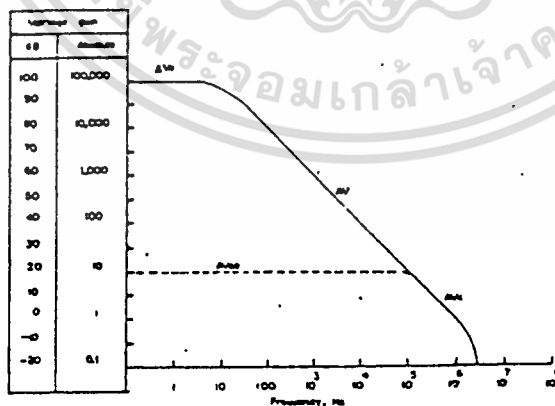


รูปที่ 17 วงจรขยายกลับเฟส

สมการขยายแรงดันตามรูปจะเป็น

$$A_v = -R_f / R_1$$

ค่า  $R_1$  ของทั้งชนิดกลับเฟสและไมกลับเฟสจะต้องมีค่าพอเหมาะเนื่องจากค่าความต้านทานอินพุตของวงจรขึ้นอยู่กับ  $R_1$  ด้วยโดยชนิดกลับเฟส(INVERTING)เมื่อมีการป้อนกลับทางลบแล้ว(CLOSED LOOP) แล้วจะทำให้อัตราการขยายแรงดันลดลงเป็นเท่าไรก็ได้แต่จะมีผลคือทำให้การตอบสนองความถี่เพิ่มขึ้นตามรูปที่ 18



รูปที่ 18 แสดงอัตราขยายแรงดันระหว่างวงจรเปิด ( $A_{vo}$ )และวงจรรูปป้( $A_{vc}$ )

กับความถี่ (Frequency)

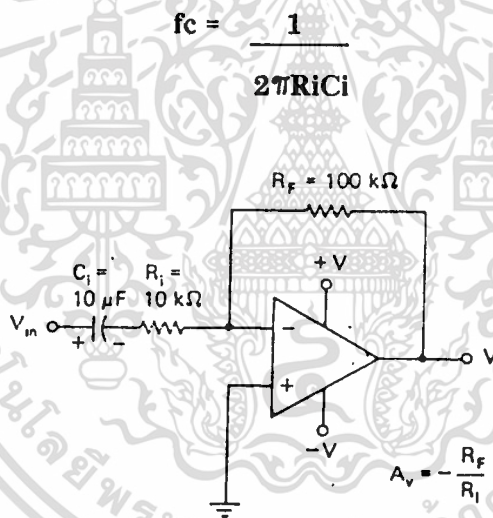
เอกสารนี้เป็นเอกสารที่สงวนไว้สำหรับการใช้งานเพื่อการศึกษาเท่านั้น ไม่อนุญาตให้นำไปใช้ประโยชน์ด้านการค้า ไม่ว่าจะกรณีใดๆ ทั้งสิ้น อีกทั้งห้ามมิให้ตัดแปลงเนื้อหา และต้องอ้างอิงถึงเจ้าของเอกสารทุกครั้งที่มีการนำไปใช้



### 2.3.4.1 วงจรขยายชนิดกลับเฟส

จากรูปที่ 19 แสดงวงจรการขยายชนิดกลับเฟสซึ่งสามารถนำไปใช้ร่วมกับวงจรรอดิโอ จะเห็นว่าโครงสร้างวงจรการขยายไฟตรง (DC) เพียงแต่มีตัวเก็บประจุ  $C_1$  ที่ต่ออนุกรมกับขั้วอินพุตลบเพิ่มขึ้นเท่านั้น หน้าที่ของ  $C_1$  มีดังนี้คือ

1. ป้องกันแรงดันไฟตรงจากภาคก่อนหน้าไม่ให้ผ่านเข้าวงจรขยายชุดนี้ได้มีฉนวนแรงดันไฟตรงนี้จะถูกขยายและทำให้เอาท์พุทของวงจรมีค่าเกิน  $V_{sat}$  เป็นผลให้สัญญาณออกโอ(ซึ่งเป็นสัญญาณไฟสลับ) ผิดจากความเป็นจริง
2. ตัวเก็บประจุนี้จะช่วยป้องกันไม่ให้สัญญาณรบกวนความถี่ต่ำสามารถผ่านเข้าสู่ขั้วของออปแอมป์ได้ โดยให้ความถี่คัทออฟ( $f_c$ )จะมีค่าดังนี้



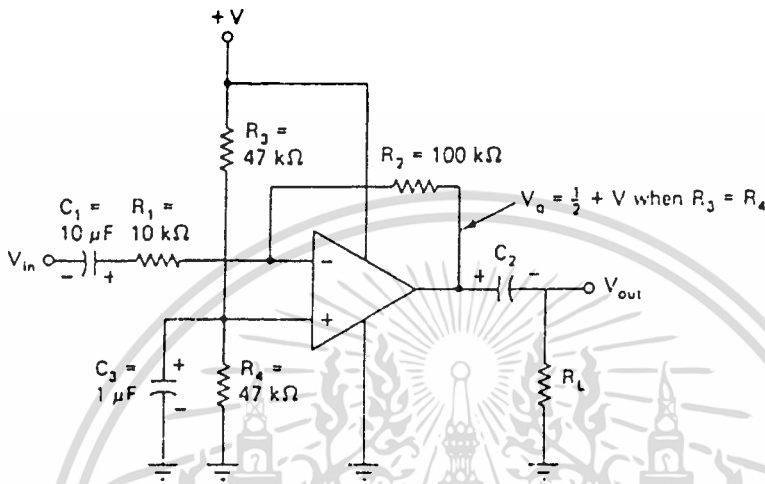
รูปที่ 19 แสดงวงจรขยายชนิดกลับเฟส

อัตราขยายแรงดันของวงจร ( $A_v$ ) มีค่าเท่ากับ  $-(R_f/R_i)$  และมีอินพุตรีซิสแตนซ์เท่ากับ  $R_i$

ออปแอมป์ในรูปที่ 19 เป็นชนิดที่ต้องการไฟเลี้ยงชนิดบวกและลบ ในบางครั้งเราอาจต้องการให้ออปแอมป์ทำงานโดยใช้ไฟเลี้ยงเพียงด้านเดียว(โดยอีกด้านต่อกับกราวด์)ดังแสดงในรูปที่ 20 การต่อในลักษณะนี้แรงดันเอาท์พุทของออปแอมป์ในลักษณะที่ไม่มีสัญญาณอินพุต( $V_q$ )ควรมีระดับอยู่ที่  $1/2(+V)$  เมื่อ  $R_3=R_4$  นั่นคือเมื่อมีสัญญาณไฟสลับเข้ามาที่อินพุต สัญญาณเอาท์พุทจะสามารถสวิงได้สูงสุด (การต่อชนิดนี้ต่างกับชนิดที่ใช้ไฟเลี้ยงสองชุดตรงที่เอาท์พุทจะสวิงจาก  $1/2(V)$  ไปยัง  $+V$  หรือ  $1/2(V)$  ไปยังกราวด์ แทนที่จะสวิงระหว่าง 0 ถึง  $V$  โวลต์เช่นวงจรที่ใช้ไฟเลี้ยงสองชุด)  $R_3$  และ  $R_4$  ที่ใช้อาจมีค่าตั้งแต่ 10 ถึง 100 กิโลโห์ม ตัวเก็บประจุ  $C_3$  จะช่วยกรองสัญญาณรบกวนซึ่งเกิดจากแหล่งจ่ายไฟเลี้ยงเพื่อป้องกันไม่ให้สัญญาณนี้เข้าสู่ขั้วอินพุตบวกของออปแอมป์ ส่วน  $C_2$  จะป้องกันไม่ให้แรงดันไฟตรงผ่านออกไป

ไม่ว่ากรณีใดๆ ทั้งสิ้น อีกทั้งห้ามมิให้ตัดแปลงเนื้อหา และต้องอ้างอิงถึงเจ้าของเอกสารทุกครั้งที่มีการนำไปใช้

ยังวงจรถัดไป(ตัวอย่างเช่น ในขณะที่แรงดันเอาต์พุตมีค่า  $(1/2)V + V_x$  โดยที่  $V$  เป็นแรงดันจากไฟเลี้ยง และ  $V_x$  เป็นขนาดสัญญาณที่ถูกขยายเฉพาะสัญญาณ  $V_x$  เท่านั้นที่สามารถผ่าน  $C_2$  ออกไปยังวงจรถัดไป) ตัวเก็บประจุที่ใช้ควรเป็นชนิด electrolytic และควรตรวจขั้วของตัวเก็บประจุในขณะวงจรให้ดี



รูปที่ 20 แสดงวงจรขยายชนิดกลับเฟสที่ใช้แหล่งจ่ายไฟเลี้ยงเป็นบวก

รูปที่ 20 แสดงการใช้แหล่งจ่ายไฟเลี้ยงซึ่งเป็นบวกเท่านั้นในบางครั้งหากต้องการหาไฟเลี้ยงที่เป็นลบ เราก็สามารถทำได้เช่นเดียวกันเพียงแค่เปลี่ยน  $+V$  เป็นกราวด์และเปลี่ยนสัปดาห์ที่ต่อกับปลาย  $R_4$  เป็น  $-V$  นอกจากนั้นควรกลับขั้วของตัวเก็บประจุด้วย

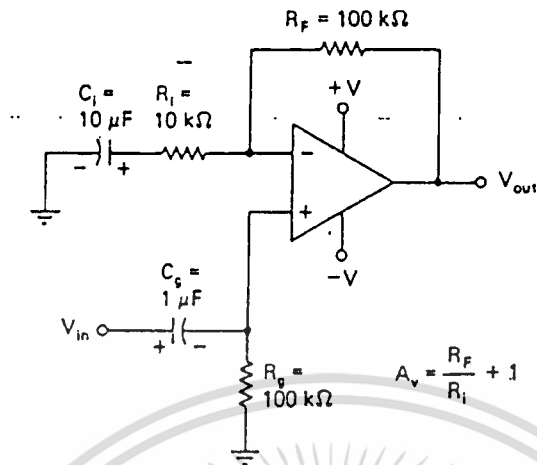
### 2.3.4.2 วงจรขยายไม่กลับเฟส

การใช้โอปแอมป์ในวงจรขยายชนิดกลับเฟสที่ได้กล่าวมาแล้วนั้นจะทำให้อินพุตอิมพีแดนซ์มีค่าเท่ากับ  $R_i$  ซึ่งมีค่าค่อนข้างต่ำ ทำให้การนำวงจรขยายชนิดนี้ไปต่อกับแหล่งกำเนิดสัญญาณที่มีอิมพีแดนซ์สูงได้ผลไม่ดีเท่าที่ควร ดังนั้นในหัวข้อนี้จะนำวงจรขยายแบบไม่กลับเฟสมาใช้งานบ้างดังรูปที่ 21

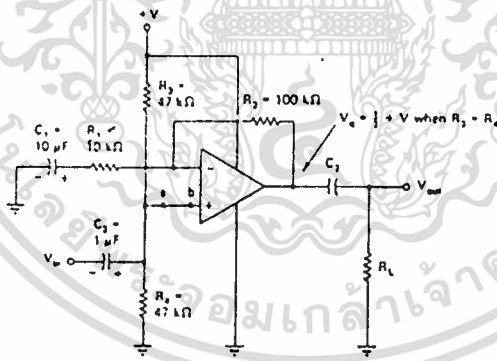
อุปกรณ์  $C_i, R_i$  และ  $R_f$  ในรูปที่ 21 จะทำงานในลักษณะเดียวกับวงจรรูป 19 โดยมี  $C_g$  และ  $R_g$  เป็นตัวกำหนดความถี่ของสัญญาณอินพุตที่สามารถผ่านเข้าสู่อินพุตบวกได้

วงจรขยายแบบไม่กลับเฟสที่ใช้แหล่งจ่ายไฟเลี้ยงเพียงซีกเดียว ดังรูปที่ 21 และมีการทำงานคล้ายกับวงจรในรูปที่ 20 ต่างกันตรงที่ว่าไม่สามารถต่อตัวเก็บประจุสำหรับการคัปปลิงคร่อมตัวต้านทาน  $R_4$  ดังในรูปที่ 20 ได้ มิเช่นนั้น สัญญาณไฟสถิตย์ทั้งหมดจะถูกชอร์ตลงสู่กราวด์ ดังนั้นจึงต้องปรับรูปภาคคัปปลิง

เอกสารนี้เป็นเอกสารที่สงวนไว้สำหรับการใช้งานเพื่อการศึกษาเท่านั้น ไม่อนุญาตให้นำไปใช้ประโยชน์ด้านการค้า ไม่ว่าจะกรณีใดๆ ทั้งสิ้น อีกทั้งห้ามมิให้ตัดแปลงเนื้อหา และต้องอ้างอิงถึงเจ้าของเอกสารทุกครั้งที่มีการนำไปใช้



รูปที่ 21 แสดงวงจรขยายชนิดไม่กลับเฟส



รูปที่ 22 แสดงวงจรขยายชนิดไม่กลับเฟสที่ใช้แหล่งจ่ายไฟเลี้ยงเป็นบวก

เอกสารนี้เป็นเอกสารที่สงวนไว้สำหรับการใช้งานเพื่อการศึกษาเท่านั้น ไม่อนุญาตให้นำไปใช้ประโยชน์ด้านการค้า  
ไม่ว่ากรณีใดๆ ทั้งสิ้น อีกทั้งห้ามมิให้ดัดแปลงเนื้อหา และต้องอ้างอิงถึงเจ้าของเอกสารทุกครั้งที่มีการนำไปใช้

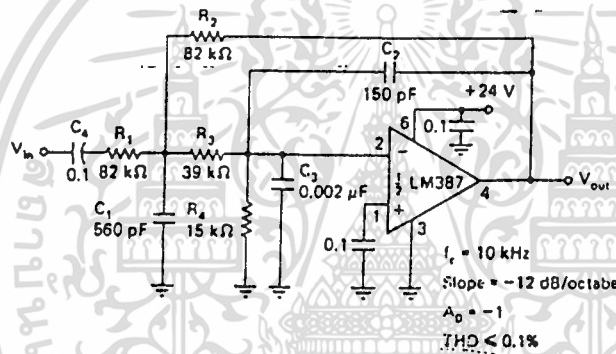
## 2.2.5 วงจรออดิโอชนิดต่างๆ

### 1. วงจร Scratch filter

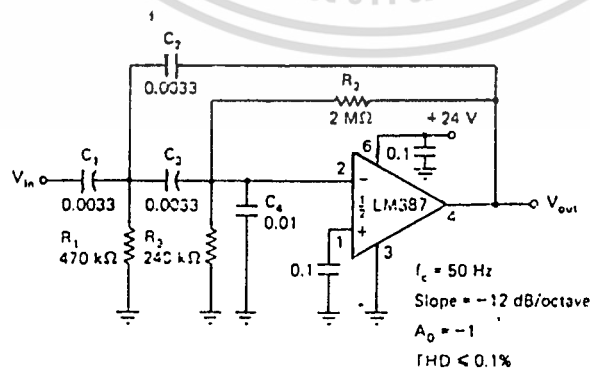
เป็นวงจรที่มีความถี่ต่ำชนิดหนึ่งซึ่งจะกำจัดสัญญาณรบกวนในอุปกรณ์จำพวกเครื่องเสียงโดยเฉพาะวงจรในรูป 23 มีความถี่คutoff ประมาณ 10 กิโลเฮิรท์ซ และมีความชันเท่ากับ -12 dB/Octave

### 2. วงจร Rumble filter

เป็นวงจรกรองความถี่สูงใช้สำหรับลดสัญญาณรบกวนความถี่ต่ำ(เป็นวงจรกรองความถี่สูง)ดังในรูปที่ 24 ซึ่งมีความถี่คutoff เท่ากับ 50 เฮิรท์ซ และมีความชันเท่า -12 dB/Octave



รูปที่ 23 แสดงวงจร Scratch filter



รูปที่ 24 แสดงวงจร Rumble filter

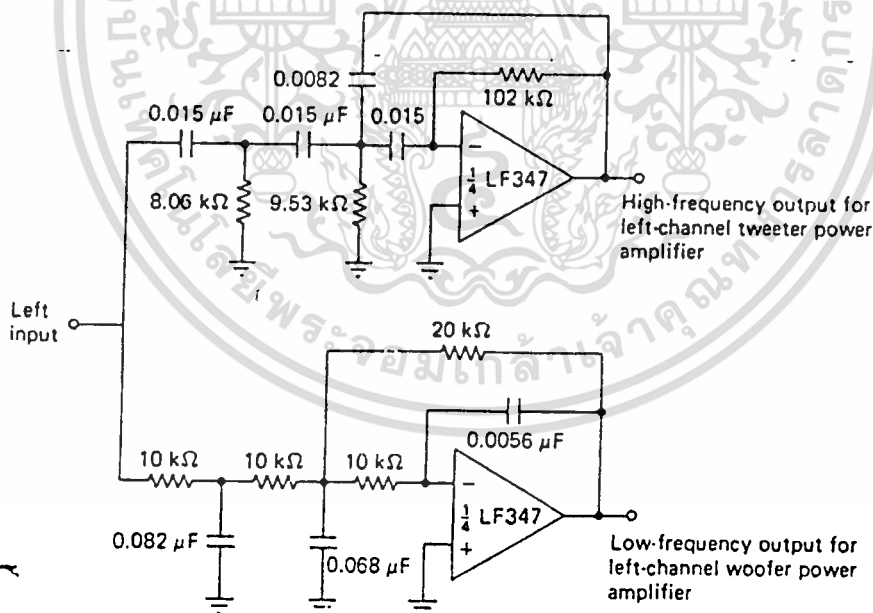
เอกสารนี้เป็นเอกสารที่สงวนไว้สำหรับการใช้งานเพื่อการศึกษาเท่านั้น ไม่อนุญาตให้นำไปใช้ประโยชน์ด้านการค้าไม่ว่ากรณีใดๆ ทั้งสิ้น อีกทั้งห้ามมิให้ดัดแปลงเนื้อหา และต้องอ้างอิงถึงเจ้าของเอกสารทุกครั้งที่มีการนำไปใช้

### 3. วงจร Active Crossover

ในการใช้งานลำโพงของเครื่องเสียงให้มีประสิทธิภาพสูงสุดและได้เสียงซึ่งใกล้เคียงความจริงที่สุด สัญญาณเสียงจะต้องถูกแบ่งออกเป็นสองระดับคือ ประเภทความถี่สูงและประเภทความถี่ต่ำ แล้วจึงส่งสัญญาณความถี่สูงออกทางลำโพงเสียงแหลมที่เรียกว่า tweeter และส่งสัญญาณความถี่ต่ำผ่านลำโพงเสียงทุ้มที่เรียกว่า woofer วงจรที่ใช้ในการแยกสัญญาณเสียงออกเป็นสองระดับนี้เรียกว่า วงจร Active Crossover

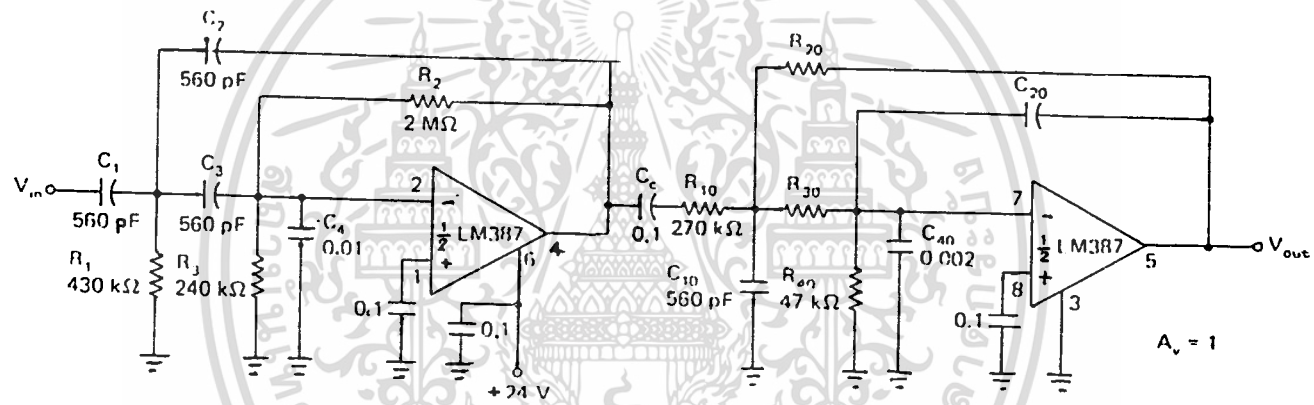
### 4. วงจร Speech filter

ในวงจรออดิโอเอาท์พุทที่เราต้องการคือ สัญญาณที่มีความถี่ในช่วงความถี่เสียงซึ่งมีค่าตั้ง 300 Hz ถึง 3 kHz ดังนั้นวงจรกรองเสียงนี้จึงเป็นวงจรที่สามารถกรองสัญญาณในช่วงนี้ออกมาทำให้เสียงที่ได้มีความเพี้ยนน้อยมากวงจรในรูปที่ 26 เกิดจากการนำวงจรกรองความถี่สูงและวงจรกรองความถี่ต่ำมาต่อรวมกันซึ่งจะได้ความถี่ lower cutoff = 300 Hz และ upper cutoff = 30 kHz โดยมีค่าความชันทั้งสองด้านเท่ากับ -40 dB/decade



รูปที่ 25 แสดงวงจรภายในระบบสเตอริโอ(เพียงด้านเดียวเท่านั้น)

เอกสารนี้เป็นเอกสารที่สงวนไว้สำหรับการใช้งานเพื่อการศึกษาเท่านั้น ไม่อนุญาตให้นำไปใช้ประโยชน์ด้านการค้า ไม่ว่าจะกรณีใดๆ ทั้งสิ้น อีกทั้งห้ามมิให้ดัดแปลงเนื้อหา และต้องอ้างอิงถึงเจ้าของเอกสารทุกครั้งที่มีการนำไปใช้



รูปที่ 26 แสดงวงจร Speech filter

## 2.8 สัญญาณรบกวน (Noise)

สัญญาณรบกวนจะเป็นสัญญาณที่ไม่พึงประสงค์แก่การสื่อสารทุกอย่างเพราะสัญญาณรบกวนนี้จะทำให้สัญญาณที่รับและสัญญาณที่ส่งเกิดไม่ตรงกันทำให้เกิดการผิดพลาดของข้อมูลได้ซึ่งสัญญาณรบกวนนี้สามารถแบ่งออกเป็นประเภทใหญ่ๆ ได้ทั้งหมด 2 ประเภทคือ

1. สัญญาณรบกวนภายนอก (External noise)

2. สัญญาณรบกวนภายใน (Internal noise)

โดยสัญญาณรบกวนทั้งสองนี้จะแตกต่างกันซึ่งมีข้อแตกต่าง

1. สัญญาณรบกวนภายนอก (External noise) ซึ่งสามารถแบ่งออกได้เป็น

1.1 การเกิดสัญญาณรบกวนเนื่องจากชั้นบรรยากาศ ซึ่งโดยทั่วไปแล้วการส่งสัญญาณต่างๆ โดยมีอากาศเป็นตัวกลางจะต้องมีการสูญเสียเนื่องจากการดูดกลืนสัญญาณในอากาศโดยไอน้ำในอากาศและการเปลี่ยนแปลงของชั้นบรรยากาศซึ่งจะทำให้สัญญาณที่ส่งเกิดการเปลี่ยนแปลงด้วยซึ่งเหนือผิวโลกขึ้นไปประมาณ 50 ถึง 400 กิโลเมตร การแผ่รังสีอุลตราไวโอเล็ตจากดวงอาทิตย์จะทำให้อนุภาคของก๊าซในชั้นบรรยากาศที่ห่อหุ้มโลก แยกตัวเป็นไอออนเกิดประจุบวกและประจุลบรวมทั้งอิเล็กตรอนอิสระมากมายชั้นบรรยากาศที่โดนรังสีแล้วเกิดไอออนนี้เรียกว่าชั้น ไอโอโนสเฟียร์ (ionosphere) คลื่นแม่เหล็กไฟฟ้าที่เดินทางเข้าสู่ชั้นบรรยากาศนี้จะถูกหักเหเนื่องจากสนามไฟฟ้าในลักษณะเดียวกับแสงถูกหักเหหรือสะท้อนผ่านกระจกเงา การหักเหของคลื่นจะมากหรือน้อยขึ้นอยู่กับองค์ประกอบหลายอย่าง เช่น ความถี่ของคลื่นที่เดินทางเข้ามาในชั้นบรรยากาศ ปริมาณความหนาแน่นของไอออนในชั้น ไอโอโนสเฟียร์ มุมที่คลื่นเดินทางเข้าสู่ชั้น ไอโอโนสเฟียร์

1.2 การเกิดสัญญาณรบกวนเนื่องจากสภาวะแวดล้อม ซึ่งเกิดจากการรบกวนเนื่องจากการจุดระเบิดของหัวเทียนรถ การรบกวนเนื่องจากสัญญาณเสียงแทรกเข้ามาระหว่างการส่งและยังมีการสูญเสียเนื่องจากสัญญาณถูกลดทอนจาก ภูเขา ต้นไม้ บ้าน

2. สัญญาณรบกวนภายใน (Internal noise)

โดยปกติแล้วการเกิดสัญญาณรบกวนที่เกิดภายในนี้จะเกิดมาจากตัวอุปกรณ์เองคือ

2.1 การเกิดสัญญาณรบกวนเนื่องจากความร้อนของตัวอุปกรณ์ (Thermal noise)

เทอร์มอลนอยส์เกิดจากประจุ ซึ่งได้รับพลังงานเพิ่มขึ้นอันเนื่องมาจากอุณหภูมิของสภาวะแวดล้อมรอบตัวเพิ่มมากขึ้นเป็นผลให้ประจุไฟฟ้ามีการเคลื่อนที่อย่างไร้ทิศทางที่แน่นอนซึ่งธรรมชาติแล้วนั้นวัสดุทุกชนิดหรือโลหะทุกชนิดจะมีประจุอิสระเคลื่อนที่ไปด้วยความเร็วและทิศทางสะเปะสะปะไม่แน่นอนแต่ความเร็วในการเคลื่อนที่นั้นขึ้นอยู่กับอุณหภูมิสัมบูรณ์ (Absolute temperature) ของสภาวะล้อมรอบซึ่งเราจะเรียกในลักษณะนี้ว่า เทอร์มอล หรือจอน์สันนอยส์ โดย

เขียกร รัตนเนน เอกสารที่ส่งมอบให้สำนักงานเพื่อการศึกษาเท่านั้น เมื่ออนุญาตให้ใช้ประโยชน์ด้านการค้า

ไม่ว่ากรณีใดๆ ทั้งสิ้น อีกทั้งห้ามมิให้ดัดแปลงเนื้อหา และต้องอ้างอิงถึงเจ้าของเอกสารทุกครั้งที่มีการนำไปใช้

ค่าน้อยสั่นนี้จะเกิดขึ้นในเนื้อวัสดุโลหะโดยปราศจากการไหลของกระแสผ่านเลขค่าแรงดัน RMS ของน้อยสั่นที่เกิดขึ้นนี้ขึ้นอยู่กับอุณหภูมิ ค่าความต้านทานของเนื้อวัสดุและความกว้างของแถบความถี่ที่ใช้ในวงจรดังสมการต่อไปนี้

$$V(\text{rms}) = \sqrt{4kTRf}$$

$V_{\text{thermal}}(\text{rms})$  = ค่า root-mean-square ของน้อยสั่นที่เกิดขึ้น

$k$  = ค่าคงที่ของ Boltzmann ,  $1.38 \times 10^{-23}$  J/K

$R$  = ความต้านทานของวัสดุ , โอห์ม

$f$  = แถบความถี่ในวงจร , Hz

$T$  = ค่าอุณหภูมิสัมบูรณ์ , K

$^{\circ}\text{K} = ^{\circ}\text{C} + 273$

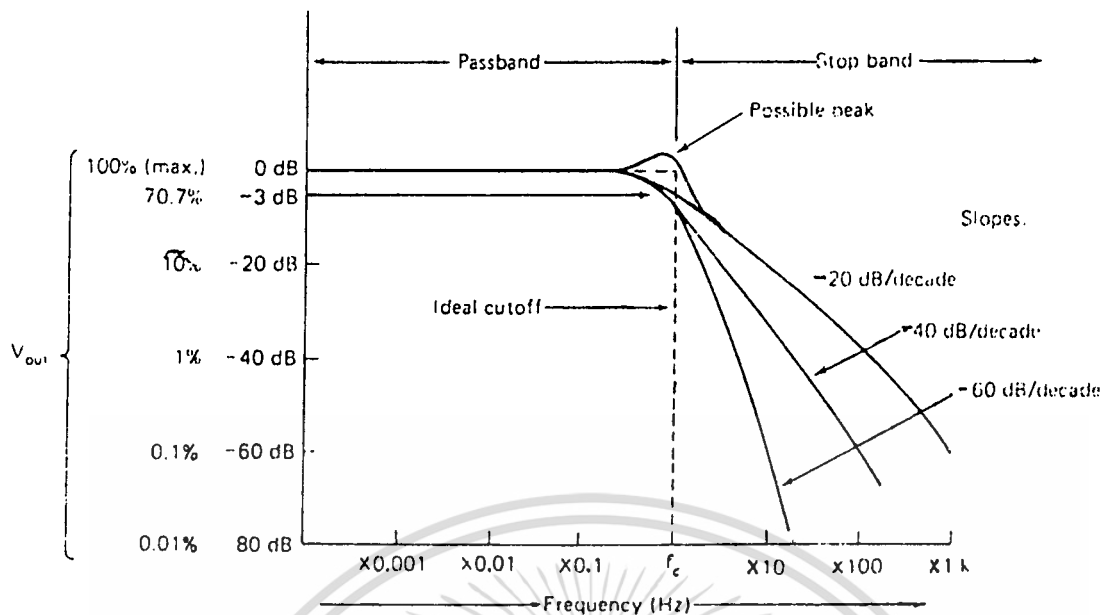
ค่าเทอร์มอลน้อยสั่นนั้นไม่ได้ขึ้นอยู่กับค่าความถี่ที่ใช้งานในวงจร แต่ขึ้นอยู่กับแบนวิดท์ของค่าความถี่ที่ใช้งาน ในการที่จะลดน้อยสั่นนี้ลงให้ได้น้อยที่สุด จะต้องทำให้ความต้านทานที่พรีอันทเอนด์ของวงจรมีค่าต่ำรวมทั้งจำกัดแบนด์วิดท์ให้แคบที่สุดเท่าที่จะทำได้

สัญญาณรบกวนนี้สามารถที่จะกำจัดออกไปได้โดยอาศัยหลักการทำงานของวงจรกรองความถี่คือ

### 1. วงจรกรองความถี่ต่ำ (Low pass filter)

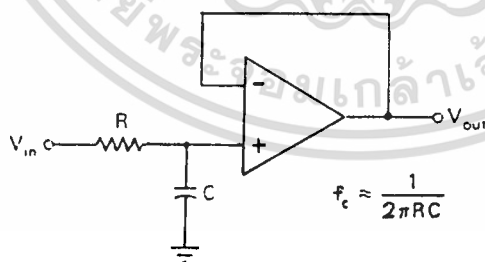
ในการใช้งานวงจรอิเล็กทรอนิกส์บางครั้ง เราอาจต้องการให้สัญญาณบางความถี่ผ่านเข้ามาเท่านั้น โดยที่สัญญาณซึ่งมีความถี่นอกเหนือจากนี้จะถูกตัดออกไป และนี่คือประโยชน์ของวงจรกรองความถี่ชนิดต่างๆ ในอุดมคติ วงจรกรองความถี่ต่ำจะกันไม่ให้สัญญาณที่มีความถี่สูงกว่าความถี่คัทออฟผ่านเข้าไปในวงจรเลยในทางปฏิบัติลักษณะของความถี่สูงที่ถูกกันออกไปนั้นจะไม่เป็นเช่นนั้น แต่จะค่อยๆ ลดลงเรื่อยๆ จุดที่มีความถี่เท่ากับความถี่คัทออฟจะมีความถี่เท่ากับ -3dB ซึ่ง วงจรนี้จะเรียกช่วงของสัญญาณที่ต่ำกว่าความถี่คัทออฟว่าช่วง Pass band และช่วงที่มีความถี่สูงกว่าความถี่คัทออฟจะเรียกว่า Stop band

เอกสารนี้เป็นเอกสารที่สงวนไว้สำหรับการใช้งานเพื่อการศึกษาเท่านั้น ไม่อนุญาตให้นำไปใช้ประโยชน์ด้านการค้า ไม่ว่าจะกรณีใดๆ ทั้งสิ้น อีกทั้งห้ามมิให้ดัดแปลงเนื้อหา และต้องอ้างอิงถึงเจ้าของเอกสารทุกครั้งที่มีการนำไปใช้



รูปที่ 27 แสดงการตอบสนองความถี่ของวงจรกรองความถี่ต่ำ

จากรูปที่ 27 จะพบว่าเมื่อสัญญาณมีความถี่สูงกว่าความถี่คัทออฟแล้ว สัญญาณบางเส้นจะถูกตัดทอนด้วยอัตราที่น้อยกว่าสัญญาณเส้นอื่น เช่น สัญญาณที่มีความชัน -20 dB/decade จะมีความชันน้อยกว่าสัญญาณที่มีค่า 60dB/decade คุณสมบัตินี้เกิดขึ้นจากการออกแบบวงจรกรองความถี่และเป็นที่น่าพอใจว่า ยิ่งค่าความชันนี้มีขนาดลบมากเท่าใด วงจรก็จะมีคุณสมบัติใกล้เคียงกับวงจรในอุดมคติมากยิ่งขึ้น



รูปที่ 28 แสดงวงจรกรองความถี่ต่ำแบบพื้นฐาน

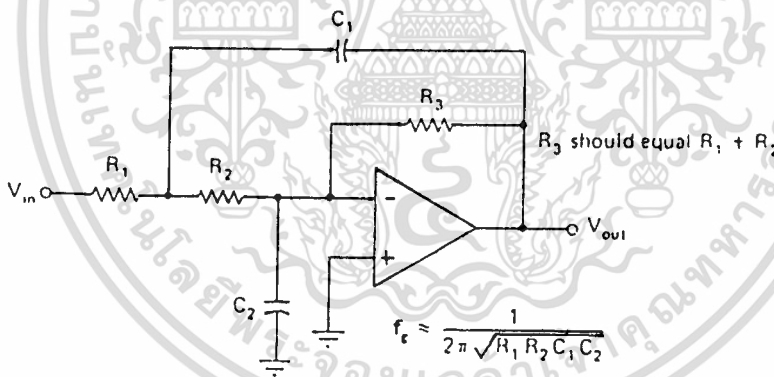
จากรูปที่ 28 ใช้ออปแอมป์ที่ถูกต้องอยู่ในลักษณะของวงจรตามแรงดัน และใช้หลักการแบ่งแรงดันธรรมดา ณ ขั้วอินพุทบวก โดยใช้คุณสมบัติที่ว่าความถี่ของสัญญาณอินพุทจะมีผลต่อค่าอิมพีแดนซ์ ของตัวเก็บประจุตั้งสมการ

$$X_c = 1/Wc \quad (Wc = 2\pi f)$$

$$= 1/2\pi fc$$

โดยที่ค่า  $f_c = 1/2\pi RC$  และ  $f$  คือความถี่ของสัญญาณอินพุต ดังนั้นเมื่อสัญญาณอินพุตมีความถี่ต่ำ  $X_c$  จะมีค่าสูง ทำให้แอมพลิจูดทั้งหมดตกคร่อมตัวเก็บประจุ และเป็นผลให้แรงดันเอาต์พุต  $V_o$  มีค่าประมาณเท่ากับ  $V_{in}$  ด้วยในขณะที่สัญญาณมีความถี่สูงจะทำให้  $X_c$  มีค่าต่ำเป็นผลให้ตัวเก็บประจุถูกลัดวงจรดังนั้น  $V_{out}$  จะมีค่าต่ำด้วย สรุปได้ว่า ช่วงของสัญญาณที่มีความถี่ต่ำจะผ่านไปปรากฏที่เอาต์พุตได้ โดยมีสัญญาณซึ่งมีความถี่สูงกั้นเอาไว้

วงจรกรองความถี่ต่ำในรูปที่ 28 นี้จะมีความชันประมาณ  $-20$  dB/decade และจากการใช้อุปกรณ์เช่นตัวเก็บประจุในวงจรสัญญาณที่วัดได้จากเอาต์พุตจะมีเฟสไม่ตรงกับอินพุตเลยทีเดียวคือจะมีการเลื่อนเฟสออกไป  $-45^\circ$  ซึ่งหากความชันมีค่าเป็นลบสูงมากเท่าใด เฟสก็จะเลื่อนออกไปเรื่อยๆ โดยทั่วไปเฟสของสัญญาณเอาต์พุตจะเลื่อนไป  $-45^\circ$  และสำหรับทุกๆ ความชันที่ลดลง  $-20$  dB/decade ตัวอย่างเช่น สำหรับสัญญาณที่มีความชัน  $-40$  dB/decade เฟสของเอาต์พุตจะถูกเลื่อนออกไป  $-90^\circ$  เทียบกับสัญญาณอินพุต



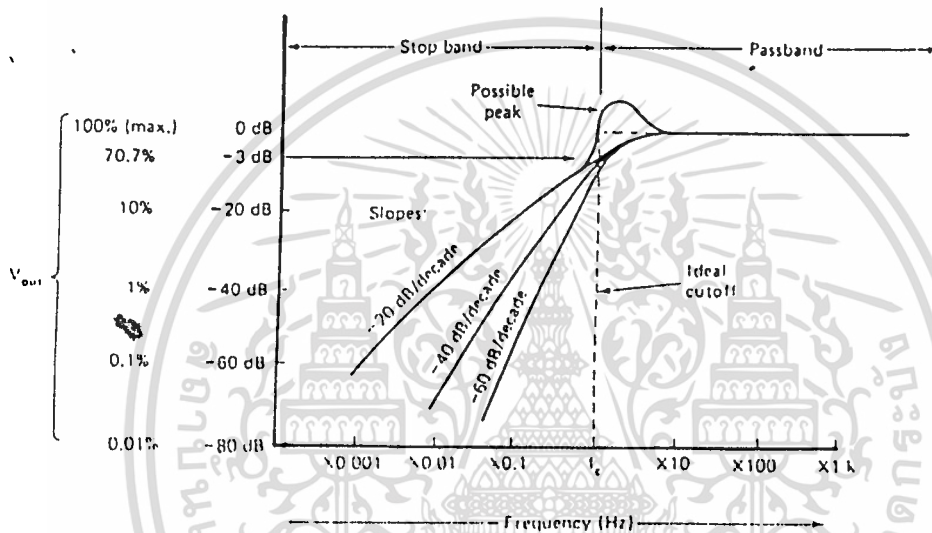
รูปที่ 29 แสดงวงจรที่ถูกปรับปรุงให้มีความชัน  $-40$  dB/decade

จากรูปที่ 29 แสดงวงจรที่ถูกปรับปรุงให้มีความชันถึง  $-40$  dB/decade โดยมีตัวเก็บประจุทำหน้าที่เช่นเดิม แต่เพิ่มตัวเก็บประจุ  $C_1$  ในการป้อนสัญญาณกลับมากลางกับสัญญาณอินพุตที่มีความถี่สูงและเราสามารถหาความถี่คutoff จากสมการ

$$f_c = \frac{1}{2\pi \sqrt{R_1 R_2 C_1 C_2}}$$

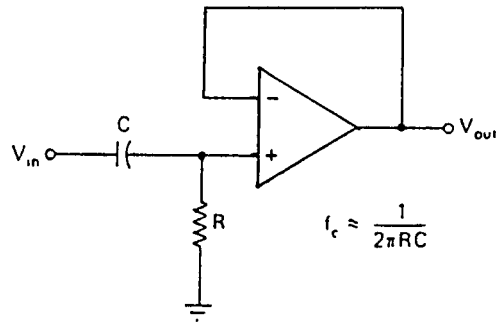
## 2. วงจรกรองความถี่สูง (High pass filter)

หลังจากที่ได้ศึกษาวงจรกรองความถี่ต่ำแล้ว เราจะสามารถเข้าใจหลักการของวงจรกรองความถี่สูงได้ง่ายขึ้นนอกจากนี้ยังพบว่าสามารถนำสมการต่างๆของวงจรกรองความถี่ต่ำมาใช้กับวงจรกรองความถี่สูงได้อีกด้วย วงจรนี้จะยอมให้สัญญาณสูงผ่านเข้าสู่วงจรเอาต์พุตได้แต่จะกันไม่ให้สัญญาณกรองความถี่ต่ำผ่านเข้าไป แต่จากคุณสมบัติที่ไม่เหมือนในอุดมคติวงจรจึงต้องมีความถี่คัทออฟขึ้นและอัตราการขยายจะค่อยๆลดลงแต่จะไม่ตกลงในแนวตั้งที่เดียว

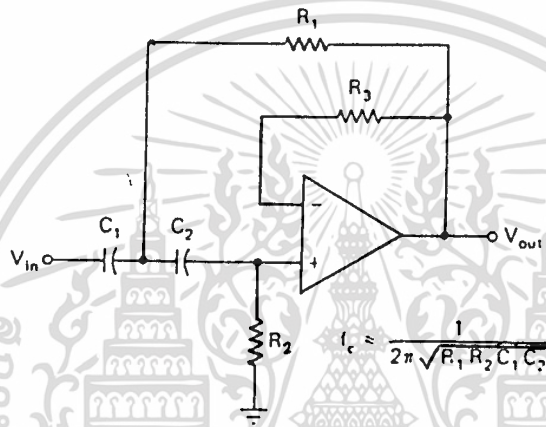


รูปที่ 30 แสดงสัญญาณของวงจรกรองความถี่สูง

เราสามารถสร้างวงจรนี้ได้โดยการสลับตำแหน่งของตัวต้านทานและตัวเก็บประจุของวงจรกรองความถี่ต่ำดังรูปที่ 31 และสามารถอธิบายจากคุณสมบัติที่ว่าที่ความถี่สูงอิมพีแดนซ์ของตัวเก็บประจุจะมีความต้านทานต่ำดังนั้นสัญญาณอินพุตเกือบทั้งหมดจึงตกคร่อมตัวต้านทานและมีศักดาเท่ากับแรงดันเอาต์พุตแต่ความถี่ต่ำกว่าความถี่คัทออฟ อิมพีแดนซ์ของตัวเก็บประจุจะมีค่าสูงทำให้แรงดันเกือบทั้งหมดตกคร่อมตัวเก็บประจุเองและเป็นผลให้แรงดันตกคร่อมความต้านทานและแรงดันเอาต์พุตมีค่าต่ำมากโดยที่วงจรในรูปที่ 31 นี้มีความชันประมาณ  $-20 \text{ dB/decade}$  และมีค่าความถี่คัทออฟซึ่งหาได้จากสมการเดียวกับวงจรกรองความถี่ต่ำ และจากรูปที่ 32 จะเป็นการแสดงวงจรกรองความถี่สูงซึ่งถูกปรับปรุงให้มีความชันสูงถึง  $-40 \text{ dB/decade}$  และเพื่อการทำงานให้มีประสิทธิภาพสูงสุดจะต้องให้ค่า  $C1$  และ  $C2$  มีค่าเท่ากันและ  $R3$  ควรมีค่าเท่ากับ  $R2$  โดยมี  $R2$  เป็นตัวบ่อนสัญญาณกลับเพื่อการกรองสัญญาณอีกครั้งหนึ่ง



รูปที่ 31 แสดงวงจรกรองความถี่สูงที่ปรับปรุ้งใหม่มีความชัน -20 dB/decade



รูปที่ 32 แสดงวงจรกรองความถี่สูงที่ปรับปรุ้งใหม่มีความชัน -40 dB/decade

## 2.4 การส่งสัญญาณโทรทัศน

ในสัญญาณโทรทัศนจะประกอบไปด้วยสัญญาณใหญ่ๆ 2 สัญญาณคือ สัญญาณภาพและสัญญาณเสียง ดังนั้นการมอดูเลชั่นจึงค่อนข้างยุ่งยากพอสมควร ประการแรกก็คือสัญญาณภาพเป็นสัญญาณที่มีตัวประกอบหลายตัว ส่วนสัญญาณเสียงเป็นสัญญาณธรรมดาที่ไม่ยุ่งยากมากนักโดยที่สัญญาณภาพจะมอดูเลชั่นแบบเอเอ็มทั้งนี้ในระบบเอเอ็มการผสมสัญญาณไม่ได้ทำให้เกิดการแปรความถี่เป็นความถี่ใหม่ตามสัญญาณความถี่วิทยุแต่อย่างใด สัญญาณภาพเป็นสัญญาณที่มีสัญญาณซิงโครไนซ์ , แบลกกิ่ง , อีควอไลซิ่ง เป็นต้น จึงทำให้แบนด์วิธในการมอดูเลชั่นสูงกว่าเท่าที่ควรจะเป็น ส่วนสัญญาณเสียงจะถูกมอดูเลชั่นแบบเอฟเอ็ม

#### 2.4.1 มอดูเลชันของสัญญาณภาพ (Video modulation)

สัญญาณภาพโทรทัศน์จะมอดูเลทกับคลื่นพาห์แบบ เอ.เอ็ม การมอดูเลทสัญญาณภาพมีรูปร่างของซิงค์พัลส์แตกต่างกันที่ระดับสัญญาณขาวและดำนั้นการมอดูเลทสัญญาณภาพจะทำได้สองแบบคือ

1. การมอดูเลทแบบบวก แบบนี้ถ้าระดับสัญญาณขาวเพิ่มขึ้นขนาดของคลื่นพาห์จะสูงขึ้น สัญญาณขาวสูงสุดจะให้การมอดูเลทเป็น 100% ถ้าสัญญาณดำและสัญญาณซิงค์จะให้ขนาดของคลื่นพาห์ต่ำลงต่ำสุดตามลำดับ

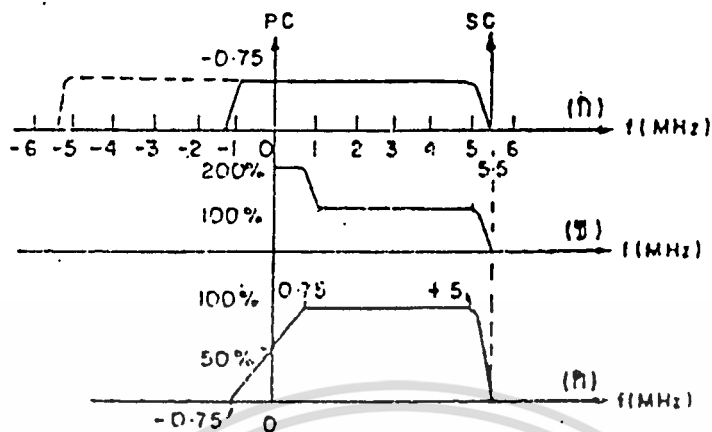
2. การมอดูเลทแบบลบ แบบนี้ยอดของซิงค์จะให้ขนาดของคลื่นพาห์สูงสุดเป็น 100% ระดับแบล็กก็งจะให้การมอดูเลท 75% ถ้าเพิ่มสัญญาณสูงขึ้นจะทำให้ขนาดของคลื่นพาห์ลดลง แต่จะต่ำสุดที่ 10% ของยอดสูงสุดของสัญญาณขาวสำหรับโทรทัศน์ระบบ CCIR-B ใช้การมอดูเลทแบบลบ

#### 2.4.2 การมอดูเลทสัญญาณเสียง (Sound modulation)

การส่งสัญญาณเสียงทางโทรทัศน์ใช้การมอดูเลทแบบ เอฟ.เอ็ม จะทำให้การรับเสียงมีสัญญาณรบกวนน้อยและเสียงที่รับชัดเจนทางด้านเครื่องส่งเสียงจะมีวงจรปริอิมพาซิส เพื่อยกกระดัดสัญญาณด้านความถี่สูงให้มีกำลังมากขึ้นเพื่อให้สัญญาณคอนอยส์มีค่าสูงโดยใช้ RC ฟิลเตอร์ที่มีไทม์คอนสแตนท์ 50 ไมโครวินาที ที่ด้านรับจะต้องมีวงจรดีอิมพาซิสโดยใช้ RC ฟิลเตอร์ที่มีไทม์คอนสแตนท์เท่ากับ 50 ไมโครวินาที และการเบี่ยงเบนของสัญญาณสูงสุดไม่เกิน 50 กิโลเฮิรตซ์

#### 2.4.3 การส่งสัญญาณแบบเวสติเกิลไซด์ไชค์แบนด์ (Vertigial side band transmission)

ทางด้านส่งจะส่งสัญญาณออกไปแบบเวสติเกิลไซด์ไชค์แบนด์ดังแสดงในรูปที่ 27(ก) สัญญาณทางด้านความถี่ต่ำส่วนหนึ่งจะถูกตัดออกโดยใช้ฟิลเตอร์ โดยที่พลังงานที่ส่งออกจะเริ่มตั้งแต่ -1.25 ถึง 5.5 เมกกะเฮิรตซ์ ส่วนที่ -1.25 เมกกะเฮิรตซ์จะส่งแบบดับเบิลไซด์ไชค์แบนด์และที่เหลือส่งแบบซิงเกิลไซด์ไชค์แบนด์นั้นถ้าจะดูกำลังในการส่งส่วนที่ -1.25 เมกกะเฮิรตซ์จะมีกำลังเป็น 2 เท่าของส่วนที่เหลือ ดังรูปที่ 33(ข) ดังนั้นทางเครื่องรับโทรทัศน์จะต้องลดกำลังในการรับในช่วงที่เป็นดับเบิลไซด์ไชค์แบนด์ลงครึ่งหนึ่งดังรูปที่ 33(ค) จึงจะให้สัญญาณออกที่ภาคดีเทกเตอร์มีกำลังเท่ากันทุกความถี่



รูปที่ 33 (ก) การส่งแบบเวสติเกิลไซค์แบนด์

(ข) กำลังของสัญญาณที่ส่งออกไป

(ค) เรสปอนส์ของเครื่องรับทีวี

#### 2.4.3 ช่องส่งสัญญาณโทรทัศน์มาตรฐาน

ในการส่งโทรทัศน์นั้นความถี่พาห้ที่จะใช้สำหรับแต่ละช่องสัญญาณหรือสำหรับแต่ละสถานีส่งโทรทัศน์นั้น จะถูกกำหนดให้อยู่ในย่าน VHF และ UHF ก็เพราะสัญญาณรวมมีแถบความถี่กว้างถึง 5 MHz ย่านความถี่ที่กำหนดให้แบ่งออกเป็นหลายย่านดังนี้

ย่าน VHF ล่าง	แบนด์ I	41	-----	65	MHz
ย่าน VHF บน	แบนด์ III	147	-----	230	MHz
ย่าน UHF	แบนด์ IV	470	-----	582	MHz
ย่าน UHF	แบนด์ V	606	-----	790	MHz

(แบนด์ II 88 MHz ถึง 108 MHz ใช้สำหรับวิทยุกระจายเสียงระบบเอฟเอ็ม)

ช่องต่างๆที่ใช้ส่งที่อยู่ในแบนด์ I และ II แสดงไว้ในตารางที่ 1 ในแบนด์ I มี 4 ช่องด้วยกัน แต่ช่อง 1 ไม่ได้ใช้กับการส่งโทรทัศน์ ใช้เพื่อในกิจการอย่างอื่น

เอกสารนี้เป็นเอกสารที่สงวนไว้สำหรับการใช้งานเพื่อการศึกษาเท่านั้น ไม่อนุญาตให้นำไปใช้ประโยชน์ด้านการค้า ไม่ว่าจะกรณีใดๆ ทั้งสิ้น อีกทั้งห้ามมิให้ดัดแปลงเนื้อหา และต้องอ้างอิงถึงเจ้าของเอกสารทุกครั้งที่มีการนำไปใช้

เสถียรภาพทางความถี่ของคลื่นพาห้จะอยู่ในช่วง +1 KHz ถึง -1KHz แต่ถ้าเครื่องส่งใช้ความถี่ช่องเดียวกันในกรณีที่ตั้งของเครื่องส่งอยู่ไกลคนละแห่งแล้วเกิดการรบกวนเนื่องจากใช้ช่องสัญญาณความถี่รวมกัน ก็อาจจะใช้วิธีตั้งความถี่พาห้ของภาพให้ผิดไป +10.5 KHz ถึง -10.5 KHz จากความถี่ที่กำหนดก็จะลดผลของการรบกวนได้

แบนด์	ช่อง	ช่วงความถี่ (MHz)	พาห้ภาพ (MHz)	พาห้เสียง (MHz)
I (41---68 MHz)	1	41-47	(ไม่ใช้สำหรับโทรทัศน์)	
	2	47-54	48.25	53.75
	3	54-61	55.25	60.75
	4	61-68	62.25	67.75
II (174---223 MHz)	5	174-181	175.25	180.75
	6	181-188	182.25	187.75
	7	188-195	189.25	194.75
	8	195-202	196.25	201.75
	9	202-209	203.25	208.75
	10	209-216	210.25	215.75
	11	216-223	217.25	222.75
	12	223-230	224.25	229.75

### ตารางที่ 1 การกำหนดช่องสัญญาณโทรทัศน์

เอกสารนี้เป็นเอกสารที่สงวนไว้สำหรับการใช้งานเพื่อการศึกษาเท่านั้น ไม่อนุญาตให้นำไปใช้ประโยชน์ด้านการค้า ไม่ว่ากรณีใดๆ ทั้งสิ้น อีกทั้งห้ามมิให้ดัดแปลงเนื้อหา และต้องอ้างอิงถึงเจ้าของเอกสารทุกครั้งที่มีการนำไปใช้

มาตรฐาน	A (อังกฤษ 1) (EBU1)	B (เบลเยียม 1)	C (โซเวียต)	D (ฝรั่งเศส 1)	E (เบลเยียม 2)	F (อเมริกา)	M
จำนวนเส้น	405	625	625	625	819	819	525
ฟิลด์/วินาที	50	50	50	50	50	50	60
ภาพ/วินาที	25	25	25	25	25	25	30
เส้น/วินาที	10125	15625	15625	15625	20475	20475	15750
เวลาใน 1 เส้น ( $\mu$ s)	98.7	64	64	64	48.84	48.84	63.5
วิธีโอแอมด์วิคซ์ (MHz)	3	5	5	6	10	5	4.2
แกมมา	0.4-0.5	0.5	0.5	0.5	0.6	0.5	0.45
เวสตีเซิลไซด์แบนด์ (MHz)	+0.75	-0.75	-0.75	-0.75	-2	-0.75	-0.75
ระยะห่างของพาร์ เสียงกับภาพ (MHz)	-3.5	+5.5	+5.5	+6.5	+11.15	+5.5	+4.5
วิธีโมอดดูเลชัน เอเอ็ม	+	-	+	-	+	+	-
ซาวด์มอดดูเลชัน	AM	FM	AM	FM	AM	AM	FM
ความถี่เบี่ยงเบนของ ของพาร์เสียง (KHz)		$\pm 50$		$\pm 50$			$\pm 25$
ปริ-เอ็มฟาชิล ( $\mu$ s)		50		50			75
แบนด์วิคซ์ของช่อง (MHz)	5	7	7	8	14	7	6
กำลังส่งออกอากาศ ของภาพต่อเสียง	4:1	5:1	4:1	5:1	4:1	4:1	10:1
ระดับของพาร์เป็น % ของยอดสุด-ต่ำ	35%	75%	25%	75%	25%	25%	75%
แบลิ่งคิง	30%	75%	25%	75%	25%	25%	75%
ยอดขาว	10%	10%	100%	10%	100%	100%	12.5%

## ตารางที่ 2 มาตรฐานสากลของการส่งโทรทัศน์ ระบบ CCIR

เอกสารนี้เป็นเอกสารที่สงวนไว้สำหรับการใช้งานเพื่อการศึกษาเท่านั้น ไม่อนุญาตให้นำไปใช้ประโยชน์ด้านการค้า  
ไม่ว่ากรณีใดๆ ทั้งสิ้น อีกทั้งห้ามมิให้ตัดแปลงเนื้อหา และต้องอ้างอิงถึงเจ้าของเอกสารทุกครั้งที่มีการนำไปใช้

มาตรฐาน สำหรับระบบ	G ( )	H ( )	I (อังกฤษ 2)	K (โซเวียต)	L (ฝรั่งเศส 2)	N (อาร์เจนตินา)
UHF 625 เส้น 50 ฟิลด์						
วิดีโอแบนด์วิดท์ (MHz)	5	5	5.5	6	6	4.2
ระยะห่างพาร์ เสียงกับภาพ (MHz)	5.5	5.5	6	6.5	6.5	4.5
วิดีโอ	--	--	--	--	+	+
มอดดูเลชัน ซาวด์	FM	FM	FM	FM	AM	FM
มอดดูเลชัน กำลังส่งออก ของภาพต่อ เสียง	10:1	10:1	10:1	10:1	8:1	10:1
เวสติเบิลไซด์ แบนด์ (MHz)	0.75 PAL	1.25 PAL	1.25 PAL	0.75 SECAM	1.25 SECAM	0.75 SECAM
	SECAM 3	SECAM 3		3	3	3

ตารางที่ 2 มาตรฐานสากลของการส่งโทรทัศน์ระบบ CCIR (ต่อ)

จากตารางที่ 2 เป็นมาตรฐานสากลสำหรับการส่งโทรทัศน์ของประเทศต่างๆทั่วโลก ระบบการส่งโทรทัศน์ทุกระบบ Aspect ratio หรืออัตราส่วนความกว้างต่อความสูงของภาพ 4:1 การกวาดของเส้นภาพเป็นแบบสอดแทรก (interlace scanning) โดยกวาดจากซ้ายไปขวาจากบนมาล่างความถี่ของฟิลด์ปกติจะเท่ากับความถี่ของไฟฟ้าใช้ในบ้าน ยกเว้นประเทศ เช่น แคนาดา ญี่ปุ่น และบางประเทศในอเมริกากลาง และอเมริกาใต้ นั่นคือ ไฟฟ้ากำลังที่จ่ายตามบ้านมีความถี่ 50 Hz แต่ใช้การกวาดภาพ 60 ฟิลด์ต่อวินาที โดยการรบกวนที่ปรากฏเป็นแถบดำเลื่อนบนจอภาพจะไม่ใช่ปัญหาเกิดขึ้นเพราะว่าเครื่องรับสมัยใหม่ออกแบบให้ที่รีปเปิลต่ำมาก ระบบการกวาดแบบ 60 HZ นั้นการกระพริบของภาพ เมื่อให้จอภาพสว่างมากจะดีกว่าระบบ 50 HZ ส่วนระบบที่มีรายละเอียดของเส้นภาพสูง (high resolution) เช่นระบบ 819 เส้น ของฝรั่งเศสจะไม่เป็นการประหยัด เนื่องจากต้องใช้แถบความถี่กว้างมากทุกระบบยกเว้นระบบ 405 เส้นของอังกฤษคลื่นที่ส่งออกไปเป็นแบบ

เอกสารนี้เป็นเอกสารที่สงวนไว้สำหรับการใช้งานเพื่อการศึกษาเท่านั้น ไม่อนุญาตให้นำไปใช้ประโยชน์ด้านการค้า ไม่ว่ากรณีใดๆ ทั้งสิ้น อีกทั้งห้ามมิให้ดัดแปลงเนื้อหา และต้องอ้างอิงถึงเจ้าของเอกสารทุกครั้งที่มีการนำไปใช้

Horizontal prlarization คือ สนามไฟฟ้าจะเป็นแนวราบ สังกัดสายอากาศของเครื่องรับจะวางขนานกับพื้นโลกวิธีนี้สามารถลดการรบกวนจากคลื่นไฟฟ้าที่เกิดจากมนุษย์ทำขึ้น เช่น จากรถยนต์ ฯลฯ ได้

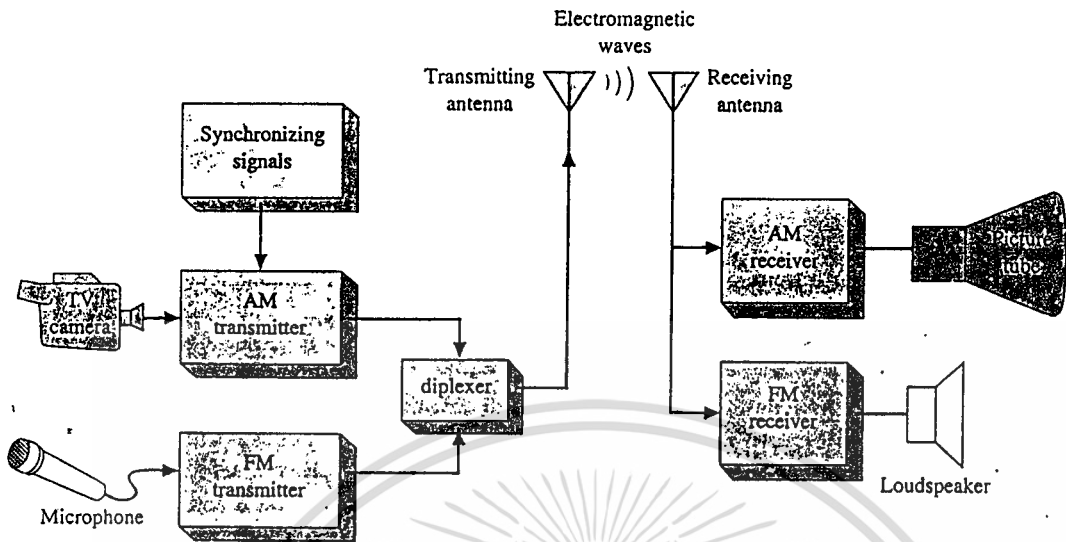
จากผลของการเติบโตทางการคมนาคมระหว่างชาติและการแลกเปลี่ยนรายการโทรทัศน์ซึ่งกันและกัน ระบบโทรทัศน์ต่างๆจึงถูกจัดให้เป็นมาตรฐาน ดังเช่น ระบบ CCIR นี้โดยกำหนดให้เป็นระบบ A,B,---N; และระบบ B นี้เป็นระบบที่นิยมใช้กันมาก ระบบ A,B,C,D,E,F ใช้กันในยุโรป สำหรับการส่งในแบนด์ I และIII ส่วนระบบ G,H,I,K,L ส่งในย่าน UHF แบนด์ IV และแบนด์ V เท่านั้น ส่วนระบบ M และN นั้นใช้กันทั้งในย่าน VHF และ UHF

ระบบ G,H,I,K,L นั้นใช้สำหรับโทรทัศน์สีโดยเฉพาะและนอกจากจำนวนเส้นฟิลด์ต่อวินาทีที่เหมือนกันแล้ว ช่วงห่างระหว่างช่องความถี่จะเป็น 8 Mhz เท่ากัน

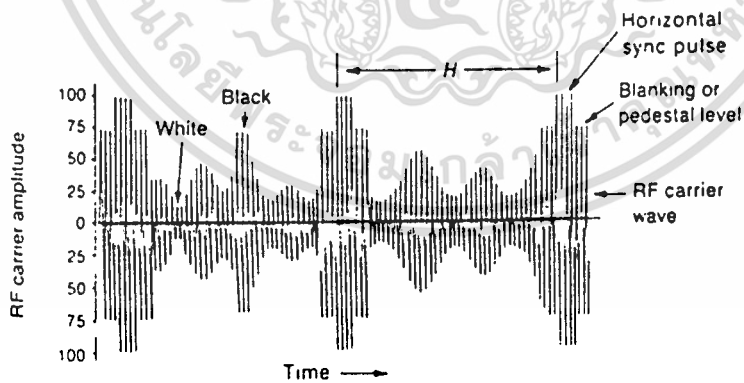
ในระบบ 625 เส้นในระบบมาตรฐานการส่งโทรทัศน์สีคลื่นพาห์สำหรับสัญญาณสีจะมีค่า 4.43 Mhz ในขณะที่ระบบ 525 เส้นจะมีค่า 3.58 Mhz

ในแบนด์ IVและ Vนี้ทางยุโรปตะวันออกจะใช้ระบบ G ในขณะที่ยุโรปตะวันตกและรัสเซียใช้ระบบ K มาตรฐานของระบบ K กับระบบ D เหมือนกัน ยกเว้นอัตราส่วนกำลังทางออกของภาพและเสียงที่ลดลงเพื่อให้เหมาะสมกับระบบของสีที่ต้องการระบบ A,C,E,Fไม่ใช้การส่งระบบโทรทัศน์สีและเลิกใช้กันแล้วโดยหันไปใช้มาตรฐาน 625 เส้นในแบนด์ IVและV ระบบ Bนิยมใช้กันมากในยุโรปตะวันตกและใช้ระบบ PAL สำหรับการส่งโทรทัศน์สีส่วนระบบ D ใช้กันมากในประเทศยุโรปตะวันออก เช่น รัสเซีย และใช้มาตรฐาน SEMCAM-3 สำหรับการส่งโทรทัศน์สี

ระบบ M ใช้กันแพร่หลายใน สหรัฐอเมริกา แคนาดา เม็กซิโก ญี่ปุ่น อิหร่านเป็นต้นและโดยทั่วไปแล้วในระบบ NTSC สำหรับการส่งโทรทัศน์สีระบบ N ใช้ในประเทศอาร์เจนตินา ระบบนี้คล้ายกับระบบ M เมื่อพิจารณาทางคุณสมบัติของช่องส่งเว้นแต่ใช้ 625 เส้น 50 ฟิลด์และระบบสีเป็น SECAM-3



รูปที่ 34 แสดงบล็อก ไดอะแกรมพื้นฐานของระบบ โทรทัศน์



รูปที่ 35 แสดงสัญญาณที่ใช้ส่งโทรทัศน์

เอกสารนี้เป็นเอกสารที่สงวนไว้สำหรับการใช้งานเพื่อการศึกษาเท่านั้น ไม่อนุญาตให้นำไปใช้ประโยชน์ด้านการค้า ไม่ว่าจะกรณีใดๆ ทั้งสิ้น อีกทั้งห้ามมิให้ดัดแปลงเนื้อหา และต้องอ้างอิงถึงเจ้าของเอกสารทุกครั้งที่มีการนำไปใช้

## บทที่ 3

### โครงสร้างและผลการทดลอง

ส่วนประกอบหลักจะประกอบด้วยระบบกระบวนการ fader และ wipers ของสัญญาณภาพ และกระบวนการรวมของสัญญาณเสียงจะแบ่งได้เป็น 7 ส่วนคือ

1. Simple Video Fader
2. Improved Video Fader
3. Video Enhancer
4. Horizontal Wiper
5. Vertical Wiper
6. Four Channel Audio Mixer
7. Audio Dynamic Noise Limiter

ส่วนประกอบทั้งหมดใน วิดีโอเอฟเฟก จะถูกออกแบบให้ปฏิบัติงานได้ตามมาตรฐานของระบบ PAL ประกอบไปด้วย video signal มีอิมพีแดนซ์ 75 โอห์มส่วนประกอบเหล่านี้ไม่ได้ถูกออกแบบให้ทำงานที่สัญญาณ VHF จริงๆ แล้วส่วนประกอบเหล่านี้สามารถใช้กับทุกๆ ระบบ โดยเฉพาะสัญญาณ RGB

#### 1. Simple Fader

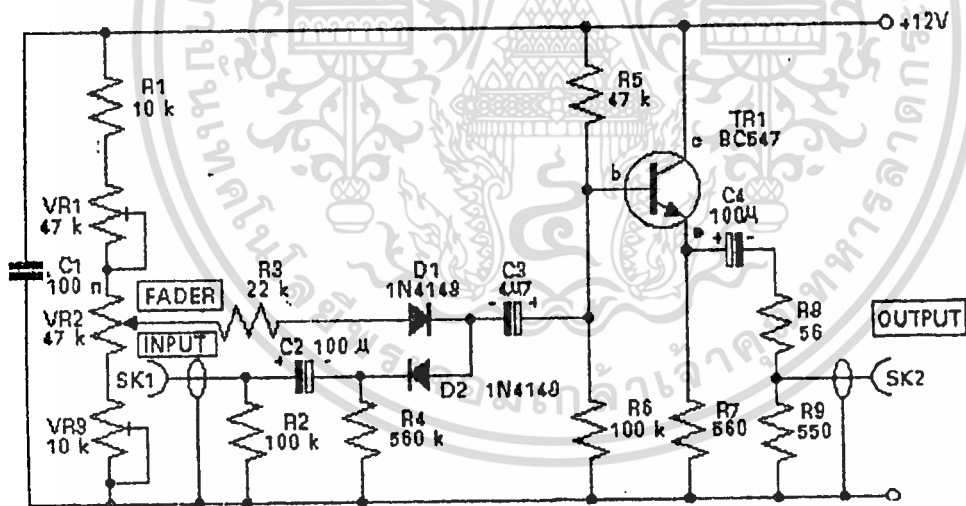
โดยปัจจุบันนี้ Camcorders จะมีวงจร video fader ภายในตัวของมันเองจะมีเพียงส่วนน้อยที่จะให้เกิดความไม่ถูกต้อง ส่วนที่จะทำให้ Camcorders ถูกต้องจะต้องต่ออยู่ภายนอกและใช้ควบคุม fade out โดยแบ่งเป็น 2 ชนิดคือ frame type หรือที่รู้จักกันว่า field pulse และ line pulse และสัญญาณ Luminance (สัญญาณภาพขาวดำ) จะมีสัญญาณบวกระหว่าง 0V ถึง +2V และสัญญาณ British ในระบบ PAL ใช้สัญญาณ Positive luminance ซึ่งพื้นที่สีขาวจะได้จาก +2V และพื้นที่สีดำได้จากสัญญาณที่ 0V โดยส่วนใหญ่ตัวอย่างวิธีการ fading ของสัญญาณจะใช้กับวงจร chipping โดยทั่วไประดับการ chipping ทางบวกระหว่างจะถูกกำหนดให้สูงพอที่จะให้สัญญาณ luminance สามารถผ่านไปได้หมดทั้งสิ้นในที่สุด

ชนิดของ fade-out จะผลิตสัญญาณที่ไม่เหมือนกันทีเดียวแต่ส่วนที่เหมือนกันคือใช้ควบคุมความสว่างของจอภาพคือ ลำดับแรกส่วนของความสว่างของภาพคือผลที่ดีจากนั้นก็ปรับให้อยู่ในระดับกลางของความสว่างและสุดท้ายพื้นที่สีดำของภาพ

เอกสารนี้เป็นเอกสารที่สงวนไว้สำหรับการใช้งานเพื่อการศึกษาเท่านั้น ไม่อนุญาตให้นำไปใช้ประโยชน์ด้านการค้า ไม่ว่าจะกรณีใดๆ ทั้งสิ้น อีกทั้งห้ามมิให้ดัดแปลงเนื้อหา และต้องอ้างอิงถึงเจ้าของเอกสารทุกครั้งที่มีการนำไปใช้

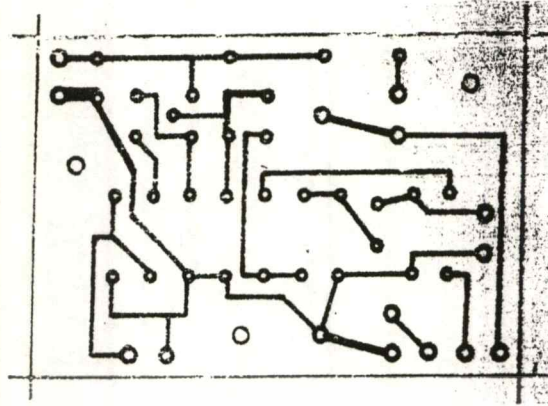
จากรูปที่ 3.1 จะเป็นการแสดงตัวอย่างของวงจร simple video fader ซึ่งจะมีค่าการเปลี่ยนแปลงตาม clipping circuit โดยการใช้ diode type โดยที่ระดับของการ clipping จะควบคุมโดย bias voltage fed ไปยัง D1 ผ่าน R3 โดยแรงดันที่ได้จะมาจาก potential ซึ่งจะประกอบไปด้วย R1, VR1 ถึง VR3 โดยที่ VR2 จะเป็นตัวปรับการ fader และ VR1, VR3 จะเป็นตัวปรับความสมดุลให้กับ VR2 และในวงจรจะเห็นว่า TR1 เป็นการต่อแบบ Emitter follower buffer ซึ่งวงจรต้องการกระแสประมาณ 10mA

ในการปรับ โดยจะเริ่มปรับ VR1, VR3 ไว้ที่ประมาณกึ่งกลาง และทำการปรับ VR2 เมื่อทดสอบ ส่วนนี้และส่วนอื่นๆ จะได้ว่าภาพจะเริ่มสว่างขึ้นและสว่างลงแต่ไม่จำเป็นต้องมืดหรือสว่างเต็มที่

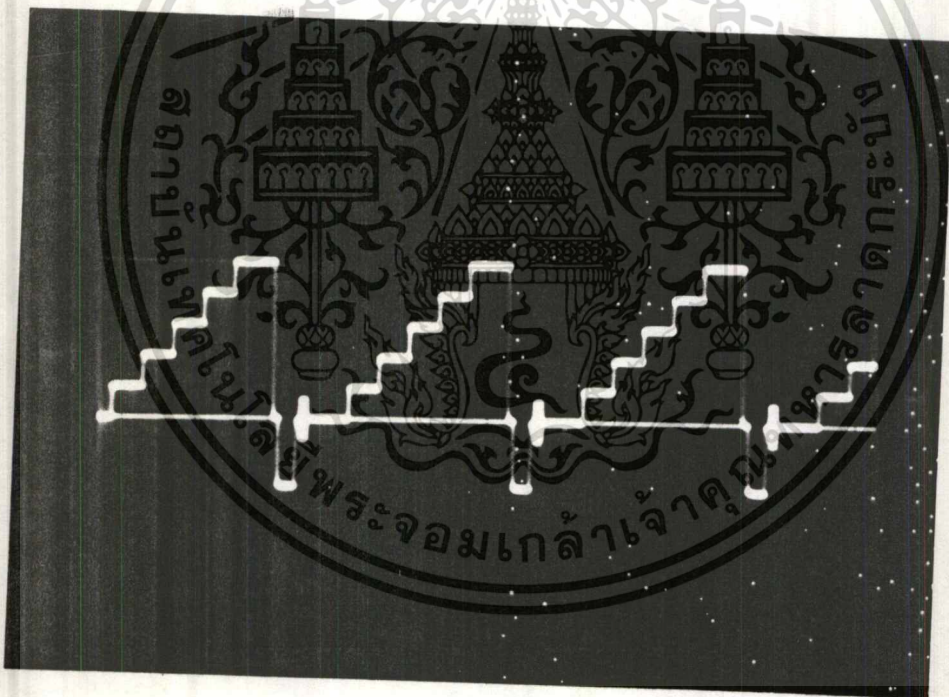


รูปที่ 3.1 แสดงวงจร simple video fader

เอกสารนี้เป็นเอกสารที่สงวนไว้สำหรับการใช้งานเพื่อการศึกษาเท่านั้น ไม่อนุญาตให้นำไปใช้ประโยชน์ด้านการค้า ไม่ว่าจะกรณีใดๆ ทั้งสิ้น อีกทั้งห้ามมิให้ดัดแปลงเนื้อหา และต้องอ้างอิงถึงเจ้าของเอกสารทุกครั้งที่มีการนำไปใช้

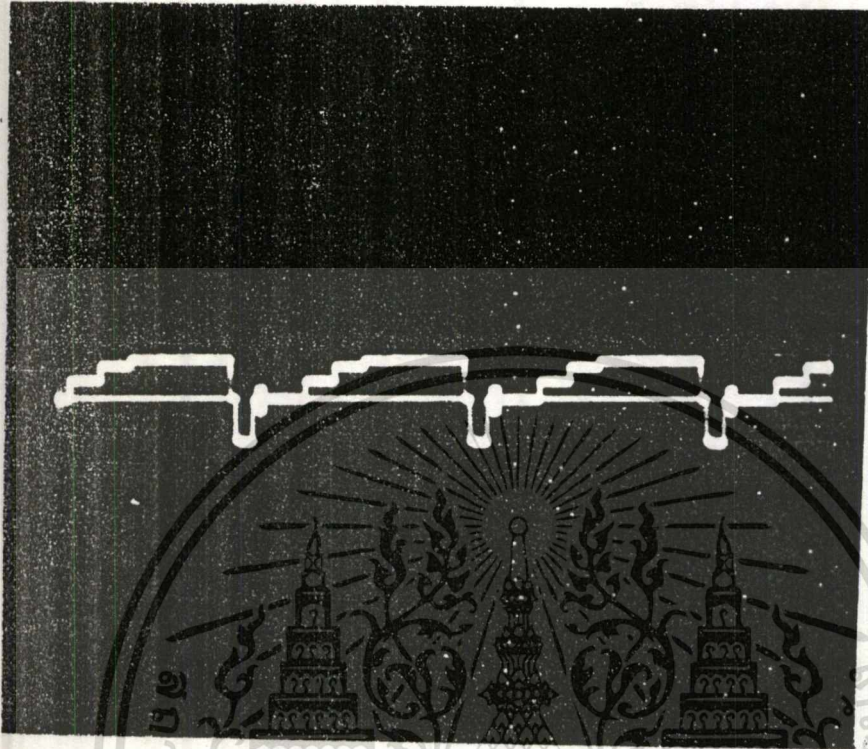


รูปที่ 3.2 แสดงลายวงจร simple video fader



รูปที่ 3.3 แสดงสัญญาณอินพุท

เอกสารนี้เป็นเอกสารที่สงวนไว้สำหรับการใช้งานเพื่อการศึกษาเท่านั้น ไม่อนุญาตให้นำไปใช้ประโยชน์ด้านการค้า  
ไม่ว่ากรณีใดๆ ทั้งสิ้น อีกทั้งห้ามมิให้ดัดแปลงเนื้อหา และต้องอ้างอิงถึงเจ้าของเอกสารทุกครั้งที่มีการนำไปใช้



รูปที่ 3.4 แสดงสัญญาณเอาต์พุตของวงจร simple video fader

## 2. Improved Video Fader

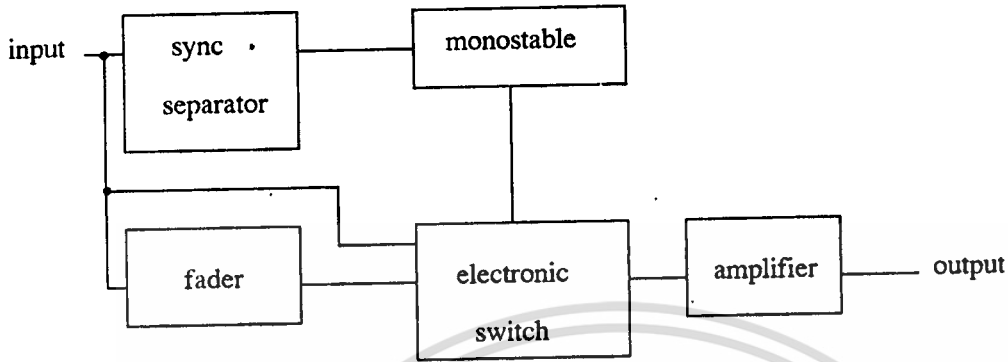
ซึ่งการทำงานของวงจรมีดังนี้ ซึ่งจะป้อนสัญญาณอินพุตเป็นสัญญาณ Line synchronisation pulse ผ่านวงจร Sync separator circuit จะได้สัญญาณมา trigger ที่ขาของ monostable ซึ่งจะให้อาต์พุตเป็น pulse สั้นๆ และมีช่วงกว้างของ pulse อยู่ที่  $12 \mu\text{S}$  โดยที่เอาต์พุตของ monostable จะควบคุมการเปลี่ยนแปลงของ switch electronic สัญญาณอินพุตของ switch electronic จะเป็นสัญญาณภาพรวมโดยที่สัญญาณอินพุตที่ (1) ยังไม่ได้ถูกตัดแต่งเลยแต่ในขณะที่สัญญาณอินพุตที่ (2) ผ่านทาง fader potentiometer ส่วนสัญญาณเอาต์พุตของ switch electronic จะถูกส่งผ่าน buffer Amp

การเริ่มการ trigger ให้กับ monostable และเอาท์พุทของ monostable จะทำการ set switch ให้ส่งผ่านสัญญาณภาพรวมที่ไม่ผ่านการตกแต่งมาเป็นเอาท์พุทซึ่งเมื่อสิ้นสุดสัญญาณ pulse สัญญาณ fader จะถูกส่งผ่านไปยังเอาท์พุทและทางด้านสัญญาณ Luminance จะถูกส่งผ่านไปยังเอาท์พุทโดยผ่านทาง fader potentiometer โดยสัญญาณอินพุทที่เป็น line-by-line ซึ่งสัญญาณ synchronisation และสัญญาณ burst จะไหลผ่านเอาท์พุทโดยที่เอาท์พุทไม่มีการเปลี่ยนแปลงและสัญญาณ luminance จะถูกลดทอนโดยจะให้ fade-out characteristic ที่ดี

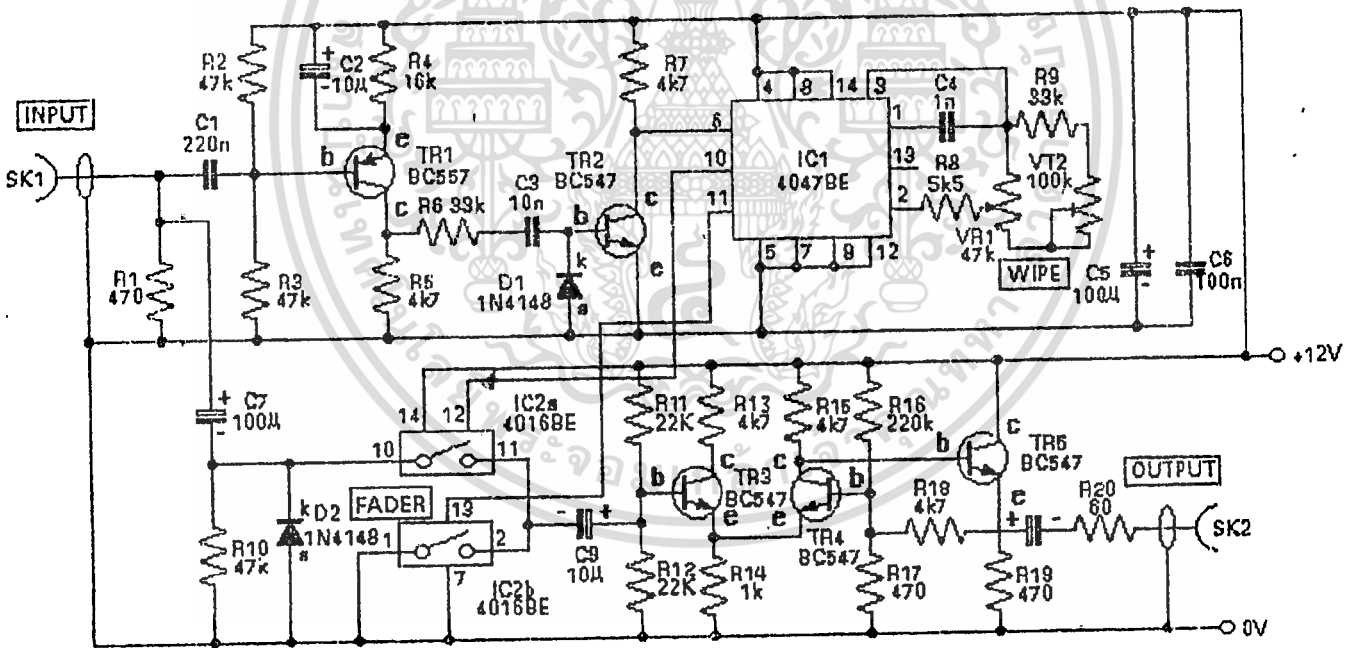
จากรูปที่ 3.6 จะเป็นวงจรของ Improved video fader จากรูปวงจรจะเห็นได้ว่า TR1, TR2 จะทำหน้าที่เป็นวงจรแยกสัญญาณ Sync โดยที่ TR1 จะทำหน้าที่เป็น Amplifier และ inverter จะทำการส่งสัญญาณผ่าน high pass filter ส่วน TR2 ทำหน้าที่เป็น Pulse shaper และ inverter ส่วนทางเอาท์พุทจะได้สัญญาณเป็น line synchronisation pulse low level

CMOS 4047 BE ซึ่งเป็นวงจรอะอสเตเบิล/โมโนสเตเบิล โดยจะใช้ขอบขาลบในการ trigger โดยที่ให้ C4 และ R8 เป็นตัวกำหนดการหน่วงเวลาซึ่งจะกำหนดช่วงสัญญาณพัลส์ทางเอาท์พุทให้อยู่ในช่วงที่น้อยกว่า  $12\mu\text{s}$  ( $2.48 C4R8$  วินาที) ส่วนทางด้านวงจร electronic switch ใช้เพียง 2 ใน 4 ตัว อะอสเตเบิลสวิทช์ใน CMOS 4016 BE สวิทช์ที่ใช้ในวงจรจะเป็นสวิทช์ที่ทำหน้าที่เปิดปิดแต่เมื่อสวิทช์ต่อหน้าสัมผัสหนึ่งแล้วแล้วจะเตรียมต่อหน้าสัมผัสต่อไปยังอีกหน้าสัมผัสหนึ่งที่ได้รับสัญญาณควบคุม ซึ่งมีเฟสตรงกันข้ามคั้งนั้นเมื่อสวิทช์ต่อหน้าสัมผัสอยู่และส่งผ่านสัญญาณไปยังเอาท์พุทสวิทช์อื่นๆก็จะต่อหน้าสัมผัสและไม่มีการส่งสัญญาณอินพุทไปยังเอาท์พุทคั้งนั้น 4047BE จะควบคุมการทำงานของสวิทช์โดยใช้เอาท์พุทของ Q และ Q ส่วนทางด้านสัญญาณอินพุทที่ไม่ได้รับการตกแต่งสัญญาณจะผ่าน IC2a และสัญญาณอินพุทจะถูกส่งผ่าน Fader potentiometer, VR1 จะส่งผ่าน IC2b ส่วน D1 และ D3 จะเป็น dc restoration คือ diode ที่ทำหน้าที่ป้องกันการโอนเอียงของสัญญาณซึ่งมีความสำคัญสำหรับการชดเชยแรงดันไฟตรงในการสร้างระหว่างสัญญาณ fade และ non-fade

สัญญาณภาพรวมของระบบ PAL จะมี BW 2-3 Mhz และจะมีความถี่สูงผ่านทางรอบๆ Potentiometer โดยกำหนดจากค่าตัวเก็บประจุและอื่นๆในการลดค่าให้ลงตัวที่สุดนี้คือปัญหาของ VR1 ก็จะต้องมีค่าต่ำกว่า 1 กิโลโอห์ม ที่ค่าความต้านทานสูงกว่านี้ไม่ควรจะใช้ ส่วนทางด้าน TR3 ถึง TR5 จะทำหน้าที่เป็นส่วนการขยายสัญญาณซึ่งทางด้าน TR3, TR4 จะทำงานแบบที่เรียกว่า Long-tailed pair และ TR5 จะทำงานแบบ Emitter follower และวงจรนี้ต้องการกระแสประมาณ 25 mA

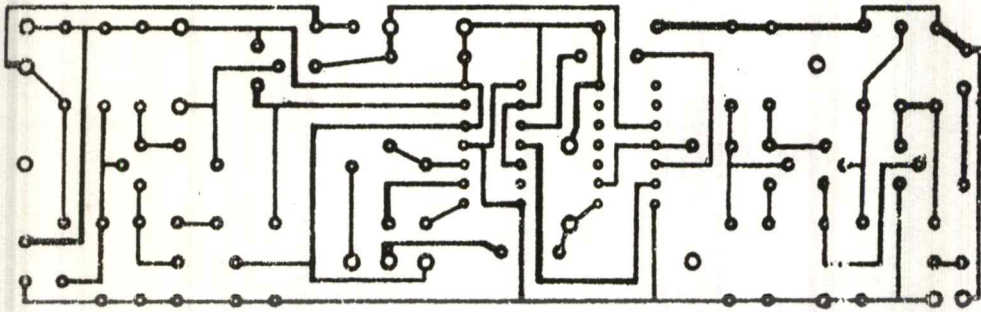


รูปที่ 3.5 แสดงบล็อกโคะแกรมของImproved Video Fader

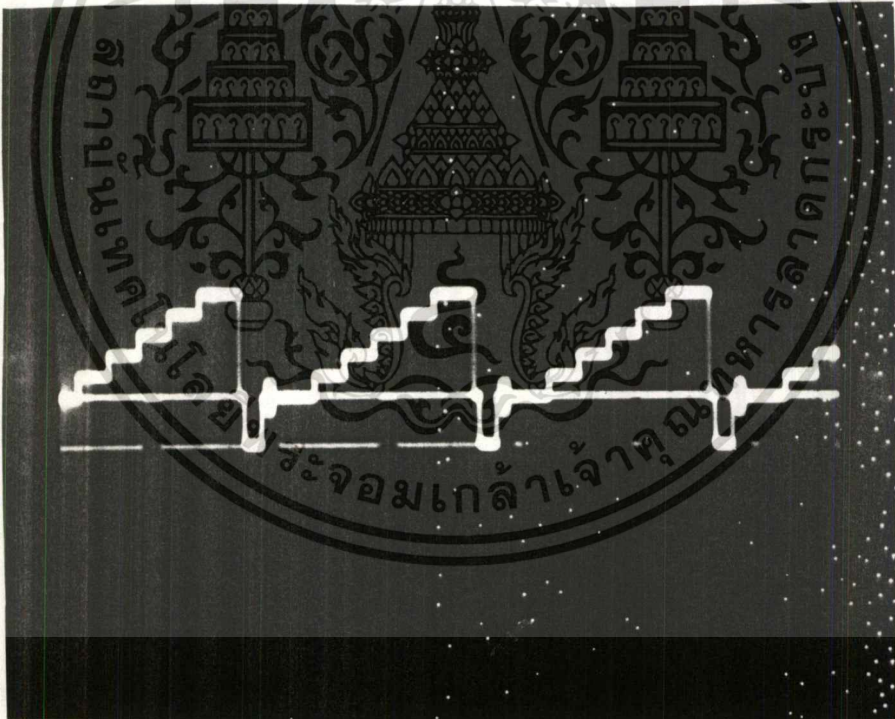


รูปที่ 3.6 แสดงรูปวงจร Improved Video Fader

เอกสารนี้เป็นเอกสารที่สงวนไว้สำหรับการใช้งานเพื่อการศึกษาเท่านั้น ไม่อนุญาตให้นำไปใช้ประโยชน์ด้านการค้า ไม่ว่าจะกรณีใดๆ ทั้งสิ้น อีกทั้งห้ามมิให้ดัดแปลงเนื้อหา และต้องอ้างอิงถึงเจ้าของเอกสารทุกครั้งที่มีการนำไปใช้

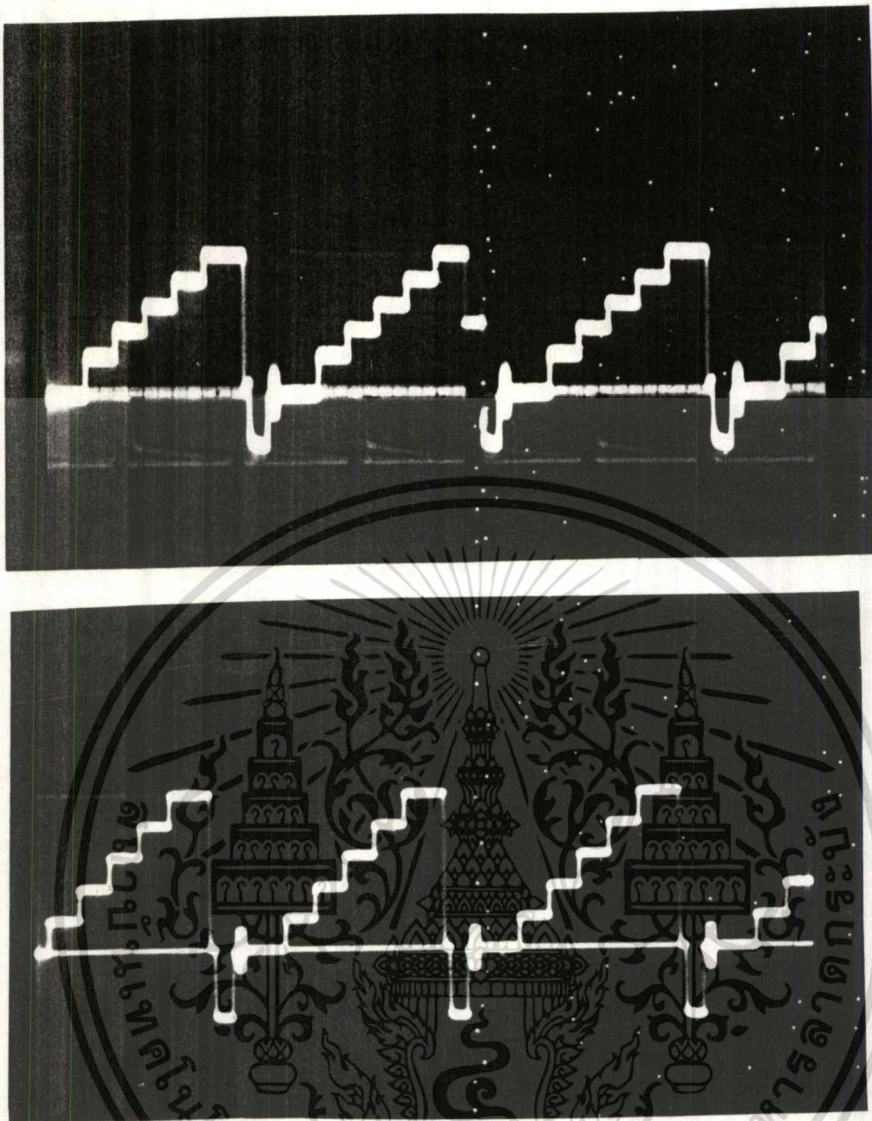


รูปที่ 3.7 แสดงลายวงจรของ improved video fader



รูปที่ 3.7 แสดงสัญญาณอินพุท

เอกสารนี้เป็นเอกสารที่สงวนไว้สำหรับการใช้งานเพื่อการศึกษาเท่านั้น ไม่อนุญาตให้นำไปใช้ประโยชน์ด้านการค้า  
ไม่ว่ากรณีใดๆ ทั้งสิ้น อีกทั้งห้ามมิให้ดัดแปลงเนื้อหา และต้องอ้างอิงถึงเจ้าของเอกสารทุกครั้งที่มีการนำไปใช้



รูปที่ 3.8 แสดงสัญญาณเอาทพุทของวงจร Improved Video Fader

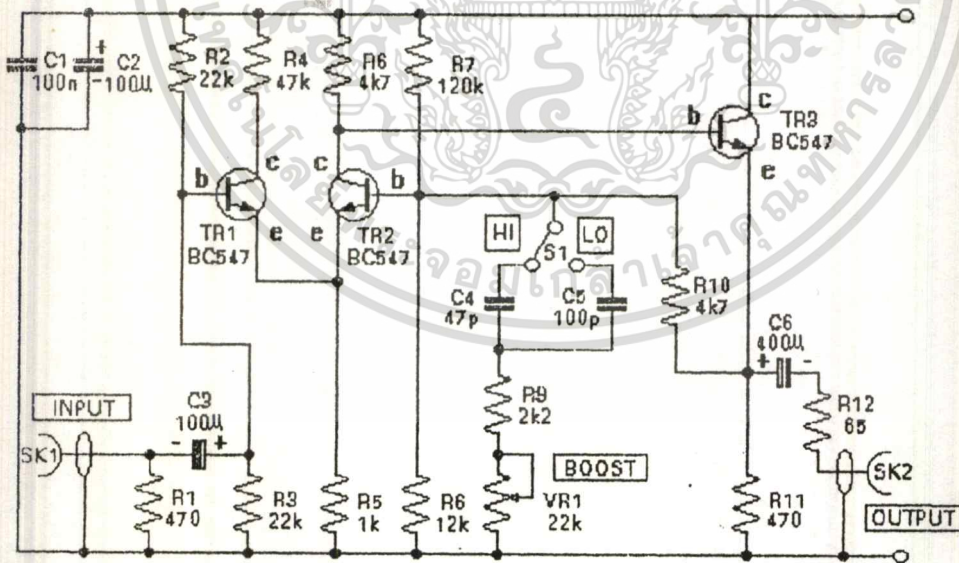
### 3. Video Enhancer

ในปัจจุบันการบันทึกสัญญาณภาพและกลองมีความละเอียดอยู่ในระดับสูงและแน่นอนจะต้องมีการพัฒนาในการผลิตให้ดีขึ้นเรื่อยๆ ความละเอียดของภาพจะมีเสถียรภาพโดยการขยายสัญญาณซึ่งในการพัฒนาให้ดีขึ้นแต่จะทำให้เกิดสัญญาณรบกวนสูงขึ้นด้วยซึ่งเป็นสัญญาณรบกวนที่เกิดมาจากหัวบันทึกเทปซึ่งอุปกรณ์ที่ช่วยเพิ่มความถี่ของสัญญาณภาพแต่ไม่ได้เพิ่ม BW ของสัญญาณภาพแต่จะเพิ่ม response ที่ความถี่สูงจะผลิตความคมชัดให้สูงขึ้น

เอกสารนี้เป็นเอกสารที่สงวนไว้สำหรับการใช้งานเพื่อการศึกษาเท่านั้น ไม่อนุญาตให้นำไปใช้ประโยชน์ด้านการค้า ไม่ว่าจะกรณีใดๆ ทั้งสิ้น อีกทั้งห้ามมิให้ดัดแปลงเนื้อหา และต้องอ้างอิงถึงเจ้าของเอกสารทุกครั้งที่มีการนำไปใช้

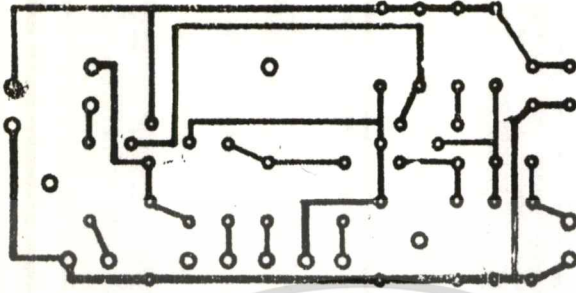
มีความเห็นมากมายเกี่ยวกับการใช้ video enhancer ที่ดีที่สุดบางความเห็นก็สนับสนุนให้มีการใช้ตั้งแต่เริ่มบันทึกภาพแต่บางความเห็นให้ใช้เฉพาะเวลาเล่นเทปเท่านั้น มันไม่ใช่ความคิดเห็นที่ดีในการบันทึกเทปแล้วยังนำมาใช้ในการเล่นเทปอีกซึ่งการใช้สองรอบนี้มันจะผลิตความถี่สูงมากเกินไปซึ่งจะใช้ไม่ได้กับสัญญาณ video

จากรูปที่ 3.9 แสดงวงจรของ Video Enhancer วงจรนี้เป็นวงจรขยายแบบพื้นฐานโดยที่ TR1, TR2 ทำงานแบบ long-tailed pair, TR3 ทำงานแบบ emitter follower buffer stage อัตราการขยายแรงดันถูกควบคุมโดยการป้อนกลับแบบลบซึ่งส่วนหนึ่งคือ R10 และอีกส่วนหนึ่งคือการขนานของ R7 กับ R8 และการป้อนกลับที่ใส่ให้การขยายทั้งหมดมีค่าสูง อย่างไรก็ตามที่ความถี่สูงค่า impedance ของ C4 จะมีค่าต่ำ ถ้าต้องการเพิ่มความถี่สูงซึ่งจะให้ R9 เป็นตัวเพิ่มความถี่สูงให้ถึงระดับที่ต้องการและ VR1 เป็นตัวควบคุมการเพิ่มระดับโดยใช้ในการลดการ boost ของความถี่สูงและทางคานสวิทช์ S1 จะใช้เลือก HI/LO โดยต่อสวิทช์ไปที่ C5 ซึ่ง C5 มีค่ามากกว่า C4 และเมื่อต่อสวิทช์ที่ C5 ก็จะมีเพิ่มความถี่สูงซึ่ง VR1 สามารถใช้ในการลดการ Boost วงจรนี้ต้องการกระแสประมาณ 5 mA

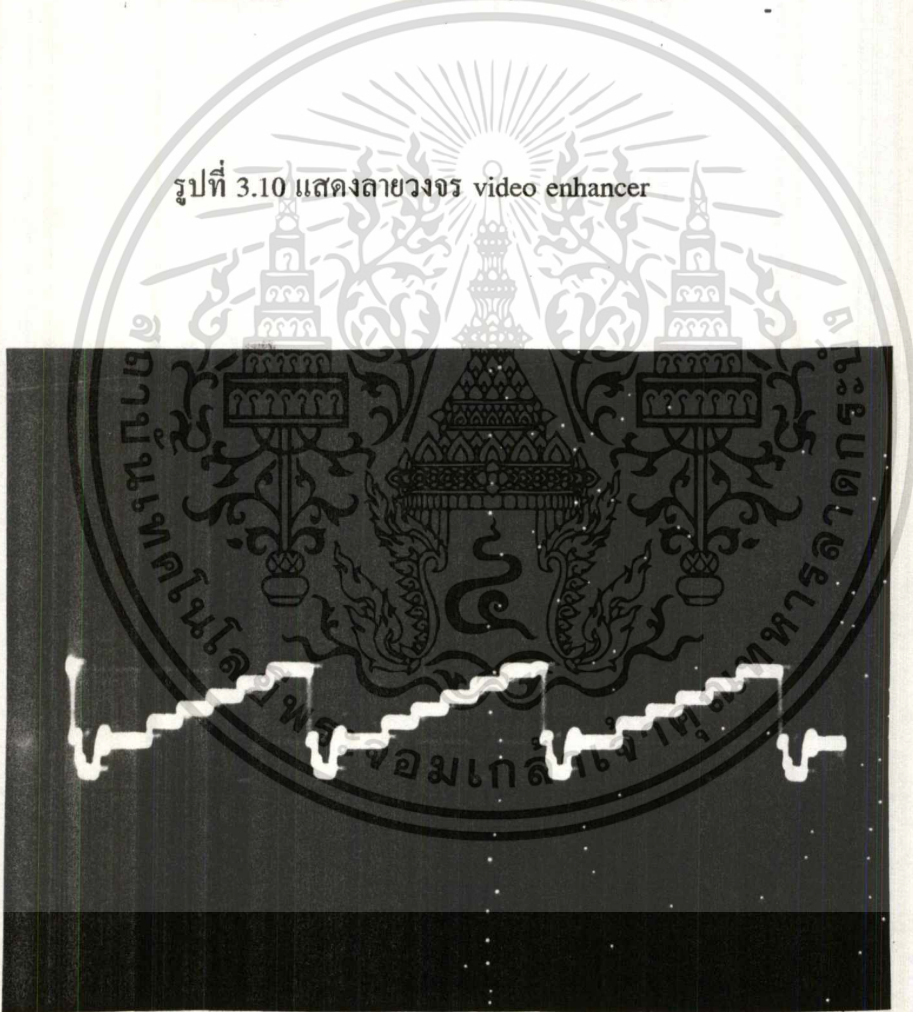


รูปที่ 3.9 แสดงรูปวงจร video enhancer

เอกสารนี้เป็นเอกสารที่สงวนไว้สำหรับการใช้งานเพื่อการศึกษาเท่านั้น ไม่อนุญาตให้นำไปใช้ประโยชน์ด้านการค้า ไม่ว่าจะกรณีใดๆ ทั้งสิ้น อีกทั้งห้ามมิให้ดัดแปลงเนื้อหา และต้องอ้างอิงถึงเจ้าของเอกสารทุกครั้งที่มีการนำไปใช้

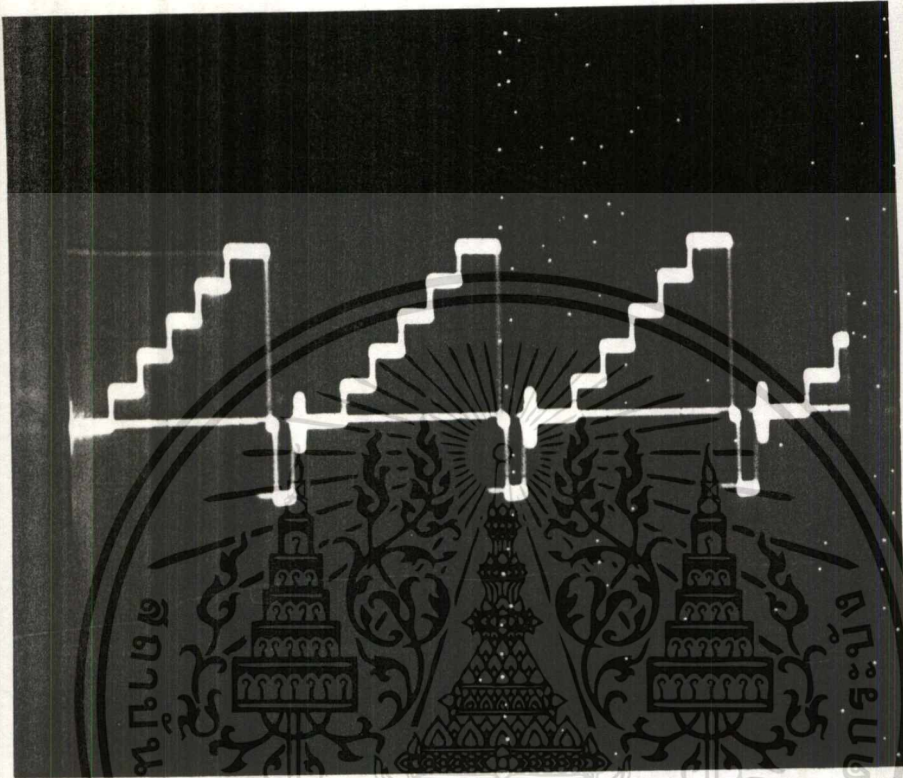


รูปที่ 3.10 แสดงลายวงจร video enhancer



รูปที่ 3.11 แสดงสัญญาณอินพุต

เอกสารนี้เป็นเอกสารที่สงวนไว้สำหรับการใช้งานเพื่อการศึกษาเท่านั้น ไม่อนุญาตให้นำไปใช้ประโยชน์ด้านการค้า  
ไม่ว่ากรณีใดๆ ทั้งสิ้น อีกทั้งห้ามมิให้ดัดแปลงเนื้อหา และต้องอ้างอิงถึงเจ้าของเอกสารทุกครั้งที่มีการนำไปใช้



รูปที่ 3.12 แสดงสัญญาณเอาทพุทของวงจร video enhancer

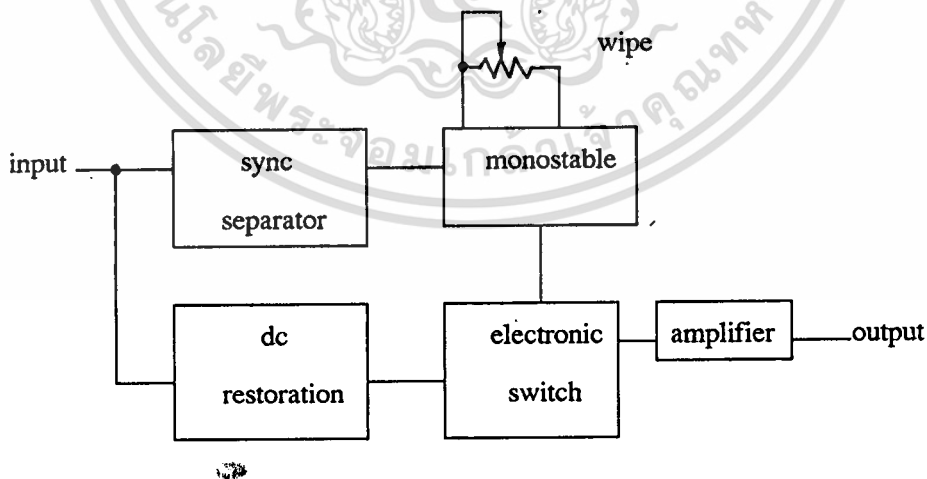
#### 4. Horizontal Wiper

การ wiper เป็นการไขหลักของการสแกนซึ่งแสดงการสร้างภาพทุกๆ ไปสัญญาณ blanked ของการแสดงผลจะแสดงเป็นพื้นสีดำบนหน้าจอหรืออาจเป็นเงาลักษณะการ wiper จะใช้สีดำที่ผลิตจากสัญญาณ blanked ซึ่งการ wiper ทางแนวตั้งการเพิ่มขึ้นของส่วนสีดำจากจุดบนของหน้าจอและลดต่ำลงจนกระทั่งส่วนทั้งหมดของหน้าจอถูกปิดเต็มไปด้วย blanked ซึ่งโดยส่วนมากการกวาดทางแนวตั้ง จะใช้การกวาดโดยให้มี blanking จากจุดกลางเลื่อนขึ้นข้างบน การกวาดทางแนวนอนจะ blanking แบบ side-to-side

เอกสารนี้เป็นเอกสารที่สงวนไว้สำหรับการใช้งานเพื่อการศึกษาเท่านั้น ไม่อนุญาตให้นำไปใช้ประโยชน์ด้านการค้า ไม่ว่าจะกรณีใดๆ ทั้งสิ้น อีกทั้งห้ามมิให้ดัดแปลงเนื้อหา และต้องอ้างอิงถึงเจ้าของเอกสารทุกครั้งที่มีการนำไปใช้

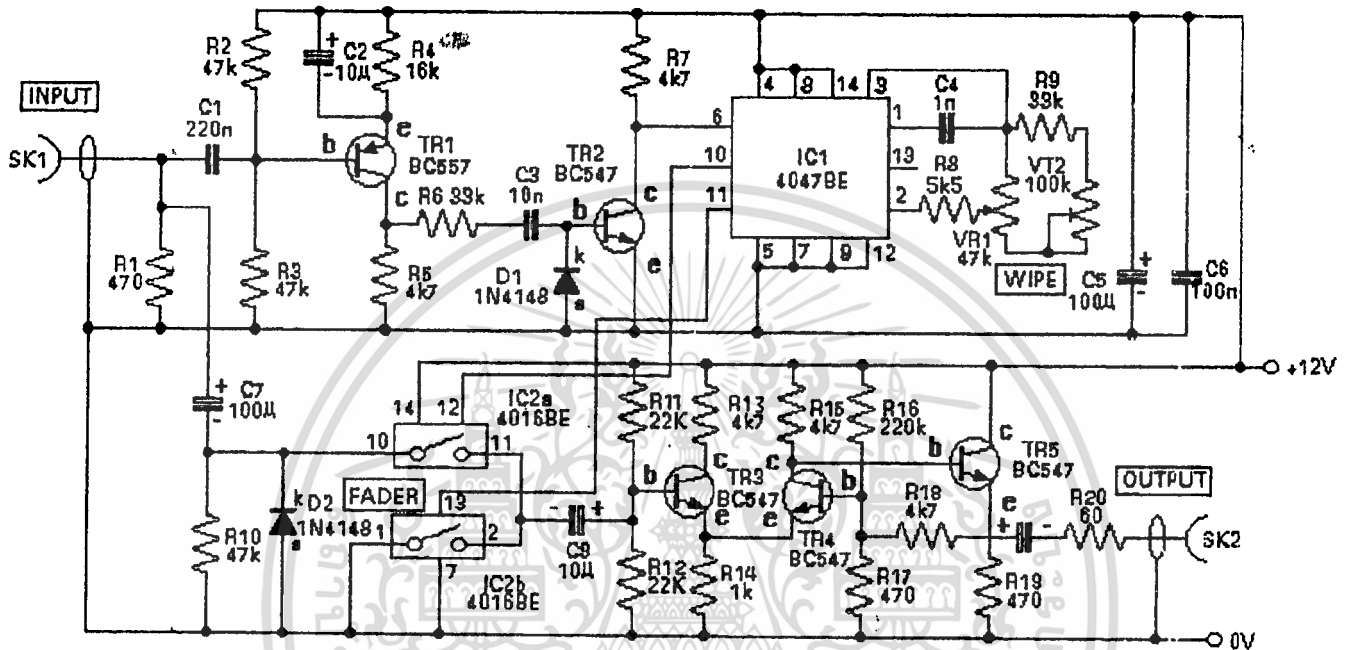
จากรูปที่ 3.14 จะช่วยให้เข้าใจหน้าที่ของส่วนต่างๆของการกวาดทางแนวนอนซึ่งจะมีหลักการคล้ายกับ improved fader circuit ซึ่งการกวาดทางแนวนอนนี้พัฒนามาจาก improved fader โดยที่สัญญาณอินพุทจะถูกแยกเป็น 2 ทางซึ่งส่วนหนึ่งของสัญญาณจะถูกส่งไปยังวงจรแยกซิงค์ซึ่งมันจะให้เอาท์พุทเป็นสัญญาณพัลส์ไปทริกให้กับ monostable โดย monostable สามารถที่จะเปลี่ยนแปลงความกว้างของพัลส์ทางเอาท์พุทและความยาวของพัลส์จะควบคุมโดย potentiometer โดยจะควบคุมการกวาดและที่ช่วงพัลส์ที่แคบที่สุดพัลส์จะเริ่มสัญญาณ luminanc ในอีกส่วนหนึ่งของสัญญาณจะผ่านวงจร dc restoration ผ่าน electronic switch ส่วนสัญญาณเอาท์พุทช่องว่างของพัลส์ถูกแรกกับลูกต่อไปเป็นส่วนหนึ่งของสัญญาณ blanking ถ้าตัดความยาวของพัลส์ให้สั้นลง electronic sw. ก็จะเปลี่ยนสภาวะการทำงานก่อนก่อนจะสิ้นสุดการสแกนและการทำงานทำโดยการป้อนสัญญาณภาพผ่านวงจรแยกสัญญาณซิงค์และจะให้สัญญาณลบทริกให้กับ monostable โดยจะให้ VR1 เป็นตัวควบคุมการกวาดให้ R9 และ VR2 เป็นตัวขนานกับ VR1 และ VR2 ใช้ในการปรับแต่งความยาวของพัลส์ให้ถูกต้องกับภาพวงจรนี้จะกินกระแสประมาณ 25mA

การทดสอบวงจรนี้โดยการเริ่มจากการปรับ VR2 ไว้ที่ประมาณตรงกลางซึ่ง VR2 ไม่สามารถทำให้เกิดฉาก blanked โดย VR1 จะเป็นตัวควบคุม blanked ซึ่งจะตั้ง VR1 ที่ความต้านทานสูงสุดและทำการปรับ VR2 ถ้า VR2 ถูกปรับไว้ที่ค่าต่ำสุดในส่วนขวาก็จะเกิดฉากขึ้นถ้าตั้ง VR2 ไว้ที่ค่าสูงสุดจะเกิดความกว้างของ blanked บน line scan

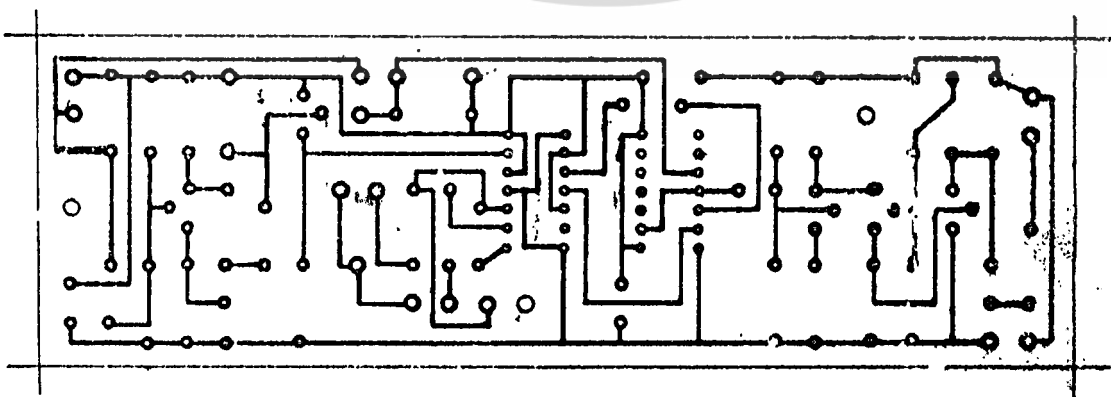


รูปที่ 3.13 แสดงบล็อกไดอะแกรมของ horizontal wiper

เอกสารนี้เป็นเอกสารที่สงวนไว้สำหรับการใช้งานเพื่อการศึกษาเท่านั้น ไม่อนุญาตให้นำไปใช้ประโยชน์ด้านการค้า ไม่ว่าจะกรณีใดๆ ทั้งสิ้น อีกทั้งห้ามมิให้ดัดแปลงเนื้อหา และต้องอ้างอิงถึงเจ้าของเอกสารทุกครั้งที่มีการนำไปใช้

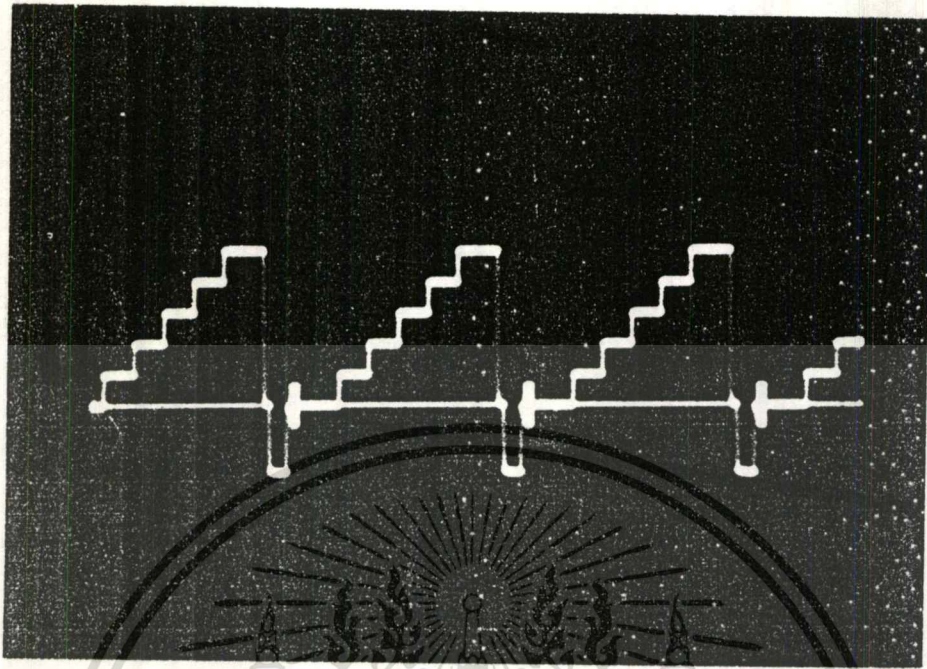


รูปที่ 3.14 แสดงรูปของวงจร horizontal wiper

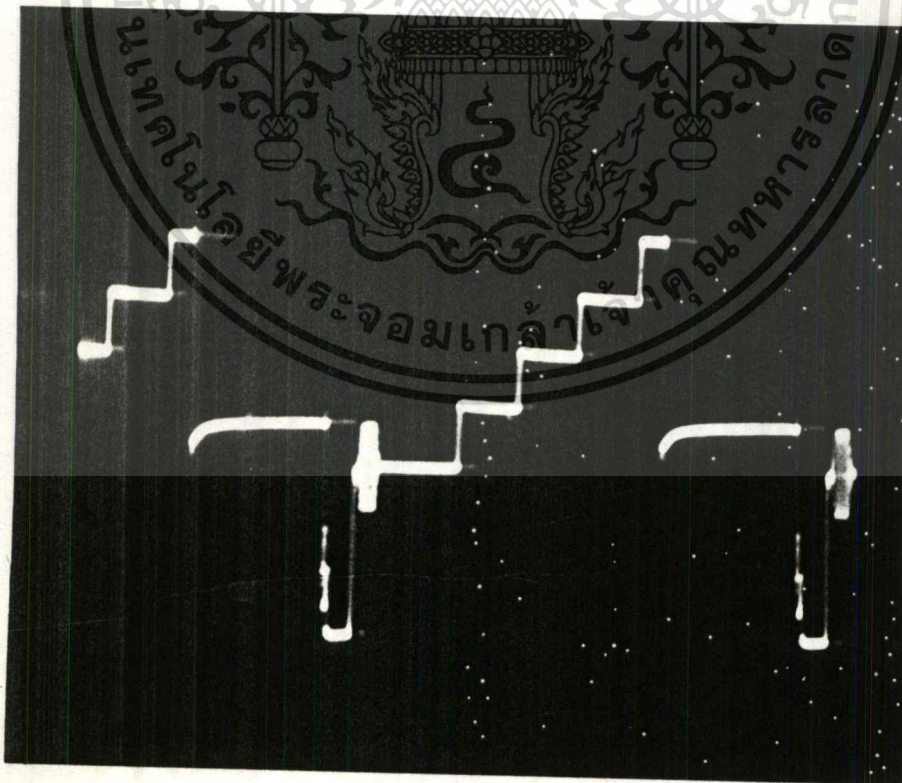


รูปที่ 3.15 แสดงลายวงจรของ horizontal wiper

เอกสารนี้เป็นเอกสารที่สงวนไว้สำหรับการใช้งานเพื่อการศึกษาเท่านั้น ไม่อนุญาตให้นำไปใช้ประโยชน์ด้านการค้า ไม่ว่าจะกรณีใดๆ ทั้งสิ้น อีกทั้งห้ามมิให้ดัดแปลงเนื้อหา และต้องอ้างอิงถึงเจ้าของเอกสารทุกครั้งที่มีการนำไปใช้

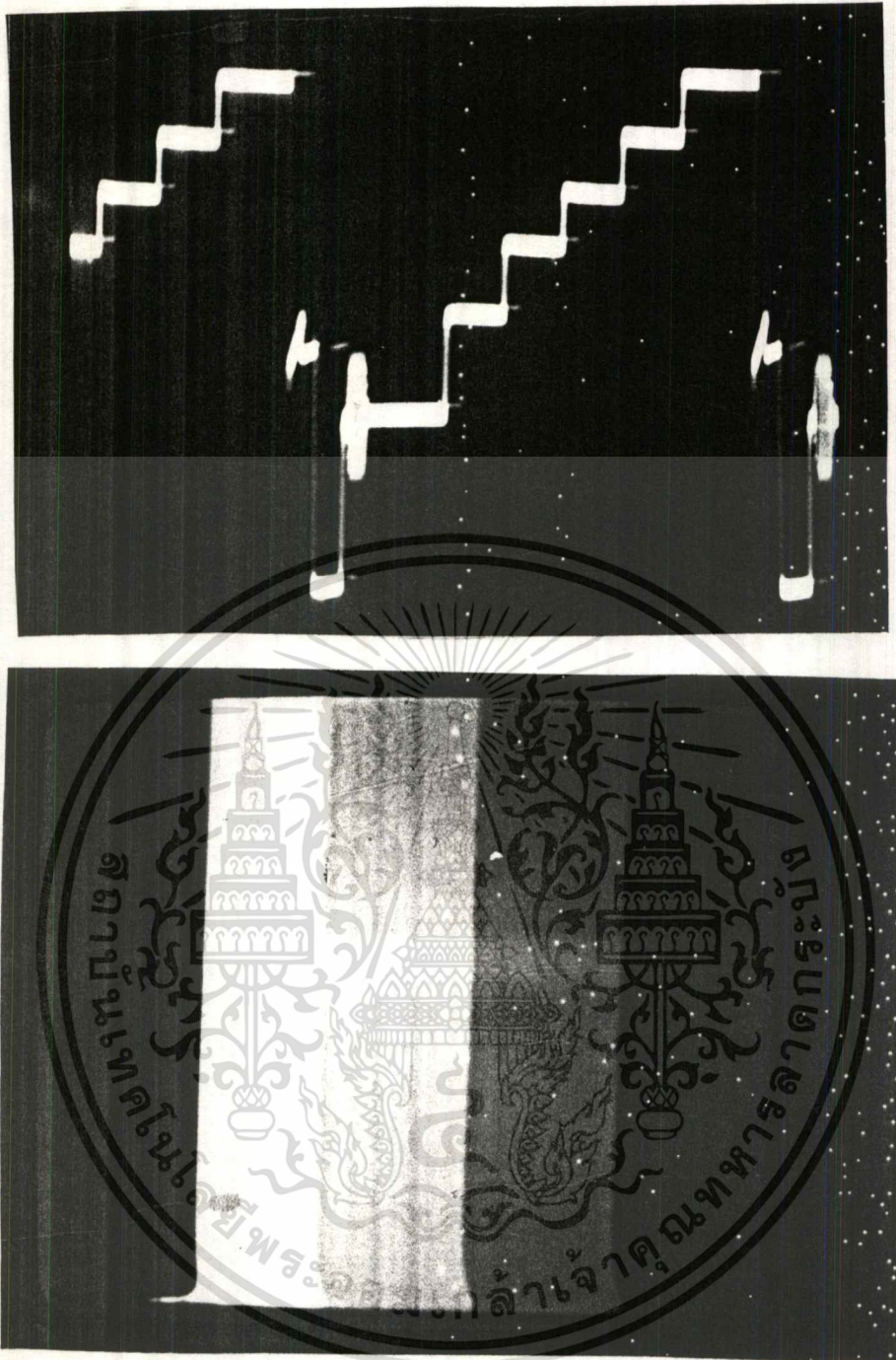


รูปที่ 3.16 จะแสดงสัญญาณอินพุท



รูปที่ 3.17 (ก)แสดงสัญญาณเอาต์พุท(Hi) ของวงจรถูก horizontal wiper

เอกสารนี้เป็นเอกสารที่สงวนไว้สำหรับการใช้งานเพื่อการศึกษาเท่านั้น เมื่ออนุญาตให้นำไปใช้ประโยชน์ด้านการค้า ไม่ว่าจะกรณีใดๆ ทั้งสิ้น อีกทั้งห้ามมิให้ดัดแปลงเนื้อหา และต้องอ้างอิงถึงเจ้าของเอกสารทุกครั้งที่มีการนำไปใช้



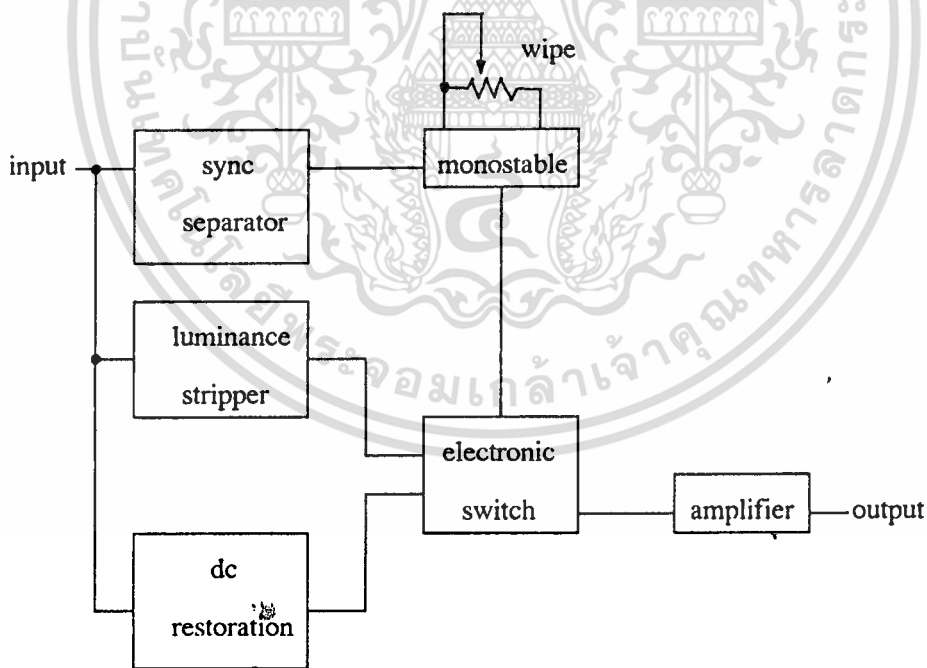
รูปที่ 3.17 (ข) แสดงสัญญาณเอาท์พุท(Lo)ของวงจร horizontal wiper

เอกสารนี้เป็นเอกสารที่สงวนไว้สำหรับการใช้งานเพื่อการศึกษาเท่านั้น ไม่อนุญาตให้นำไปใช้ประโยชน์ด้านการค้า  
ไม่ว่ากรณีใดๆ ทั้งสิ้น อีกทั้งห้ามมิให้ดัดแปลงเนื้อหา และต้องอ้างอิงถึงเจ้าของเอกสารทุกครั้งที่มีการนำไปใช้

## 5. Vertical Wiper

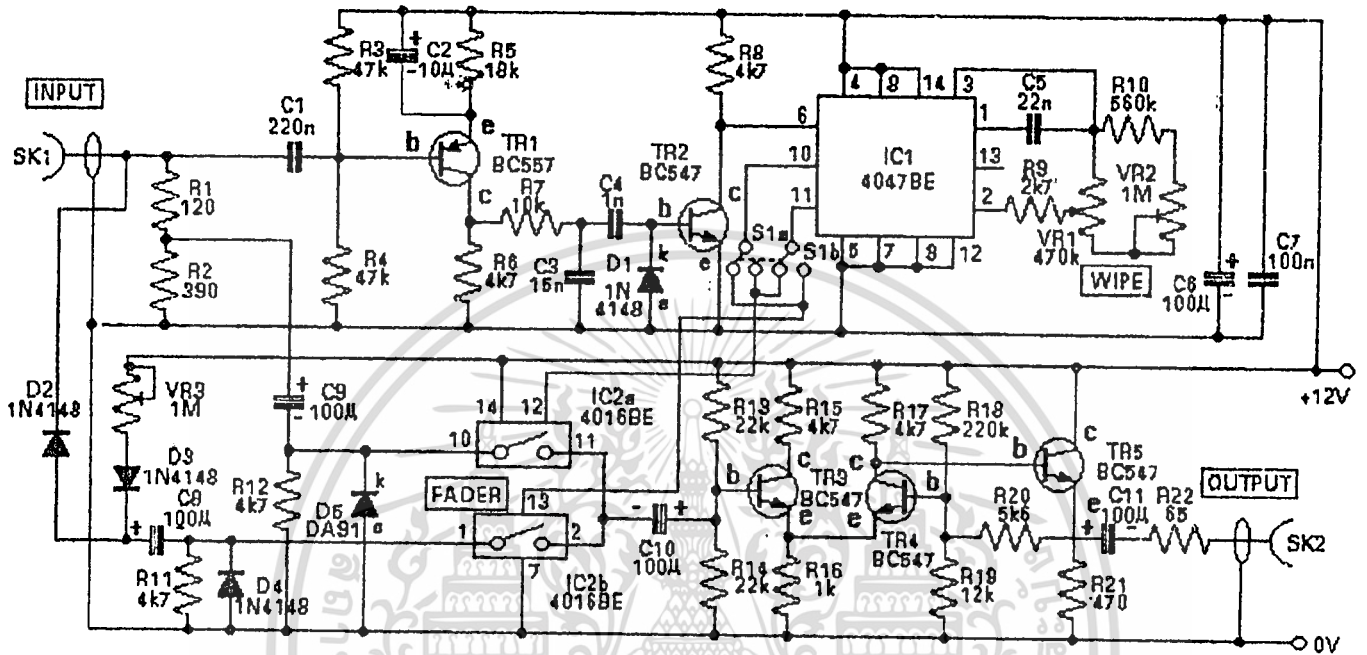
การทำงานของภาคนี้จะนำสัญญาณภาพป้อนที่วงจรแยกซิงค์ซึ่งวงจรนี้จะแตกต่างกับวงจร horizontal wiper ที่วงจรนี้จะทำงานในลักษณะ frame-by-frame โดยจะป้อนสัญญาณพัลส์มาทริกที่วงจร monostable และความกว้างของพัลส์นี้สามารถเปลี่ยนแปลงได้โดย potentiometer ซึ่งใช้ในการควบคุมการกวาดโดยที่กระบวนการ blanking จะเริ่มใช้ frame มากกว่า lines ค่าความยาวสูงสุดของพัลส์มักจะยาวมากในการใช้งานจะมีความยาวประมาณ 20ms และการเปลี่ยนแปลงของ electronic sw. โดยอินพุทจะมีสัญญาณเอาท์พุทของสัญญาณ luminance, dc restoration, monostable

จากรูปวงจรจะเห็นว่า จะเข้าวงจรแยกสัญญาณซิงค์ โดยที่ต้องผ่านวงจรกรองความถี่ต่ำก่อน ดังนั้นจึงเหมาะกับความถี่ที่ต่ำและที่ monostable จะมีค่า R9, C5 เป็นตัวควบคุมค่าต่ำสุดของพัลส์เพื่อเหมาะกับภาพที่ 150 $\mu$ s, VR1 ใช้ในการควบคุมการกวาดและให้ความกว้างของพัลส์เปลี่ยนแปลงขึ้นถึง 20ms ความต้านทาน R10 และ VR2 ต่อขาน VR1 และ VR2 คือตัวกำหนดความกว้างสูงสุดของพัลส์ให้เหมาะกับระดับสัญญาณ

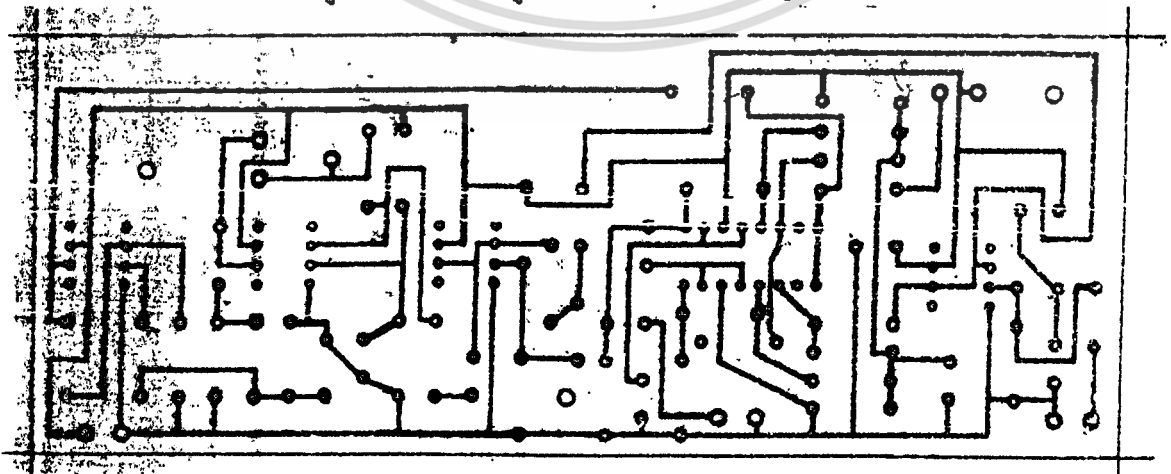


รูปที่ 3.18 แสดงบล็อกไดอะแกรมของ vertical wiper

เอกสารนี้เป็นเอกสารที่สงวนไว้สำหรับการใช้งานเพื่อการศึกษาเท่านั้น ไม่อนุญาตให้นำไปใช้ประโยชน์ด้านการค้า ไม่ว่าจะกรณีใดๆ ทั้งสิ้น อีกทั้งห้ามมิให้ดัดแปลงเนื้อหา และต้องอ้างอิงถึงเจ้าของเอกสารทุกครั้งที่มีการนำไปใช้

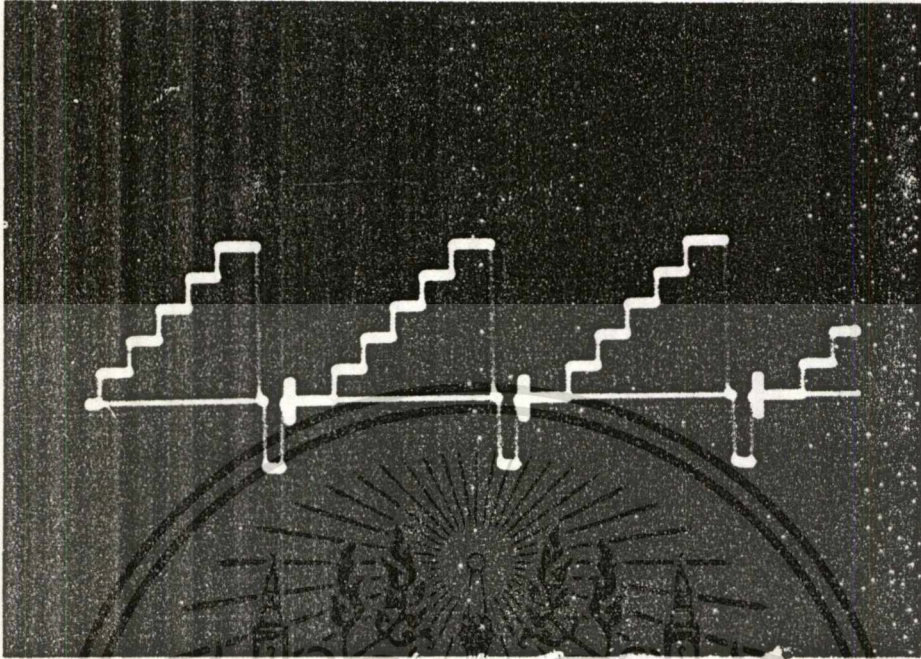


รูปที่ 3.19 แสดงรูปร่างของ vertical wiper

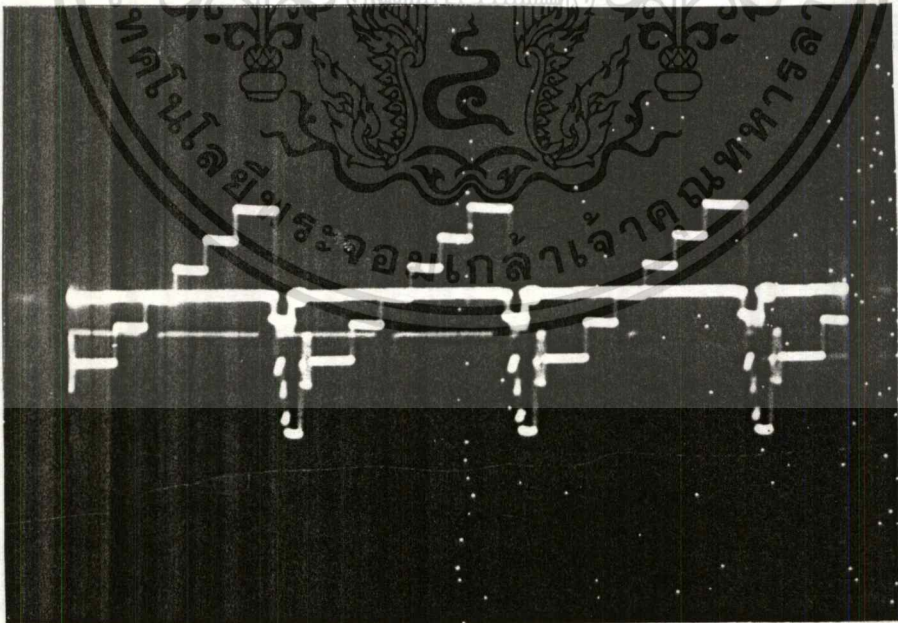


รูปที่ 3.20 แสดงลายวงจรของ vertical wiper

เอกสารนี้เป็นเอกสารที่สงวนไว้สำหรับการใช้งานเพื่อการศึกษาเท่านั้น ไม่อนุญาตให้นำไปใช้ประโยชน์ด้านการค้า ไม่ว่าจะกรณีใดๆ ทั้งสิ้น อีกทั้งห้ามมิให้ดัดแปลงเนื้อหา และต้องอ้างอิงถึงเจ้าของเอกสารทุกครั้งที่มีการนำไปใช้



รูปที่ 3.21 แสดงสัญญาณอินพุท

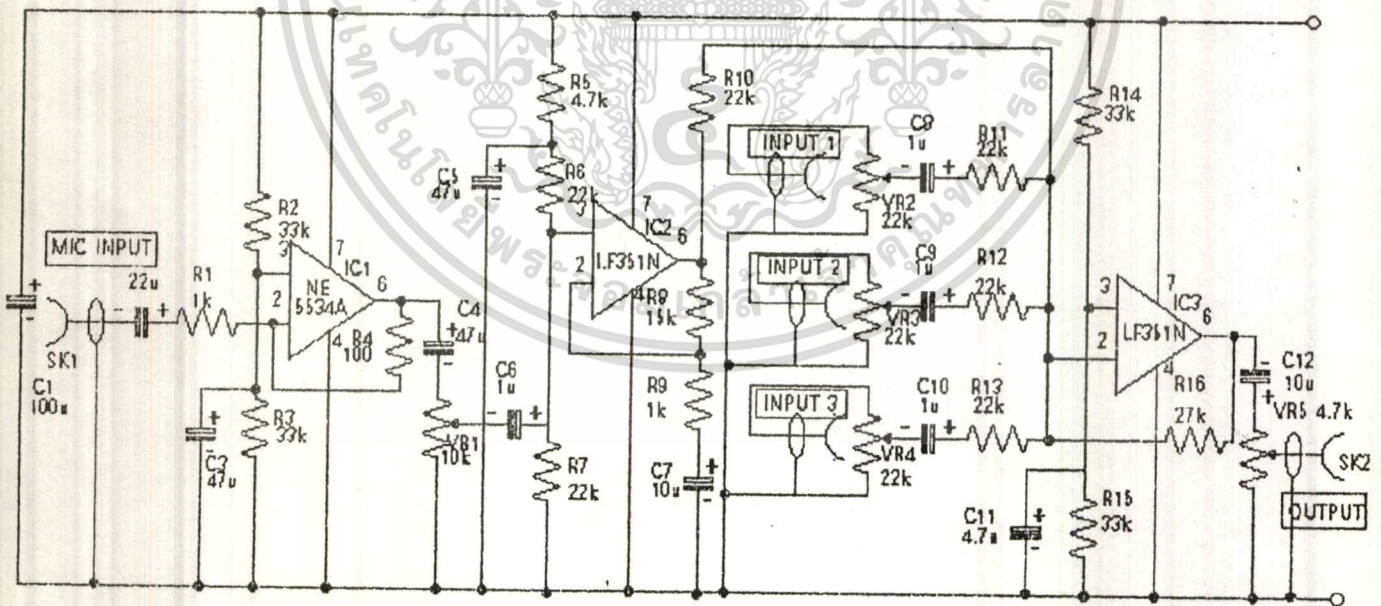


รูปที่ 3.22 แสดงสัญญาณเอาต์พุทของวงจร vertical wiper

เอกสารนี้เป็นเอกสารที่สงวนไว้สำหรับการใช้งานเพื่อการศึกษาเท่านั้น ไม่อนุญาตให้นำไปใช้ประโยชน์ด้านการค้า ไม่ว่าจะกรณีใดๆ ทั้งสิ้น อีกทั้งห้ามมิให้ดัดแปลงเนื้อหา และต้องอ้างอิงถึงเจ้าของเอกสารทุกครั้งที่มีการนำไปใช้

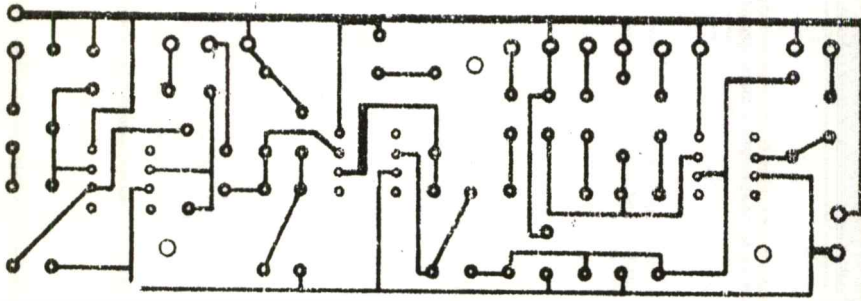
## 6. Audio Mixer

วงจรนี้เป็นวงจรที่ใช้ในการรวมสัญญาณเสียงซึ่งมีอินพุต 4 ช่อง โดยมีช่องของไมโครโฟน 1 อินพุตโดยที่ทั้ง 3 อินพุตที่เหลือสามารถต่อ compact disc, cassette และเสียงของกล่องวีดีโอ เป็นต้น ไมโครโฟนที่สามารถใช้ได้จะต้องมีความต้านทานอยู่ระหว่าง 200 โอห์มถึง 1 กิโลโอห์ม ในวงจร IC3 จะเป็นออปแอมป์ที่ทำหน้าที่รวมสัญญาณโดยที่ทำให้สัญญาณรบกวนต่ำลงด้วยและความต้านทาน R10ถึง R13จะเป็นตัวที่ทำให้แรงดันทางเอาท์พุทสมดุลส่วนSK2 ถึงSK4จะต่ออินพุตที่มีระดับสัญญาณที่สูงและถ้าต้องการให้เพิ่มให้เพิ่มค่า R16 ทางด้านIC1 จะทำงานในระบบ inverting มีการขยายแรงดันเท่ากับ 100(40dB) ความต้านทานR1เป็นความต้านทานอินพุทของสัญญาณต่ำที่ถูกตั้งไว้ที่ประมาณ 1กิโลโอห์มถ้าใช้ที่สัญญาณสูงต้องตั้งR1ไว้ที่ 10กิโลโอห์มและค่า C2ไว้ที่ 2.2 $\mu$ Fซึ่งสามารถจะให้อัตราขยายเท่ากับ 10(20dB)และIC2เป็นแบบ non-inverting จะต้องมีการขยายแรงดันต้องต่ำกว่า 20(26dB) และให้การขยายแรงดันรวมต้องต่ำกว่า 2000(66dB) และให้เอาท์พุทมีแรงดัน r.m.s หลายร้อยมิลลิโวลท์และVR1 จะปรับสัญญาณไมโครโฟน วงจรนี้จะกินกระแสประมาณ 9mA



รูปที่ 3.23 แสดงรูปวงจรของ audio mixer

เอกสารนี้เป็นเอกสารที่สงวนไว้สำหรับการใช้งานเพื่อการศึกษาเท่านั้น ไม่อนุญาตให้นำไปใช้ประโยชน์ด้านการค้า ไม่ว่ากรณีใดๆ ทั้งสิ้น อีกทั้งห้ามมิให้ดัดแปลงเนื้อหา และต้องอ้างอิงถึงเจ้าของเอกสารทุกครั้งที่มีการนำไปใช้

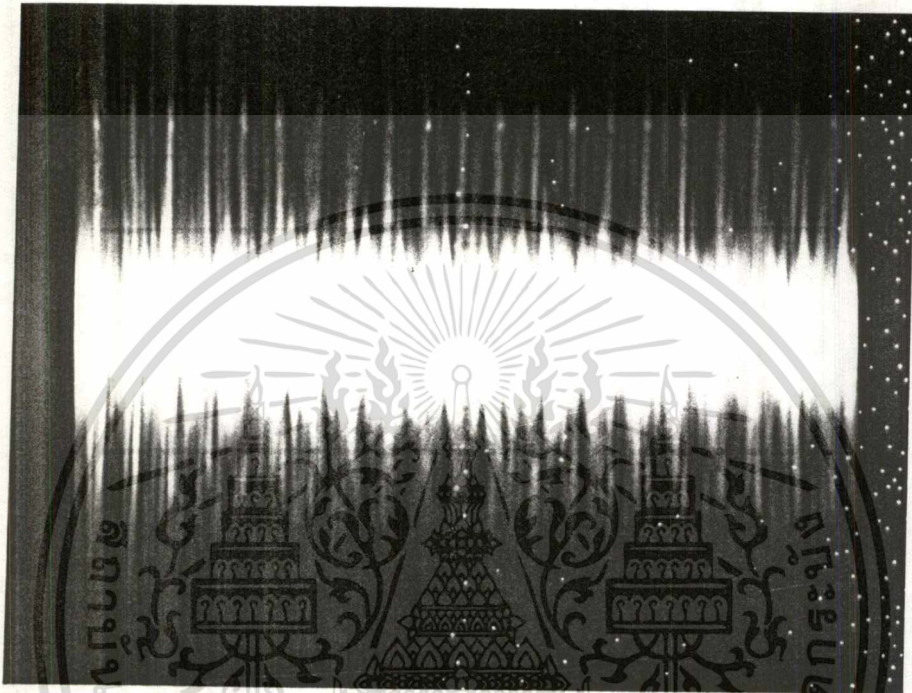


รูปที่ 3.24 แสดงลายวงจรของ audio mixer



รูปที่ 3.25 แสดงสัญลักษณ์อินพุท

เอกสารนี้เป็นเอกสารที่สงวนไว้สำหรับการใช้งานเพื่อการศึกษาเท่านั้น ไม่อนุญาตให้นำไปใช้ประโยชน์ด้านการค้า ไม่ว่าจะกรณีใดๆ ทั้งสิ้น อีกทั้งห้ามมิให้ดัดแปลงเนื้อหา และต้องอ้างอิงถึงเจ้าของเอกสารทุกครั้งที่มีการนำไปใช้

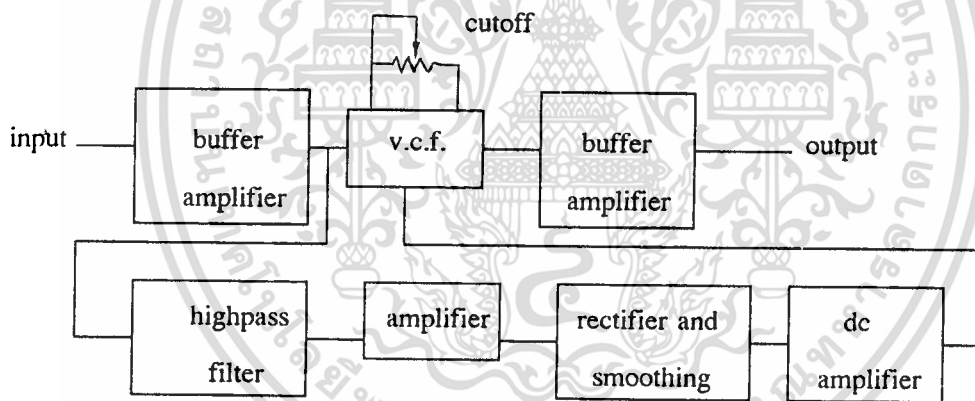


รูปที่ 3.26 แสดงสัญญาณเอาต์พุตของวงจร audio mixer

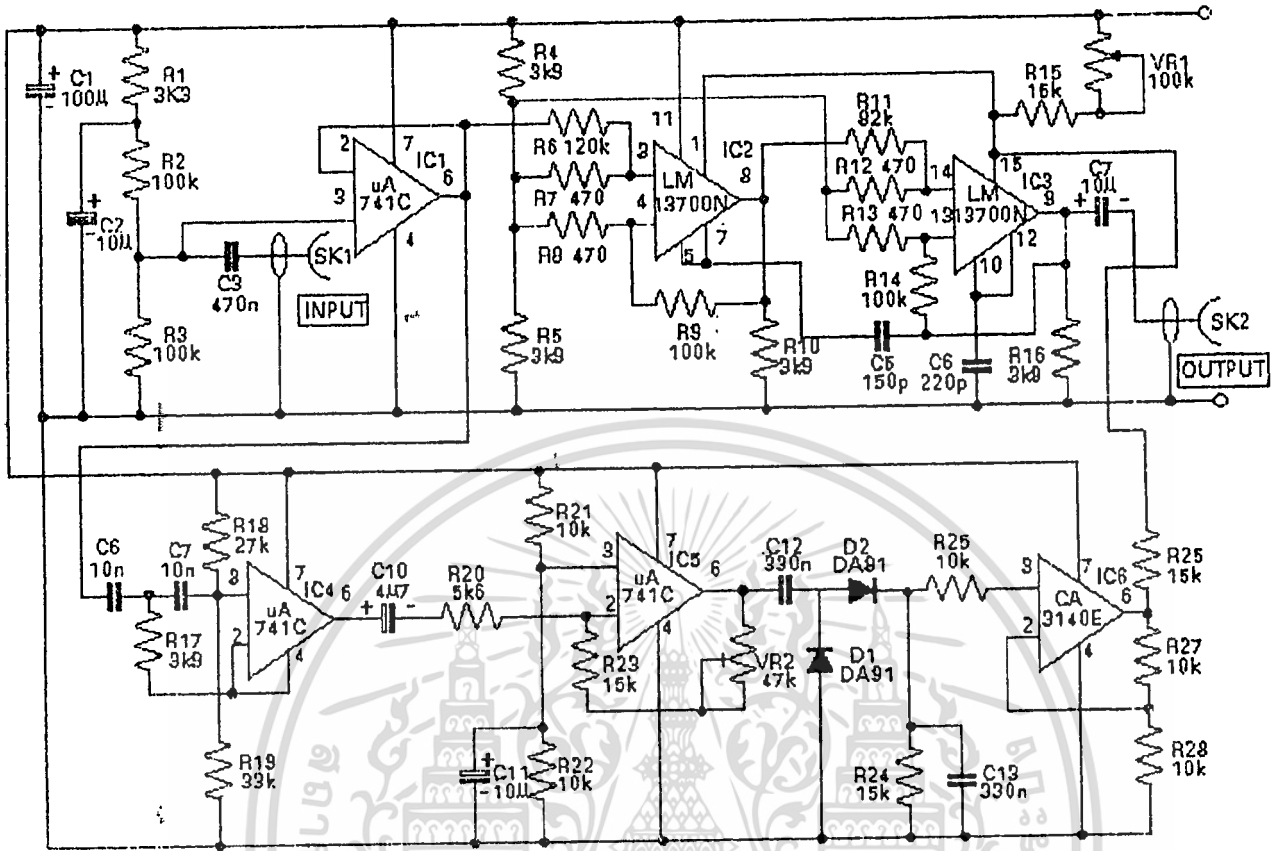
เอกสารนี้เป็นเอกสารที่สงวนไว้สำหรับการใช้งานเพื่อการศึกษาเท่านั้น ไม่อนุญาตให้นำไปใช้ประโยชน์ด้านการค้า  
ไม่ว่ากรณีใดๆ ทั้งสิ้น อีกทั้งห้ามมิให้ดัดแปลงเนื้อหา และต้องอ้างอิงถึงเจ้าของเอกสารทุกครั้งที่มีการนำไปใช้

## 7. Dynamic Noise Limiter

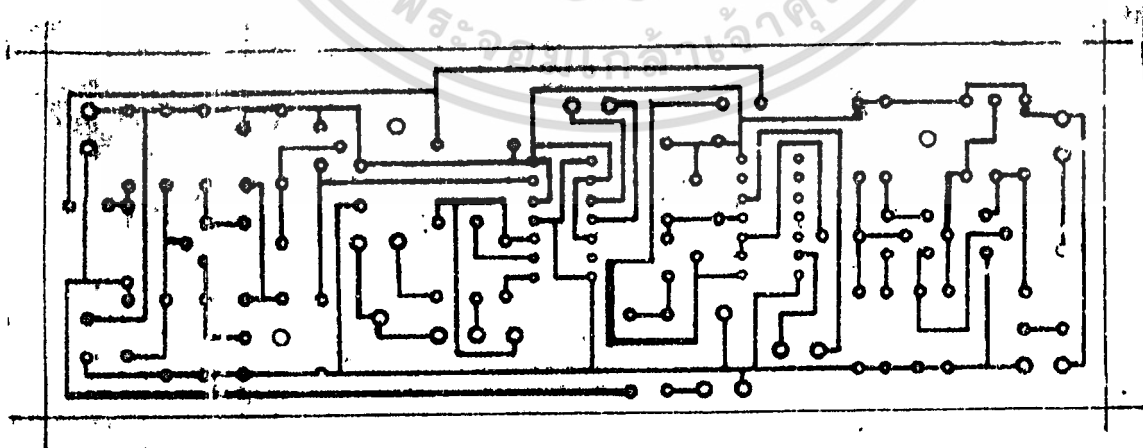
วงจรนี้เป็นวงจรที่ช่วยลดสัญญาณรบกวนลงโดยขั้นแรกจะผ่าน buffer amplifier จะทำหน้าที่ขยายสัญญาณและจะแยกออกเป็นสองทางโดยผ่าน voltage controlled lowpass filter ซึ่ง v.c.f. จะสามารถปรับ cut off ของวงจร filter ได้และสัญญาณอีกส่วนหนึ่งจะผ่าน high pass filter ซึ่งจะตัดสัญญาณรบกวนออกและเข้าวงจรขยายและกลับไปเข้าวงจร v.c.f. อีกทีหนึ่งและจากวงจร IC2 จะเป็นตัวควบคุมแรงดันทาง low pass filter และทางค่าน high pass filter จะใช้วงจรอันดับสองซึ่งจะมี 12dB/octave และในวงจร rectifier จะเป็นชนิด half-wave เป็นแบบ Germanium ที่ใช้แบบนี้เพราะว่าแรงดัน forward ตกคร่อมต่ำกว่าแบบ silicon ส่วน R24 และ C13 จะเป็นวงจรปรับความเรียบของสัญญาณในวงจร dynamic noise limiter ซึ่งวงจรนี้กินกระแสประมาณ 8mA



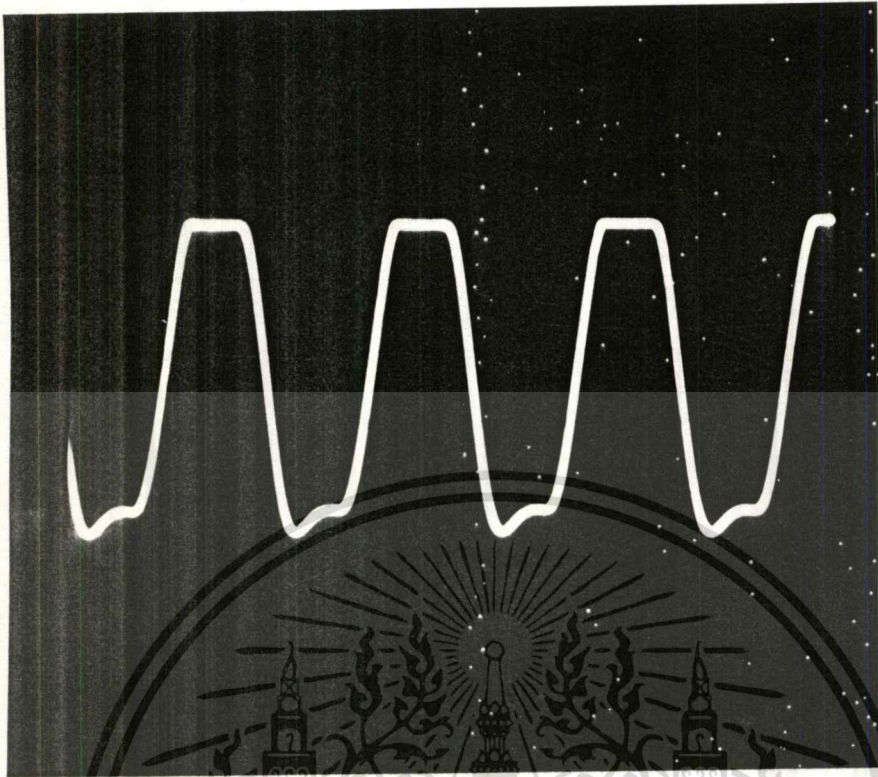
รูปที่ 3.27 แสดงบล็อกไดอะแกรมของวงจร dynamic noise limiter



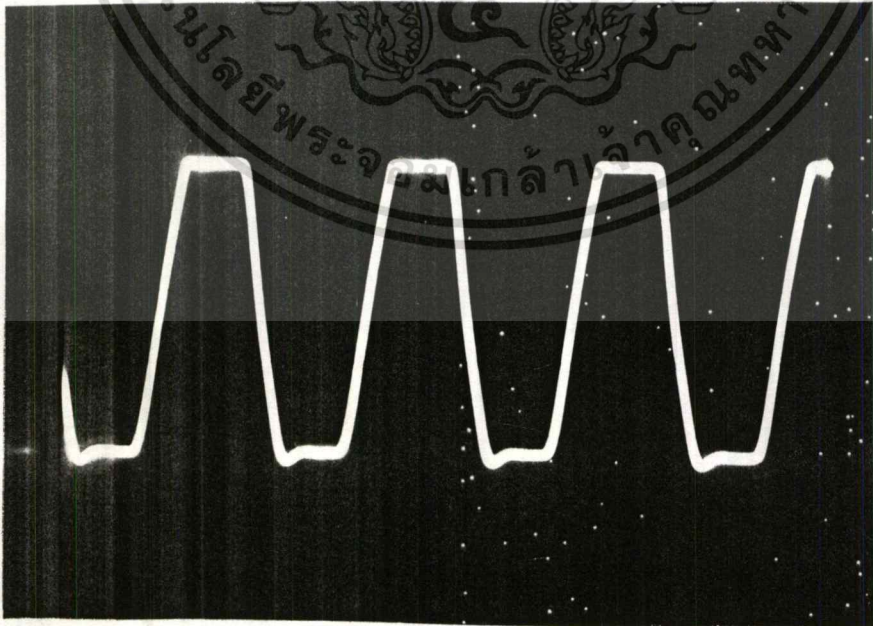
รูปที่ 3.28 แสดงรูปวงจรของ dynamic noise limiter



เอกสารนี้เป็นเอกสารรูปที่ 3.29 แสดงลายวงจรของ dynamic noise limiter ชาติให้นำไปใช้ประโยชน์ด้านการค้า  
ไม่ว่ากรณีใดๆ ทั้งสิ้น อีกทั้งห้ามมิให้ดัดแปลงเนื้อหา และต้องอ้างอิงถึงเจ้าของเอกสารทุกครั้งที่มีการนำไปใช้



รูปที่ 3.30 แสดงสัญญาณอินพุท



เอกสารนี้เป็นเอกสารที่สงวนไว้สำหรับการใช้งานเพื่อการศึกษาเท่านั้น ไม่อนุญาตให้นำไปใช้ประโยชน์ด้านการค้า  
รูปที่ 3.31 แสดงสัญญาณเอาต์ของวงจร dynamic noise limiter  
ไม่ว่ากรณีใดๆ ทั้งสิ้น อีกทั้งห้ามมีผลตดแปลงเนื้อหา และที่ยังมีองเงงเงงเงงเงงเอกสารทุกครั้งที่มีการนำไปใช้

## บทที่ 4

### สรุปและวิจารณ์พร้อมข้อเสนอแนะ

#### สรุปและวิจารณ์

ในส่วนของการทดลองของสัญญาณภาพส่วนที่เรียกว่า video enhancer จะมีการเปลี่ยนแปลงน้อยมากจึงต้องป้อนสัญญาณ multi burst ถึงจะเห็นการเปลี่ยนแปลงของภาค enhancer

จากปฏิยานุภาพนี้ทุกส่วนสามารถที่จะนำไปใช้งานได้อย่างมีประสิทธิภาพและได้ผลเป็นที่น่าพอใจไม่ว่าจะเป็นวงจรของส่วนปรับปรุงสัญญาณภาพและส่วนของการลดสัญญาณรบกวนในภาคเสียง ในการที่จะนำไปใช้ประโยชน์หรือประยุกต์เพื่อให้เกิดประโยชน์สูงสุดโดยคุณได้จากวงจรและบล็อกไดอะแกรมต่างๆ

ในส่วนของแต่ละบล็อกสามารถที่จะพัฒนาโดยการรวมแผ่นลายวงจรให้อยู่ในแผ่นเดียวกันจะสามารถลดการสูญเสียของสัญญาณที่จุดเชื่อมต่อของสายต่างๆได้และยังสามารถปรับปรุงภาคต่างๆให้ประสิทธิภาพเพิ่มขึ้นได้

## บรรณานุกรม

Bernard Grob . BASIC TELEVISION AND VIDEO SYSTEMS ; Mc Graw-Hill, Inc

1984.

Thomas A. Adamson . ELECTRONIC COMMUNICATION ; DELMAR PUBLISHERS INC

1992

ประกิจ ตั้งติสานนท์ . ทฤษฎีโทรทัศน์สี , กรุงเทพมหานคร ; คณะวิศวกรรมศาสตร์ พระจอมเกล้า  
ลาดกระบัง

ประดิษฐ์ วัชรพิบูลย์ . เครื่องส่งวิทยุและโทรทัศน์ , กรุงเทพมหานคร ; คณะวิศวกรรมศาสตร์  
พระจอมเกล้าลาดกระบัง

วิชัย สุรพัฒน์ . วิศวกรรมโทรทัศน์ , กรุงเทพมหานคร ; คณะวิศวกรรมศาสตร์ พระจอมเกล้า  
ลาดกระบัง

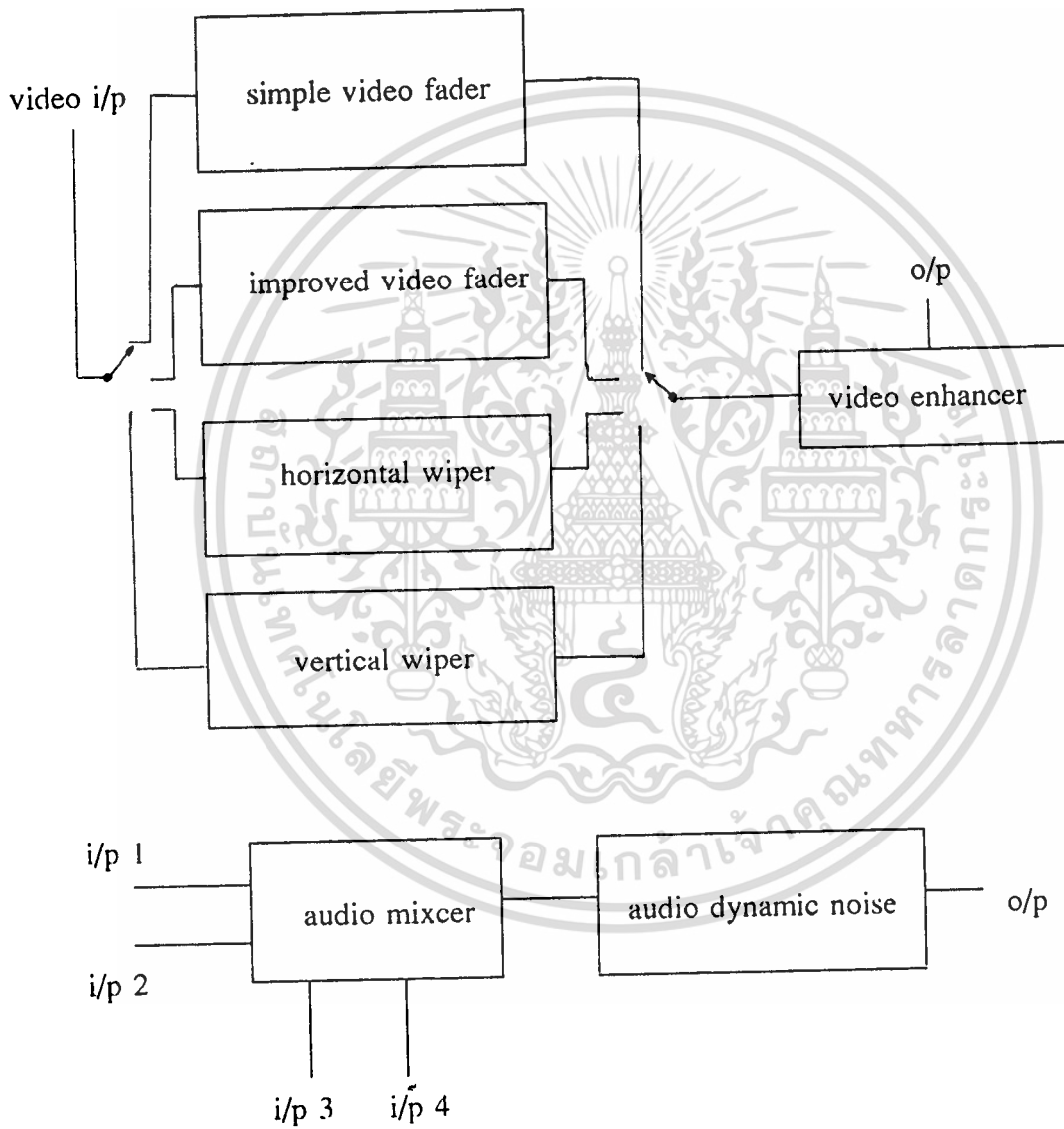
เจน สงสมพันธ์ , นิคม อนันต์ทิพย์ , เทคโนโลยีโทรทัศน์ , กรุงเทพมหานคร ; สถาบันอิเล็กทรอนิกส์  
นิคมอุตสาหกรรม

กลุ่มCNS . ออปแอมป์, กรุงเทพมหานคร ; หจก. สำนักพิมพ์พิภพสิริเซ็นเตอร์

เอกสารนี้เป็นเอกสารที่สงวนไว้สำหรับการใช้งานเพื่อการศึกษาเท่านั้น ไม่อนุญาตให้นำไปใช้ประโยชน์ด้านการค้า  
ไม่ว่ากรณีใดๆ ทั้งสิ้น อีกทั้งห้ามมิให้ดัดแปลงเนื้อหา และต้องอ้างอิงถึงเจ้าของเอกสารทุกครั้งที่มีการนำไปใช้



เอกสารนี้เป็นเอกสารที่สงวนไว้สำหรับการใช้งานเพื่อการศึกษาเท่านั้น ไม่อนุญาตให้นำไปใช้ประโยชน์ด้านการค้า  
ไม่ว่ากรณีใดๆ ทั้งสิ้น อีกทั้งห้ามมิให้ดัดแปลงเนื้อหา และต้องอ้างอิงถึงเจ้าของเอกสารทุกครั้งที่มีการนำไปใช้



รูปที่ 1ก. แสดงบล็อกไดอะแกรมรวมทั้งหมด

เอกสารนี้เป็นเอกสารที่สงวนไว้สำหรับการใช้งานเพื่อการศึกษาเท่านั้น ไม่อนุญาตให้นำไปใช้ประโยชน์ด้านการค้า  
ไม่ว่ากรณีใดๆ ทั้งสิ้น อีกทั้งห้ามมิให้ตัดแปลงเนื้อหา และต้องอ้างอิงถึงเจ้าของเอกสารทุกครั้งที่มีการนำไปใช้



เอกสารนี้เป็นเอกสารที่สงวนไว้สำหรับการใช้งานเพื่อการศึกษาเท่านั้น ไม่อนุญาตให้นำไปใช้ประโยชน์ด้านการค้า  
ไม่ว่ากรณีใดๆ ทั้งสิ้น อีกทั้งห้ามมิให้ดัดแปลงเนื้อหา และต้องอ้างอิงถึงเจ้าของเอกสารทุกครั้งที่มีการนำไปใช้

**FAIRCHILD**

A Schlumberger Company

# $\mu$ A741 Operational Amplifier

Linear Division Operational Amplifiers

**Description**

The  $\mu$ A741 is a high performance monolithic operational amplifier constructed using the Fairchild Planar Epitaxial process. It is intended for a wide range of analog applications. High common mode voltage range and absence of latch up tendencies make the  $\mu$ A741 ideal for use as a voltage follower. The high gain and wide range of operating voltage provide superior performance in integrator, summing amplifier, and general feedback applications.

- No Frequency Compensation Required
- Short Circuit Protection
- Offset Voltage Null Capability
- Large Common Mode And Differential Voltage Ranges
- Low Power Consumption
- No Latch Up

**Absolute Maximum Ratings**

## Storage Temperature Range

Metal Can and Ceramic DIP -65°C to +175°C  
Molded DIP and SO-8 -65°C to +150°C

## Operating Temperature Range

Extended ( $\mu$ A741AM,  $\mu$ A741M) -55°C to +125°C  
Commercial ( $\mu$ A741EC,  $\mu$ A741C) 0°C to +70°C

## Lead Temperature

Metal Can and Ceramic DIP (soldering, 60 s) 300°C  
Molded DIP and SO-8 (soldering, 10 s) 265°C

Internal Power Dissipation<sup>1, 2</sup>

8L-Metal Can 1.00 W  
8L-Molded DIP 0.93 W  
8L-Ceramic DIP 1.30 W  
SO-8 0.61 W

## Supply Voltage

$\mu$ A741A,  $\mu$ A741,  $\mu$ A741E  $\pm$  22 V  
 $\mu$ A741C  $\pm$  18 V

## Differential Input Voltage

$\pm$  30 V

Input Voltage<sup>3</sup>

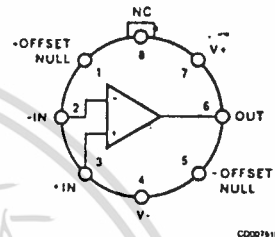
$\pm$  15 V

Output Short Circuit Duration<sup>4</sup>

Indefinite

**Notes**

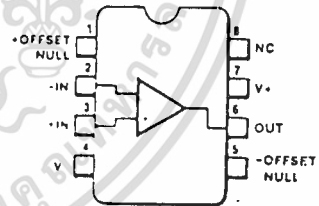
- <sup>1</sup>  $I_{JM}$  max = 150°C for the Molded DIP and SO-8, and 175°C for the Metal Can and Ceramic DIP.
- <sup>2</sup> Ratings apply to ambient temperature at 25°C. Above this temperature, derate the 8L-Metal Can at 6.7 mW/°C, the 8L-Molded DIP at 7.5 mW/°C, the 8L-Ceramic DIP at 8.7 mW/°C, and the SO-8 at 6.5 mW/°C.
- <sup>3</sup> For supply voltages less than  $\pm$  15 V, the absolute maximum input voltage is equal to the supply voltage.
- <sup>4</sup> Short circuit may be to ground or either supply. Rating applies to 125°C case temperature or 75°C ambient temperature.

**Connection Diagram  
8-Lead Metal Package  
(Top View)**

Lead 4 connected to case.

**Order Information**

Device Code	Package Code	Package Description
$\mu$ A741HM	5W	Metal
$\mu$ A741HC	5W	Metal
$\mu$ A741AHM	5W	Metal
$\mu$ A741EHC	5W	Metal

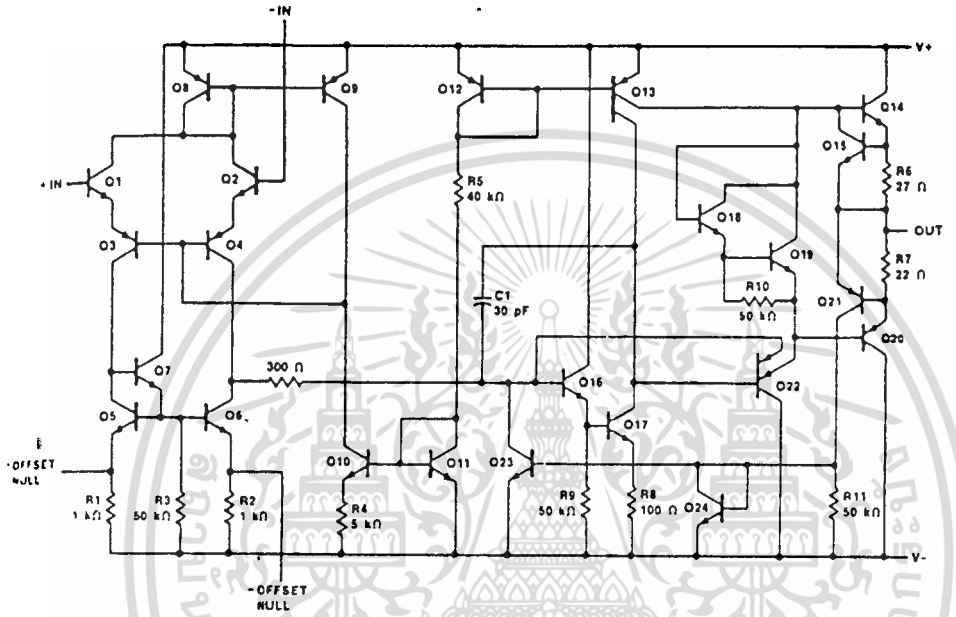
**Connection Diagram  
8-Lead DIP and SO-8 Package  
(Top View)****Order Information**

Device Code	Package Code	Package Description
$\mu$ A741RM	6T	Ceramic DIP
$\mu$ A741RC	6T	Ceramic DIP
$\mu$ A741SC	KC	Molded Surface Mount
$\mu$ A741TC	9T	Molded DiP
$\mu$ A741ARM	6T	Ceramic DIP
$\mu$ A741ERC	6T	Ceramic DIP
$\mu$ A741ETC	9T	Molded DiP

เอกสารนี้เป็นเอกสารที่สงวนไว้สำหรับการใช้งานเพื่อการศึกษาเท่านั้น ไม่อนุญาตให้นำไปใช้ประโยชน์ด้านการค้า  
ไม่ว่ากรณีใดๆ ทั้งสิ้น อีกทั้งห้ามมิให้ดัดแปลงเนื้อหา และต้องอ้างอิงถึงเจ้าของเอกสารทุกครั้งที่มีการนำไปใช้

$\mu A741$

Equivalent Circuit



เอกสารนี้เป็นเอกสารที่สงวนไว้สำหรับการใช้งานเพื่อการศึกษาเท่านั้น ไม่อนุญาตให้นำไปใช้ประโยชน์ด้านการค้า  
ไม่ว่ากรณีใดๆ ทั้งสิ้น อีกทั้งห้ามมิให้ดัดแปลงเนื้อหา และต้องอ้างอิงถึงเจ้าของเอกสารทุกครั้งที่มีการนำไปใช้

## μA741

### μA741 and μA741C

Electrical Characteristics  $T_A = 25^\circ\text{C}$ ,  $V_{CC} = \pm 15\text{ V}$ , unless otherwise specified.

Symbol	Characteristic	Condition	μA741†			μA741C			Unit
			Min	Typ	Max	Min	Typ	Max	
$V_{IO}$	Input Offset Voltage	$R_S \leq 10\text{ k}\Omega$		1.0	5.0		2.0	6.0	mV
$V_{IO\text{ adj}}$	Input Offset Voltage Adjustment Range			$\pm 15$			$\pm 15$		mV
$I_{IO}$	Input Offset Current			20	200		20	200	nA
$I_{IB}$	Input Bias Current			80	500		80	500	nA
$Z_i$	Input Impedance		0.3	2.0		0.3	2.0		M $\Omega$
$I_{CC}$	Supply Current			1.7	2.8		1.7	2.8	mA
$P_c$	Power Consumption			50	85		50	85	mW
CMR	Common Mode Rejection		70			70	90		dB
$V_{IR}$	Input Voltage Range		$\pm 12$	$\pm 13$		$\pm 12$	$\pm 13$		V
PSRR	Power Supply Rejection Ratio			30	150				$\mu\text{V}$
		$V_{CC} = \pm 5.0\text{ V to } \pm 18\text{ V}$					30	150	
$I_{OS}$	Output Short Circuit Current			25			25		mA
$A_{VS}$	Large Signal Voltage Gain	$R_L \geq 2.0\text{ k}\Omega$ , $V_O = \pm 10\text{ V}$	50	200		20	200		V/V
$V_{OP}$	Output Voltage Swing	$R_L = 10\text{ k}\Omega$	$\pm 12$			$\pm 12$	$\pm 14$		
		$R_L = 2.0\text{ k}\Omega$	$\pm 10$			$\pm 10$	$\pm 13$		
TRF	Transient Response	Rise time		0.3			0.3		$\mu\text{s}$
		Overshoot		5.0			5.0		%
BW	Bandwidth			1.0			1.0		MHz
SR	Slew Rate	$R_L \geq 2.0\text{ k}\Omega$ , $A_V = 1.0$		0.5			0.5		V/ $\mu\text{s}$

เอกสารนี้เป็นเอกสารที่สงวนไว้สำหรับการใช้งานเพื่อการศึกษาเท่านั้น ไม่อนุญาตให้นำไปใช้ประโยชน์ด้านการค้า  
ไม่ว่ากรณีใดๆ ทั้งสิ้น อีกทั้งห้ามมิให้ดัดแปลงเนื้อหา และต้องอ้างอิงถึงเจ้าของเอกสารทุกครั้งที่มีการนำไปใช้

## μA741

μA741 and μA741C (Cont.)

Electrical Characteristics Over the range of  $-55^{\circ}\text{C} \leq T_A \leq +125^{\circ}\text{C}$  for μA741,  $0^{\circ}\text{C} \leq T_A \leq +70^{\circ}\text{C}$  for μA741C, unless otherwise specified.

Symbol	Characteristic	Condition	μA741			μA741C			Unit
			Min	Typ	Max	Min	Typ	Max	
$V_{IO}$	Input Offset Voltage							7.5	mV
		$R_S \leq 10 \text{ k}\Omega$		1.0	6.0				
$V_{IO \text{ adj}}$	Input Offset Voltage Adjustment Range			$\pm 15$			$\pm 15$		mV
$I_{IO}$	Input Offset Current							300	nA
		$T_A = +125^{\circ}\text{C}$		7.0	200				
		$T_A = -55^{\circ}\text{C}$		85	500				
$I_{IB}$	Input Bias Current							800	nA
		$T_A = +125^{\circ}\text{C}$		0.03	0.5				$\mu\text{A}$
		$T_A = -55^{\circ}\text{C}$		0.3	1.5				
$I_{SC}$	Supply Current	$T_A = +125^{\circ}\text{C}$		1.5	2.5				mA
		$T_A = -55^{\circ}\text{C}$		2.0	3.3				
$P_D$	Power Consumption	$T_A = +125^{\circ}\text{C}$		45	75				mW
		$T_A = -55^{\circ}\text{C}$		60	100				
$CMRR$	Common Mode Rejection	$R_S \leq 10 \text{ k}\Omega$	70	90					dB
$V_{IC}$	Input Voltage Range		$\pm 12$	$\pm 13$					V
$PSRR$	Power Supply Rejection Ratio			30	150				$\mu\text{V}/\text{V}$
$A_{VLS}$	Large Signal Voltage Gain	$R_L \geq 2.0 \text{ k}\Omega$ , $V_O = \pm 10 \text{ V}$	25			15			V/mV
$V_{OS}$	Output Voltage Swing	$R_L = 10 \text{ k}\Omega$	$\pm 12$	$\pm 14$					V
		$R_L = 2.0 \text{ k}\Omega$	$\pm 10$	$\pm 13$		$\pm 10$	$\pm 13$		

เอกสารนี้เป็นเอกสารที่สงวนไว้สำหรับการใช้งานเพื่อการศึกษาเท่านั้น ไม่อนุญาตให้นำไปใช้ประโยชน์ด้านการค้า  
ไม่ว่ากรณีใดๆ ทั้งสิ้น อีกทั้งห้ามมิให้ดัดแปลงเนื้อหา และต้องอ้างอิงถึงเจ้าของเอกสารทุกครั้งที่มีการนำไปใช้

## μA741

### μA741A and μA741E

Electrical Characteristics  $T_A = 25^\circ\text{C}$ ,  $V_{CC} = \pm 15\text{ V}$ , unless otherwise specified.

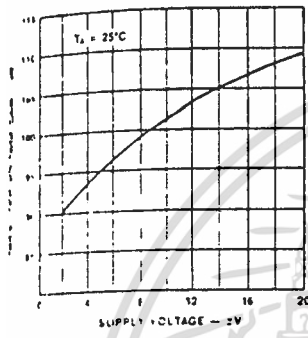
Symbol	Characteristic	Condition	Min	Typ	Max	Unit	
$V_{IO}$	Input Offset Voltage	$R_S \leq 50\ \Omega$		0.8	3.0	mV	
$I_{IO}$	Input Offset Current			3.0	30	nA	
$I_{IB}$	Input Bias Current			30	80	nA	
$Z_I$	Input Impedance	$V_{CC} = \pm 20\text{ V}$	1.0	6.0		MΩ	
$P_c$	Power Consumption	$V_{CC} = \pm 20\text{ V}$		80	150	mW	
PSRR	Power Supply Rejection Ratio	$V_{CC} = +10\text{ V}, -20\text{ V}$ to $V_{CC} = +20\text{ V}, -10\text{ V},$ $R_S = 50\ \Omega$		15	50	μV/V	
$I_{OS}$	Output Short Circuit Current		10	25	40	mA	
$A_{VS}$	Large Signal Voltage Gain	$V_{CC} = \pm 20\text{ V}, R_L \geq 2.0\text{ k}\Omega, V_O = \pm 15\text{ V}$	50	200		V/V	
TR	Transient Response	Rise time	$A_V = 1.0, V_{CC} = \pm 20\text{ V}, V_I = 50\text{ mV},$ $R_L = 2.0\text{ k}\Omega, C_L = 100\text{ pF}$	0.25	0.8	μs	
		Overshoot		6.0	20	%	
BW	Bandwidth		0.437	1.5		MHz	
SR	Slew Rate	$V_I = \pm 10\text{ V}, A_V = 1.0$	0.3	0.7		V/μs	
The following specifications apply over the range of $-55^\circ\text{C} \leq T_A \leq +125^\circ\text{C}$ for the μA741A, and $0^\circ\text{C} \leq T_A \leq +70^\circ\text{C}$ for the μA741E.							
$V_{IO}$	Input Offset Voltage				4.0	mV	
$\Delta V_{IO}/\Delta T$	Input Offset Voltage Temperature Sensitivity				15	μV/°C	
$V_{IO\text{ adj}}$	Input Offset Voltage Adjustment Range	$V_{CC} = \pm 20\text{ V}$	10			mV	
$I_{IO}$	Input Offset Current				70	nA	
$\Delta I_{IO}/\Delta T$	Input Offset Current Temperature Sensitivity				0.5	nA/°C	
$I_{IE}$	Input Bias Current				210	nA	
$Z_I$	Input Impedance		0.5			MΩ	
$P_c$	Power Consumption	$V_{CC} = \pm 20\text{ V}$	μA741A	-55°C		165	mW
				+125°C		135	
		μA741E			150		
CMR	Common Mode Rejection	$V_{CC} = \pm 20\text{ V}, V_I = \pm 15\text{ V}, R_S = 50\ \Omega$	80	95		dB	
$I_{OS}$	Output Short Circuit Current		10		40	mA	
$A_{VS}$	Large Signal Voltage Gain	$V_{CC} = \pm 20\text{ V}, R_L \geq 2.0\text{ k}\Omega,$ $V_O = \pm 15\text{ V}$	32			V/V	
		$V_{CC} = \pm 5.0\text{ V}, R_L \geq 2.0\text{ k}\Omega,$ $V_O = \pm 2.0\text{ V}$	10				
$V_{OP}$	Output Voltage Swing	$V_{CC} = \pm 20\text{ V}$	$R_L = 10\text{ k}\Omega$	± 16		V	
			$R_L = 2.0\text{ k}\Omega$	± 15			

เอกสารนี้เป็นเอกสารที่สงวนไว้สำหรับการใช้งานเพื่อการศึกษาเท่านั้น ไม่อนุญาตให้นำไปใช้ประโยชน์ด้านการค้า  
ไม่ว่ากรณีใดๆ ทั้งสิ้น อีกทั้งห้ามมิให้ดัดแปลงเนื้อหา และต้องอ้างอิงถึงเจ้าของเอกสารทุกครั้งที่มีการนำไปใช้

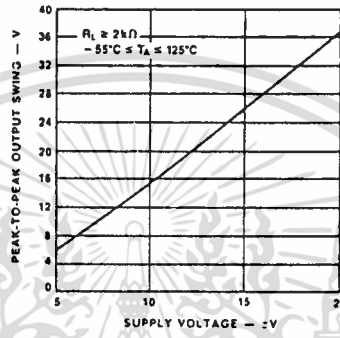
# μA741

## Typical Performance Curves

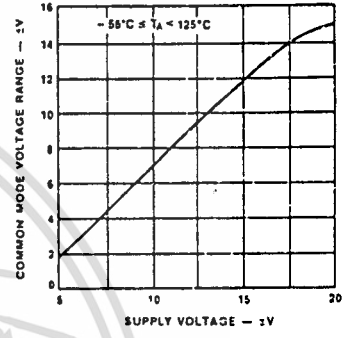
Voltage Gain vs Supply Voltage for μA741/A



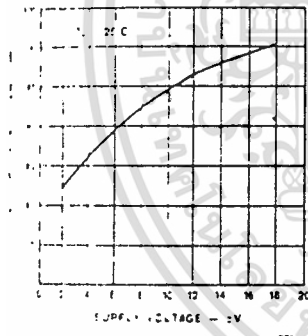
Output Voltage Swing vs Supply Voltage for μA741/A



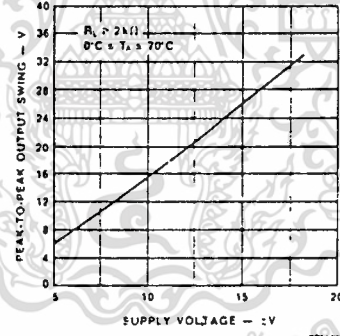
Input Common Mode Voltage vs Supply Voltage for μA741/A



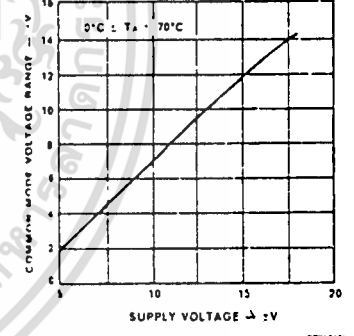
Voltage Gain vs Supply Voltage for μA741C/E



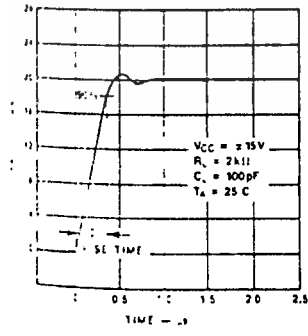
Output Voltage Swing vs Supply Voltage for μA741C/E



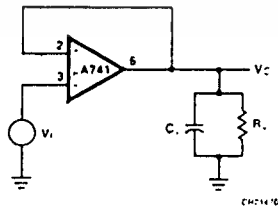
Input Common Mode Voltage Range vs Supply Voltage for μA741C/E



Transient Response for μA741C/E

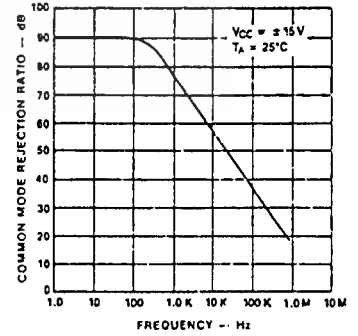


Transient Response Test Circuit for μA741C/E



Lead numbers are shown for metal package only

Common Mode Rejection Ratio vs Frequency for μA741C/E

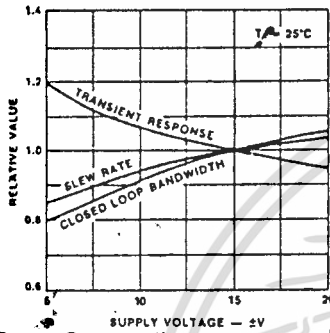


เอกสารนี้เป็นเอกสารที่สงวนไว้สำหรับการใช้งานเพื่อการศึกษาเท่านั้น ไม่อนุญาตให้นำไปใช้ประโยชน์ด้านการค้า ไม่ว่าจะกรณีใดๆ ทั้งสิ้น อีกทั้งห้ามมิให้ดัดแปลงเนื้อหา และต้องอ้างอิงถึงเจ้าของเอกสารทุกครั้งที่มีการนำไปใช้

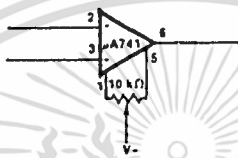
# μA741

## Typical Performance Curves (Cont.)

Frequency Characteristics vs Supply Voltage for μA741C/E

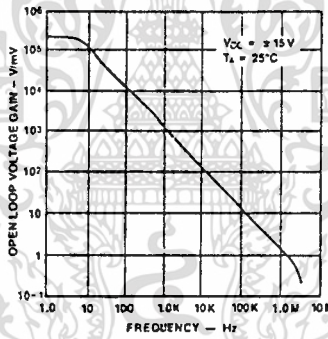


Voltage Offset Null Circuit for μA741C/E

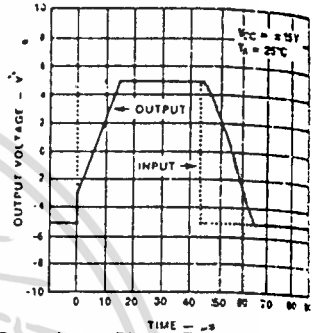


Lead numbers are shown for metal package only

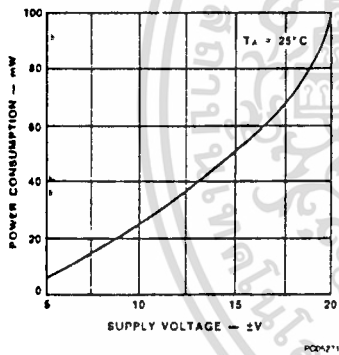
Open Loop Frequency Response



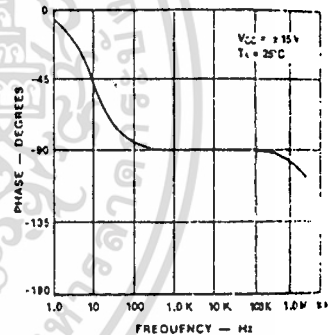
Voltage Follower Large Signal Pulse Response for μA741C/E



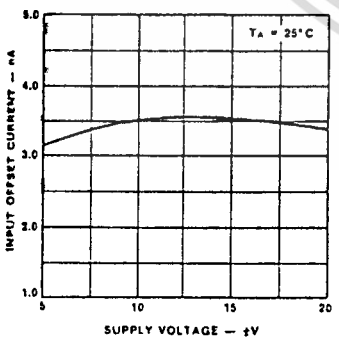
Power Consumption vs Supply Voltage



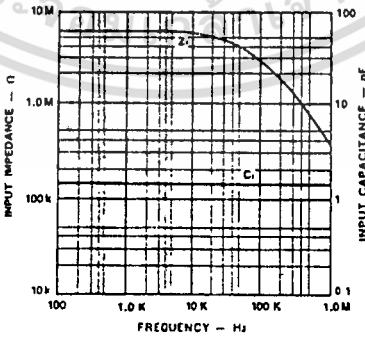
Open Loop Phase Response vs Frequency



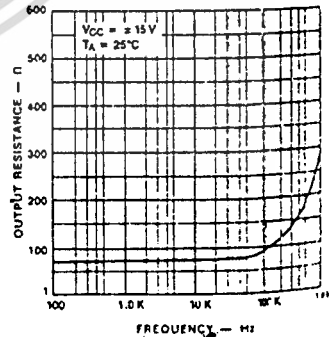
Input Offset Current vs Supply Voltage



Input Impedance and Input Capacitance vs Frequency



Output Resistance vs Frequency

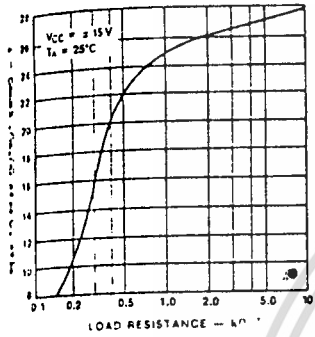


เอกสารนี้เป็นเอกสารที่สงวนไว้สำหรับการใช้งานเพื่อการศึกษาเท่านั้น ไม่อนุญาตให้นำไปใช้ประโยชน์ด้านการค้า ไม่ว่าจะกรณีใดๆ ทั้งสิ้น อีกทั้งห้ามมิให้ดัดแปลงเนื้อหา และต้องอ้างอิงถึงเจ้าของเอกสารทุกครั้งที่มีการนำไปใช้

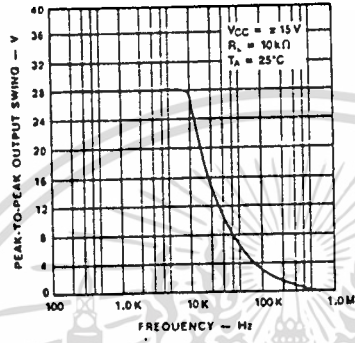
# μA741

## Typical Performance Curves (Cont.)

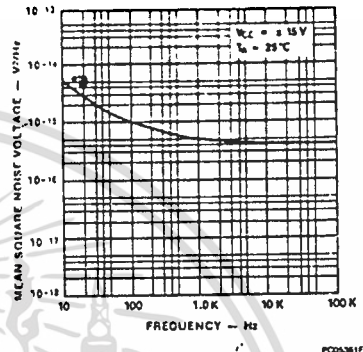
Output Voltage Swing vs Load Resistance



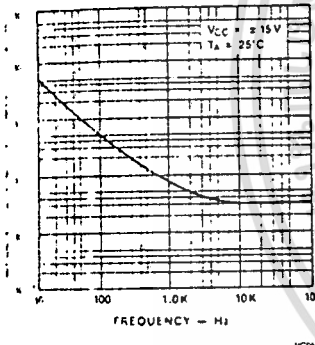
Output Voltage Swing vs Frequency



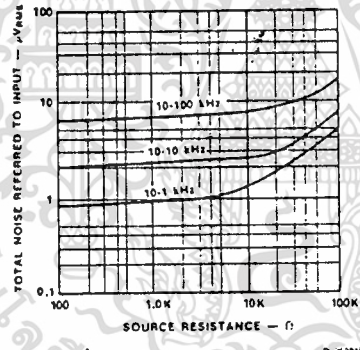
Input Noise Voltage vs Frequency



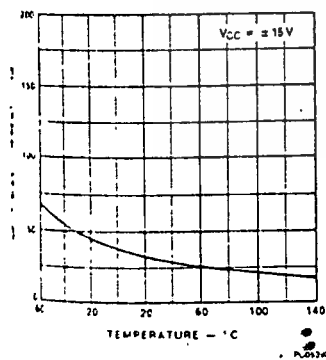
Input Noise Current vs Frequency



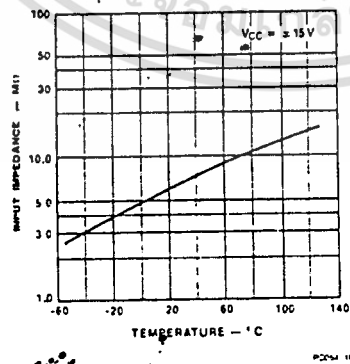
Broadband Noise for Various Bandwidths



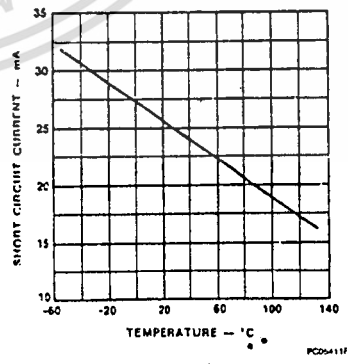
Input Bias Current vs Temperature for μA741/A



Input Impedance vs Temperature for μA741/A



Short Circuit Current vs Temperature for μA741/A

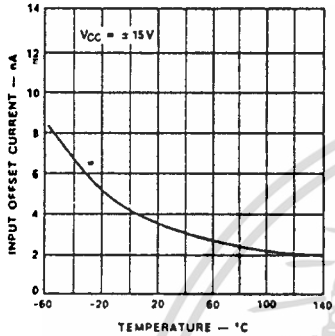


เอกสารนี้เป็นเอกสารที่สงวนไว้สำหรับการใช้งานเพื่อการศึกษาเท่านั้น ไม่อนุญาตให้นำไปใช้ประโยชน์ด้านการค้า  
ไม่ว่ากรณีใดๆ ทั้งสิ้น อีกทั้งห้ามมิให้ดัดแปลงเนื้อหา และต้องอ้างอิงถึงเจ้าของเอกสารทุกครั้งที่มีการนำไปใช้

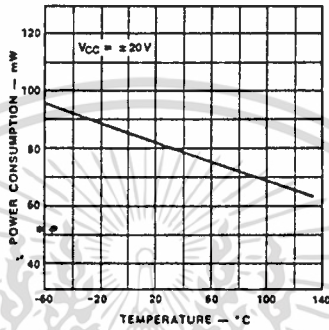
# μA741

## Typical Performance Curves (Cont.)

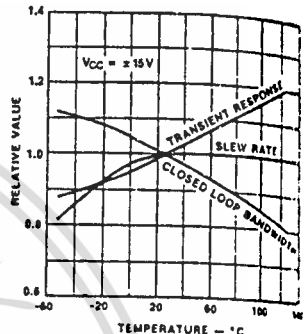
**Input Offset Current vs Temperature for μA741/A**



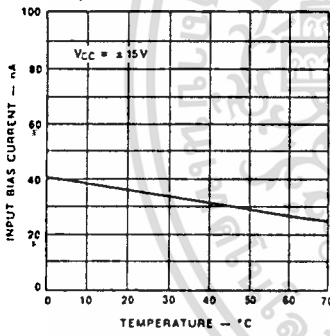
**Power Consumption vs Temperature for μA741/A**



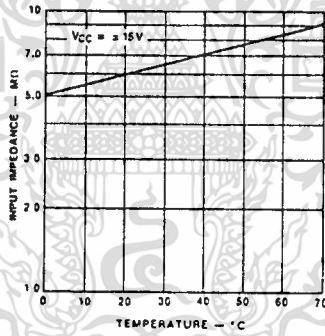
**Frequency Characteristics vs Temperature for μA741/A**



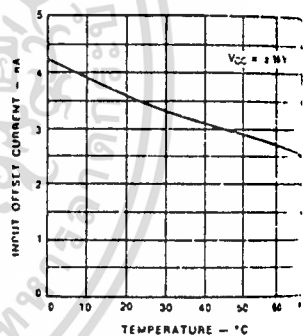
**Input Bias Current vs Temperature for μA741C/E**



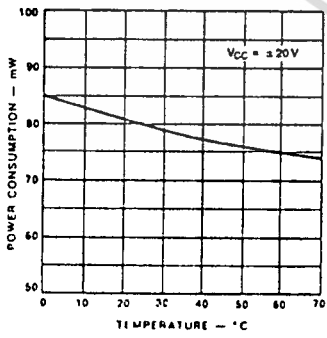
**Input Impedance vs Temperature for μA741C/E**



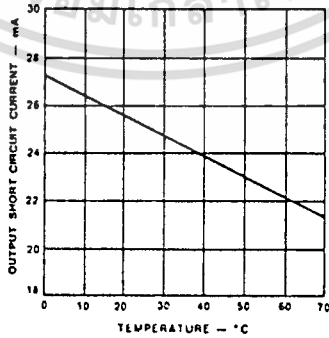
**Input Offset Current vs Temperature for μA741C/E**



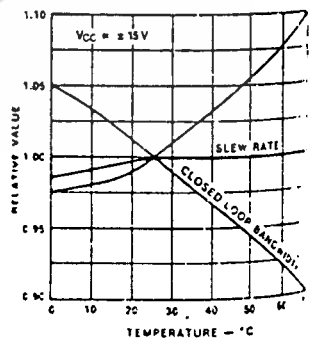
**Power Consumption vs Temperature for μA741C/E**



**Short Circuit Current vs Temperature for μA741C/E**



**Frequency Characteristics vs Temperature for μA741C/E**



เอกสารนี้เป็นเอกสารที่สงวนไว้สำหรับการใช้งานเพื่อการศึกษาเท่านั้น ไม่อนุญาตให้นำไปใช้ประโยชน์ด้านการค้า  
ไม่ว่ากรณีใดๆ ทั้งสิ้น อีกทั้งห้ามมิให้ดัดแปลงเนื้อหา และต้องอ้างอิงถึงเจ้าของเอกสารทุกครั้งที่มีการนำไปใช้

## CD4047BM/CD4047BC Low Power Monostable/Astable Multivibrator

### general description

CD4047B is capable of operating in either the monostable or astable mode. It requires an external capacitor (between pins 1 and 3) and an external resistor (between pins 2 and 3) to determine the output pulse width in the monostable mode, and the output frequency in the astable mode.

Astable operation is enabled by a high level on the astable input or low level on the  $\overline{\text{astable}}$  input. The output frequency (at 50% duty cycle) at Q and  $\overline{\text{Q}}$  outputs is determined by the timing components. A frequency twice that of Q is available at the Oscillator Output; a 50% duty cycle is not guaranteed.

Monostable operation is obtained when the device is triggered by low-to-high transition at + trigger input or high-to-low transition at - trigger input. The device can be retrigged by applying a simultaneous low-to-high transition to both the + trigger and retrigger inputs.

A high level on Reset input resets the outputs Q to low,  $\overline{\text{Q}}$  to high.

### features

- Wide supply voltage range 3V to 15V
- High noise immunity 0.45  $V_{DD}$  typ
- Low power TTL compatibility far out of 2 driving 74L or driving 74LS

### SPECIAL FEATURES

- Low power consumption; special CMOS oscillator configuration
- Monostable (one-shot) or astable (free-running) operation

- True and complemented buffered outputs
- Only one external R and C required

### MONOSTABLE MULTIVIBRATOR FEATURES

- Positive or negative-edge trigger
- Output pulse width independent of trigger pulse duration
- Retriggerable option for pulse width expansion
- Long pulse widths possible using small RC components by means of external counter provision
- Fast recovery time essentially independent of pulse width
- Pulse-width accuracy maintained at duty cycles approaching 100%

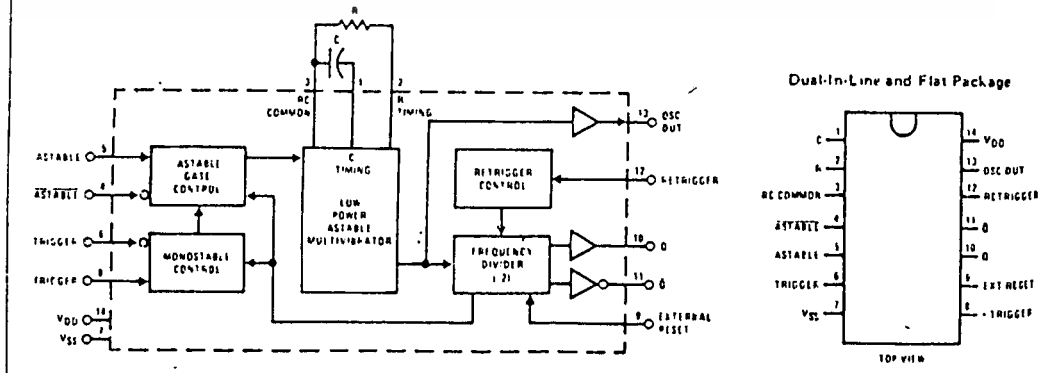
### ASTABLE MULTIVIBRATOR FEATURES

- Free-running or gated operating modes
- 50% duty cycle
- Oscillator output available
- Good astable frequency stability  
typical frequency =  $\pm 2\% + 0.03\%/^{\circ}\text{C}$  @ 100 kHz  
deviation =  $\pm 0.5\% + 0.015\%/^{\circ}\text{C}$  @ 10 kHz  
(circuits trimmed to frequency  $V_{DD} = 10V \pm 10\%$ )

### applications

- Frequency discriminators
- Timing circuits
- Time-delay applications
- Envelope detection
- Frequency multiplication
- Frequency division

### block and connection diagrams



Electrical characteristics CD4047BM (Note 2)

PARAMETER	CONDITIONS	-55 °C		25 °C			125 °C		UNITS
		MIN	MAX	MIN	TYP	MAX	MIN	MAX	
Quiescent Device Current	V <sub>DD</sub> = 5V		5			5		150	μA
	V <sub>DD</sub> = 10V		10			10		300	μA
	V <sub>DD</sub> = 15V		20			20		600	μA
Low Level Output Voltage	I <sub>O</sub>   < 1 μA								
	V <sub>DD</sub> = 5V		0.05	0	0	0.05		0.05	V
	V <sub>DD</sub> = 10V		0.05	0	0	0.05		0.05	V
High Level Output Voltage	I <sub>O</sub>   < 1 μA								
	V <sub>DD</sub> = 5V	4.95		4.95	5		4.95		V
	V <sub>DD</sub> = 10V	9.95		9.95	10		9.95		V
Low Level Input Voltage	V <sub>DD</sub> = 5V, V <sub>O</sub> = 0.5V or 4.5V		1.5		2.25	1.5		1.5	V
	V <sub>DD</sub> = 10V, V <sub>O</sub> = 1V or 9V		3.0		4.5	3.0		3.0	V
	V <sub>DD</sub> = 15V, V <sub>O</sub> = 1.5V or 13.5V		4.0		6.75	4.0		4.0	V
High Level Input Voltage	V <sub>DD</sub> = 5V, V <sub>O</sub> = 0.5V or 4.5V	3.5		3.5	2.75		3.5		V
	V <sub>DD</sub> = 10V, V <sub>O</sub> = 1V or 9V	7.0		7.0	5.5		7.0		V
	V <sub>DD</sub> = 15V, V <sub>O</sub> = 1.5V or 13.5V	11.0		11.0	8.25		11.0		V
Low Level Output Current	V <sub>DD</sub> = 5V, V <sub>O</sub> = 0.4V	0.64		0.51	0.88		0.36		mA
	V <sub>DD</sub> = 10V, V <sub>O</sub> = 0.5V	1.6		1.3	2.25		0.9		mA
	V <sub>DD</sub> = 15V, V <sub>O</sub> = 1.5V	4.2		3.4	8.8		2.4		mA
High Level Output Current	V <sub>DD</sub> = 5V, V <sub>O</sub> = 4.6V	-0.64		-0.51	-0.88		-0.36		mA
	V <sub>DD</sub> = 10V, V <sub>O</sub> = 9.5V	-1.6		-1.3	-2.25		-0.9		mA
	V <sub>DD</sub> = 15V, V <sub>O</sub> = 13.5V	-4.2		-3.4	-8.8		-2.4		mA
Input Current	V <sub>DD</sub> = 15V, V <sub>IN</sub> = 0V		-0.1		-10 <sup>-5</sup>	-0.1		-1.0	μA
	V <sub>DD</sub> = 15V, V <sub>IN</sub> = 15V		0.1		10 <sup>-5</sup>	0.1		1.0	μA

Electrical characteristics CD4047BC (Note 2)

PARAMETER	CONDITIONS	-40 °C		25 °C			85 °C		UNITS
		MIN	MAX	MIN	TYP	MAX	MIN	MAX	
Quiescent Device Current	V <sub>DD</sub> = 5V		20			20		150	μA
	V <sub>DD</sub> = 10V		40			40		300	μA
	V <sub>DD</sub> = 15V		80			80		600	μA
Low Level Output Voltage	I <sub>O</sub>   < 1 μA								
	V <sub>DD</sub> = 5V		0.05	0	0	0.05		0.05	V
	V <sub>DD</sub> = 10V		0.05	0	0	0.05		0.05	V
High Level Output Voltage	V <sub>DD</sub> = 15V		0.05	0	0	0.05		0.05	V

เอกสารนี้เป็นเอกสารที่สงวนไว้สำหรับการใช้งานเพื่อการศึกษาเท่านั้น ไม่อนุญาตให้นำไปใช้ประโยชน์ด้านการค้า  
ไม่ว่ากรณีใดๆ ทั้งสิ้น อีกทั้งห้ามมิให้ดัดแปลงเนื้อหา และต้องอ้างอิงถึงเจ้าของเอกสารทุกครั้งที่มีการนำไปใช้

## LF351 Wide Bandwidth JFET Input Operational Amplifier

### General Description

The LF351 is a low cost high speed JFET input operational amplifier with an internally trimmed input offset voltage (BI-FET II™ technology). The device requires a low supply current and yet maintains a large gain bandwidth product and a fast slew rate. In addition, well matched high voltage JFET input devices provide very low input bias and offset currents. The LF351 is pin compatible with the standard LM741 and uses the same offset voltage adjustment circuitry. This feature allows designers to immediately upgrade the overall performance of existing LM741 designs.

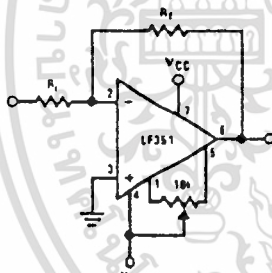
The LF351 may be used in applications such as high speed integrators, fast D/A converters, sample-and-hold circuits and many other circuits requiring low input offset voltage, low input bias current, high input impedance, high slew rate and wide bandwidth. The device has low noise and offset voltage drift, but for applications where these requirements are critical, the LF356 is recommended. If maximum supply

current is important, however, the LF351 is the better choice.

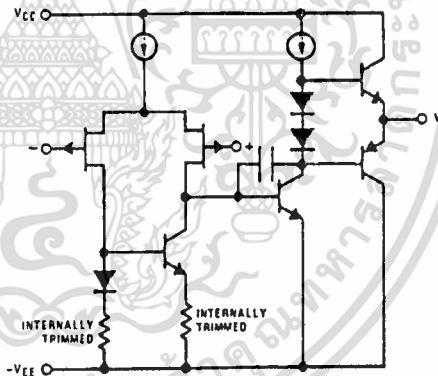
### Features

- Internally trimmed offset voltage 10 mV
- Low input bias current 50 pA
- Low input noise voltage 16 nV/√Hz
- Low input noise current 0.01 pA/√Hz
- Wide gain bandwidth 4 MHz
- High slew rate 15 V/μs
- Low supply current 1.8 mA
- High input impedance 10<sup>12</sup>Ω
- Low total harmonic distortion A<sub>v</sub> = 10, R<sub>L</sub> = 10k, V<sub>O</sub> = 20 Vp-p, BW = 20 Hz-20 kHz <0.02%
- Low 1/f noise corner 50 Hz
- Fast settling time to 0.01% 2 μs

### Typical Connection

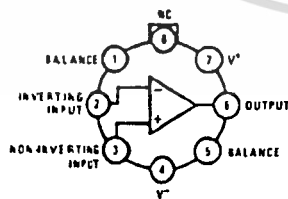


### Simplified Schematic



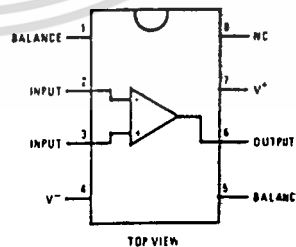
### Connection Diagrams (Top Views)

Metal Can Package



Order Number LF351H  
See NS Package H08C

Dual-In-Line Package



Order Number LF351N  
See NS Package N08E

TL/M/5648-1

## Absolute Maximum Ratings

Supply Voltage	±18V	Input Voltage Range (Note 2)	±15V
Power Dissipation (Note 1)	500mW	Output Short Circuit Duration	Continuous
Operating Temperature Range	0°C to +70°C	Storage Temperature Range	-65°C to +150°C
T <sub>J</sub> (MAX)	115°C	Lead Temp. (Soldering, 10 seconds)	300°C
Differential Input Voltage	±30V		

## DC Electrical Characteristics (Note 3)

Symbol	Parameter	Conditions	LF351			Units
			Min	Typ	Max	
V <sub>OS</sub>	Input Offset Voltage	R <sub>S</sub> = 10 kΩ, T <sub>A</sub> = 25°C Over Temperature		5	10 13	mV mV
ΔV <sub>OS</sub> /ΔT	Average TC of Input Offset Voltage	R <sub>S</sub> = 10 kΩ		10		μV/°C
I <sub>OS</sub>	Input Offset Current	T <sub>J</sub> = 25°C, (Notes 3, 4) T <sub>J</sub> ≤ 70°C		25	100 4	pA nA
I <sub>B</sub>	Input Bias Current	T <sub>J</sub> = 25°C, (Notes 3, 4) T <sub>J</sub> ≤ 70°C		50	200 8	pA nA
R <sub>IN</sub>	Input Resistance	T <sub>J</sub> = 25°C		10 <sup>12</sup>		Ω
A <sub>VOL</sub>	Large Signal Voltage Gain	V <sub>S</sub> = ±15V, T <sub>A</sub> = 25°C V <sub>O</sub> = ±10V, R <sub>L</sub> = 2 kΩ Over Temperature	25	100		V/mV V/mV
V <sub>O</sub>	Output Voltage Swing	V <sub>S</sub> = ±15V, R <sub>L</sub> = 10 kΩ	±12	±13.5		V
V <sub>CM</sub>	Input Common-Mode Voltage Range	V <sub>S</sub> = ±15V	±11	+15 -12		V V
CMRR	Common-Mode Rejection Ratio	R <sub>S</sub> ≤ 10 kΩ	70	100		dB
PSRR	Supply Voltage Rejection Ratio	(Note 5)	70	100		dB
I <sub>S</sub>	Supply Current			1.8	3.4	mA

## AC Electrical Characteristics (Note 3)

Symbol	Parameter	Conditions	LF351			Units
			Min	Typ	Max	
SR	Slow Rate	V <sub>S</sub> = ±15V, T <sub>A</sub> = 25°C		13		V/μs
GBW	Gain Bandwidth Product	V <sub>S</sub> = ±15V, T <sub>A</sub> = 25°C		4		MHz
e <sub>n</sub>	Equivalent Input Noise Voltage	T <sub>A</sub> = 25°C, R <sub>S</sub> = 100Ω, f = 1000 Hz		16		nV/√Hz
i <sub>n</sub>	Equivalent Input Noise Current	T <sub>J</sub> = 25°C, f = 1000 Hz		0.01		pA/√Hz

Note 1: For operating at elevated temperature, the device must be derated based on a thermal resistance of 150°C/W junction to ambient or 45°C/W junction to case.

Note 2: Unless otherwise specified the absolute maximum negative input voltage is equal to the negative power supply voltage.

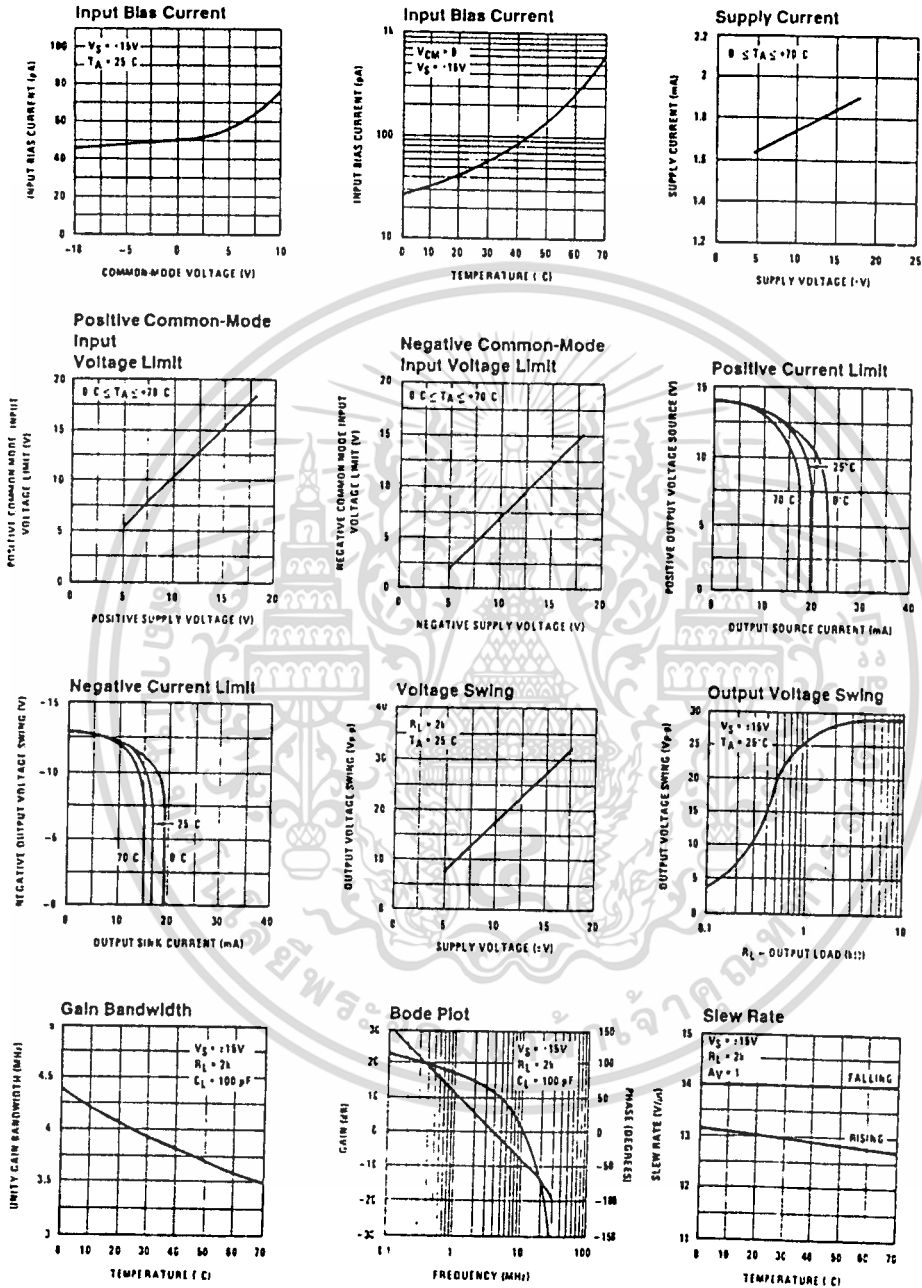
Note 3: These specifications apply for V<sub>S</sub> = ±15V and 0°C ≤ T<sub>A</sub> ≤ 70°C. V<sub>OS</sub>, I<sub>B</sub> and I<sub>OS</sub> are measured at V<sub>CM</sub> = 0.

Note 4: The input bias currents are junction leakage currents which approximately double for every 10°C increase in the junction temperature, T<sub>J</sub>. Due to the limited production test time, the input bias currents measured are correlated to junction temperature. In normal operation the junction temperature rises above the ambient temperature as a result of internal power dissipation, P<sub>D</sub>. T<sub>J</sub> = T<sub>A</sub> + θ<sub>JA</sub> P<sub>D</sub> where θ<sub>JA</sub> is the thermal resistance from junction to ambient. Use of a heat sink is recommended if input bias current is to be kept to a minimum.

Note 5: Supply voltage rejection ratio is measured for both supply magnitudes increasing or decreasing simultaneously in accordance with common practice.

เอกสารนี้เป็นเอกสารที่สงวนไว้สำหรับการใช้งานเพื่อการศึกษาเท่านั้น ไม่อนุญาตให้นำไปใช้ประโยชน์ด้านการค้า  
ไม่ว่ากรณีใดๆ ทั้งสิ้น อีกทั้งห้ามมิให้ดัดแปลงเนื้อหา และต้องอ้างอิงถึงเจ้าของเอกสารทุกครั้งที่มีการนำไปใช้

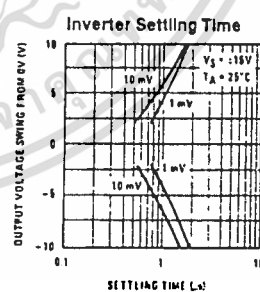
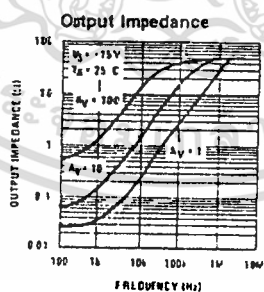
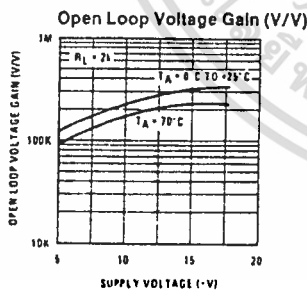
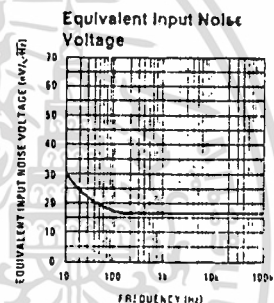
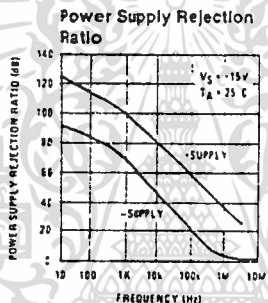
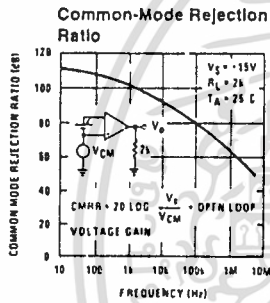
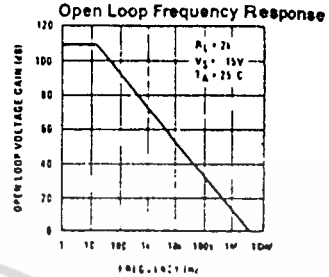
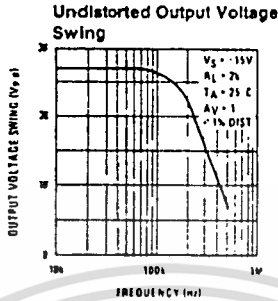
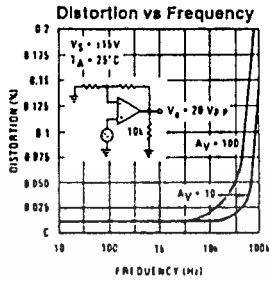
## Typical Performance Characteristics



1548-2

เอกสารนี้เป็นเอกสารที่สงวนไว้สำหรับการใช้งานเพื่อการศึกษาเท่านั้น ไม่อนุญาตให้นำไปใช้ประโยชน์ด้านการค้า  
ไม่ว่ากรณีใดๆ ทั้งสิ้น อีกทั้งห้ามมิให้ดัดแปลงเนื้อหา และต้องอ้างอิงถึงเจ้าของเอกสารทุกครั้งที่มีการนำไปใช้

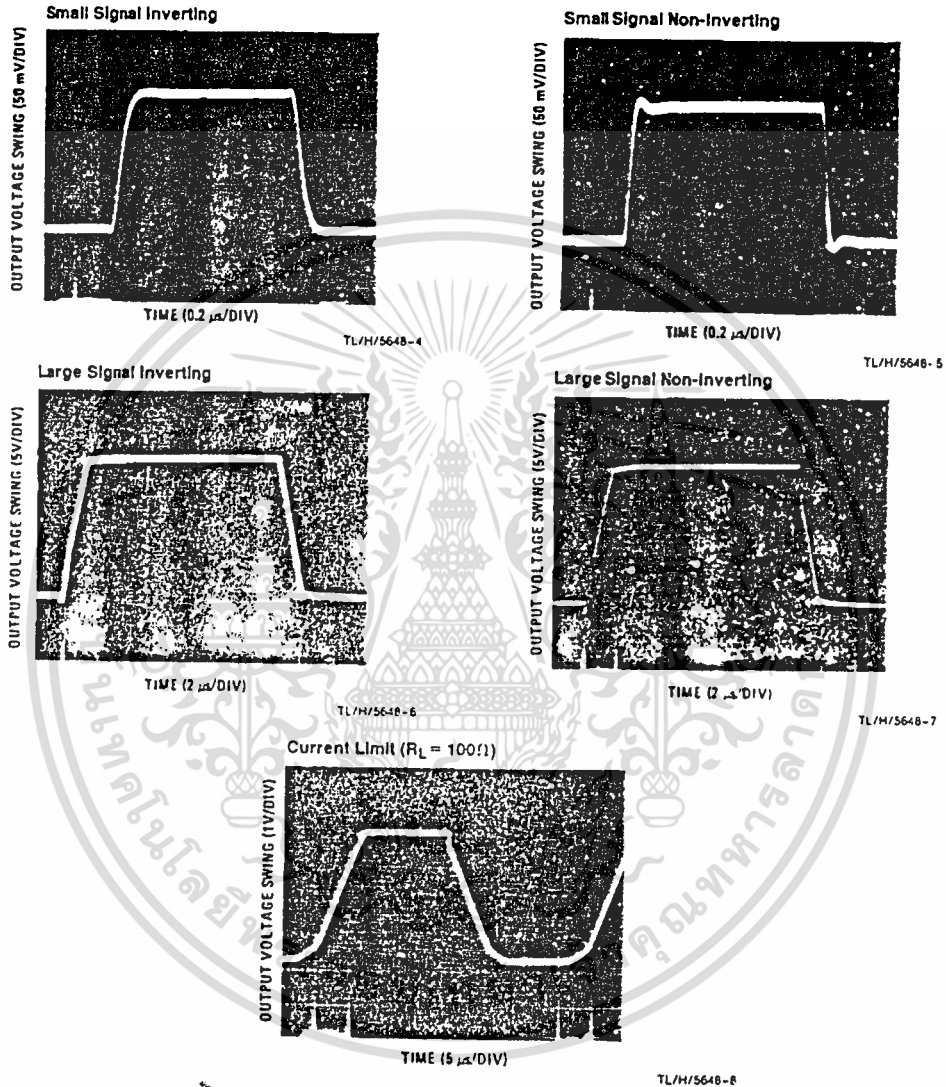
## Typical Performance Characteristics (Continued)



TL/H/5648-3

เอกสารนี้เป็นเอกสารที่สงวนไว้สำหรับการใช้งานเพื่อการศึกษาเท่านั้น ไม่อนุญาตให้นำไปใช้ประโยชน์ด้านการค้า  
 ไม่ว่าจะกรณีใดๆ ทั้งสิ้น อีกทั้งห้ามมิให้ดัดแปลงเนื้อหา และต้องอ้างอิงถึงเจ้าของเอกสารทุกครั้งที่มีการนำไปใช้

## Pulse Response



## Application Hints

The LF351 is an op amp with an internally trimmed input offset voltage and JFET input devices (BI-FET III™). These JFETs have large reverse breakdown voltages from gate to source and drain eliminating the need for clamps across the inputs. Therefore, large differential input voltages can easily be accommodated without a large increase in input current. The maximum differential input voltage is independent of the supply voltages. However, neither of the input voltages

should be allowed to exceed the negative supply as this will cause large currents to flow which can result in a destroyed unit.

Exceeding the negative common-mode limit on either input will cause a reversal of the phase to the output and force the amplifier output to the corresponding high or low state. Exceeding the negative common-mode limit on both inputs will force the amplifier output to a high state. In neither case

เอกสารนี้เป็นเอกสารที่สงวนไว้สำหรับการใช้งานเพื่อการศึกษาเท่านั้น ไม่อนุญาตให้นำไปใช้ประโยชน์ด้านการค้า  
ไม่ว่ากรณีใดๆ ทั้งสิ้น อีกทั้งห้ามมิให้ดัดแปลงเนื้อหา และต้องอ้างอิงถึงเจ้าของเอกสารทุกครั้งที่มีการนำไปใช้

## Application Hints (Continued)

does a latch occur since raising the input back within the common-mode range again puts the input stage and thus the amplifier in a normal operating mode.

Exceeding the positive common-mode limit on a single input will not change the phase of the output; however, if both inputs exceed the limit, the output of the amplifier will be forced to a high state.

The amplifier will operate with a common-mode input voltage equal to the positive supply; however, the gain bandwidth and slew rate may be decreased in this condition. When the negative common-mode voltage swings to within 3V of the negative supply, an increase in input offset voltage may occur.

The LF351 is biased by a zener reference which allows normal circuit operation on  $\pm 4V$  power supplies. Supply voltages less than these may result in lower gain bandwidth and slew rate.

The LF351 will drive a 2 k $\Omega$  load resistance to  $\pm 10V$  over the full temperature range of 0°C to +70°C. If the amplifier is forced to drive heavier load currents, however, an increase in input offset voltage may occur on the negative voltage swing and finally reach an active current limit on both positive and negative swings.

Precautions should be taken to ensure that the power supply for the integrated circuit never becomes reversed in polarity or that the unit is not inadvertently installed back-

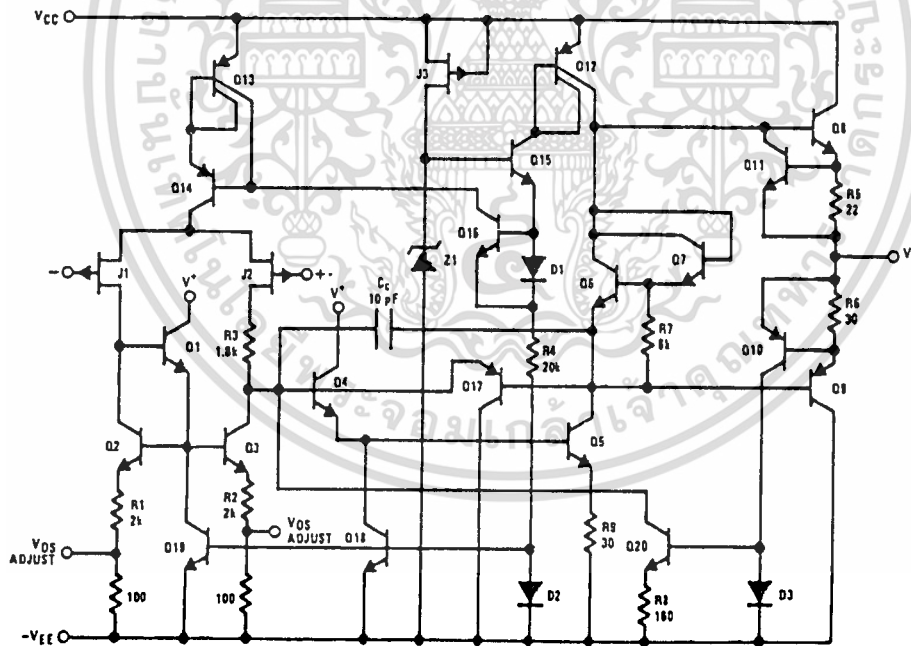
wards in a socket as an unlimited current surge through the resulting forward diode within the IC could cause fusing of the internal conductors and result in a destroyed unit.

Because these amplifiers are JFET rather than MOSFET input op amps they do not require special handling.

As with most amplifiers, care should be taken with lead dress, component placement and supply decoupling in order to ensure stability. For example, resistors from the output to an input should be placed with the body close to the input to minimize "pick-up" and maximize the frequency of the feedback pole by minimizing the capacitance from the input to ground.

A feedback pole is created when the feedback around any amplifier is resistive. The parallel resistance and capacitance from the input of the device (usually the inverting input) to AC ground set the frequency of the pole. In many instances the frequency of this pole is much greater than the expected 3 dB frequency of the closed loop gain and consequently there is negligible effect on stability margin. However, if the feedback pole is less than approximately 6 times the expected 3 dB frequency a lead capacitor should be placed from the output to the input of the op amp. The value of the added capacitor should be such that the RC time constant of this capacitor and the resistance it parallels is greater than or equal to the original feedback pole time constant.

## Detailed Schematic



เอกสารนี้เป็นเอกสารที่สงวนไว้สำหรับการใช้งานเพื่อการศึกษาเท่านั้น ไม่อนุญาตให้นำไปใช้ประโยชน์ด้านการค้า  
ไม่ว่ากรณีใดๆ ทั้งสิ้น อีกทั้งห้ามมิให้ดัดแปลงเนื้อหา และต้องอ้างอิงถึงเจ้าของเอกสารทุกครั้งที่มีการนำไปใช้



## LM13700/LM13700A Dual Operational Transconductance Amplifiers with Linearizing Diodes and Buffers

### General Description

The LM13700 series consists of two current controlled transconductance amplifiers, each with differential inputs and a push-pull output. The two amplifiers share common supplies but otherwise operate independently. Linearizing diodes are provided at the inputs to reduce distortion and allow higher input levels. The result is a 10 dB signal-to-noise improvement referenced to 0.5 percent THD. High impedance buffers are provided which are especially designed to complement the dynamic range of the amplifiers. The output buffers of the LM13700 differ from those of the LM13600 in that their input bias currents (and hence their output DC levels) are independent of  $I_{ABC}$ . This may result in performance superior to that of the LM13600 in audio applications.

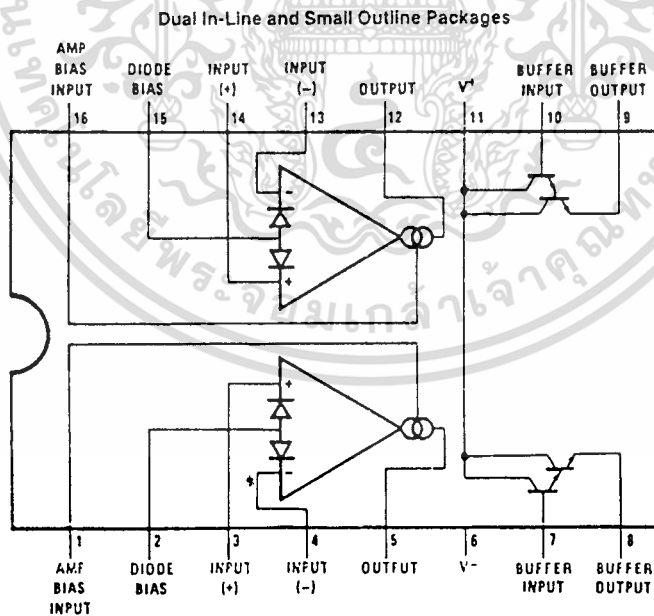
### Features

- $g_m$  adjustable over 6 decades
- Excellent  $g_m$  linearity
- Excellent matching between amplifiers
- Linearizing diodes
- High impedance buffers
- High output signal-to-noise ratio
- Wide supply range  $\pm 2V$  to  $\pm 22V$

### Applications

- Current-controlled amplifiers
- Current-controlled impedances
- Current-controlled filters
- Current-controlled oscillators
- Multiplexers
- Timers
- Sample-and-hold circuits

### Connection Diagram



Top View

Order Number LM13700M, LM13700N or LM13700AN  
See NS Package Number M16A or N16A

TL/H/7891-2

เอกสารนี้เป็นเอกสารที่สงวนไว้สำหรับการใช้งานเพื่อการศึกษาเท่านั้น ไม่อนุญาตให้นำไปใช้ประโยชน์ด้านการค้า  
ไม่ว่ากรณีใดๆ ทั้งสิ้น อีกทั้งห้ามมิให้ดัดแปลงเนื้อหา และต้องอ้างอิงถึงเจ้าของเอกสารทุกครั้งที่มีการนำไปใช้

## Absolute Maximum Ratings

If Military/Aerospace specified devices are required, please contact the National Semiconductor Sales Office/Distributors for availability and specifications.

Supply Voltage (Note 1)	
LM13700	36 V <sub>DC</sub> or ±18V
LM13700A	44 V <sub>DC</sub> or ±22V
Power Dissipation (Note 2) T <sub>A</sub> = 25°C	
LM13700N, LM13700AN	570 mW
Differential Input Voltage	±5V
Diode Bias Current (I <sub>D</sub> )	2 mA
Amplifier Bias Current (I <sub>ABC</sub> )	2 mA
Output Short Circuit Duration	Continuous
Buffer Output Current (Note 3)	20 mA

Operating Temperature Range	0°C to +70°C
LM13700N, LM13700AN	+V <sub>S</sub> to -V <sub>S</sub>
DC Input Voltage	-65°C to +150°C
Storage Temperature Range	
Soldering Information	
Dual-In-Line Package	
Soldering (10 sec.)	260°C
Small Outline Package	
Vapor Phase (60 sec.)	215°C
Infrared (15 sec.)	220°C

See AN-450 "Surface Mounting Methods and Their Effect on Product Reliability" for other methods of soldering surface mount devices.

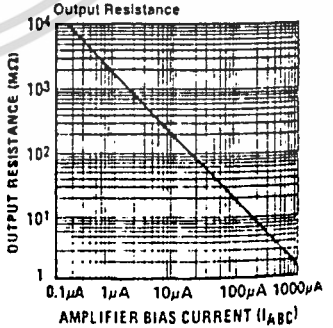
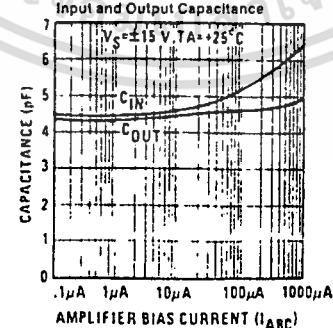
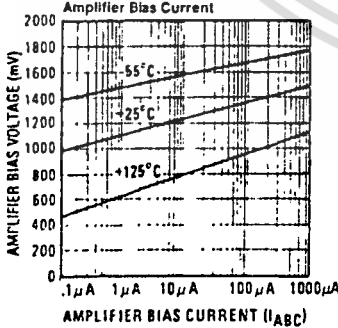
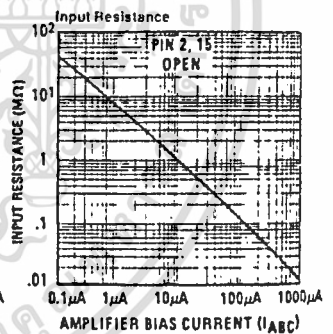
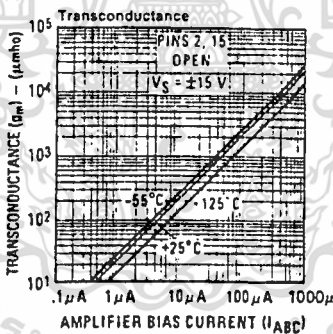
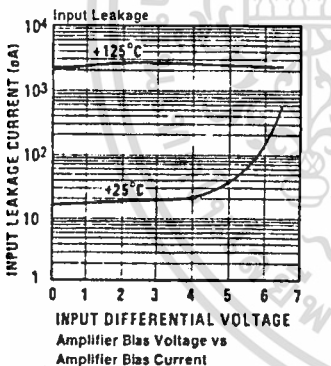
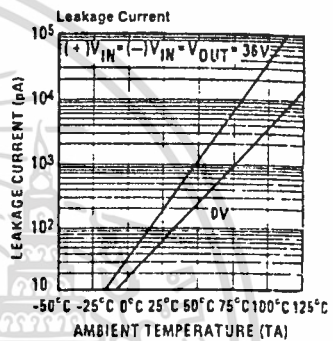
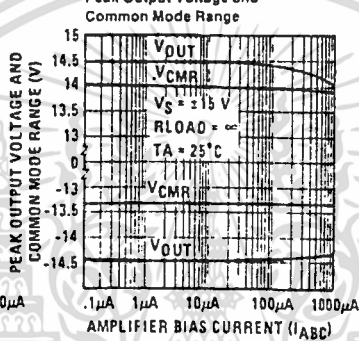
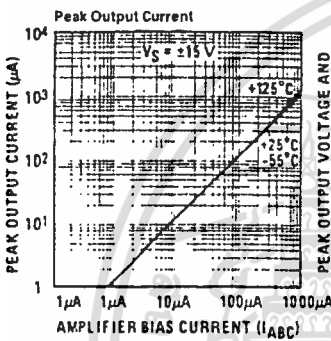
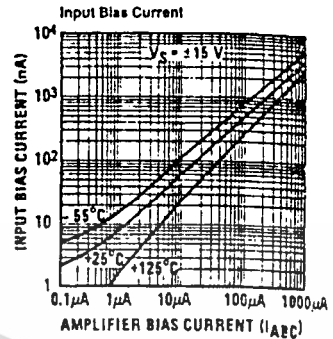
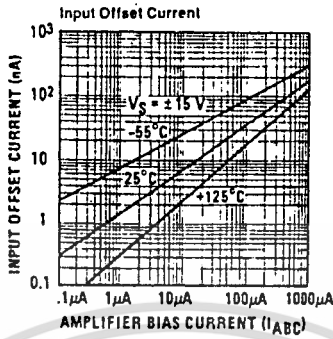
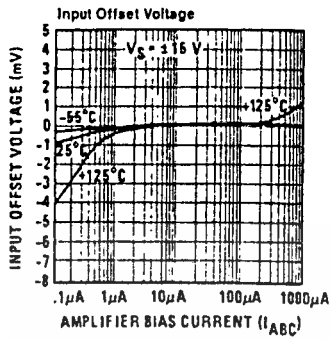
## Electrical Characteristics (Note 4)

Parameter	Conditions	LM13700			LM13700A			Units
		Min	Typ	Max	Min	Typ	Max	
Input Offset Voltage (V <sub>OS</sub> )	Over Specified Temperature Range		0.4	4		0.4	1	mV
	I <sub>ABC</sub> = 5 μA		0.3	4		0.3	1	
V <sub>OS</sub> Including Diodes	Diode Bias Current (I <sub>D</sub> ) = 500 μA		0.5	5		0.5	2	mV
Input Offset Change	5 μA ≤ I <sub>ABC</sub> ≤ 500 μA		0.1	3		0.1	1	mV
Input Offset Current			0.1	0.6		0.1	0.6	μA
Input Bias Current	Over Specified Temperature Range		0.4	5		0.4	5	μA
			1	8		1	7	
Forward Transconductance (g <sub>m</sub> )		6700	9600	13000	7700	9600	12000	μmho
	Over Specified Temperature Range	5400			4000			
g <sub>m</sub> Tracking			0.3			0.3		dB
Peak Output Current	R <sub>L</sub> = 0, I <sub>ABC</sub> = 5 μA		5		3	5	7	μA
	R <sub>L</sub> = 0, I <sub>ABC</sub> = 500 μA	350	500	650	350	500	650	
	R <sub>L</sub> = 0, Over Specified Temp Range	300			300			
Peak Output Voltage	R <sub>L</sub> = ∞, 5 μA ≤ I <sub>ABC</sub> ≤ 500 μA	+12	+14.2		+12	+14.2		V
	R <sub>L</sub> = ∞, 5 μA ≤ I <sub>ABC</sub> ≤ 500 μA	-12	-14.4		-12	-14.4		V
Supply Current	I <sub>ABC</sub> = 500 μA, Both Channels		2.6			2.6		mA
V <sub>OS</sub> Sensitivity	Positive		20	150		20	150	μV/V
	Negative		20	150		20	150	
CMRR		80	110		80	110		dB
Common Mode Range		±12	±13.5		±12	±13.5		V
Crosstalk	Referred to Input (Note 5) 20 Hz < f < 20 kHz		100			100		dB
Differential Input Current	I <sub>ABC</sub> = 0, Input = ±4V		0.02	100		0.02	10	nA
Leakage Current	I <sub>ABC</sub> = 0 (Refer to Test Circuit)		0.2	100		0.2	5	nA
Input Resistance		10	26		10	26		kΩ

เอกสารนี้เป็นเอกสารที่สงวนไว้สำหรับการใช้งานเพื่อการศึกษาเท่านั้น ไม่อนุญาตให้นำไปใช้ประโยชน์ด้านการค้า  
ไม่ว่ากรณีใดๆ ทั้งสิ้น อีกทั้งห้ามมิให้ดัดแปลงเนื้อหา และต้องอ้างอิงถึงเจ้าของเอกสารทุกครั้งที่มีการนำไปใช้



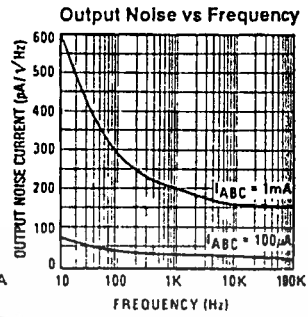
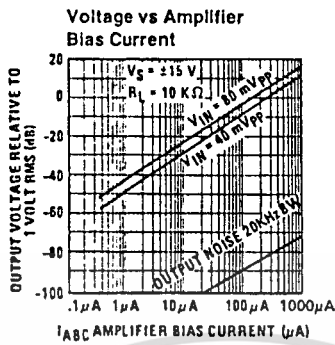
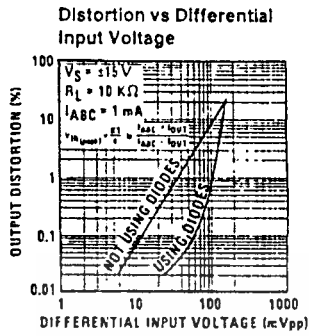
## Typical Performance Characteristics



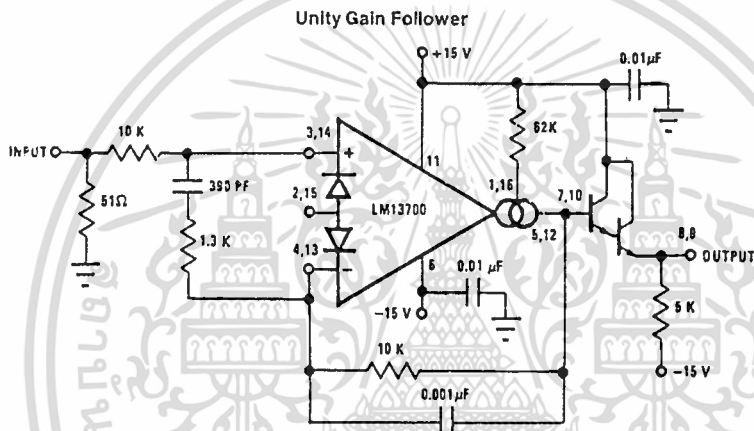
TLHM7P41-3

เอกสารนี้เป็นเอกสารที่สงวนไว้สำหรับการใช้งานเพื่อการศึกษาเท่านั้น ไม่อนุญาตให้นำไปใช้ประโยชน์ด้านการค้า  
 ไม่ว่าจะกรณีใดๆ ทั้งสิ้น อีกทั้งห้ามมิให้ดัดแปลงเนื้อหา และต้องอ้างอิงถึงเจ้าของเอกสารทุกครั้งที่มีการนำไปใช้

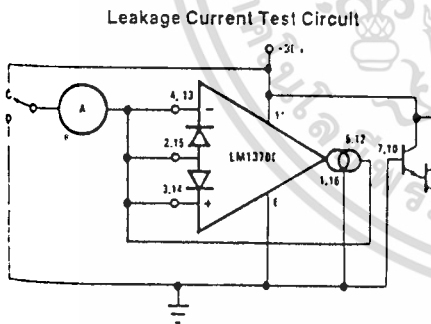
### Typical Performance Characteristics (Continued)



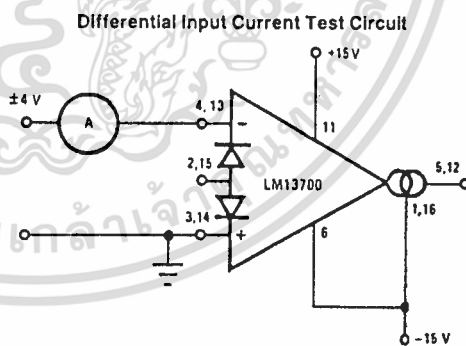
TL/H/7981-4



TL/H/7981-5



TL/H/7981-6



TL/H/7981-7

เอกสารนี้เป็นเอกสารที่สงวนไว้สำหรับการใช้งานเพื่อการศึกษาเท่านั้น ไม่อนุญาตให้นำไปใช้ประโยชน์ด้านการค้า  
ไม่ว่ากรณีใดๆ ทั้งสิ้น อีกทั้งห้ามมิให้ดัดแปลงเนื้อหา และต้องอ้างอิงถึงเจ้าของเอกสารทุกครั้งที่มีการนำไปใช้

### Circuit Description

The differential transistor pair  $Q_4$  and  $Q_5$  form a transconductance stage in that the ratio of their collector currents is defined by the differential input voltage according to the transfer function:

$$V_{IN} = \frac{kT}{q} \ln \frac{I_5}{I_4} \quad (1)$$

where  $V_{IN}$  is the differential input voltage,  $kT/q$  is approximately 26 mV at 25°C and  $I_5$  and  $I_4$  are the collector currents of transistors  $Q_5$  and  $Q_4$  respectively. With the exception of  $Q_3$  and  $Q_{13}$ , all transistors and diodes are identical in size. Transistors  $Q_1$  and  $Q_2$  with Diode  $D_1$  form a current mirror which forces the sum of currents  $I_4$  and  $I_5$  to equal  $I_{ABC}$ :

$$I_4 + I_5 = I_{ABC} \quad (2)$$

where  $I_{ABC}$  is the amplifier bias current applied to the gain pin.

For small differential input voltages the ratio of  $I_4$  and  $I_5$  approaches unity and the Taylor series of the ln function can be approximated as:

$$\frac{kT}{q} \ln \frac{I_5}{I_4} \approx \frac{kT}{q} \frac{I_5 - I_4}{I_4} \quad (3)$$

$$I_4 \approx I_5 \approx \frac{I_{ABC}}{2} \quad (4)$$

$$V_{IN} \left[ \frac{I_{ABC} q}{2kT} \right] = I_5 - I_4 \quad (5)$$

Collector currents  $I_4$  and  $I_5$  are not very useful by themselves and it is necessary to subtract one current from the other. The remaining transistors and diodes form three current mirrors that produce an output current equal to  $I_5$  minus  $I_4$  thus:

$$V_{IN} \left[ \frac{I_{ABC} q}{2kT} \right] = I_{OUT} \quad (5)$$

The term in brackets is then the transconductance of the amplifier and is proportional to  $I_{ABC}$ .

### Linearizing Diodes

For differential voltages greater than a few millivolts, Equation 3 becomes less valid and the transconductance becomes increasingly nonlinear. Figure 1 demonstrates how the internal diodes can linearize the transfer function of the amplifier. For convenience assume the diodes are biased with current sources and the input signal is in the form of current  $I_S$ . Since the sum of  $I_4$  and  $I_5$  is  $I_{ABC}$  and the difference is  $I_{OUT}$ , currents  $I_4$  and  $I_5$  can be written as follows:

$$I_4 = \frac{I_{ABC}}{2} - \frac{I_{OUT}}{2}, \quad I_5 = \frac{I_{ABC}}{2} + \frac{I_{OUT}}{2}$$

Since the diodes and the input transistors have identical geometries and are subject to similar voltages and temperatures, the following is true:

$$\frac{kT}{q} \ln \frac{\frac{I_D}{2} + I_S}{\frac{I_D}{2} - I_S} = \frac{kT}{q} \ln \frac{\frac{I_{ABC}}{2} + \frac{I_{OUT}}{2}}{\frac{I_{ABC}}{2} - \frac{I_{OUT}}{2}}$$

$$\therefore I_{OUT} = I_S \left( \frac{2I_{ABC}}{I_D} \right) \text{ for } |I_S| < \frac{I_D}{2} \quad (6)$$

Notice that in deriving Equation 6 no approximations have been made and there are no temperature-dependent terms. The limitations are that the signal current not exceed  $I_D/2$  and that the diodes be biased with currents. In practice, replacing the current sources with resistors will generate insignificant errors.

### Applications: Voltage Controlled Amplifiers

Figure 2 shows how the linearizing diodes can be used in a voltage-controlled amplifier. To understand the input biasing, it is best to consider the 13 kΩ resistor as a current source and use a Thevenin equivalent circuit as shown in Figure 3. This circuit is similar to Figure 1 and operates the same. The potentiometer in Figure 2 is adjusted to minimize the effects of the control signal at the output.

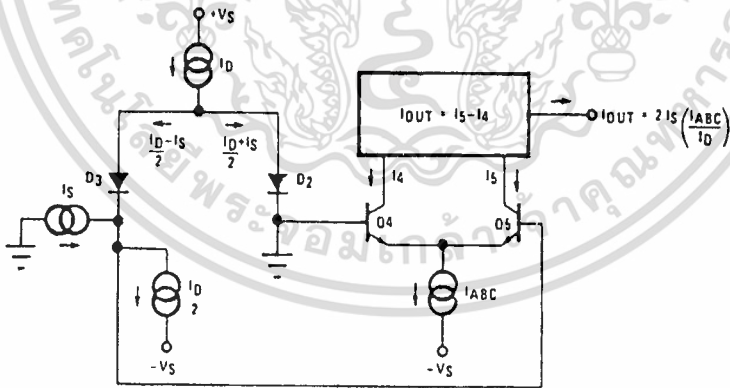


FIGURE 1. Linearizing Diodes

TL/H/7981-B

### Applications: Voltage Controlled Amplifiers (Continued)

For optimum signal-to-noise performance,  $I_{ABC}$  should be as large as possible as shown by the Output Voltage vs. Amplifier Bias Current graph. Larger amplitudes of input signal also improve the S/N ratio. The linearizing diodes help here by allowing larger input signals for the same output distortion as shown by the Distortion vs. Differential Input Voltage graph. S/N may be optimized by adjusting the magnitude of the input signal via  $R_{IN}$  (Figure 2) until the output

distortion is below some desired level. The output voltage swing can then be set at any level by selecting  $R_L$ . Although the noise contribution of the linearizing diodes is negligible relative to the contribution of the amplifier's internal transistors,  $I_D$  should be as large as possible. This minimizes the dynamic junction resistance of the diodes ( $r_d$ ) and maximizes their linearizing action when balanced against  $R_{IN}$ . A value of 1 mA is recommended for  $I_D$  unless the specific application demands otherwise.

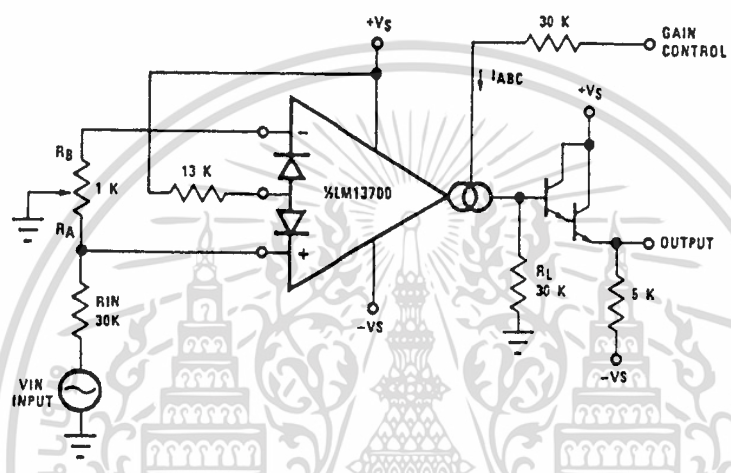


FIGURE 2. Voltage Controlled Amplifier

TL/H/7981-9

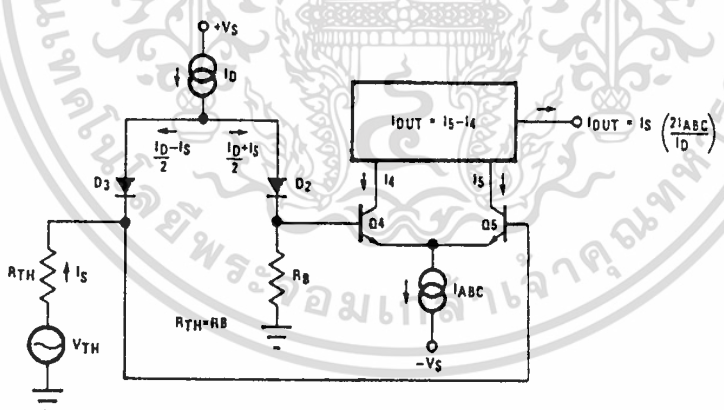


FIGURE 3. Equivalent VCA Input Circuit

TL/H/7981-10

เอกสารนี้เป็นเอกสารที่สงวนไว้สำหรับการใช้งานเพื่อการศึกษาเท่านั้น ไม่อนุญาตให้นำไปใช้ประโยชน์ด้านการค้า ไม่ว่าจะกรณีใดๆ ทั้งสิ้น อีกทั้งห้ามมิให้ดัดแปลงเนื้อหา และต้องอ้างอิงถึงเจ้าของเอกสารทุกครั้งที่มีการนำไปใช้

### Stereo Volume Control

The circuit of Figure 4 uses the excellent matching of the two LM13700 amplifiers to provide a Stereo Volume Control with a typical channel-to-channel gain tracking of 0.3 dB.  $R_p$  is provided to minimize the output offset voltage and may be replaced with two 510Ω resistors in AC-coupled applications. For the component values given, amplifier gain is derived for Figure 2 as being:

$$\frac{V_O}{V_{IN}} = 940 \times I_{ABC}$$

If  $V_C$  is derived from a second signal source then the circuit becomes an amplitude modulator or two-quadrant multiplier as shown in Figure 5, where:

$$I_O = \frac{-2I_S}{I_D} (I_{ABC}) = \frac{-2I_S}{I_D} \frac{V_{IN2}}{R_C} - \frac{2I_S}{I_D} \frac{(V^- + 1.4V)}{R_C}$$

The constant term in the above equation may be cancelled by feeding  $I_S \times I_D R_C / 2(V^- + 1.4V)$  into  $I_O$ . The circuit of Figure 6 adds  $R_M$  to provide this current, resulting in a four-quadrant multiplier where  $R_C$  is trimmed such that  $V_O = 0V$  for  $V_{IN2} = 0V$ .  $R_M$  also serves as the load resistor for  $I_O$ .

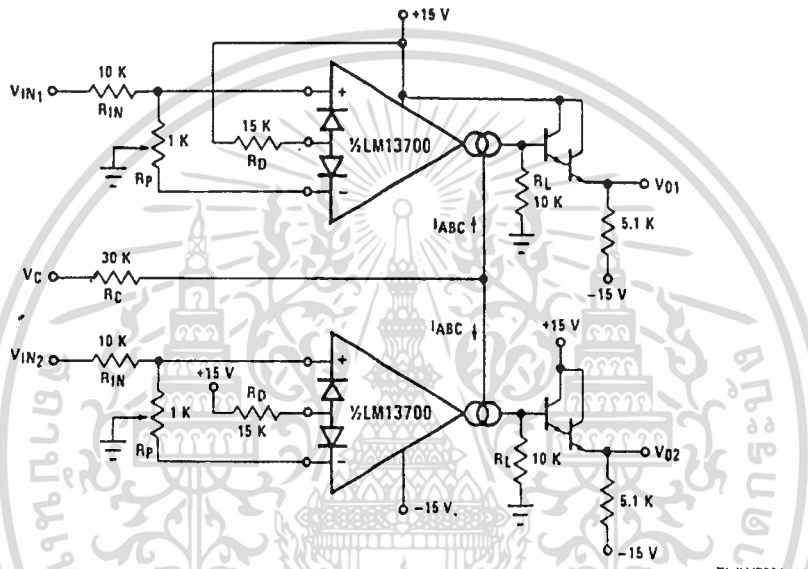


FIGURE 4. Stereo Volume Control

TL/M/7881-11

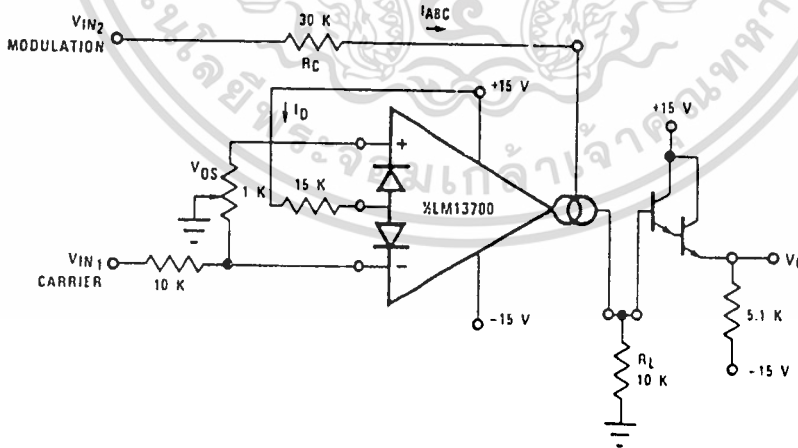
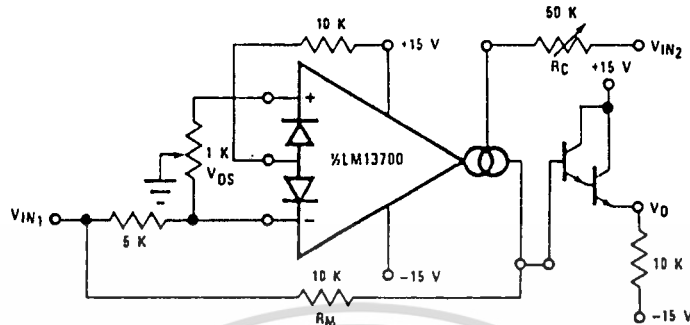


FIGURE 5. Amplitude Modulator

TL/M/7881-11

เอกสารนี้เป็นเอกสารที่สงวนไว้สำหรับการใช้งานเพื่อการศึกษาเท่านั้น ไม่อนุญาตให้นำไปใช้ประโยชน์ด้านการค้า ไม่ว่าจะกรณีใดๆ ทั้งสิ้น อีกทั้งห้ามมิให้ดัดแปลงเนื้อหา และต้องอ้างอิงถึงเจ้าของเอกสารทุกครั้งที่มีการนำไปใช้

Stereo Volume Control (Continued)



TL/H/7981-13

FIGURE 6. Four-Quadrant Multiplier

Noting that the gain of the LM13700 amplifier of Figure 3 may be controlled by varying the linearizing diode current  $I_D$  as well as by varying  $I_{ABC}$ , Figure 7 shows an AGC Amplifier using this approach. As  $V_O$  reaches a high enough amplitude (3V<sub>BE</sub>) to turn on the Darlington transistors and the linearizing diodes, the increase in  $I_D$  reduces the amplifier gain so as to hold  $V_O$  at that level.

Voltage Controlled Resistors

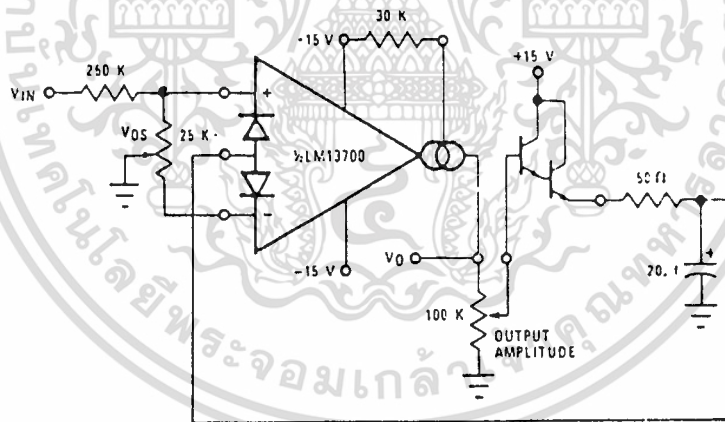
An Operational Transconductance Amplifier (OTA) may be used to implement a Voltage Controlled Resistor as shown in Figure 8. A signal voltage applied at  $R_X$  generates a  $V_{IN}$

to the LM13700 which is then multiplied by the  $g_m$  of the amplifier to produce an output current, thus:

$$R_X = \frac{R + R_A}{g_m R_A}$$

where  $g_m \approx 19.2I_{ABC}$  at 25°C. Note that the attenuation of  $V_O$  by  $R$  and  $R_A$  is necessary to maintain  $V_{IN}$  within the linear range of the LM13700 input.

Figure 9 shows a similar VCR where the linearizing diodes are added, essentially improving the noise performance of the resistor. A floating VCR is shown in Figure 10, where each "end" of the "resistor" may be at any voltage within the output voltage range of the LM13700.

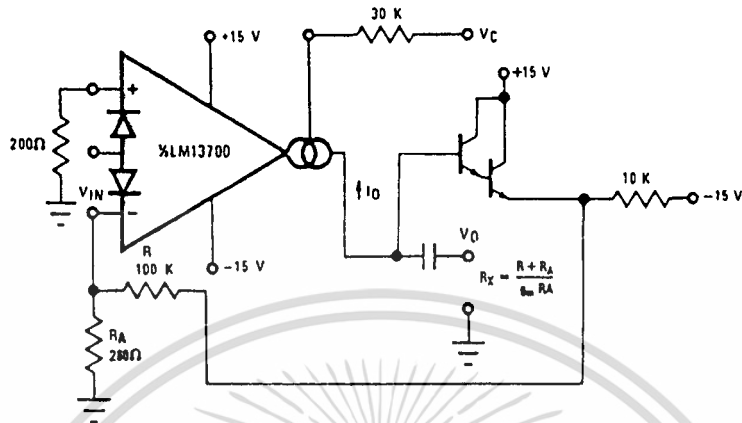


TL/H/7981-14

FIGURE 7. AGC Amplifier

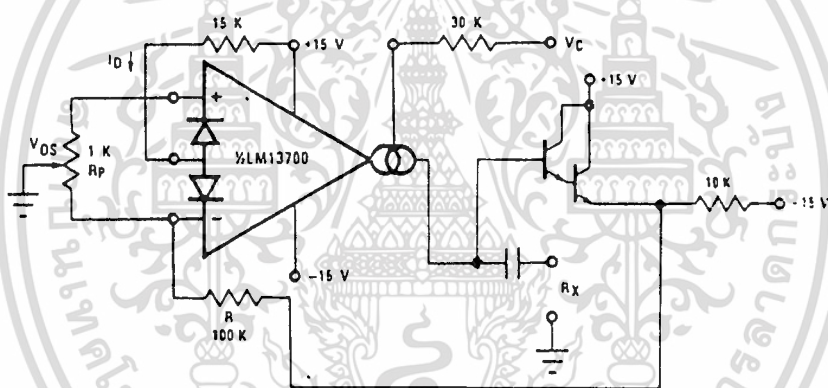
เอกสารนี้เป็นเอกสารที่สงวนไว้สำหรับการใช้งานเพื่อการศึกษาเท่านั้น ไม่อนุญาตให้นำไปใช้ประโยชน์ด้านการค้า ไม่ว่าจะกรณีใดๆ ทั้งสิ้น อีกทั้งห้ามมิให้ดัดแปลงเนื้อหา และต้องอ้างอิงถึงเจ้าของเอกสารทุกครั้งที่มีการนำไปใช้

## Voltage Controlled Resistors (Continued)



TL/H/7061-15

FIGURE 8. Voltage Controlled Resistor, Single-Ended



TL/H/7061-1E

FIGURE 9. Voltage Controlled Resistor with Linearizing Diodes

เอกสารนี้เป็นเอกสารที่สงวนไว้สำหรับการใช้งานเพื่อการศึกษาเท่านั้น ไม่อนุญาตให้นำไปใช้ประโยชน์ด้านการค้า  
ไม่ว่ากรณีใดๆ ทั้งสิ้น อีกทั้งห้ามมิให้ดัดแปลงเนื้อหา และต้องอ้างอิงถึงเจ้าของเอกสารทุกครั้งที่มีการนำไปใช้

## Voltage Controlled Filters

OTA's are extremely useful for implementing voltage controlled filters, with the LM13700 having the advantage that the required buffers are included on the I.C. The VC Lo-Pass Filter of Figure 11 performs as a unity-gain buffer amplifier at frequencies below cut-off, with the cut-off frequency being the point at which  $X_C/g_m$  equals the closed-loop gain of  $(R/R_A)$ . At frequencies above cut-off the circuit provides a single RC roll-off (6 dB per octave) of the input signal amplitude with a  $-3$  dB point defined by the given equation, where  $g_m$  is again  $19.2 \times I_{ABC}$  at room temperature. Figure

12 shows a VC High-Pass Filter which operates in much the same manner, providing a single RC roll-off below the defined cut-off frequency.

Additional amplifiers may be used to implement higher order filters as demonstrated by the two-pole Butterworth Lo-Pass Filter of Figure 13 and the state variable filter of Figure 14. Due to the excellent  $g_m$  tracking of the two amplifiers, these filters perform well over several decades of frequency.

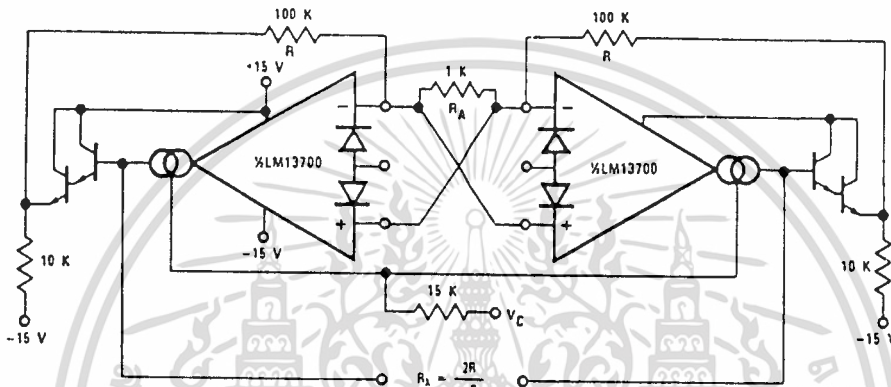


FIGURE 10. Floating Voltage Controlled Resistor

TL/H/7981-17

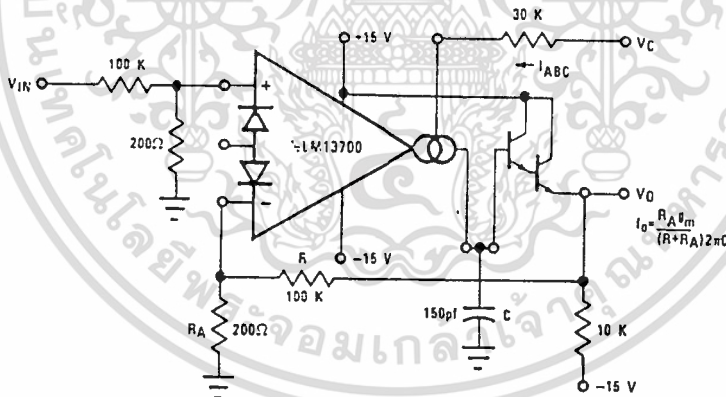


FIGURE 11. Voltage Controlled Low-Pass Filter

TL/H/7981-18

เอกสารนี้เป็นเอกสารที่สงวนไว้สำหรับการใช้งานเพื่อการศึกษาเท่านั้น ไม่อนุญาตให้นำไปใช้ประโยชน์ด้านการค้า  
ไม่ว่ากรณีใดๆ ทั้งสิ้น อีกทั้งห้ามมิให้ดัดแปลงเนื้อหา และต้องอ้างอิงถึงเจ้าของเอกสารทุกครั้งที่มีการนำไปใช้

### Voltage Controlled Filters (Continued)

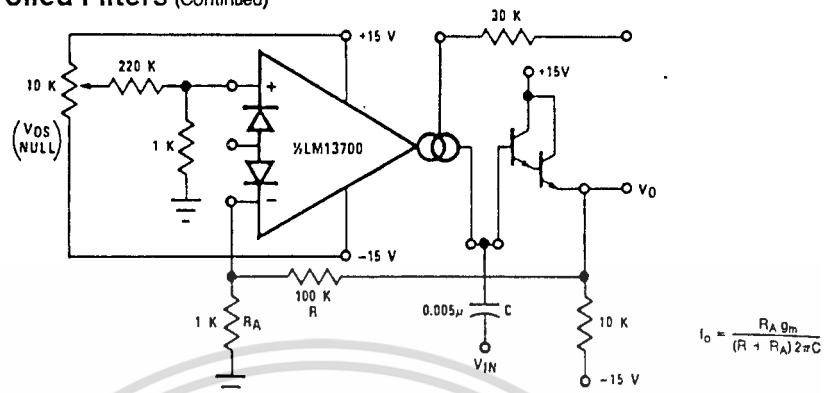


FIGURE 12. Voltage Controlled Hi-Pass Filter

TL/H/7981-19

$$f_o = \frac{R_A \theta_m}{(R + R_A) 2\pi C}$$

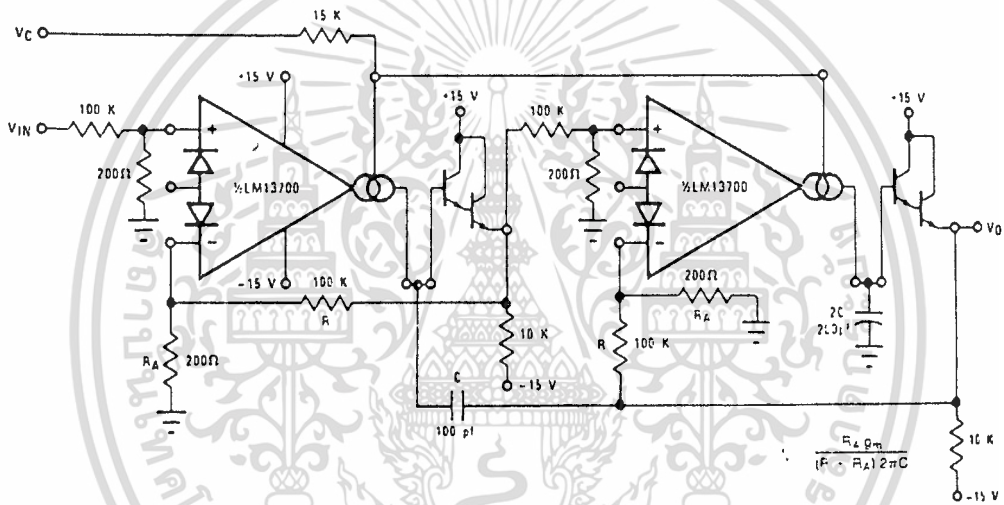


FIGURE 13. Voltage Controlled 2-Pole Butterworth Lo-Pass Filter

TL/H/7981-20

$$f_o = \frac{R_A \theta_m}{(R + R_A) 2\pi C}$$

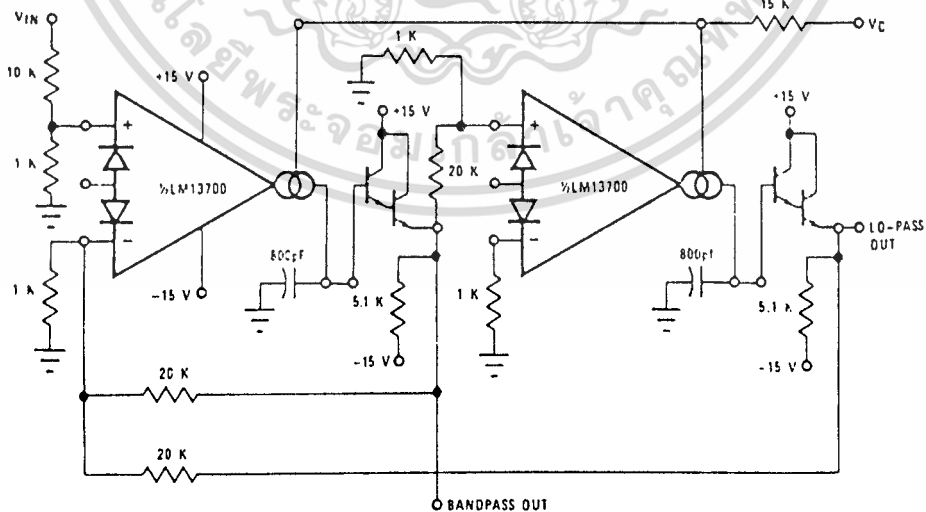


FIGURE 14. Voltage Controlled State Variable Filter

TL/H/7981-21

เอกสารนี้เป็นเอกสารที่สงวนไว้สำหรับการใช้งานเพื่อการศึกษาเท่านั้น ไม่อนุญาตให้นำไปใช้ประโยชน์ด้านการค้า  
ไม่ว่ากรณีใดๆ ทั้งสิ้น อีกทั้งห้ามมิให้ดัดแปลงเนื้อหา และต้องอ้างอิงถึงเจ้าของเอกสารทุกครั้งที่มีการนำไปใช้

### Voltage Controlled Oscillators

The classic Triangular/Square Wave VCO of Figure 15 is one of a variety of Voltage Controlled Oscillators which may be built utilizing the LM13700. With the component values shown, this oscillator provides signals from 200 kHz to below 2 Hz as  $I_C$  is varied from 1 mA to 10 nA. The output amplitudes are set by  $I_A \times R_A$ . Note that the peak differential input voltage must be less than 5V to prevent zenering the inputs.

A few modifications to this circuit produce the ramp/pulse VCO of Figure 16. When  $V_{O2}$  is high,  $I_F$  is added to  $I_C$  to

increase amplifier A1's bias current and thus to increase the charging rate of capacitor C. When  $V_{O2}$  is low,  $I_F$  goes to zero and the capacitor discharge current is set by  $I_C$ .

The VC Lo-Pass Filter of Figure 11 may be used to produce a high-quality sinusoidal VCO. The circuit of Figure 16 employs two LM13700 packages, with three of the amplifiers configured as lo-pass filters and the fourth as a limiter/inverter. The circuit oscillates at the frequency at which the loop phase-shift is  $360^\circ$  or  $180^\circ$  for the inverter and  $60^\circ$  per filter stage. This VCO operates from 5 Hz to 50 kHz with less than 1% THD.

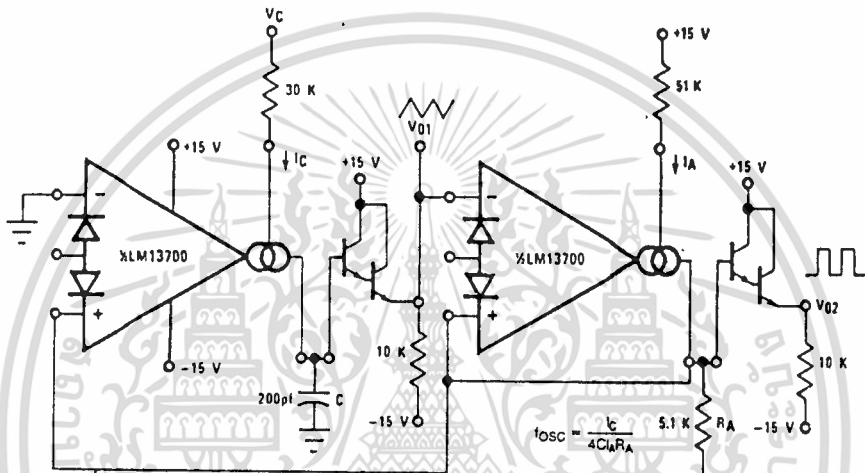


FIGURE 15. Triangular/Square-Wave VCO

TL/H/7981-22

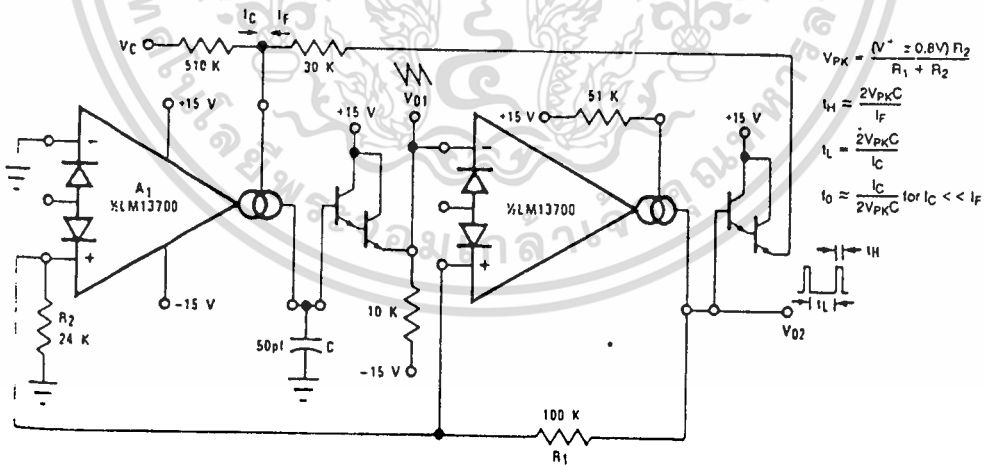


FIGURE 16. Ramp/Pulse VCO

TL/H/7981-23

เอกสารนี้เป็นเอกสารที่สงวนไว้สำหรับการใช้งานเพื่อการศึกษาเท่านั้น ไม่อนุญาตให้นำไปใช้ประโยชน์ด้านการค้า ไม่ว่าจะกรณีใดๆ ทั้งสิ้น อีกทั้งห้ามมิให้ดัดแปลงเนื้อหา และต้องอ้างอิงถึงเจ้าของเอกสารทุกครั้งที่มีการนำไปใช้

Voltage Controlled Oscillators (Continued)

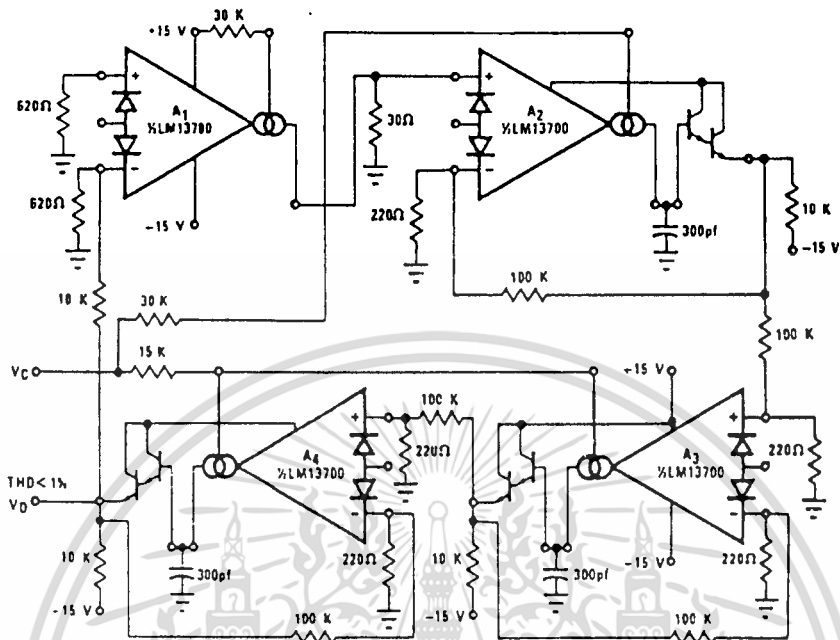


FIGURE 17. Sinusoidal VCO

TL/H/7981-24

Additional Applications

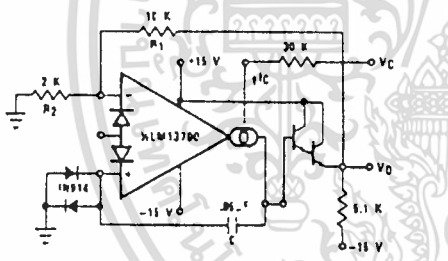


FIGURE 18. Single Amplifier VCO

Figure 18 shows how to build a VCO using one amplifier when the other amplifier is needed for another function.

Figure 19 presents an interesting one-shot which draws no power supply current until it is triggered. A positive-going trigger pulse of at least 2V amplitude turns on the amplifier through  $R_B$  and pulls the non-inverting input high. The amplifier regenerates and latches its output high until capacitor C charges to the voltage level on the non-inverting input. The output then switches low, turning off the amplifier and discharging the capacitor. The capacitor discharge rate is speeded up by shorting the diode bias pin to the inverting input so that an additional discharge current flows through  $D_1$  when the amplifier output switches low. A special feature of this timer is that the other amplifier, when biased from  $V_0$ , can perform another function and draw zero stand-by power as well.

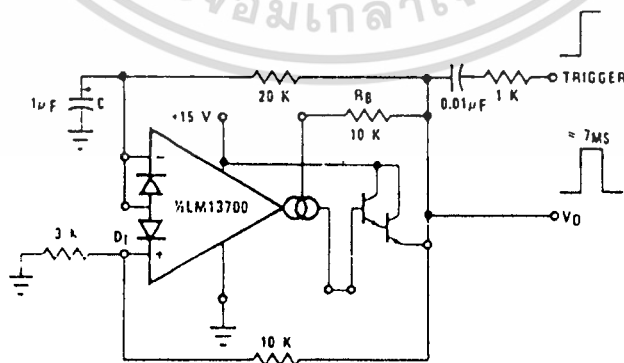


FIGURE 19. Zero Stand-By Power Timer

TL/H/7981-28

เอกสารนี้เป็นเอกสารที่สงวนไว้สำหรับการใช้งานเพื่อการศึกษาเท่านั้น ไม่อนุญาตให้นำไปใช้ประโยชน์ด้านการค้า ไม่ว่าจะกรณีใดๆ ทั้งสิ้น อีกทั้งห้ามมิให้ดัดแปลงเนื้อหา และต้องอ้างอิงถึงเจ้าของเอกสารทุกครั้งที่มีการนำไปใช้

### Additional Applications (Continued)

The operation of the multiplexer of Figure 20 is very straightforward. When A1 is turned on it holds  $V_O$  equal to  $V_{IN1}$  and when A2 is supplied with bias current then it controls  $V_O$ .  $C_C$  and  $R_C$  serve to stabilize the unity-gain configuration of amplifiers A1 and A2. The maximum clock rate is limited to about 200 kHz by the LM13700 slew rate into 150 pF when the  $(V_{IN1}-V_{IN2})$  differential is at its maximum allowable value of 5V.

The Phase-Locked Loop of Figure 21 uses the four-quadrant multiplier of Figure 6 and the VCO of Figure 18 to produce a PLL with a  $\pm 5\%$  hold-in range and an input sensitivity of about 300 mV.

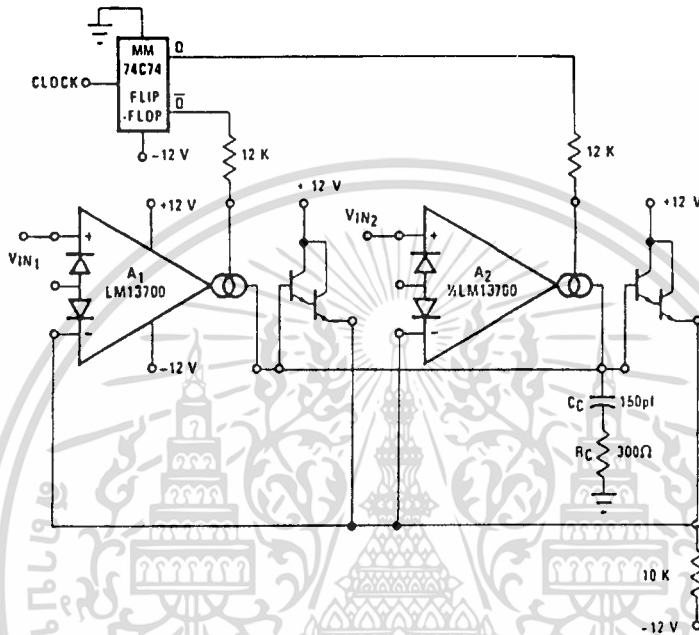


FIGURE 20. Multiplexer

T.L./H/7051-2\*

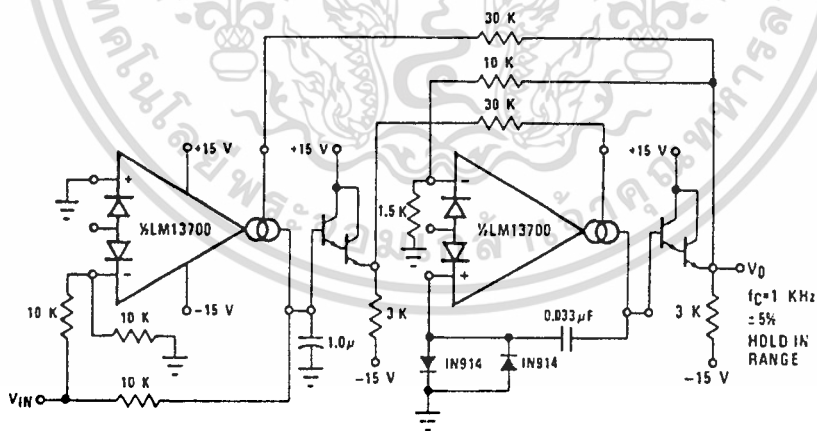


FIGURE 21. Phase Lock Loop

T.L. - 7051-2\*

เอกสารนี้เป็นเอกสารที่สงวนไว้สำหรับการใช้งานเพื่อการศึกษาเท่านั้น ไม่อนุญาตให้นำไปใช้ประโยชน์ด้านการค้า  
ไม่ว่ากรณีใดๆ ทั้งสิ้น อีกทั้งห้ามมิให้ดัดแปลงเนื้อหา และต้องอ้างอิงถึงเจ้าของเอกสารทุกครั้งที่มีการนำไปใช้

### Additional Applications (Continued)

The Schmitt Trigger of *Figure 22* uses the amplifier output current into  $R$  to set the hysteresis of the comparator; thus  $V_H = 2 \times R \times I_B$ . Varying  $I_B$  will produce a Schmitt Trigger with variable hysteresis.

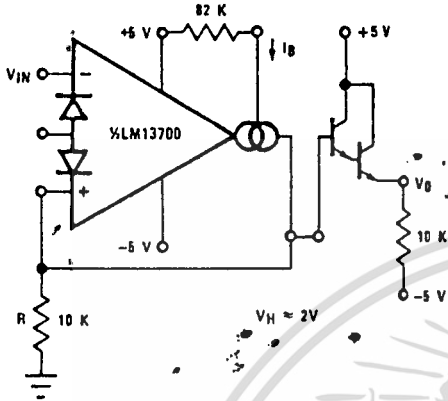


FIGURE 22. Schmitt Trigger TL/H/7981-29

*Figure 23* shows a Tachometer or Frequency-to-Voltage converter. Whenever A1 is toggled by a positive-going input, an amount of charge equal to  $(V_H - V_L) C_1$  is sourced into  $C_1$  and  $R_1$ . This once per cycle charge is then balanced by the current of  $V_O/R_1$ . The maximum  $F_{IN}$  is limited by the amount of time required to charge  $C_1$  from  $V_L$  to  $V_H$  with a current of  $I_B$ , where  $V_L$  and  $V_H$  represent the maximum low and maximum high output voltage swing of the LM13700. D1 is added to provide a discharge path for  $C_1$  when A1 switches low. The Peak Detector of *Figure 24* uses A2 to turn on A1 whenever  $V_{IN}$  becomes more positive than  $V_O$ . A1 then charges storage capacitor  $C$  to hold  $V_O$  equal to  $V_{IN PK}$ . Pulling the output of A2 low through D1 serves to turn off A1 so that  $V_O$  remains constant.

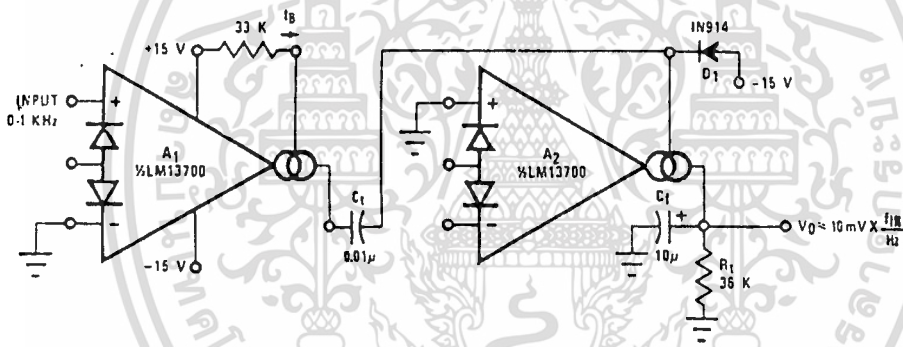


FIGURE 23. Tachometer TL/H/7981-30

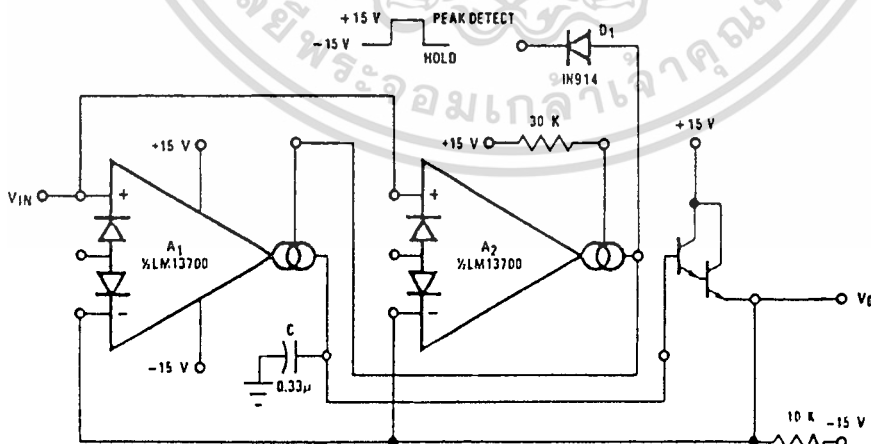


FIGURE 24. Peak Detector and Hold Circuit TL/H/7981-31

เอกสารนี้เป็นเอกสารที่สงวนไว้สำหรับการใช้งานเพื่อการศึกษาเท่านั้น ไม่อนุญาตให้นำไปใช้ประโยชน์ด้านการค้า ไม่ว่าจะกรณีใดๆ ทั้งสิ้น อีกทั้งห้ามมิให้ดัดแปลงเนื้อหา และต้องอ้างอิงถึงเจ้าของเอกสารทุกครั้งที่มีการนำไปใช้

### Additional Applications (Continued)

The Ramp-and-Hold of Figure 26 sources  $I_B$  into capacitor C whenever the input to A1 is brought high, giving a ramp-rate of about 1V/ms for the component values shown.

The true-RMS converter of Figure 27 is essentially an automatic gain control amplifier which adjusts its gain such that the AC power at the output of amplifier A1 is constant. The output power of amplifier A1 is monitored by squaring amplifier A2 and the average compared to a reference voltage with amplifier A3. The output of A3 provides bias current to the diodes of A1 to attenuate the input signal. Because the output power of A1 is held constant, the RMS value is constant and the attenuation is directly proportional to the RMS value of the input voltage. The attenuation is also proportional to the diode bias current. Amplifier A4 adjusts the ratio of currents through the diodes to be equal and therefore the voltage at the output of A4 is proportional to the RMS value of the input voltage. The calibration potentiometer is set such that  $V_0$  reads directly in RMS volts.

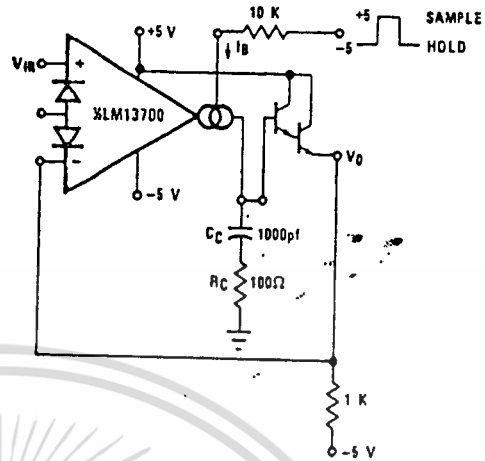


FIGURE 25. Sample-Hold Circuit

TL/H/7981-32

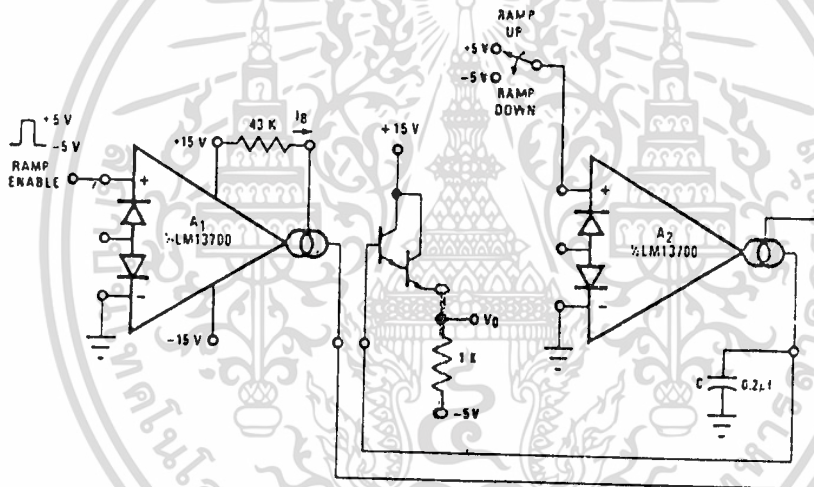


FIGURE 26. Ramp and Hold

TL/H/7981-33

เอกสารนี้เป็นเอกสารที่สงวนไว้สำหรับการใช้งานเพื่อการศึกษาเท่านั้น ไม่อนุญาตให้นำไปใช้ประโยชน์ด้านการค้า  
ไม่ว่ากรณีใดๆ ทั้งสิ้น อีกทั้งห้ามมิให้ดัดแปลงเนื้อหา และต้องอ้างอิงถึงเจ้าของเอกสารทุกครั้งที่มีการนำไปใช้



Additional Applications (Continued)

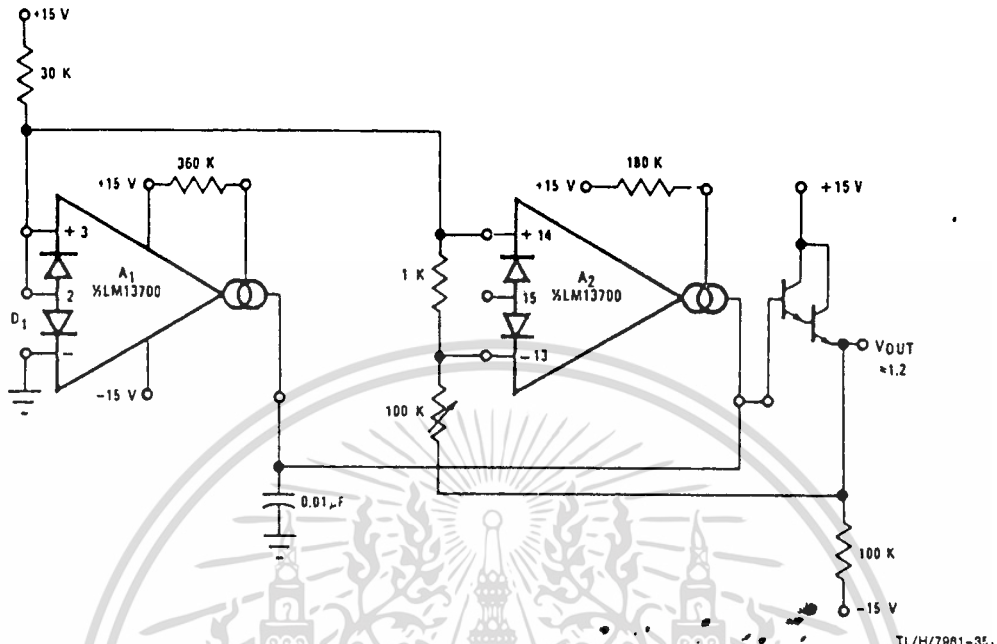


FIGURE 28. Delta VBE Reference

TL/H/7981-35

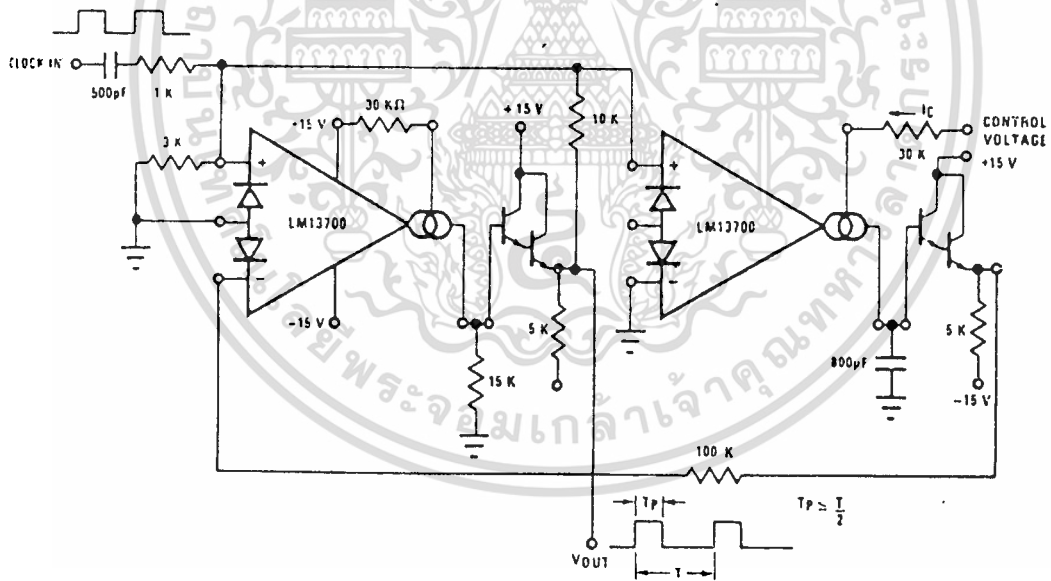


FIGURE 29. Pulse Width Modulator

TL/H/7981-36

เอกสารนี้เป็นเอกสารที่สงวนไว้สำหรับการใช้งานเพื่อการศึกษาเท่านั้น ไม่อนุญาตให้นำไปใช้ประโยชน์ด้านการค้า  
ไม่ว่ากรณีใดๆ ทั้งสิ้น อีกทั้งห้ามมิให้ดัดแปลงเนื้อหา และต้องอ้างอิงถึงเจ้าของเอกสารทุกครั้งที่มีการนำไปใช้

Additional Applications (Continued)

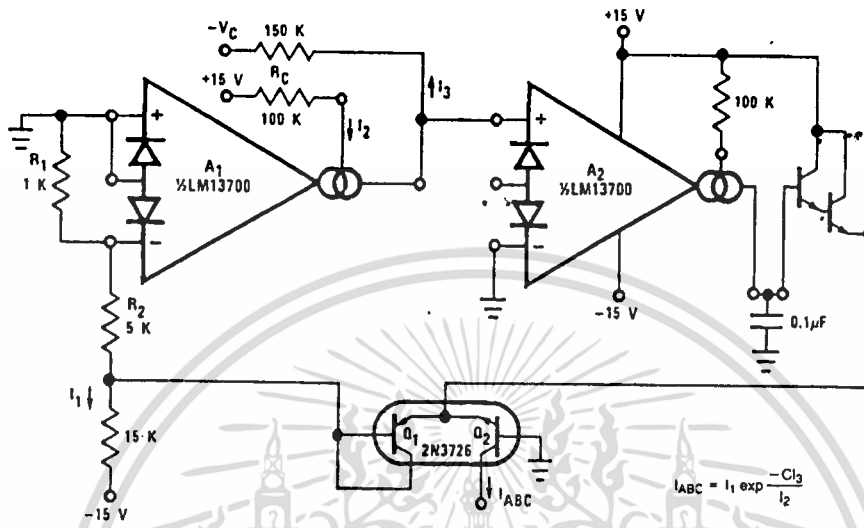


FIGURE 30. Logarithmic Current Source

TL/H:7681-37

เอกสารนี้เป็นเอกสารที่สงวนไว้สำหรับการใช้งานเพื่อการศึกษาเท่านั้น ไม่อนุญาตให้นำไปใช้ประโยชน์ด้านการค้า  
ไม่ว่ากรณีใดๆ ทั้งสิ้น อีกทั้งห้ามมิให้ดัดแปลงเนื้อหา และต้องอ้างอิงถึงเจ้าของเอกสารทุกครั้งที่มีการนำไปใช้

# MC7800 Series

**MC7812, C**  
**ELECTRICAL CHARACTERISTICS** ( $V_{in} = 19\text{ V}$ ,  $I_O = 500\text{ mA}$ ,  $T_J = T_{low}$  to  $T_{high}$  [Note 1] unless otherwise noted.)

Characteristic	Symbol	MC7812			MC7812C			Unit
		Min	Typ	Max	Min	Typ	Max	
Output Voltage ( $T_J = +25^\circ\text{C}$ )	$V_O$	11.5	12	12.5	11.5	12	12.5	Vdc
Output Voltage ( $15.0\text{ mA} < I_O < 1.0\text{ A}$ , $P_O < 15\text{ W}$ ) $14.5\text{ Vdc} < V_{in} < 27\text{ Vdc}$ $15.5\text{ Vdc} < V_{in} < 27\text{ Vdc}$	$V_O$	—	—	—	11.4	12	12.6	Vdc
Line Regulation ( $T_J = +25^\circ\text{C}$ , Note 2) $14.5\text{ Vdc} < V_{in} < 30\text{ Vdc}$ $16\text{ Vdc} < V_{in} < 22\text{ Vdc}$	Regin	—	5.0 3.0	120 60	—	13 6.0	240 120	mV
Load Regulation ( $T_J = +25^\circ\text{C}$ , Note 2) $5.0\text{ mA} < I_O < 1.5\text{ A}$ $250\text{ mA} < I_O < 750\text{ mA}$	Regload	—	30 10	120 60	—	46 17	240 120	mV
Quiescent Current ( $T_J = +25^\circ\text{C}$ )	$I_B$	—	3.4	6.0	—	4.4	8.0	mA
Quiescent Current Change $14.5\text{ Vdc} < V_{in} < 30\text{ Vdc}$ $15\text{ Vdc} < V_{in} < 30\text{ Vdc}$ $5.0\text{ mA} < I_O < 1.0\text{ A}$	$\Delta I_B$	—	—	—	—	—	1.0	mA
Ripple Rejection $15\text{ Vdc} < V_{in} < 25\text{ Vdc}$ , $f = 120\text{ Hz}$	RR	61	68	—	—	60	—	dB
Dropout Voltage ( $I_O = 1.0\text{ A}$ , $T_J = +25^\circ\text{C}$ )	$V_{in} - V_O$	—	2.0	2.5	—	2.0	—	Vdc
Output Noise Voltage ( $T_A = +25^\circ\text{C}$ ) $10\text{ Hz} < f < 100\text{ kHz}$	$V_n$	—	10	40	—	10	—	$\mu\text{V}/V_O$
Output Resistance ( $f = 1.0\text{ kHz}$ )	$R_O$	—	18	—	—	18	—	m $\Omega$
Short-Circuit Current Limit ( $T_A = +25^\circ\text{C}$ ) $V_{in} = 35\text{ Vdc}$	$I_{sc}$	—	0.2	1.2	—	0.2	—	A
Peak Output Current ( $T_J = +25^\circ\text{C}$ )	$I_{max}$	1.2	2.5	3.3	—	2.2	—	A
Average Temperature Coefficient of Output Voltage	TCV <sub>O</sub>	—	+1.5	—	—	-1.0	—	mV/°C

**MC7812A, AC**  
**ELECTRICAL CHARACTERISTICS** ( $V_{in} = 19\text{ V}$ ,  $I_O = 1.0\text{ A}$ ,  $T_J = T_{low}$  to  $T_{high}$  [Note 1] unless otherwise noted.)

Characteristic	Symbol	MC7812A			MC7812AC			Unit
		Min	Typ	Max	Min	Typ	Max	
Output Voltage ( $T_J = +25^\circ\text{C}$ )	$V_O$	11.75	12	12.25	11.75	12	12.25	Vdc
Output Voltage ( $15.0\text{ mA} < I_O < 1.0\text{ A}$ , $P_O < 15\text{ W}$ ) $14.8\text{ Vdc} < V_{in} < 27\text{ Vdc}$	$V_O$	11.5	12	12.5	11.5	12	12.5	Vdc
Line Regulation $14.8\text{ Vdc} < V_{in} < 30\text{ Vdc}$ , $I_O = 500\text{ mA}$ $16\text{ Vdc} < V_{in} < 22\text{ Vdc}$ $16\text{ Vdc} < V_{in} < 22\text{ Vdc}$ , $T_J = +25^\circ\text{C}$ $14.5\text{ Vdc} < V_{in} < 27\text{ Vdc}$ , $T_J = +25^\circ\text{C}$	Regin	—	5.0 8.0 3.0	18 30 9.0	—	13 16 6.0	120 120 60	mV
Load Regulation (Note 2) $5.0\text{ mA} < I_O < 1.5\text{ A}$ $5.0\text{ mA} < I_O < 1.0\text{ A}$ $5.0\text{ mA} < I_O < 1.5\text{ A}$ , $T_J = +25^\circ\text{C}$ $250\text{ mA} < I_O < 750\text{ mA}$	Regload	—	30 — 10	50 — 25	—	46 46 17	100 100 50	mV
Quiescent Current $T_J = +25^\circ\text{C}$	$I_B$	—	— 3.4	5.0 4.0	—	— 4.4	8.0 6.0	mA
Quiescent Current Change $15\text{ Vdc} < V_{in} < 30\text{ Vdc}$ , $I_O = 500\text{ mA}$ $14.8\text{ Vdc} < V_{in} < 27\text{ Vdc}$ , $T_J = +25^\circ\text{C}$ $5.0\text{ mA} < I_O < 1.0\text{ A}$	$\Delta I_B$	—	0.3 0.2 0.04	0.5 0.5 0.2	—	— — 0.5	0.8 0.8 0.5	mA
Ripple Rejection $15\text{ Vdc} < V_{in} < 25\text{ Vdc}$ , $f = 120\text{ Hz}$ , $T_J = +25^\circ\text{C}$ $15\text{ Vdc} < V_{in} < 25\text{ Vdc}$ , $f = 120\text{ Hz}$ , $I_O = 500\text{ mA}$	RR	61	68	—	—	60	—	dB
Dropout Voltage ( $I_O = 1.0\text{ A}$ , $T_J = +25^\circ\text{C}$ )	$V_{in} - V_O$	—	2.0	2.5	—	2.0	—	Vdc
Output Noise Voltage ( $T_A = +25^\circ\text{C}$ ) $10\text{ Hz} < f < 100\text{ kHz}$	$V_n$	—	10	40	—	10	—	$\mu\text{V}/V_O$
Output Resistance ( $f = 1.0\text{ kHz}$ )	$R_O$	—	18	—	—	18	—	m $\Omega$
Short-Circuit Current Limit ( $T_A = +25^\circ\text{C}$ ) $V_{in} = 35\text{ Vdc}$	$I_{sc}$	—	0.2	1.2	—	0.2	—	A
Peak Output Current ( $T_J = +25^\circ\text{C}$ )	$I_{max}$	1.2	2.5	3.3	—	2.2	—	A
Average Temperature Coefficient of Output Voltage	TCV <sub>O</sub>	—	+1.5	—	—	-1.0	—	mV/°C

Notes 1  $T_{low} = -55^\circ\text{C}$  for MC78XX, A  
 $0^\circ\text{C}$  for MC78XX, AC  
 $T_{high} = +150^\circ\text{C}$  for MC78XX, A  
 $+125^\circ\text{C}$  for MC78XX, AC

2 Load and line regulation are specified at constant junction temperature. Changes in  $V_O$  due to heating effects must be taken into account separately. Pulse testing with low duty cycle is used.

เอกสารนี้เป็นเอกสารที่สงวนไว้สำหรับการใช้งานเพื่อการศึกษาเท่านั้น ไม่อนุญาตให้นำไปใช้ประโยชน์ด้านการค้า  
 ไม่ว่าจะกรณีใดๆ ทั้งสิ้น อีกทั้งห้ามมิให้ดัดแปลงเนื้อหา และต้องอ้างอิงถึงเจ้าของเอกสารทุกครั้งที่มีการนำไปใช้

## 7800 Series

### MC7815, C

#### ELECTRICAL CHARACTERISTICS ( $V_{in} = 23\text{ V}$ , $I_O = 500\text{ mA}$ , $T_J = T_{low}$ to $T_{high}$ (Note 1) unless otherwise noted.)

Characteristic	Symbol	MC7815			MC7815C			Unit
		Min	Typ	Max	Min	Typ	Max	
Output Voltage ( $T_J = +25^\circ\text{C}$ )	$V_O$	14.4	15	15.6	14.4	15	15.6	Vdc
Output Voltage ( $15.0\text{ mA} < I_O < 1.0\text{ A}$ , $P_O < 15\text{ W}$ ) $17.5\text{ Vdc} < V_{in} < 30\text{ Vdc}$ $18.5\text{ Vdc} < V_{in} < 30\text{ Vdc}$	$V_O$	14.25	15	15.75	14.25	15	15.75	Vdc
Line Regulation ( $T_J = +25^\circ\text{C}$ , Note 2) $17.5\text{ Vdc} < V_{in} < 30\text{ Vdc}$ $20\text{ Vdc} < V_{in} < 26\text{ Vdc}$	$\text{Reg}_{in}$	—	6.0	150	—	13	300	mV
Load Regulation ( $T_J = +25^\circ\text{C}$ , Note 2) $5.0\text{ mA} < I_O < 1.5\text{ A}$ $250\text{ mA} < I_O < 750\text{ mA}$	$\text{Reg}_{load}$	—	32	150	—	52	300	mV
Quiescent Current ( $T_J = +25^\circ\text{C}$ )	$I_B$	—	3.4	6.0	—	4.4	8.0	mA
Quiescent Current Change $17.5\text{ Vdc} < V_{in} < 30\text{ Vdc}$ $18.5\text{ Vdc} < V_{in} < 30\text{ Vdc}$ $5.0\text{ mA} < I_O < 1.0\text{ A}$	$\Delta I_B$	—	—	—	—	—	1.0	mA
Ripple Rejection $18.5\text{ Vdc} < V_{in} < 28.5\text{ Vdc}$ , $f = 120\text{ Hz}$	RR	60	66	—	—	58	—	dB
Dropout Voltage ( $I_O = 1.0\text{ A}$ , $T_J = +25^\circ\text{C}$ )	$V_{in} - V_O$	—	2.0	2.5	—	2.0	—	Vdc
Output Noise Voltage ( $T_A = +25^\circ\text{C}$ ) $10\text{ Hz} < f < 100\text{ kHz}$	$V_n$	—	10	40	—	10	—	$\mu\text{V}/V_O$
Output Resistance ( $f = 1.0\text{ kHz}$ )	$R_O$	—	19	—	—	19	—	m $\Omega$
Short-Circuit Current Limit ( $T_A = +25^\circ\text{C}$ ) $V_{in} = 35\text{ Vdc}$	$I_{sc}$	—	0.2	1.2	—	0.2	—	A
Peak Output Current ( $T_J = +25^\circ\text{C}$ )	$I_{max}$	1.3	2.5	3.3	—	2.2	—	A
Average Temperature Coefficient of Output Voltage	TCV <sub>O</sub>	—	+1.8	—	—	-1.0	—	mV/°C

### MC7815A, AC

#### ELECTRICAL CHARACTERISTICS ( $V_{in} = 23\text{ V}$ , $I_O = 1.0\text{ A}$ , $T_J = T_{low}$ to $T_{high}$ (Note 1) unless otherwise noted.)

Characteristic	Symbol	MC7815A			MC7815AC			Unit
		Min	Typ	Max	Min	Typ	Max	
Output Voltage ( $T_J = +25^\circ\text{C}$ )	$V_O$	14.7	15	15.3	14.7	15	15.3	Vdc
Output Voltage ( $15.0\text{ mA} < I_O < 1.0\text{ A}$ , $P_O < 15\text{ W}$ ) $17.9\text{ Vdc} < V_{in} < 30\text{ Vdc}$	$V_O$	14.4	15	15.6	14.4	15	15.6	Vdc
Line Regulation (Note 2) $17.9\text{ Vdc} < V_{in} < 30\text{ Vdc}$ , $I_O = 500\text{ mA}$ $20\text{ Vdc} < V_{in} < 26\text{ Vdc}$ $20\text{ Vdc} < V_{in} < 26\text{ Vdc}$ , $T_J = +25^\circ\text{C}$ $17.5\text{ Vdc} < V_{in} < 30\text{ Vdc}$ , $T_J = +25^\circ\text{C}$	$\text{Reg}_{in}$	—	6.0	22	—	13	150	mV
Load Regulation (Note 2) $5.0\text{ mA} < I_O < 1.5\text{ A}$ $5.0\text{ mA} < I_O < 1.0\text{ A}$ $5.0\text{ mA} < I_O < 1.5\text{ A}$ , $T_J = +25^\circ\text{C}$ $250\text{ mA} < I_O < 750\text{ mA}$	$\text{Reg}_{load}$	—	32	50	—	—	—	mV
Quiescent Current $T_J = +25^\circ\text{C}$	$I_B$	—	—	5.5	—	—	6.0	mA
Quiescent Current Change $17.5\text{ Vdc} < V_{in} < 30\text{ Vdc}$ , $I_O = 500\text{ mA}$ $17.5\text{ Vdc} < V_{in} < 30\text{ Vdc}$ , $T_J = +25^\circ\text{C}$ $5.0\text{ mA} < I_O < 1.0\text{ A}$	$\Delta I_B$	—	0.3	0.5	—	—	0.8	mA
Ripple Rejection $18.5\text{ Vdc} < V_{in} < 28.5\text{ Vdc}$ , $f = 120\text{ Hz}$ , $T_J = +25^\circ\text{C}$ $18.5\text{ Vdc} < V_{in} < 28.5\text{ Vdc}$ , $f = 120\text{ Hz}$ , $I_O = 500\text{ mA}$	RR	60	66	—	—	—	—	dB
Dropout Voltage ( $I_O = 1.0\text{ A}$ , $T_J = +25^\circ\text{C}$ )	$V_{in} - V_O$	—	2.0	2.5	—	2.0	—	Vdc
Output Noise Voltage ( $T_A = +25^\circ\text{C}$ ) $10\text{ Hz} < f < 100\text{ kHz}$	$V_n$	—	10	40	—	10	—	$\mu\text{V}/V_O$
Output Resistance ( $f = 1.0\text{ kHz}$ )	$R_O$	—	19	—	—	19	—	m $\Omega$
Short-Circuit Current Limit ( $T_A = +25^\circ\text{C}$ ) $V_{in} = 35\text{ Vdc}$	$I_{sc}$	—	0.2	1.2	—	0.2	—	A
Peak Output Current ( $T_J = +25^\circ\text{C}$ )	$I_{max}$	1.3	2.5	3.3	—	2.2	—	A
Average Temperature Coefficient of Output Voltage	TCV <sub>O</sub>	—	+1.8	—	—	-1.0	—	mV/°C

Notes 1  $T_{low} = -55^\circ\text{C}$  for MC78xx, A  
 •  $0^\circ\text{C}$  for MC78xx, C

$T_{high} = +150^\circ\text{C}$  for MC78xx, A  
 •  $+125^\circ\text{C}$  for MC78xx, C

2 Load and line regulation are specified at constant junction temperature. Changes in  $V_O$  due to heating effects must be taken into account separately. Pulse testing with low duty cycle is used.

เอกสารนี้เป็นเอกสารที่สงวนไว้สำหรับการใช้งานเพื่อการศึกษาเท่านั้น ไม่อนุญาตให้นำไปใช้ประโยชน์ด้านการค้า  
 ไม่ว่าจะกรณีใดๆ ทั้งสิ้น อีกทั้งห้ามมิให้ดัดแปลงเนื้อหา และต้องอ้างอิงถึงเจ้าของเอกสารทุกครั้งที่มีการนำไปใช้

# SINGLE AND DUAL LOW NOISE OP AMP NE5533/5533A/SA/SE/NE5534/5534A

## DESCRIPTION

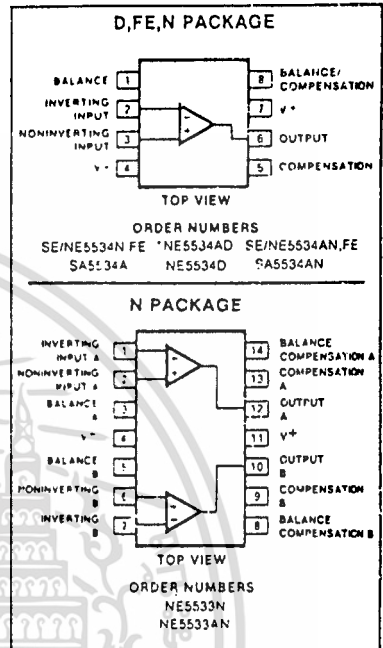
The 5533/5534 are dual and single high-performance low noise operational amplifiers. Compared to other operational amplifiers, such as TL083 they show better noise performance, improved output drive capability and considerably higher small-signal and power bandwidths.

This makes the devices especially suitable for application in high quality and professional audio equipment, in instrumentation and control circuits and telephone channel amplifiers. The op amps are internally compensated for gain equal to, or higher than, three. The frequency response can be optimized with an external compensation capacitor for various applications (unity gain amplifier, capacitive load, slew-rate, low overshoot, etc.) If very low noise is of prime importance, it is recommended that the 5533A/5534A version be used which has guaranteed noise specifications.

## FEATURES

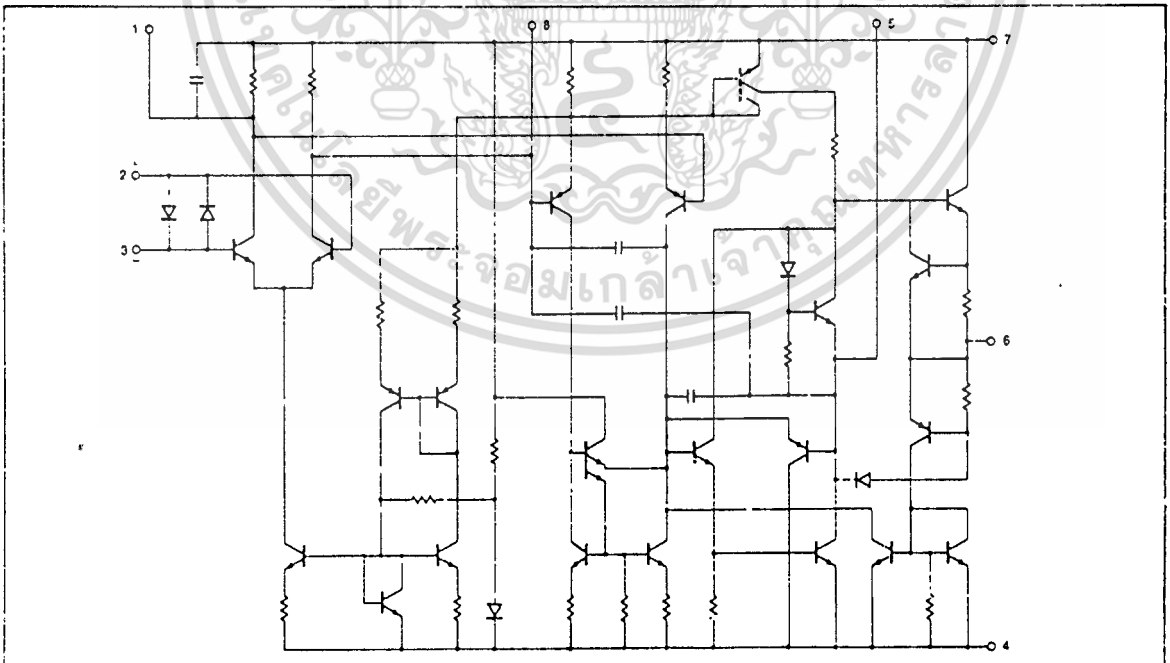
- Small-signal bandwidth: 10MHz
- Output drive capability: 600Ω, 10V (rms) at  $V_s = \pm 18V$
- Input noise voltage: 4nV/√Hz
- DC voltage gain: 100000
- AC voltage gain: 6000 at 10kHz
- Power bandwidth: 200kHz
- Slew-rate: 13V/μs
- Large supply voltage range: ±3 to ±20V

## PIN CONFIGURATIONS



\*NOTE  
This device may not be symbolized in standard format

## EQUIVALENT SCHEMATIC



เอกสารนี้เป็นเอกสารที่สงวนไว้สำหรับการใช้งานเพื่อการศึกษาเท่านั้น ไม่อนุญาตให้นำไปใช้ประโยชน์ด้านการค้า  
ไม่ว่ากรณีใดๆ ทั้งสิ้น อีกทั้งห้ามมิให้ดัดแปลงเนื้อหา และต้องอ้างอิงถึงเจ้าของเอกสารทุกครั้งที่มีการนำไปใช้

**SINGLE AND DUAL LOW NOISE OP AMP NE5533/5533A/SA/SE/NE5534/5534A**

**ABSOLUTE MAXIMUM RATINGS**

PARAMETER	RATING	UNIT
V <sub>S</sub> Supply voltage	± 22	V
V <sub>IN</sub> Input voltage	± V supply	V
V <sub>DIFF</sub> Differential input voltage <sup>1</sup>	± 0.5	V
T <sub>A</sub> Operating temperature range		
SE5534/5534A	- 55 to + 125	°C
NE5533/5533A/5534/5534A	0 to + 70	°C
T <sub>STG</sub> Storage temperature	- 65 to + 150	°C
T <sub>J</sub> Junction temperature	150	°C
P <sub>D</sub> Power dissipation at 25°C <sup>2</sup>	800	mW
5533N, 5534N, 5534FE		
Output short circuit duration <sup>3</sup>	Indefinite	
Lead temperature (soldering, 10 sec)	300	°C

**NOTES**

- Diodes protect the inputs against over-voltage. Therefore, unless current-limiting resistors are used, large currents will flow if the differential input voltage exceeds 0.6V. Maximum current should be limited to ±10mA.
- For operation at elevated temperature, derate packages based on the following junction-to-ambient thermal resistances:
  - 8-pin ceramic (FE) 140°C/W
  - 14-pin ceramic (FI) 110°C/W
  - 8-pin plastic (NI) 162°C/W
  - 14-pin plastic (NI) 150°C/W
- Output may be shorted to ground at V<sub>S</sub> = ±15V, T<sub>A</sub> = 25°C. Temperature and/or supply voltages must be limited to ensure dissipation rating is not exceeded.

**DC ELECTRICAL CHARACTERISTICS T<sub>A</sub> = 25°C, V<sub>S</sub> = ±15V unless otherwise specified.<sup>1,2</sup>**

PARAMETER	TEST CONDITIONS	SE5534/5534A			NE5533/5533A 5534/5534A			UNIT
		Min	Typ	Max	Min	Typ	Max	
V <sub>OS</sub> Offset voltage	Over temperature		0.5	2	0.5	4	mV	
ΔV <sub>OS</sub> /ΔT			5	3	5	5	mV/°C	
I <sub>OS</sub> Offset current	Over temperature		10	200	20	300	nA	
ΔI <sub>OS</sub> /ΔT			200	500	200	400	nA/°C	
I <sub>B</sub> Input current	Over temperature		400	800	500	1500	nA	
ΔI <sub>B</sub> /ΔT			5	1500	5	2000	nA/°C	
I <sub>CC</sub> Supply current Per op amp	Over temperature		4	6.5	4	8	mA	
					9	10	mA	
V <sub>CM</sub> Common mode input range	± 12		± 13		± 12	± 13	V	
CMRR Common mode rejection ratio		80	100		70	100	dB	
PSRR Power supply rejection ratio		10	50		10	100	μV/V	
A <sub>VOL</sub> Large signal voltage gain	R <sub>L</sub> ≥ 600Ω, V <sub>O</sub> = ±10V Over temperature	50	100		25	100	V/mV	
V <sub>OUT</sub> Output swing 5534 only	R <sub>L</sub> ≥ 600Ω	± 12	± 13		± 12	± 13	V	
	Over temperature	± 10	± 12		± 10	± 12	V	
	R <sub>L</sub> ≥ 600Ω, V <sub>S</sub> = ±18V	± 15	± 16		± 15	± 16	V	
	R <sub>L</sub> ≥ 2kΩ	± 13	± 13.5		± 13	± 13.5	V	
	Over Temperature	± 12	± 12.5		± 12	± 12.5	V	
R <sub>IN</sub> Input resistance		50	100		30	100	kΩ	
I <sub>SC</sub> Output short circuit current			38		38		mA	

**NOTES**

- For NE5533/5533A/5534/5534A, T<sub>MIN</sub> = 0°C, T<sub>MAX</sub> = 70°C
- For SE5534/5534A, T<sub>MIN</sub> = -55°C, T<sub>MAX</sub> = +125°C

เอกสารนี้เป็นเอกสารที่สงวนไว้สำหรับการใช้งานเพื่อการศึกษาเท่านั้น ไม่อนุญาตให้นำไปใช้ประโยชน์ด้านการค้า  
ไม่ว่ากรณีใดๆ ทั้งสิ้น อีกทั้งห้ามมิให้ดัดแปลงเนื้อหา และต้องอ้างอิงถึงเจ้าของเอกสารทุกครั้งที่มีการนำไปใช้

**SINGLE AND DUAL LOW NOISE OP AMP NE5533/5533A/SA/SE/NE5534/5534A**

**AC ELECTRICAL CHARACTERISTICS**  $T_A = 25^\circ\text{C}$ ,  $V_S = \pm 15\text{V}$  unless otherwise specified.

PARAMETER	TEST CONDITIONS	SE5534/5534A			NE5533/5533A 5534/5534A			UNIT
		Min	Typ	Max	Min	Typ	Max	
$R_{OUT}$ Output resistance	$A_v = 30\text{dB}$ closed loop $f = 10\text{kHz}$ , $R_L = 600\Omega$ , $C_C = 22\text{pF}$		0.3			0.3		$\Omega$
Transient response	Voltage follower, $V_{IN} = 50\text{mV}$ $R_L = 600\Omega$ , $C_C = 22\text{pF}$ , $C_L = 100\text{pF}$							
$T_R$ Rise time			20			20		ns
Overshoot			20			20		%
Transient response	$V_{IN} = 50\text{mV}$ , $R_L = 600\Omega$ $C_C = 47\text{pF}$ , $C_L = 500\text{pF}$							
$T_R$ Rise time			50			50		ns
Overshoot			35			35		%
AC Gain	$f = 10\text{kHz}$ , $C_C = 0$ $f = 10\text{kHz}$ , $C_C = 22\text{pF}$		6			6		V/mV
Gain bandwidth product	$C_C = 22\text{pF}$ , $C_L = 100\text{pF}$		10			10		mHz
Slew rate	$C_C = 0$ $C_C = 22\text{pF}$		13			13		V/ $\mu\text{S}$
Power bandwidth	$V_{OUT} = \pm 10\text{V}$ , $C_C = 0$ $V_{OUT} = \pm 10\text{V}$ , $C_C = 22\text{pF}$ $V_{OUT} = \pm 14\text{V}$ , $R_L = 600\Omega$ $C_C = 22\text{pF}$ , $V_{CC} = \pm 18\text{V}$		200			200		kHz
			95			95		kHz
			70			70		kHz

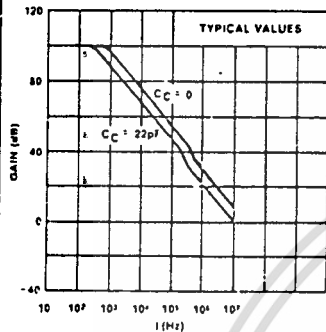
**ELECTRICAL CHARACTERISTICS**  $T_A = 25^\circ\text{C}$ ,  $V_S = \pm 15\text{V}$  unless otherwise specified.

PARAMETER	TEST CONDITIONS	5533/5534			5533A/5534A			UNIT
		Min	Typ	Max	Min	Typ	Max	
Input noise voltage	$f_o = 30\text{Hz}$ $f_o = 1\text{kHz}$		7			5.5	7	nV/ $\sqrt{\text{Hz}}$
			4			3.5	4.5	nV/ $\sqrt{\text{Hz}}$
Input noise current	$f_o = 30\text{Hz}$ $f_o = 1\text{kHz}$		2.5			1.5		pA/ $\sqrt{\text{Hz}}$
			0.6			0.4		pA/ $\sqrt{\text{Hz}}$
Broadband noise figure	$f = 10\text{Hz} - 20\text{kHz}$ , $R_S = 5\text{k}\Omega$					0.9		dB
Channel separation	$f = 1\text{kHz}$ , $R_S = 5\text{k}\Omega$		110			110		dB

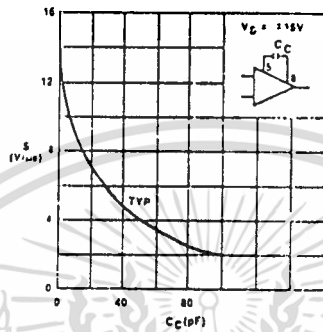
เอกสารนี้เป็นเอกสารที่สงวนไว้สำหรับการใช้งานเพื่อการศึกษาเท่านั้น ไม่อนุญาตให้นำไปใช้ประโยชน์ด้านการค้า  
ไม่ว่ากรณีใดๆ ทั้งสิ้น อีกทั้งห้ามมิให้ดัดแปลงเนื้อหา และต้องอ้างอิงถึงเจ้าของเอกสารทุกครั้งที่มีการนำไปใช้

TYPICAL PERFORMANCE CHARACTERISTICS

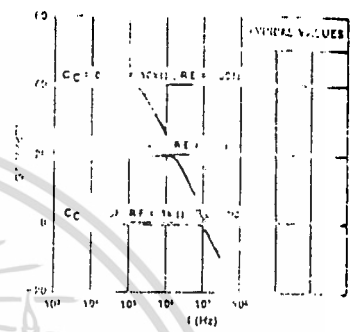
OPEN LOOP FREQUENCY RESPONSE



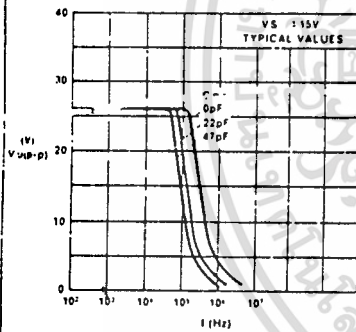
SLEW-RATE AS A FUNCTION OF COMPENSATION CAPACITANCE



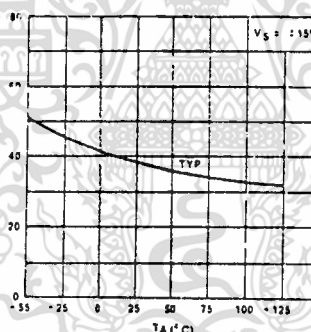
CLOSED-LOOP FREQUENCY RESPONSE



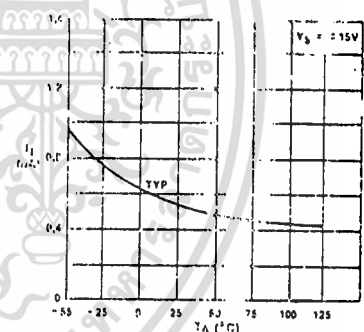
LARGE-SIGNAL FREQUENCY RESPONSE



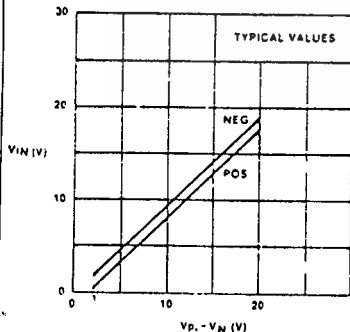
OUTPUT SHORT-CIRCUIT CURRENT



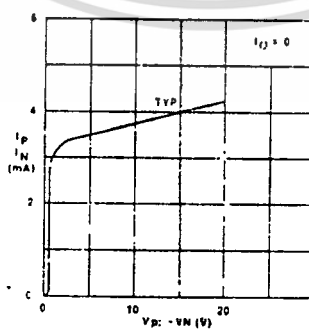
INPUT BIAS CURRENT



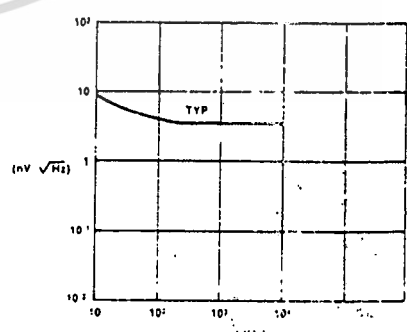
INPUT COMMON MODE VOLTAGE RANGE



SUPPLY CURRENT PER OP AMP



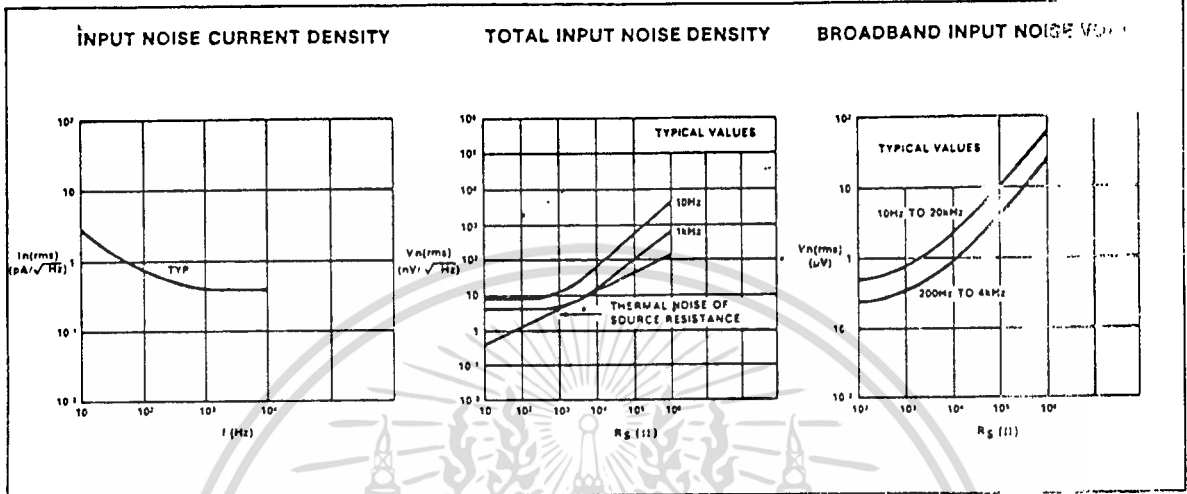
INPUT NOISE VOLTAGE DENSITY



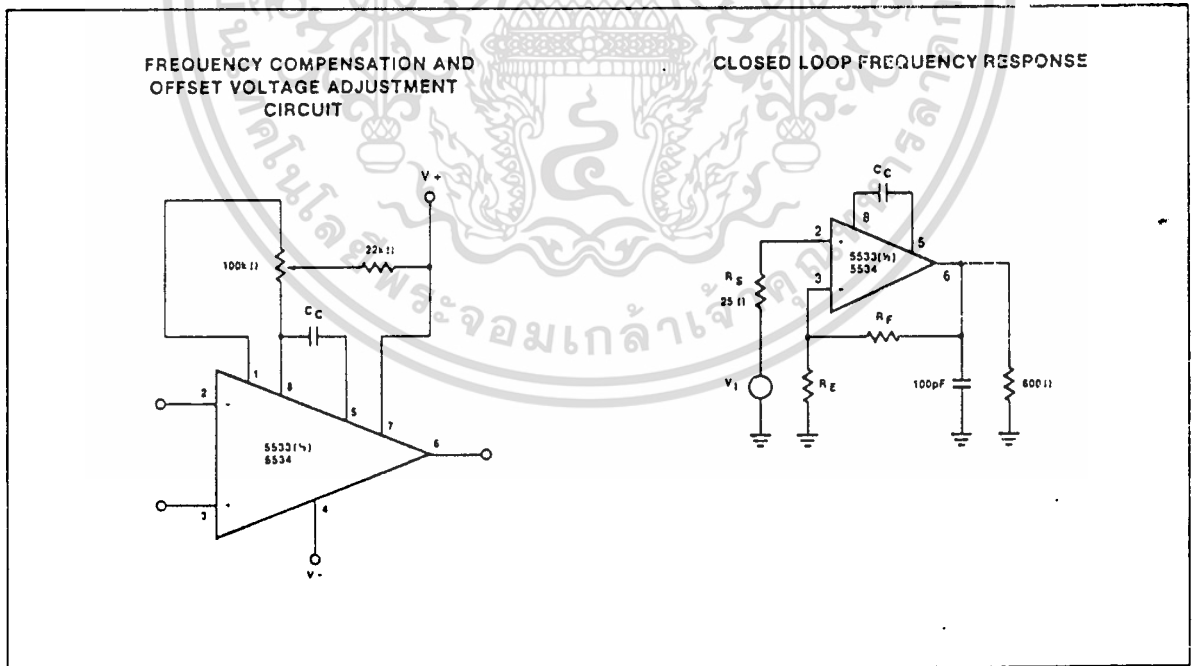
เอกสารนี้เป็นเอกสารที่สงวนไว้สำหรับการใช้งานเพื่อการศึกษาเท่านั้น ไม่อนุญาตให้นำไปใช้ประโยชน์ด้านการค้า  
ไม่ว่ากรณีใดๆ ทั้งสิ้น อีกทั้งห้ามมิให้ดัดแปลงเนื้อหา และต้องอ้างอิงถึงเจ้าของเอกสารทุกครั้งที่มีการนำไปใช้

SINGLE AND DUAL LOW NOISE OP AMP NE5533/5533A/SA/SE/NE5534/5534A

TYPICAL PERFORMANCE CHARACTERISTICS (Cont'd)



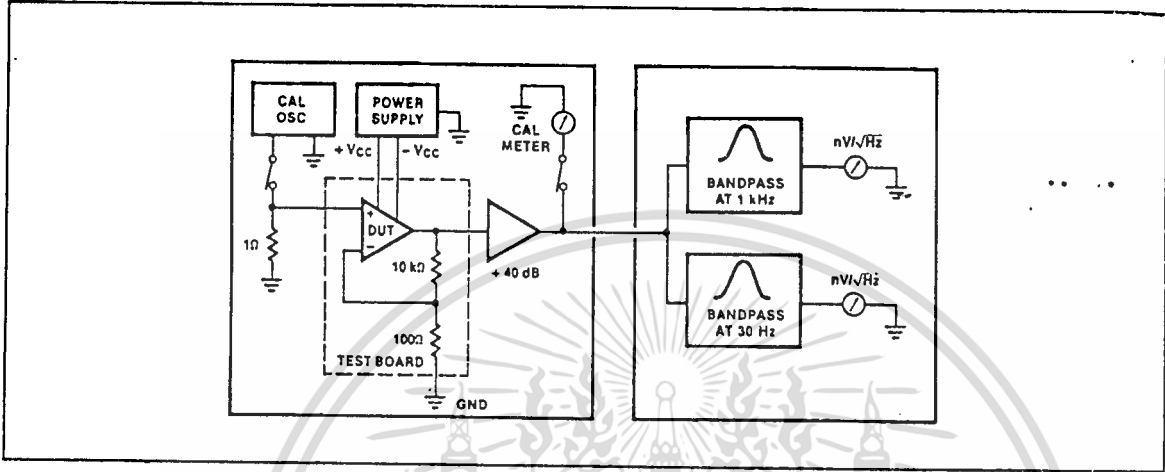
TEST LOAD CIRCUITS



เอกสารนี้เป็นเอกสารที่สงวนไว้สำหรับการใช้งานเพื่อการศึกษาเท่านั้น ไม่อนุญาตให้นำไปใช้ประโยชน์ด้านการค้า  
ไม่ว่ากรณีใดๆ ทั้งสิ้น อีกทั้งห้ามมิให้ดัดแปลงเนื้อหา และต้องอ้างอิงถึงเจ้าของเอกสารทุกครั้งที่มีการนำไปใช้

# SINGLE AND DUAL LOW NOISE OP AMP NE5533/5533A/SA/SE/NE5534/5534A

## NOISE TEST BLOCK DIAGRAM



\*For additional information, consult the Applications Section.



เอกสารนี้เป็นเอกสารที่สงวนไว้สำหรับการใช้งานเพื่อการศึกษาเท่านั้น ไม่อนุญาตให้นำไปใช้ประโยชน์ด้านการค้า  
 ไม่ว่ากรณีใดๆ ทั้งสิ้น อีกทั้งห้ามมิให้ดัดแปลงเนื้อหา และต้องอ้างอิงถึงเจ้าของเอกสารทุกครั้งที่มีการนำไปใช้

SCL4016AB



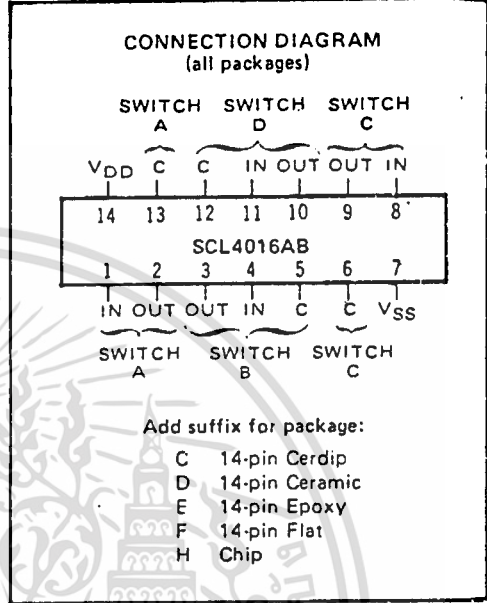
CMOS QUAD ANALOG SWITCH

FEATURES

- ◆ Wide Range of Digital and Analog Signal Levels - Digital or Analog Signals to 18 Volts peak
- ◆ Low ON Resistance - 200  $\Omega$  typ. over 15Vp-p Signal Input Range, @ 15Vdc
- ◆ Matched Switch Characteristics - 10 $\Omega$  typ. Difference between RON Values at a Fixed Bias Point over 15Vp-p Signal Input Range @ 15Vdc
- ◆ High On/Off Output Voltage Ratio - 65 dB typ. @  $f_{is} = 10\text{kHz}$ ,  $R_L = 10\text{k}\Omega$
- ◆ High degree of Linearity -  $\leq 0.4\%$  Distortion typ. @  $f_{is} = 1\text{kHz}$ ,  $V_{is} = 5\text{Vp-p}$ ,  $V_{DD} - V_{SS} \geq 10\text{V}$ ,  $R_L = 10\text{k}\Omega$
- ◆ Extremely Low OFF Switch Leakage Resulting in Very Low Offset Current and High Effective OFF resistance - 10pA typ. @  $V_{DD} - V_{SS} = 10\text{V}$ ,  $T_A = 25^\circ\text{C}$
- ◆ Extremely High Control Input Impedance (Control Circuit Isolated from Signal Circuit) -  $10^{12}\Omega$  typ.
- ◆ Low Crosstalk between Switches - -50dB typ. @  $f_{is} = 0.9\text{MHz}$ ,  $R_L = 1\text{k}\Omega$
- ◆ Matched Control-Input to Signal-Output Capacitances - Reduces Output Signal Transients
- ◆ Transmits Frequencies up to 40MHz

DESCRIPTION

The SCL4016AB is a single-chip monolithic silicon integrated circuit containing eight N-channel and eight P-channel enhancement-mode MOS transistors connected to form four independent bilateral signal switches. Each switch consists of both P- and N-channel devices with common source and drain connections. A single control signal is required per switch. Both P and N devices in a given switch are biased ON or OFF by the control signal. The CMOS switch permits peak input-signal voltage swings equal to the full supply voltage, a considerable advantage over single-channel types.

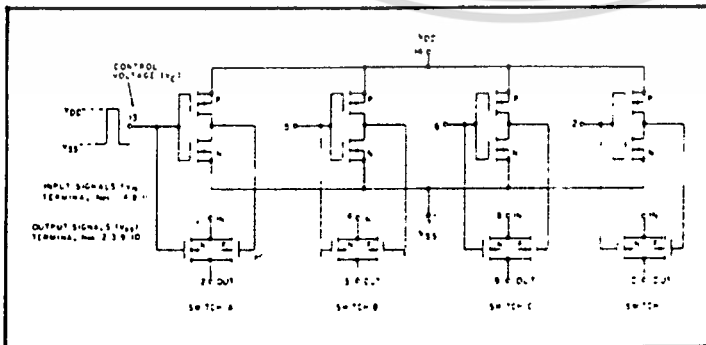


RECOMMENDED OPERATING CONDITIONS

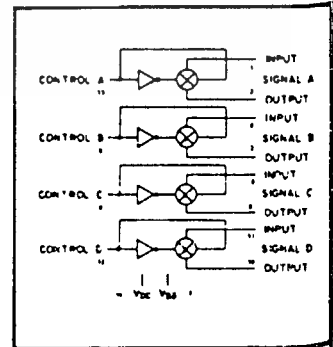
For maximum reliability:

DC Supply Voltage	$V_{DD} - V_{SS}$	3 to 15 Vd
Operating Temperature	$T_A$	-55 to +125 °C
C, D, F, H Device		-40 to +85 °C
E Device		

SCHMATIC DIAGRAM



LOGIC DIAGRAM



ELECTRICAL CHARACTERISTICS

STATIC CHARACTERISTICS<sup>1,2</sup>

PARAMETER	CONDITIONS	V <sub>SS</sub> (Vdc)	V <sub>DD</sub> (Vdc)	T <sub>LOW</sub> <sup>2</sup>		25°C			T <sub>HIGH</sub> <sup>2</sup>		Units											
				Min.	Max.	Min.	Typ.	Max.	Min.	Max.												
QUIESCENT DEVICE CURRENT	I <sub>DD</sub> V <sub>IN</sub> = V <sub>SS</sub> or V <sub>DD</sub> All valid input combinations	0	5	-	0.05	-	0.0005	0.05	-	1.5	μA <sub>dc</sub>											
		0	10	-	0.1	-	0.001	0.1	-	3.0												
		0	15	-	0.2	-	0.002	0.2	-	6.0												
MINIMUM INPUT HIGH VOLTAGE (Control Input)	V <sub>IH</sub> V <sub>IS</sub> = V <sub>SS</sub> V <sub>OS</sub> = V <sub>DD</sub> I <sub>OS</sub> = 10μA	0	5	-	2.9	-	1.5	2.9	-	2.4	Vdc											
		0	10	-	2.9	-	1.5	2.7	-	2.4												
		0	15	-	2.9	-	1.5	2.7	-	2.4												
MAXIMUM INPUT LOW VOLTAGE (Control Input)	V <sub>IL</sub> V <sub>IS</sub> = V <sub>SS</sub> V <sub>OS</sub> = V <sub>DD</sub> I <sub>OS</sub> = 10μA	0	5	0.9	-	0.7	1.5	-	0.4	-	Vdc											
		0	10	0.9	-	0.7	1.5	-	0.4	-												
		0	15	0.9	-	0.7	1.5	-	0.4	-												
SWITCH INPUT/OUTPUT LEAKAGE (Switch off)	I <sub>OFF</sub> V <sub>C</sub> = V <sub>SS</sub> V <sub>IS</sub>	±7.5 ±5	-7.5 +5	+7.5 -5	-	±250 ±125	-	±0.1 ±0.01	±250 ±125	-	±2500 ±1250	nA <sub>dc</sub>										
ON-RESISTANCE C, D, F, H device	R <sub>ON</sub> V <sub>C</sub> = V <sub>DD</sub> R <sub>L</sub> = 10kΩ	V <sub>IS</sub> (Vdc)	-7.5 -7.5 ±0.25	+7.5 -5 ±0.25	-	360 360 775	-	200 200 280	400 400 850	-	600 600 1230	Ω										
													+5 -5 ±0.25	-5 +5 ±0.25	-	600 600 1870	-	250 250 580	660 660 2000	-	960 960 2600	Ω
		+10 +0.25 +5.6	0 +10 ±0.25	-	600 600 1900	-	250 250 560	660 660 2000	-	960 960 2600	Ω											
												+7.5 -7.5 ±0.25	-7.5 +7.5 ±0.25	-	370 370 790	-	200 200 280	400 400 850	-	520 520 1080	Ω	
																						+5 -5 ±0.25
	+15 +0.25 +9.3	0 +15 ±0.25	-	370 370 790	-	200 200 300	400 400 850	-	520 520 1080	Ω												
											+10 +0.25 +5.6	0 +10 ±0.25	-	610 610 1900	-	250 250 560	660 660 2000	-	840 840 2380	Ω		
																					V <sub>IS</sub> (Vdc)	-7.5 -7.5 ±0.25
	±7.5 ±5	-7.5 +5	-	-	-	-	-	-	-	-												
											-	-	-	-	-	-	-	-	-			

NOTES: <sup>1</sup> Remaining Static Electrical Characteristics are listed under "SCL4000B Series Family Specifications".  
<sup>2</sup> T<sub>LOW</sub> = -55°C for C, D, F, H device.  
 = -40°C for E device.  
 T<sub>HIGH</sub> = +125°C for C, D, F, H device.  
 = + 85°C for E device.  
<sup>3</sup> This device has been designed for balanced output drive current specifications. Consult Family Specifications.

DYNAMIC CHARACTERISTICS (C<sub>L</sub> = 50 pF, T<sub>A</sub> = 25°C)

PARAMETER	CONDITIONS	V <sub>SS</sub> (Vdc)	V <sub>DD</sub> (Vdc)	Min.	Typ.	Max.	UNIT	
SIGNAL INPUTS (V <sub>IS</sub> ) AND OUTPUTS (V <sub>OS</sub> )								
PROPAGATION DELAY TIME Signal input to signal output	t <sub>PLH</sub> , t <sub>PHL</sub> V <sub>C</sub> = V <sub>DD</sub> V <sub>IS</sub> = square wave R <sub>L</sub> = 10kΩ	0	5	-	20	40	ns	
		0	10	-	10	20		
		0	15	-	7.5	15		
BANDWIDTH (-3dB) (Sine Wave)	BW V <sub>C</sub> = V <sub>DD</sub> V <sub>IS</sub> = 5V <sub>pp</sub> centered @0.0Vdc	R <sub>L</sub>	1kΩ	5	+5	-	54	MHz
			10kΩ	-	-	-	40	
			100kΩ	-	-	-	35	
			1MΩ	-	-	-	37	

เอกสารนี้เป็นเอกสารที่สงวนไว้สำหรับการใช้งานเพื่อการศึกษาเท่านั้น ไม่อนุญาตให้นำไปใช้ประโยชน์ด้านการค้า  
 ไม่ว่าจะกรณีใดๆ ทั้งสิ้น อีกทั้งห้ามมิให้ดัดแปลงเนื้อหา และต้องอ้างอิงถึงเจ้าของเอกสารทุกครั้งที่มีการนำไปใช้